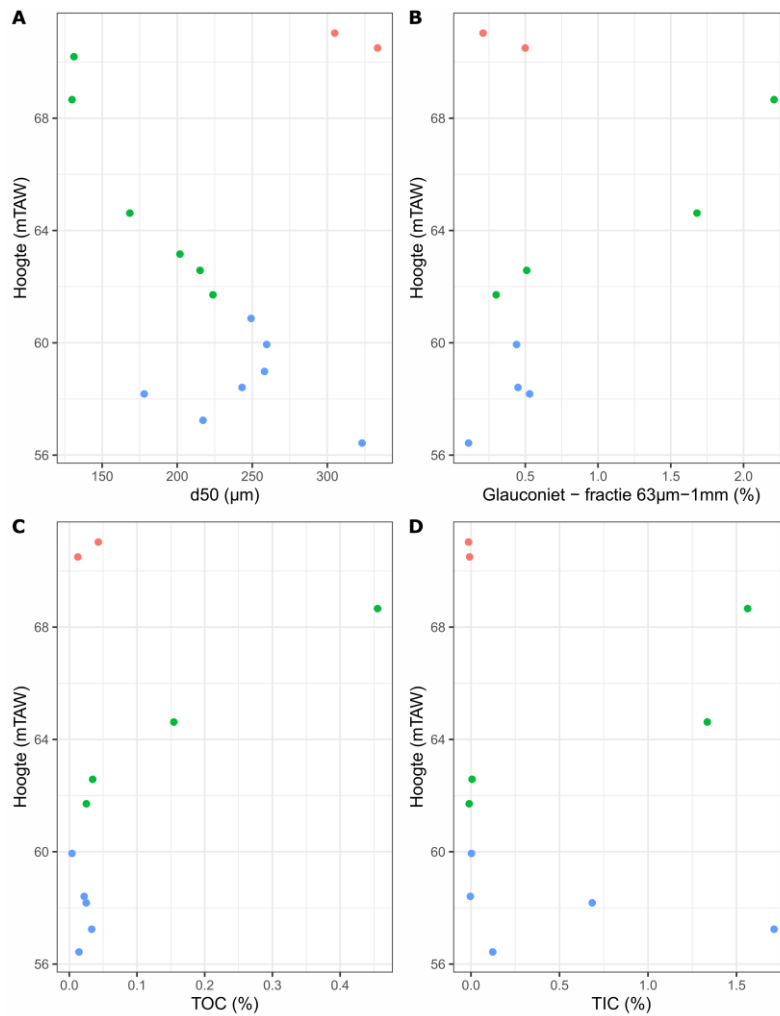


EEN REFERENTIEDATABANK VAN DE
VLAAMSE ONDERGROND – V2024

20.11.2024



REFERENTIEDATABANK VAN DE VLAAMSE ONDERGROND

Onderzoek en rapportage uitgevoerd door het Vlaams Planbureau voor Omgeving (VPO), in het kader van de opbouw van een referentiedatabank van de Vlaamse ondergrond. De data werd verzameld door analyse van grondmonsters opgeslagen in de Geotheek van het Departement Omgeving. Hierbij werden zoveel mogelijk kwalitatieve stalen genomen van zoveel mogelijk verschillende geologische eenheden. De verzamelde data bevatten informatie over korrelgrootte, glauconietgehalte en (an)organisch koolstofgehalte. Deze rapportage wordt periodiek vernieuwd.

COLOFON

Verantwoordelijke uitgever

Toon Denys

Departement Omgeving

Vlaams Planbureau voor Omgeving

Koning Albert II-laan 20 bus 8, 1000 Brussel

vpo.omgeving@vlaanderen.be

www.omgevingvlaanderen.be

Auteur

Jasper Verhaegen – Departement Omgeving, Vlaams Planbureau voor Omgeving

Katrien De Nil – Departement Omgeving, Vlaams Planbureau voor Omgeving

Wijze van citeren

Verhaegen, J. & De Nil, K. (2024). Een referentiedatabank van de Vlaamse ondergrond – V2024. Rapport in opdracht van de Vlaamse Overheid. Departement Omgeving. 145p.



DEPARTEMENT
OMGEVING



INHOUD

1.	Inleiding.....	4
2.	Staalname	5
3.	Analytische methoden	36
3.1.	Korrelgrootte	36
3.2.	Glauconiet	36
3.3.	(an)organische koolstof	36
4.	Karakterisatie van bemonsterde eenheden	37
4.1.	Algemene observaties	37
4.2.	Bespreking per formatie	49
4.2.1.	Maastricht	49
4.2.2.	Hannut	51
4.2.3.	Kortrijk	52
4.2.4.	Mons-en-Pévèle	54
4.2.5.	Tielt	55
4.2.6.	Hyon	56
4.2.7.	Gentbrugge	58
4.2.8.	Aalter	59
4.2.9.	Brussel	60
4.2.10.	Lede	62
4.2.11.	Maldegem	63
4.2.12.	Zelzate	64
4.2.13.	Sint-Huibrechts-Hern	65
4.2.14.	Borgloon	67
4.2.15.	Bilzen	69
4.2.16.	Boom	70
4.2.17.	Berchem	71
4.2.18.	Bolderberg	74
4.2.19.	Diest	75
4.2.20.	Kasterlee	77
4.2.21.	Kattendijk	79
4.2.22.	Lillo	80
4.2.23.	Weelde	83
4.2.24.	Ravels	85
4.2.25.	Gembloux	86
4.2.26.	Arenberg	Fout! Bladwijzer niet gedefinieerd.
4.2.27.	Schelde Groep	87
4.2.28.	Vlaanderen	88
4.2.29.	Gent	89
4.3.	Dieptetrends per locatie	91
4.3.1.	Ontsluitingen Antwerpen (TO-20190417, TO-20150701, TO-20220706-1)	92
4.3.2.	Schoten (1411-GEO-22/019-B1)	95
4.3.3.	Merchtem (TO-20230629)	96
4.3.4.	Antwerpen linkeroever Scheldetunnel (TO-20230913)	97
4.3.5.	Neerijse (Huldenberg) (TO-20240517)	98
	Referenties	99
	Bijlagen	102

1. INLEIDING

De Vlaamse ondergrond herbergt een grote hoeveelheid aan geologische formaties en leden. Deze worden formeel gedefinieerd door de Nationale Stratigrafische Commissie (<https://ncs.naturalsciences.be/>) en besproken in allerhande publicaties (e.g. Gullentops et al., 2001; Laga et al., 2001; Vandenberghé & Louwye, 2020). Toch is het niet altijd eenvoudig om geologische lagen geobserveerd in ontsluitingen of boringen correct te interpreteren en in de juiste eenheid onder te brengen. Interne, verticale of laterale, variaties binnen eenheden die soms onderlinge verschillen tussen eenheden overstijgen maken dit nog complexer.

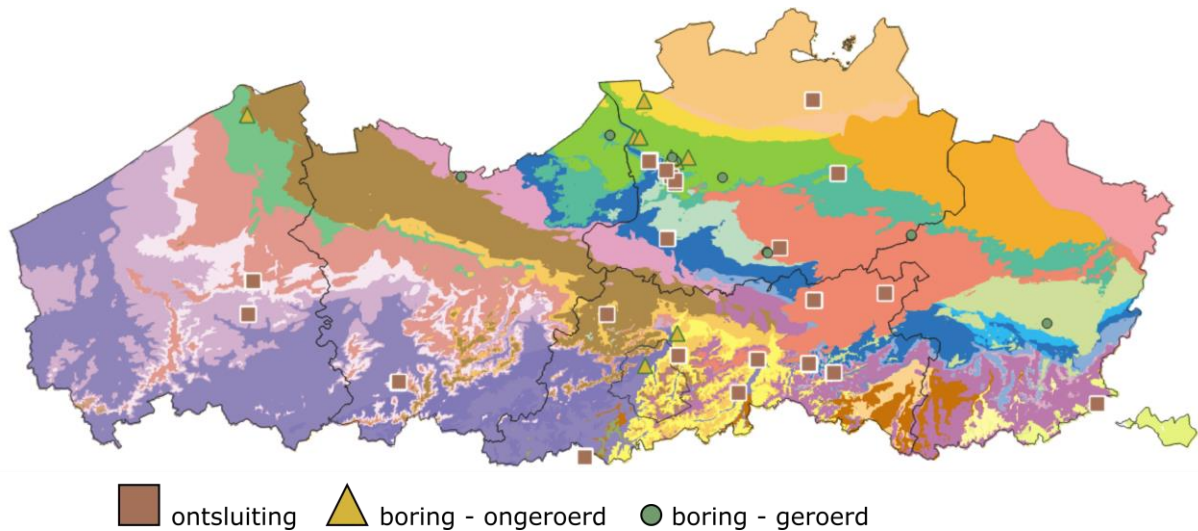
Het is daarom van belang om een omvattende dataset aan te leggen waarin data van verschillende gemeten parameters verzameld worden voor alle Vlaamse geologische lagen. Zo 'n dataset dient voor een betere kwantitatieve karakterisatie van de eenheden, die zal helpen bij het correct interpreteren van geologische eenheden maar ook bij het beter inschatten van het potentieel van de verschillende eenheden voor allerhande toepassingen. Ook voor (3D) modelleringen van sedimenteigenschappen is een uitgebreide en betrouwbare dataset van belang.

De Vlaamse Geotheek herbergt een grote hoeveelheid grondmonsters en wordt continu uitgebreid met kwalitatieve stalen. Dit rapport bevat resultaten van verschillende labo-analyses uitgevoerd op 519 grondmonsters, afkomstig van (on)geroerde boringen of ontsluitingen uit de Geotheek. Al de stalen werden geanalyseerd volgens dezelfde methodes, wat de betrouwbaarheid en vergelijkbaarheid van de resultaten ten goede komt. Ondanks het groot aantal uitgevoerde analyses werden nog niet alle Vlaamse geologische eenheden bemonsterd. Zeker voor eenheden waarvoor er slechts een beperkt aantal stalen geanalyseerd werden, kunnen de resultaten niet als referentie beschouwd worden. De resultaten hier besproken dienen dan ook slechts als een aanzet voor de uitbouw van een allesomvattende dataset, die in de toekomst periodiek aangevuld zal worden. Dit rapport is reeds de derde versie van deze databank, voortbouwend op de eerdere versies van 2022 en 2023.

Via de DOV website worden deze resultaten ook ontsloten op de pagina's rond het Geologisch Paspoort van de Vlaamse ondergrond (<https://dov.vlaanderen.be/page/geologisch-paspoort-van-de-vlaamse-ondergrond>). Het Geologisch Paspoort wordt uitgewerkt per geologische formatie, en waar mogelijk worden ook de leden afzonderlijk besproken. Het Geologisch Paspoort van een formele geologische eenheid bevat naast de beschikbare data uit deze referentiedatabank een link naar: 1) de formele stratigrafische definitie door de Nationale Stratigrafische Commissie, 2) voorkomenskaarten van de eenheid of subeenheden, 3) stratigrafische referentiesecties, 4) andere belangrijke boringen en ontsluitingen die beschikbaar zijn op DOV, 5) andere databronnen en 6) de voornaamste literatuurreferenties.

2. STAALNAME

Er werden tot dusver 519 stalen geanalyseerd van grondmonsters aanwezig in de Geotheek. Deze grondmonsters zijn afkomstig van 44 verschillende locaties, uit 12 geroerde boringen, 10 ongeroerde boringen en 22 ontsluitingen (**Figuur 1, Tabel 1**). Er werd uit elk grondmonster ongeveer 100 g staal genomen voor analyses in het labo. Er werd steeds minstens 50 % van het bemonsterde potje/interval achtergelaten, voor toekomstige staalname en/of observatie.



Figuur 1. Locaties van de boringen en ontsluitingen waaruit voor deze studie stalen genomen werden. Op de achtergrond de geologische kaart met voorkomen van formaties, op basis van het G3Dv3.1 model van de Vlaamse ondergrond, beschikbaar op <https://www.dov.vlaanderen.be/> (Deckers et al., 2019).

Er werden 31 verschillende formaties bemonsterd en 61 verschillende leden, van het Krijt, Paleogeen en Neogeen (**Figuur 2**), en het Quartair (**Tabel 1**). Ondanks deze goede stratigrafische dekking zijn er nog veel eenheden die niet bemonsterd werden. Zo zijn er in het Paleogeen en Neogeen nog 12 formaties niet bemonsterd voor deze databank (**Figuur 2**).

Stratigrafische tabel voor het Neogeen en Paleogeen van Vlaanderen

LITHOSTRATIGRAFIE			VOORNAAMSTE LITHOLOGISCH KENMERK	CHRONO - STRATIGRAFIE	OUDERDOM 10 ⁶ jaar		
GROEP + Code	FORMATIE + Code	LID + Code					
NEOGEEN	MERKSPLAS Me	Zandvliet LiZa	Maatheide MIMh	zand / kleih. zand / zand met ligniet	PIACENZIAAN	2.6	
	LILLO Li	Merksem LiMe	Jagersborg KzJa				
	MOL MI	Poederen LiPd	Brunssum KzBr	zand	ZANCLEAAN	3.6	
	KIEZELOOLIJET Kz	Kruisschans LiKr	Donk MIDo				
	KATTENDIJK Kg	Oorderen LiOo	Retie MIRr	kleihoudend zand	MESSINIAAN	5.3	
	KASTERLEE Kk	Luchtbal LiLu	Waubach KzWw				
	INDEN In	Nichtaart KaNj	Dessal DIda	zand	TORTONIAAN	7.2	
	WURFELD Wd	Heist-op-den-Berg KaHe	Hageland DiHa				
	DIEST Di	Deurne DiDn	Borsbeek DiBb	zand	SERRAVALIAAN LANGHIAAN	11.6	
	MOLENBEERSEL Mh	Dessal DIda	Dessal DIda				
OLIGOCEEN	BERCHEM Bc	Kiel BcKi	Genk BbGe	zand	BURDIGALIAAN AQUITANIAAN	16.0	
	BOLDERBERG Bb	Edegem BcEd	Houthalen BbHo				
	VELDHOVEN Vd	Antwerpen BcAn	Someren VdSo	zand	CHATTIAAN	23.0	
	EIGENBILZEN Eg	Zonderschot BcZo	Wintreire VdWi				
	RUPEL RU	BOOM Bm	Boeretang BmBt	Putte BmPu	klei	RUPELIAAN	27.8
		BILZEN Bi	Terhagen BmTe	Kerniel BiKe			
	TONGEREN TO	BORGLOON Bo	Belsele-Waas BmBw	Berg BiBe	zand	PRIABONIAAN	33.9
		ZELZATE Zz	Kerkom BoKe	Alden Biesen BoOb			
		St.H.HERN Sh	Boutersem BoBt	Henis BoHe	zand		
		Watervliet ZzWa	Ruisbroek ZzRu	Neerrepn ShNe			
	Bassevelde ZzBa	Grimmertingen ShGg	kleih. zand	37.8			
PALEOGEEN	MALDEGEM Ma	Onderdijke MaOd		klei	BARTONIAAN	41.2	
		Buisputten MaBu					
		Zomergem MaZo					
		Onderdale MaOn					
		Ursele MaUr					
ZENNE ZE	LEDE Ld			zand met kalkzandsteenbanken	LUTETIAAN		
	BRUSSEL Br	Machelen BrMa / Neerijse BrNe / Bierbeek BrBi					
	AALTER Aa	Oedelem AaOe					
IEPER IE	GENTBRUGGE Ge	Aalterbrugge GeAb	Vlierzele GeVi	kleih. zand	YPRESIAAN	47.8	
		Pittem GePi					
		Merelbeke GeMe					
	HYON Hy	Kwatrecht GeKw		kleih. zand			
	TIELT Tt	Mont-Panisel HyMo					
	KORTRIJK Ko	Egem HyEg					
LANDEN LA	HANNUT Hn	Aalbeke KoAa		zand	THANETIAAN	56.0	
		Roubaix KoRo					
		Orchies KoOr					
HEERS Hs	HEERS Hs	Her Zoute KoZo	Mont-Hérilbu KoMb	zand, mergel / ligniet, klei, zand	SELANDIAAN	59.2	
		Grandglise HnGr					
		Lincnt HnLi	Halen HnHa				
		Waterschei HnWa	Beselare HnBe				
KRIJLT KR	HOUTHEM Ho	Maaseik HsMa		zand	DANIAAN	61.6	
		Gelinden HsGe					
		Orp HsOr		zand		66.0	
		Eisden OpEi	Opoeteren OpOp				

DOV: <https://dov.vlaanderen.be> NCS: <https://ncs.naturalsciences.be>

ICS chronostratigrafische tabel: <https://stratigraphy.org/ICSchart/ChronostratChart2023-09BED>

Witruimtes vertegenwoordigen de voornaamste hiaten.

Bron: VPO - Departement Omgeving 01\02\2024



Figuur 2. Stratigrafische tabel van het Neogeen en Paleogeen van Vlaanderen (VPO, 2024 op <https://www.dov.vlaanderen.be/>) met aanduiding in rood van de eenheden bemonsterd voor deze studie.

Tabel 1. Staaltabel van de stalen genomen uit de Geotheek voor deze studie. v_id = vulling-id Geotheek, m_id = monster-id Geotheek. K = korrelgrootte-analyse, G = bepaling glauconietgehalte, OC = bepaling organisch koolstofgehalte, IC = bepaling anorganisch koolstofgehalte.

nr	Staalnaam	Boring	v_id	m_id	Diepte van	Diepte tot	Diepte	Hoogte (mTAW)	Staaltype	Locatie	Formatie	Lid	K	G	O C	I C
1	VPO2020_1	GEO-12/129-B10	383		16	16,5		14,37	geroerd	Ham	Diest		1	1		
2	VPO2020_3	GEO-12/129-B10	383		18	18,5		12,37	geroerd	Ham	Diest		1			
3	VPO2020_5	GEO-12/129-B10	383		20	20,5		10,37	geroerd	Ham	Diest		1	1		
4	VPO2020_7	GEO-12/129-B10	383		22	22,5		8,37	geroerd	Ham	Diest		1			
5	VPO2020_9	GEO-12/129-B10	383		24	24,5		6,37	geroerd	Ham	Diest		1	1		
6	VPO2020_11	GEO-12/129-B9	385		14	14,5		16,44	geroerd	Meerhout	Diest		1			
7	VPO2020_13	GEO-12/129-B9	385		16	16,5		14,44	geroerd	Meerhout	Diest		1	1		
8	VPO2020_15	GEO-12/129-B9	385		18	18,5		12,44	geroerd	Meerhout	Diest		1			
9	VPO2020_17	GEO-12/129-B9	385		20	20,5		10,44	geroerd	Meerhout	Diest		1	1		
10	VPO2020_19	GEO-12/129-B9	385		21	21,5		9,44	geroerd	Meerhout	Diest		1			
11	VPO2020_21	GEO-12/027-B6	380		3	3,5		2,69	geroerd	Zelzate	Eeklo		1			
12	VPO2020_23	GEO-12/027-B6	380		5	5,5		0,69	geroerd	Zelzate	Eeklo		1		1	1
13	VPO2020_25	GEO-12/027-B6	380		7	7,5		-1,31	geroerd	Zelzate	Eeklo		1			
14	VPO2020_27	GEO-12/027-B6	380		13	13,5		-7,31	geroerd	Zelzate	Eeklo		1			
15	VPO2020_29	GEO-12/027-B6	381		16	16,5		-10,31	geroerd	Zelzate	Eeklo		1		1	1
16	VPO2020_31	GEO-12/027-B6	381		19	19,5		-13,31	geroerd	Zelzate	Zelzate	Bassevelde	1	1	1	1

nr	Staalnaam	Boring	v_i d	m_i d	Diepte van	Diepte tot	Diep te	Hoogte (mTAW)	Staalty pe	Locatie	Formatie	Lid	K	G	O C	I C
17	VPO2020_33	GEO-12/027-B6	381		22	22,5		-16,31	geroerd	Zelzate	Zelzate	Bassevelde	1			
18	VPO2020_35	GEO-12/027-B6	381		25	25,5		-19,31	geroerd	Zelzate	Zelzate	Bassevelde	1	1	1	1
19	VPO2020_37	GEO-12/027-B4	129		3	3,5		1,66	geroerd	Zelzate	Eeklo		1			
20	VPO2020_39	GEO-12/027-B4	129		5	5,5		-0,34	geroerd	Zelzate	Eeklo		1			
21	VPO2020_41	GEO-12/027-B4	129		8	8,5		-3,34	geroerd	Zelzate	Eeklo		1			
22	VPO2020_43	GEO-12/027-B4	129		13	13,5		-8,34	geroerd	Zelzate	Eeklo		1			
23	VPO2020_45	GEO-12/027-B4	130		15,5	16		-10,84	geroerd	Zelzate	Eeklo		1			
24	VPO2020_47	GEO-12/027-B4	130		16,5	17		-11,84	geroerd	Zelzate	Zelzate	Bassevelde	1			
25	VPO2020_49	GEO-12/027-B4	130		21	21,5		-16,34	geroerd	Zelzate	Zelzate	Bassevelde	1			
26	VPO2020_51	GEO-12/027-B4	130		25	25,5		-20,34	geroerd	Zelzate	Zelzate	Bassevelde	1			
27	VPO2020_53	GEO-09/006-B11	465		7	7,5		-4,5	geroerd	Kallo	Quartair		1			
28	VPO2020_55	GEO-09/006-B11	465		8,5	9		-6	geroerd	Kallo	Quartair		1			
29	VPO2020_57	GEO-09/006-B11	465		10,5	11		-8	geroerd	Kallo	Lillo		1			
30	VPO2020_59	GEO-09/006-B11	465		16	16,5		-13,5	geroerd	Kallo	Lillo		1			
31	VPO2020_61	GEO-09/006-B11	465		17,5	18		-15	geroerd	Kallo	Kattendijk		1			
32	VPO2020_63	GEO-09/006-B11	465		22,5	23		-20	geroerd	Kallo	Kattendijk		1			
33	VPO2020_65	GEO-09/006-B11	465		24,5	25		-22	geroerd	Kallo	Berchem		1			
34	VPO2020_67	GEO-09/006-B11	465		26	26,5		-23,5	geroerd	Kallo	Boom		1		1	1



nr	Staalnaam	Boring	v_i d	m_i d	Diepte van	Diepte tot	Diep te	Hoogte (mTAW)	Staalty pe	Locatie	Formatie	Lid	K	G	O C	I C
35	VPO2020_69	GEO-09/006-B9	131		7	7,5		-4,43	geroerd	Kallo	Quartair		1			
36	VPO2020_71	GEO-09/006-B9	131		8,5	9		-5,93	geroerd	Kallo	Quartair		1			
37	VPO2020_73	GEO-09/006-B9	131		10	10,5		-7,43	geroerd	Kallo	Lillo		1			
38	VPO2020_75	GEO-09/006-B9	131		15	15,5		-12,43	geroerd	Kallo	Lillo		1			
39	VPO2020_77	GEO-09/006-B9	131		16,5	17		-13,93	geroerd	Kallo	Kattendijk		1			
40	VPO2020_79	GEO-09/006-B9	131		20	20,5		-17,43	geroerd	Kallo	Kattendijk		1			
41	VPO2020_81	GEO-09/006-B9	131		24,5	25		-21,93	geroerd	Kallo	Berchem		1			
42	VPO2020_83	GEO-09/006-B9	131		26,5	27		-23,93	geroerd	Kallo	Boom		1			
43	VPO2020_85	GEO-12/115-B2		842			23,5	-18,52	ongererd	Antwerpen	Berchem	Edegem	1	1	1	1
44	VPO2020_86	GEO-12/115-B2		839			20,5	-15,52	ongererd	Antwerpen	Berchem	Kiel	1	1	1	1
45	VPO2020_87	GEO-12/115-B2		836			17,8	-12,82	ongererd	Antwerpen	Berchem	Kiel	1	1	1	1
46	VPO2020_88	GEO-12/115-B2		833			14,8	-9,82	ongererd	Antwerpen	Berchem	Kiel	1			
47	VPO2020_89	GEO-12/115-B2		831			12,5	-7,52	ongererd	Antwerpen	Berchem	Antwerpen	1	1	1	1
48	VPO2020_90	GEO-12/115-B2		829			10,5	-5,52	ongererd	Antwerpen	Berchem	Antwerpen	1	1	1	1
49	VPO2020_91	GEO-12/115-B2		828			9,5	-4,52	ongererd	Antwerpen	Berchem	Antwerpen	1			
50	VPO2020_92	GEO-12/115-B2		827			8,6	-3,62	ongererd	Antwerpen	Berchem	Antwerpen	1	1	1	1
51	VPO2020_93	GEO-12/115-B2		827			8,25	-3,27	ongererd	Antwerpen	Kattendijk		1	1	1	1
52	VPO2020_94	GEO-12/115-B2		825			6,5	-1,52	ongererd	Antwerpen	Kattendijk		1	1	1	1
53	VPO2020_95	GEO-12/115-B2		826			7,8	-2,82	ongererd	Antwerpen	Kattendijk		1			



nr	Staalnaam	Boring	v_i d	m_i d	Diepte van	Diepte tot	Diep te	Hoogte (mTAW)	Staalty pe	Locatie	Formatie	Lid	K	G	O C	I C
54	VPO2020_96	GEO-12/115-B2		836	17,5	18		-12,77	gemeng d	Antwerpen	Berchem	Kiel	1			
55	VPO2020_97	GEO-12/115-B2		826	7,5	8		-2,77	gemeng d	Antwerpen	Kattendijk		1			
56	VPO2020_98	GEO-12/115-B3		727	24,5	25		-19,61	geroerd	Antwerpen	Berchem	Edegem	1			
57	VPO2020_99	GEO-12/115-B3		726	23	23,5		-18,11	geroerd	Antwerpen	Berchem	Edegem	1			
58	VPO2020_100	GEO-12/115-B3		721	20,5	21		-15,61	geroerd	Antwerpen	Berchem	Kiel	1			
59	VPO2020_101	GEO-12/115-B3		720	20	20,5		-15,11	geroerd	Antwerpen	Berchem	Kiel	1			
60	VPO2020_102	GEO-12/115-B3		717	18	18,5		-13,11	geroerd	Antwerpen	Berchem	Kiel	1			
61	VPO2020_103	GEO-12/115-B3		716	17,5	18		-12,61	geroerd	Antwerpen	Berchem	Kiel	1			
62	VPO2020_104	GEO-12/115-B3		713	15	15,5		-10,11	geroerd	Antwerpen	Berchem	Antwerpen	1			
63	VPO2020_105	GEO-12/115-B3		712	14,5	15		-9,61	geroerd	Antwerpen	Berchem	Antwerpen	1			
64	VPO2020_106	GEO-12/115-B3		709	13	13,5		-8,11	geroerd	Antwerpen	Berchem	Antwerpen	1			
65	VPO2020_107	GEO-12/115-B3		708	12	12,5		-7,11	geroerd	Antwerpen	Berchem	Antwerpen	1			
66	VPO2020_108	GEO-12/115-B3		707	11,5	12		-6,61	geroerd	Antwerpen	Berchem	Antwerpen	1			
67	VPO2020_109	GEO-12/115-B3		706	11	11,5		-6,11	geroerd	Antwerpen	Berchem	Antwerpen	1			
68	VPO2020_110	GEO-12/115-B3		705	10,5	11		-5,61	geroerd	Antwerpen	Berchem	Antwerpen	1			
69	VPO2020_111	GEO-12/115-B3		705	10,5	11		-5,61	geroerd	Antwerpen	Berchem	Antwerpen	1			
70	VPO2020_112	GEO-12/115-B3		704	9,25	9,5		-4,235	geroerd	Antwerpen	Berchem	Antwerpen	1			
71	VPO2020_113	GEO-12/115-B3		704	9,25	9,5		-4,235	geroerd	Antwerpen	Berchem	Antwerpen	1			



nr	Staalnaam	Boring	v_i d	m_i d	Diepte van	Diepte tot	Diep te	Hoogte (mTAW)	Staalty pe	Locatie	Formatie	Lid	K	G	O C	I C
72	VPO2020_114	GEO-12/115-B3		703	9	9,25		-3,985	geroerd	Antwerpen	Kattendijk		1			
73	VPO2020_115	GEO-12/115-B3		702	8,5	9		-3,61	geroerd	Antwerpen	Kattendijk		1			
74	VPO2020_116	GEO-12/115-B3		701	8	8,5		-3,11	geroerd	Antwerpen	Kattendijk		1			
75	VPO2020_117	GEO-12/115-B3		700	7,5	8		-2,61	geroerd	Antwerpen	Kattendijk		1			
76	VPO2020_118	GEO-12/115-B8		866			24,5	-19,16	ongeroerd	Antwerpen	Berchem	Edegem	1	1	1	1
77	VPO2020_119	GEO-12/115-B8		864			22,5	-17,16	ongeroerd	Antwerpen	Berchem	Edegem	1			
78	VPO2020_120	GEO-12/115-B8		861			19,5	-14,16	ongeroerd	Antwerpen	Berchem	Kiel	1	1	1	1
79	VPO2020_121	GEO-12/115-B8		856			14,8	-9,46	ongeroerd	Antwerpen	Berchem	Antwerpen	1	1	1	1
80	VPO2020_122	GEO-12/115-B8		855			13,8	-8,46	ongeroerd	Antwerpen	Berchem	Antwerpen	1	1	1	1
81	VPO2020_123	GEO-12/115-B8		854			12,5	-7,16	ongeroerd	Antwerpen	Kattendijk		1	1	1	1
82	VPO2020_124	GEO-12/115-B8		853			11,2	-5,86	ongeroerd	Antwerpen	Kattendijk		1	1	1	1
83	VPO2020_125	GEO-12/115-B8		851			9,5	-4,16	ongeroerd	Antwerpen	Kattendijk		1	1	1	1
84	VPO2020_126	GEO-12/115-B8		850			8,5	-3,16	ongeroerd	Antwerpen	Lillo	Kruisschans	1	1	1	1
85	VPO2020_127	GEO-12/115-B8		849			7,5	-2,16	ongeroerd	Antwerpen	Lillo	Kruisschans	1	1	1	1
86	VPO2020_128	GEO-12/115-B8		847			5,5	-0,16	ongeroerd	Antwerpen	Lillo	Merksem	1	1	1	1
87	VPO2020_129	GEO-12/115-B8		856	14,5	15		-9,41	gemengd	Antwerpen	Berchem	Antwerpen	1			
88	VPO2020_130	GEO-12/115-B8		853	11	11,5		-5,91	gemengd	Antwerpen	Kattendijk		1			
89	VPO2020_131	GEO-12/115-B7		772	24,5	25		-18,7	geroerd	Antwerpen	Berchem	Edegem	1			
90	VPO2020_132	GEO-12/115-B7		771	23,5	24		-17,7	geroerd	Antwerpen	Berchem	Edegem	1			



nr	Staalnaam	Boring	v_i d	m_i d	Diepte van	Diepte tot	Diep te	Hoogte (mTAW)	Staalty pe	Locatie	Formatie	Lid	K	G	O C	I C
91	VPO2020_133	GEO-12/115-B7		770	23	23,5		-17,2	geroerd	Antwerpen	Berchem	Edegem	1			
92	VPO2020_134	GEO-12/115-B7		769	22,5	23		-16,7	geroerd	Antwerpen	Berchem	Kiel	1			
93	VPO2020_135	GEO-12/115-B7		765	20	20,5		-14,2	geroerd	Antwerpen	Berchem	Kiel	1			
94	VPO2020_136	GEO-12/115-B7		764	19	19,5		-13,2	geroerd	Antwerpen	Berchem	Kiel	1			
95	VPO2020_137	GEO-12/115-B7		757	15,5	16		-9,7	geroerd	Antwerpen	Berchem	Antwerpen	1			
96	VPO2020_138	GEO-12/115-B7		756	14,5	15		-8,7	geroerd	Antwerpen	Berchem	Antwerpen	1			
97	VPO2020_139	GEO-12/115-B7		755	14	14,5		-8,2	geroerd	Antwerpen	Berchem	Antwerpen	1			
98	VPO2020_140	GEO-12/115-B7		754	13,5	14		-7,7	geroerd	Antwerpen	Berchem	Antwerpen	1			
99	VPO2020_141	GEO-12/115-B7		753	12,5	13		-6,7	geroerd	Antwerpen	Kattendijk		1			
100	VPO2020_142	GEO-12/115-B7		752	12	12,5		-6,2	geroerd	Antwerpen	Kattendijk		1			
101	VPO2020_143	GEO-12/115-B7		751	11,5	12		-5,7	geroerd	Antwerpen	Kattendijk		1			
102	VPO2020_144	GEO-12/115-B7		750	11	11,5		-5,2	geroerd	Antwerpen	Kattendijk		1			
103	VPO2020_145	GEO-12/115-B7		748	9,5	10		-3,7	geroerd	Antwerpen	Kattendijk		1			
104	VPO2020_146	GEO-12/115-B7		747	9	9,5		-3,2	geroerd	Antwerpen	Kattendijk		1			
105	VPO2020_147	GEO-12/115-B7		746	8,5	9		-2,7	geroerd	Antwerpen	Lillo	Oorderen	1			
106	VPO2020_148	GEO-12/115-B7		745	8	8,5		-2,2	geroerd	Antwerpen	Lillo	Oorderen	1			
107	VPO2020_149	GEO-12/115-B7		742	6,5	7		-0,7	geroerd	Antwerpen	Lillo	Merksem	1			
108	VPO2020_150	GEO-12/115-B7		741	6	6,5		-0,2	geroerd	Antwerpen	Lillo	Merksem	1			



nr	Staalnaam	Boring	v_i d	m_i d	Diepte van	Diepte tot	Diep te	Hoogte (mTAW)	Staalty pe	Locatie	Formatie	Lid	K	G	O C	I C
109	VPO2020_151	1439-BB17-0115		183			5,75	9,35	ongeroerd	Vilvoorde	Brussel		1	1	1	1
110	VPO2020_152	1439-BB17-0115		183			5,9	9,2	ongeroerd	Vilvoorde	Brussel		1			
111	VPO2020_153	1439-BB17-0115		185			13,5	1,6	ongeroerd	Vilvoorde	Mont-Panisel		1			
112	VPO2020_154	1439-BB17-0115		185			13,9	1,2	ongeroerd	Vilvoorde	Mont-Panisel		1	1	1	1
113	VPO2020_155	1439-BB17-0115		187			38,2	-23,1	ongeroerd	Vilvoorde	Mons-en-pevele		1			
114	VPO2020_156	1439-BB17-0115		187			38,8	-23,7	ongeroerd	Vilvoorde	Mons-en-pevele		1	1	1	1
115	VPO2020_157	1439-BB17-0115		189			74,5	-59,4	ongeroerd	Vilvoorde	Orchies		1		1	1
116	VPO2020_158	1439-BB17-0115		191			95,6	-80,5	ongeroerd	Vilvoorde	Mont-Héribu		1		1	1
117	VPO2020_159	1439-BB17-0115		195			104,7	-89,6	ongeroerd	Vilvoorde	Grandglise		1	1	1	1
118	VPO2020_160	1439-BB17-0115		195			104,9	-89,8	ongeroerd	Vilvoorde	Grandglise		1			
119	VPO2020_161	1439-BB69-1818		460			5,2	0,8	ongeroerd	Zeebrugge	Holoceen		1			
120	VPO2020_162	1439-BB69-1818		463			9,15	-3,15	ongeroerd	Zeebrugge	Holoceen		1			
121	VPO2020_163	1439-BB69-1818		464			10,9	-4,9	ongeroerd	Zeebrugge	Pleistoceen		1			
122	VPO2020_164	1439-BB69-1818		465			12,05	-6,05	ongeroerd	Zeebrugge	Pleistoceen		1			
123	VPO2020_165	1439-BB69-1818		466			13,8	-7,8	ongeroerd	Zeebrugge	Pleistoceen		1			
124	VPO2020_166	1439-BB69-1818		473			24,5	-18,5	ongeroerd	Zeebrugge	Pleistoceen		1			
125	VPO2020_167	1439-BB69-1818		475			27,5	-21,5	ongeroerd	Zeebrugge	Aalter	Oedelem	1			
126	VPO2020_168	1439-BB69-1818		477			30,8	-24,8	ongeroerd	Zeebrugge	Aalter	Oedelem	1	1	1	1
127	VPO2020_169	1439-BB69-1818		480			35,5	-29,5	ongeroerd	Zeebrugge	Aalter	Oedelem	1			



nr	Staalnaam	Boring	v_i d	m_i d	Diepte van	Diepte tot	Diep te	Hoogte (mTAW)	Staalty pe	Locatie	Formatie	Lid	K	G	O C	I C
128	VPO2020_170	1439-BB69-1818		483			40,5	-34,5	ongeroerd	Zeebrugge	Aalter	Oedelem	1			
129	VPO2020_171	GEO-14/113-B3		487			21,2	-13,21	ongeroerd	Antwerpen	Lillo		1			
130	VPO2020_172	GEO-14/113-B3		499			16,2	-8,21	ongeroerd	Antwerpen	Lillo		1			
131	VPO2020_173	GEO-14/113-B3		498			13,2	-5,21	ongeroerd	Antwerpen	Lillo		1			
132	VPO2020_174	GEO-14/113-B3		497			9	-1,01	ongeroerd	Antwerpen	Pleistoceen		1			
133	VPO2020_175	GEO-14/029-B68		509			14,2	-6,29	ongeroerd	Antwerpen	Lillo	Kruisschans	1			
134	VPO2020_176	GEO-14/029-B68		506			5,2	2,71	ongeroerd	Antwerpen	Holoceen		1			
135	VPO2020_177	GEO-14/113-B5		492			13,2	-5,41	ongeroerd	Antwerpen	Lillo		1			
136	VPO2020_178	GEO-14/113-B5		490			7,2	0,59	ongeroerd	Antwerpen	Quartair		1			
137	VPO2020_179	VLA17-4.1-001-TO1		221	0	5		62,4	ontsluiting	Leuven	Diest		1	1		
138	VPO2020_180	VLA17-4.1-001-TO6		224	0	2		57,2	ontsluiting	Leuven	Diest		1	1		
139	VPO2020_181	VLA17-4.1-001-TO6		225	0	2		57,2	ontsluiting	Leuven	Diest		1	1		
140	VPO2020_182	VLA17-4.1-001-TO8.1		227	0	5		58	ontsluiting	Leuven	Diest		1			
141	VPO2020_183	VLA17-4.1-002-TO1A		233	0,55	0,97		23,56	ontsluiting	Ardoorie	Gent		1	1	1	1
142	VPO2020_184	VLA17-4.1-002-TO1A		234	0,97	1,59		23,04	ontsluiting	Ardoorie	Gent		1			
143	VPO2020_185	VLA17-4.1-002-TO1A		235	2,07	2,76		21,905	ontsluiting	Ardoorie	Gent		1			
144	VPO2020_186	VLA17-4.1-002-TO1C		240	0,41	0,83		23	ontsluiting	Ardoorie	Arenberg		1	1	1	1
145	VPO2020_187	VLA17-4.1-002-TO1C		242	1,24	1,59		22,205	ontsluiting	Ardoorie	Arenberg		1			



nr	Staalnaam	Boring	v_i d	m_i d	Diepte van	Diepte tot	Diep te	Hoogte (mTAW)	Staalty pe	Locatie	Formatie	Lid	K	G	O C	I C
146	VPO2020_188	VLA17-4.1-002-TO1C		243	1,59	1,94		21,855	ontsluiting	Ardooie	Arenberg		1			
147	VPO2020_189	VLA17-4.1-002-TO2A		255	1,3	3		23,02	ontsluiting	Ardooie	Tielt	Kortemark	1	1	1	1
148	VPO2020_190	VLA17-4.1-002-TO2A		256	3	3,4		21,97	ontsluiting	Ardooie	Tielt	Kortemark	1			
149	VPO2020_191	VLA17-4.1-003-TO6		210	1,79	2,5		58,355	ontsluiting	Lubbeek	Sint-Huibrechts-Hern	Neerrepen	1	1		
150	VPO2020_192	VLA17-4.1-003-TO6		211	1,6	1,79		58,805	ontsluiting	Lubbeek	Sint-Huibrechts-Hern	Neerrepen	1	1	1	1
151	VPO2020_193	VLA17-4.1-003-TO6		212	1,5	1,6		58,95	ontsluiting	Lubbeek	Borgloon	Boutersem Hoogbutsel	1		1	1
152	VPO2020_194	VLA17-4.1-003-TO6		213	1,44	1,49		59,035	ontsluiting	Lubbeek	Borgloon	Boutersem Hoogbutsel	1			
153	VPO2020_195	VLA17-4.1-003-TO6		214	1,12	1,44		59,22	ontsluiting	Lubbeek	Borgloon	Boutersem	1	1	1	1
154	VPO2020_196	VLA17-4.1-003-TO6		215	0,69	1,12		59,595	ontsluiting	Lubbeek	Borgloon	Boutersem	1			
155	VPO2020_197	VLA17-4.1-003-TO6		216	0,5	0,69		59,905	ontsluiting	Lubbeek	Borgloon	Boutersem	1			
156	VPO2020_198	VLA17-4.1-003-TO7		217	2,28	2,66		59,41	ontsluiting	Lubbeek	Borgloon	Boutersem	1			
157	VPO2020_199	VLA17-4.1-003-TO7		218	1,1	1,89		60,385	ontsluiting	Lubbeek	Borgloon	Kerkom	1	1	1	1
158	VPO2020_200	VLA17-4.1-003-TO7		219	0,09	1,1		61,285	ontsluiting	Lubbeek	Borgloon	Kerkom	1	1	1	1
159	VPO2020_201	VLA17-4.1-003-TO7		220	0	0,09		61,835	ontsluiting	Lubbeek	Borgloon	Kerkom	1	1	1	1
160	VPO2020_202	VLA17-4.1-003-TO1.3		196	1,2	1,39		64,465	ontsluiting	Lubbeek	Borgloon	Kerkom	1		1	1
161	VPO2020_203	VLA17-4.1-003-TO1.4		198	1,1	1,36		65,83	ontsluiting	Lubbeek	Borgloon	Kerkom	1		1	1
162	VPO2020_204	VLA17-4.1-003-TO5		205	3,7	3,8		66,25	ontsluiting	Lubbeek	Borgloon	Kerkom Heide	1		1	1
163	VPO2020_205	VLA17-4.1-003-TO5		206	3,6	3,7		66,35	ontsluiting	Lubbeek	Borgloon	Kerkom Heide	1	1	1	1
164	VPO2020_206	VLA17-4.1-003-TO5		207	2,9	3		67,05	ontsluiting	Lubbeek	Borgloon	Kerkom Heide	1			



nr	Staalnaam	Boring	v_i d	m_i d	Diepte van	Diepte tot	Diep te	Hoogte (mTAW)	Staalty pe	Locatie	Formatie	Lid	K	G	O C	I C
165	VPO2020_207	VLA17-4.1-003-TO5		208	2,2	2,3		67,75	ontsluiting	Lubbeek	Bilzen	Berg	1			
166	VPO2020_208	VLA17-4.1-003-TO5		209	1,9	2		68,05	ontsluiting	Lubbeek	Bilzen	Berg	1	1	1	1
167	VPO2020_209	VLA17-4.1-003-TO4		203	2,2	2,3		71,25	ontsluiting	Lubbeek	Bilzen	Berg	1		1	1
168	VPO2020_210	VLA17-4.1-003-TO4		204	1,2	1,3		72,25	ontsluiting	Lubbeek	Bilzen	Berg	1			
169	VPO2020_211	VLA17-4.1-003-TO3		199	5,4	5,65		73,9	ontsluiting	Lubbeek	Boom	Terhagen	1			
170	VPO2020_212	VLA17-4.1-003-TO3		201	1,4	1,95		77,7	ontsluiting	Lubbeek	Boom	Terhagen	1			
171	VPO2020_213	VLA17-4.1-004-TO1		510	2,5	3,7		11,3	ontsluiting	Aarschot	Diest		1	1		
172	VPO2020_214	VLA17-4.1-004-TO3		514	0	0,8		20,15	ontsluiting	Aarschot	Diest		1	1		
173	VPO2020_215	VLA17-4.1-004-TO6		516	0,2	0,95		18,38	ontsluiting	Aarschot	Diest		1	1		
174	VPO2020_216	VLA17-4.1-004-TO11		520	1,05	1,07		15,24	ontsluiting	Aarschot	Diest		1			
175	VPO2020_217	VLA17-4.1-006-TO2.7		2113	2,5	3,1		53	ontsluiting	Diest	Diest		1	1		
176	VPO2020_218	VLA17-4.1-006-TO2.7		2112	1,98	2,11		53,76	ontsluiting	Diest	Diest		1			
177	VPO2020_219	VLA17-4.1-006-TO2.7		2111	1,08	1,55		54,49	ontsluiting	Diest	Diest		1	1		
178	VPO2020_220	VLA17-4.1-006-TO2.1		2114	2,32	2,94		55,57	ontsluiting	Diest	Diest		1			
179	VPO2020_221	VLA17-4.1-007-TO6		2128	1,32	3,53		21,98	ontsluiting	Beerse	Weelde	Rijkevorsel	1		1	1
180	VPO2020_222	VLA17-4.1-007-TO2		2115	0,64	0,8		23,53	ontsluiting	Beerse	Weelde	Beerse	1			
181	VPO2020_223	VLA17-4.1-007-TO2		2116	0,1	0,64		23,88	ontsluiting	Beerse	Weelde	Beerse	1	1	1	1
182	VPO2020_224	VLA17-4.1-007-TO1		2117	1,61	1,75		24,11	ontsluiting	Beerse	Weelde	Beerse	1		1	1



nr	Staalnaam	Boring	v_i d	m_i d	Diepte van	Diepte tot	Diep te	Hoogte (mTAW)	Staalty pe	Locatie	Formatie	Lid	K	G	O C	I C
183	VPO2020_225	VLA17-4.1-007-TO1		2118	0,62	1,61		24,68	ontsluiting	Beerse	Weelde	Turnhout	1		1	1
184	VPO2020_226	VLA17-4.1-007-TO1		2119	0,48	0,62		25,24	ontsluiting	Beerse	Weelde	Turnhout	1			
185	VPO2020_227	VLA17-4.1-007-TO1		2120	0	0,4		25,59	ontsluiting	Beerse	Ravels		1			
186	VPO2020_228	VLA17-4.1-007-TO3		2122	0	1,03		26,34	ontsluiting	Beerse	Ravels		1	1	1	1
187	VPO2020_229	VLA17-4.1-008-TO1		2352	0,47	0,57		12,44	ontsluiting	Egem	Tielt	Kortemark	1			
188	VPO2020_230	VLA17-4.1-008-TO1		2351	0,42	0,47		12,52	ontsluiting	Egem	Tielt	Kortemark	1	1	1	1
189	VPO2020_231	VLA17-4.1-008-TO3		2359	1,09	1,89		33,2	ontsluiting	Egem	Hyon	Egem	1	1		
190	VPO2020_232	VLA17-4.1-008-TO3		2358	0,39	1,09		33,91	ontsluiting	Egem	Hyon	Egem	1	1	1	1
191	VPO2020_233	VLA17-4.1-008-TO3		2356	0,04	0,37		34,45	ontsluiting	Egem	Hyon	Egem	1	1		
192	VPO2020_234	VLA17-4.1-008-TO4		2362	0	0,34		31,13	ontsluiting	Egem	Hyon	Egem	1			
193	VPO2020_235	VLA17-4.1-008-TO5		2369	2,25	2,55		43,35	ontsluiting	Egem	Hyon	Egem	1			
194	VPO2020_236	VLA17-4.1-008-TO5		2367	1,1	1,85		44,28	ontsluiting	Egem	Gentbrugge	Pittem	1	1	1	1
195	VPO2020_237	VLA17-4.1-008-TO5		2366	0,05	1,1		45,18	ontsluiting	Egem	Gentbrugge	Pittem	1			
196	VPO2020_238	VLA17-4.1-009-TO3		2289	4,59	5,64		87,89	ontsluiting	Riemst	Maastricht	Emael	1		1	1
197	VPO2020_239	VLA17-4.1-009-TO3		2287	1,6	1,8		91,3	ontsluiting	Riemst	Maastricht	Nekum	1	1	1	1
198	VPO2020_240	VLA17-4.1-009-TO3		2286	0,6	1,6		91,9	ontsluiting	Riemst	Maastricht	Nekum	1			
199	VPO2020_241	VLA17-4.1-009-TO1.1		2276	1,72	2,77		77,4	ontsluiting	Riemst	Maastricht	Gronsveld	1			
200	VPO2020_242	VLA17-4.1-009-TO1.5		2282	1,55	2,8		83,93	ontsluiting	Riemst	Maastricht	Emael	1	1	1	1
201	VPO2020_243	VLA17-4.1-010-TO8		2271	0,15	0,7		79,88	ontsluiting	Volkegem	Hyon	Egem	1			



nr	Staalnaam	Boring	v_i d	m_i d	Diepte van	Diepte tot	Diep te	Hoogte (mTAW)	Staalty pe	Locatie	Formatie	Lid	K	G	O C	I C
20 2	VPO2020_244	VLA17-4.1-010-TO9		227 3	0,4	1,4		80,5	ontsluiting	Volkegem	Hyon	Egem	1	1	1	1
20 3	VPO2020_245	VLA17-4.1-010-TO8		227 0	0	0,15		80,23	ontsluiting	Volkegem	Gembloux	Brabant	1			
20 4	VPO2020_246	VLA17-4.1-010-TO9		227 2	0,17	0,4		81,12	ontsluiting	Volkegem	Gembloux	Brabant	1	1	1	1
20 5	VPO2020_247	VLA17-4.1-010-TO4		226 6	1,8	2		84,8	ontsluiting	Volkegem	Gembloux	Brabant	1		1	1
20 6	VPO2020_248	VLA17-4.1-010-TO4		226 5	0,8	1,8		85,4	ontsluiting	Volkegem	Gembloux	Brabant	1			
20 7	VPO2020_249	VLA17-4.1-010-TO4		226 4	0	0,8		86,3	ontsluiting	Volkegem	Gembloux	Brabant	1			
20 8	VPO2020_250	VLA17-4.1-010-TO2		226 1	0	1		81,1	ontsluiting	Volkegem	Gembloux	Brabant	1		1	1
20 9	2314	TO-20210416-1		231 4	4,69	5,7	5,19 5	88,705	ontsluiting	Saintes	Mons-en-Pévèle	Mons-en-Pévèle	1	1	1	1
21 0	2313	TO-20210416-1		231 3	4,69	5,7	5,19 5	88,705	ontsluiting	Saintes	Mons-en-Pévèle	Mons-en-Pévèle	1	1	1	1
21 1	2312	TO-20210416-1		231 2	4,34	4,69	4,51 5	89,385	ontsluiting	Saintes	Mons-en-Pévèle	Mons-en-Pévèle	1		1	1
21 2	2311	TO-20210416-1		231 1	2,89	4,34	3,61 5	90,285	ontsluiting	Saintes	Mons-en-Pévèle	Mons-en-Pévèle	1	1	1	1
21 3	2310	TO-20210416-1		231 0	2,63	2,89	2,76	91,14	ontsluiting	Saintes	Mons-en-Pévèle	Mons-en-Pévèle	1	1	1	1
21 4	2309	TO-20210416-1		230 9	2,32	2,63	2,47 5	91,425	ontsluiting	Saintes	Mons-en-Pévèle	Mons-en-Pévèle	1	1	1	1
21 5	2308	TO-20210416-1		230 8	2,15	2,32	2,23 5	91,665	ontsluiting	Saintes	Mons-en-Pévèle	Mons-en-Pévèle	1	1	1	1
21 6	2307	TO-20210416-1		230 7	2,06	2,15	2,10 5	91,795	ontsluiting	Saintes	Mons-en-Pévèle	Mons-en-Pévèle	1		1	1
21 7	2306	TO-20210416-1		230 6	1,36	2,06	1,71	92,19	ontsluiting	Saintes	Mons-en-Pévèle	Mons-en-Pévèle	1	1	1	1
21 8	2305	TO-20210416-1		230 5	1,05	1,36	1,20 5	92,695	ontsluiting	Saintes	Mons-en-Pévèle	Mons-en-Pévèle	1	1	1	1
21 9	2304	TO-20210416-1		230 4	0,7	1,05	0,87 5	93,025	ontsluiting	Saintes	Mons-en-Pévèle	Mons-en-Pévèle	1	1	1	1



nr	Staalnaam	Boring	v_i d	m_i d	Diepte van	Diepte tot	Diep te	Hoogte (mTAW)	Staalty pe	Locatie	Formatie	Lid	K	G	O C	I C
220	2325	TO-20210416-1b		2325	0	0,9	0,45	88,255	ontsluiting	Saintes	Mons-en-Pévèle	Mons-en-Pévèle	1	1	1	1
221	2326	TO-20210416-1b		2326	0,9	1,35	1,125	87,58	ontsluiting	Saintes	Mons-en-Pévèle	Mons-en-Pévèle	1			
222	2327	TO-20210416-1b		2327	1,35	2,2	1,775	86,93	ontsluiting	Saintes	Mons-en-Pévèle	Mons-en-Pévèle	1	1	1	1
223	2328	TO-20210416-1b		2328	2,2	2,5	2,35	86,355	ontsluiting	Saintes	Mons-en-Pévèle	Mons-en-Pévèle	1			
224	2329	TO-20210416-1b		2329	2,5	3,5	3	85,705	ontsluiting	Saintes	Mons-en-Pévèle	Mons-en-Pévèle	1	1	1	1
225	2330	TO-20210416-1b		2330	3,5	4	3,75	84,955	ontsluiting	Saintes	Mons-en-Pévèle	Mons-en-Pévèle	1			
226	2331	TO-20210416-1b		2331	4	4,9	4,45	84,255	ontsluiting	Saintes	Mons-en-Pévèle	Mons-en-Pévèle	1	1	1	1
227	2324	TO-20210416-2		2324	4,26	5,1	4,68	89,62	ontsluiting	Saintes	Mons-en-Pévèle	Mons-en-Pévèle	1	1	1	1
228	2323	TO-20210416-2		2323	3,93	4,26	4,095	90,205	ontsluiting	Saintes	Mons-en-Pévèle	Mons-en-Pévèle	1		1	1
229	2322	TO-20210416-2		2322	2,77	3,93	3,35	90,95	ontsluiting	Saintes	Mons-en-Pévèle	Mons-en-Pévèle	1	1	1	1
230	2321	TO-20210416-2		2321	2,66	2,77	2,715	91,585	ontsluiting	Saintes	Mons-en-Pévèle	Mons-en-Pévèle	1			
231	2320	TO-20210416-2		2320	2,59	2,66	2,625	91,675	ontsluiting	Saintes	Mons-en-Pévèle	Mons-en-Pévèle	1			
232	2319	TO-20210416-2		2319	2,33	2,59	2,46	91,84	ontsluiting	Saintes	Mons-en-Pévèle	Mons-en-Pévèle	1			
233	2318	TO-20210416-2		2318	2,19	2,33	2,26	92,04	ontsluiting	Saintes	Mons-en-Pévèle	Mons-en-Pévèle	1			
234	2317	TO-20210416-2		2317	2,11	2,19	2,15	92,15	ontsluiting	Saintes	Mons-en-Pévèle	Mons-en-Pévèle	1			
235	2316	TO-20210416-2		2316	1,46	2,11	1,785	92,515	ontsluiting	Saintes	Mons-en-Pévèle	Mons-en-Pévèle	1			
236	2315	TO-20210416-2		2315	0,33	1,24	0,785	93,515	ontsluiting	Saintes	Kruishoutem	Kruishoutem	1	1	1	1
237	2341	TO-20210416-3		2341	5,29	6,4	5,845	88,755	ontsluiting	Saintes	Mons-en-Pévèle	Mons-en-Pévèle	1			
238	2340	TO-20210416-3		2340	5,29	6,4	5,845	88,755	ontsluiting	Saintes	Mons-en-Pévèle	Mons-en-Pévèle	1			



nr	Staalnaam	Boring	v_i d	m_i d	Diepte van	Diepte tot	Diep te	Hoogte (mTAW)	Staalty pe	Locatie	Formatie	Lid	K	G	O C	I C
23 9	2339	TO-20210416-3		233 9	4,94	5,29	5,11 5	89,485	ontsluiti ng	Saintes	Mons-en-Pévèle	Mons-en-Pévèle	1		1	1
24 0	2338	TO-20210416-3		233 8	3,61	4,94	4,27 5	90,325	ontsluiti ng	Saintes	Mons-en-Pévèle	Mons-en-Pévèle	1	1	1	1
24 1	2337	TO-20210416-3		233 7	3,28	3,61	3,44 5	91,155	ontsluiti ng	Saintes	Mons-en-Pévèle	Mons-en-Pévèle	1			
24 2	2336	TO-20210416-3		233 6	3,04	3,28	3,16	91,44	ontsluiti ng	Saintes	Mons-en-Pévèle	Mons-en-Pévèle	1			
24 3	2335	TO-20210416-3		233 5	2,79	3,04	2,91 5	91,685	ontsluiti ng	Saintes	Mons-en-Pévèle	Mons-en-Pévèle	1			
24 4	2334	TO-20210416-3		233 4	2,05	2,79	2,42	92,18	ontsluiti ng	Saintes	Mons-en-Pévèle	Mons-en-Pévèle	1			
24 5	2333	TO-20210416-3		233 3	1,93	2,05	1,99	92,61	ontsluiti ng	Saintes	Kruishoutem	Kruishoutem	1	1	1	1
24 6	2332	TO-20210416-3		233 2	0	1,93	0,96 5	93,635	ontsluiti ng	Saintes	Kruishoutem	Kruishoutem	1	1	1	1
24 7	2348	TO-20210416-4		234 8	2,82	4	3,41	88,99	ontsluiti ng	Saintes	Mons-en-Pévèle	Mons-en-Pévèle	1			
24 8	2347	TO-20210416-4		234 7	2,82	4	3,41	88,99	ontsluiti ng	Saintes	Mons-en-Pévèle	Mons-en-Pévèle	1			
24 9	2346	TO-20210416-4		234 6	2,67	2,82	2,74 5	89,655	ontsluiti ng	Saintes	Mons-en-Pévèle	Mons-en-Pévèle	1			
25 0	2345	TO-20210416-4		234 5	1,25	2,67	1,96	90,44	ontsluiti ng	Saintes	Mons-en-Pévèle	Mons-en-Pévèle	1			
25 1	2344	TO-20210416-4		234 4	1,02	1,25	1,13 5	91,265	ontsluiti ng	Saintes	Mons-en-Pévèle	Mons-en-Pévèle	1			
25 2	2343	TO-20210416-4		234 3	0,94	1,02	0,98	91,42	ontsluiti ng	Saintes	Mons-en-Pévèle	Mons-en-Pévèle	1			
25 3	2342	TO-20210416-4		234 2	0	0,94	0,47	91,93	ontsluiti ng	Saintes	hellingsmateriaal	hellingsmateriaal	1			
25 4	2681	TO-20220310-1		268 1			0,1	49	ontsluiti ng	Diegem	Quartair	Quartair	1			1
25 5	2683	TO-20220310-1		268 3			0,68	48,42	ontsluiti ng	Diegem	Lede	Lede	1	1		1
25 6	2684	TO-20220310-1		268 4			1,4	47,7	ontsluiti ng	Diegem	Brussel	Machelen	1	1		1



nr	Staalnaam	Boring	v_i d	m_i d	Diepte van	Diepte tot	Diep te	Hoogte (mTAW)	Staalty pe	Locatie	Formatie	Lid	K	G	O C	I C
257	2685	TO-20220310-1		2685			1,28	47,82	ontsluiting	Diegem	Lede	Lede	1	1		1
258	2686	TO-20220310-1		2686			2,18	46,92	ontsluiting	Diegem	Brussel	Machelen	1	1		1
259	2687	TO-20220310-1		2687			2,9	46,2	ontsluiting	Diegem	Brussel	Machelen	1			1
260	2688	TO-20220310-1		2688			3,56	45,54	ontsluiting	Diegem	Brussel	Machelen	1	1		1
261	2689	TO-20220310-1		2689			3,85	45,25	ontsluiting	Diegem	Brussel	Machelen	1	1		1
262	2690	TO-20220310-1		2690			4,42	44,68	ontsluiting	Diegem	Brussel	Machelen	1			1
263	2691	TO-20220310-1		2691			5,21	43,89	ontsluiting	Diegem	Brussel	Machelen	1	1		1
264	2692	TO-20220310-1b		2692			0,47	46,03	ontsluiting	Diegem	Lede	Lede	1	1		1
265	2693	TO-20220310-2		2693			2,73	47,47	ontsluiting	Diegem	Lede	Lede	1	1	1	1
266	2694	TO-20220310-2		2694			2,33	47,87	ontsluiting	Diegem	Lede	Lede	1	1	1	1
267	2695	TO-20220310-2		2695			3,76	46,44	ontsluiting	Diegem	Brussel	Machelen	1		1	1
268	2696	TO-20220310-2		2696			4,54	45,66	ontsluiting	Diegem	Brussel	Machelen	1		1	1
269	2697	TO-20220310-2		2697			4,86	45,34	ontsluiting	Diegem	Brussel	Machelen	1		1	1
270	2698	TO-20220310-2		2698			5,6	44,6	ontsluiting	Diegem	Brussel	Machelen	1		1	1
271	2699	TO-20220310-3		2699			0	47,8	ontsluiting	Diegem	Lede	Lede	1			1
272	2700	TO-20220310-3		2700			0,84	46,96	ontsluiting	Diegem	Lede	Lede	1			1
273	2702	TO-20220310-3		2702			0,8	47	ontsluiting	Diegem	Brussel	Machelen	1			1
274	2730	TO-20220516-1		2730			0,67	23,03	ontsluiting	Lichtaart	Kasterlee	Lichtaart	1	1		
275	2731	TO-20220516-1		2731			0,39	23,31	ontsluiting	Lichtaart	Lillo	Hukkelberg	1	1		



nr	Staalnaam	Boring	v_i d	m_i d	Diepte van	Diepte tot	Diep te	Hoogte (mTAW)	Staal ty pe	Locatie	Formatie	Lid	K	G	O C	I C
276	2732	TO-20220516-1		273 2			0,19	23,51	ontsluiting	Lichtaart	Lillo	Poederlee	1	1		
277	2733	TO-20220516-2		273 3			2,68	23,02	ontsluiting	Lichtaart	Kasterlee	Lichtaart	1	1		
278	2734	TO-20220516-2		273 4			1,94	23,76	ontsluiting	Lichtaart	Lillo	Poederlee	1	1		
279	2735	TO-20220516-2		273 5			1,45	24,25	ontsluiting	Lichtaart	Lillo	Poederlee	1	1		
280	2736	TO-20220516-2		273 6			0,3	25,4	ontsluiting	Lichtaart	Lillo	Poederlee	1	1		
281	2737	TO-20220516-3		273 7			3,18	25,57	ontsluiting	Lichtaart	Lillo	Poederlee	1	1		
282	2738	TO-20220516-3		273 8			2,69	26,06	ontsluiting	Lichtaart	Lillo	Poederlee	1	1		
283	2739	TO-20220516-3		273 9			2,41	26,34	ontsluiting	Lichtaart	Lillo	Poederlee	1	1		
284	2740	TO-20220516-3		274 0			0,93	27,82	ontsluiting	Lichtaart	Lillo	Poederlee	1	1		
285	2741	TO-20220516-3		274 1			3,01	25,74	ontsluiting	Lichtaart	Lillo	Poederlee	1	1		
286	2660	TO-20220405-1.1		266 0			2,22	58,72	ontsluiting	Kerkom	Borgloon	Kerkom	1	1	1	1
287	2661	TO-20220405-1.1		266 1			2,61	58,33	ontsluiting	Kerkom	Borgloon	Kerkom	1	1	1	1
288	2662	TO-20220405-1.1		266 2			3,07	57,87	ontsluiting	Kerkom	Borgloon	Kerkom	1	1	1	1
289	2663	TO-20220405-1.1		266 3			3,35	57,59	ontsluiting	Kerkom	Borgloon	Kerkom	1	1	1	1
290	2664	TO-20220405-1.1		266 4			3,61	57,33	ontsluiting	Kerkom	Sint-Huibrechts-Hern	Grimmertingen	1	1	1	1
291	2665	TO-20220405-1.1		266 5			3,7	57,24	ontsluiting	Kerkom	Sint-Huibrechts-Hern	Grimmertingen	1	1	1	1
292	2666	TO-20220405-1.2		266 6			1,84	59,64	ontsluiting	Kerkom	Quartair	Quartair	1			
293	2667	TO-20220405-1.2		266 7			2,2	59,28	ontsluiting	Kerkom	Borgloon	Kerkom	1			



nr	Staalnaam	Boring	v_i d	m_i d	Diepte van	Diepte tot	Diep te	Hoogte (mTAW)	Staalty pe	Locatie	Formatie	Lid	K	G	O C	I C
29 4	2668	TO-20220405-1.2		266 8			2,55	58,93	ontsluiting	Kerkom	Borgloon	Kerkom	1			
29 5	2669	TO-20220405-2.1		266 9			1,71	59,46	ontsluiting	Kerkom	Borgloon	Kerkom	1			
29 6	2670	TO-20220405-2.1		267 0			3,01	58,16	ontsluiting	Kerkom	Borgloon	Kerkom	1			
29 7	2671	TO-20220405-2.1		267 1			3,61	57,56	ontsluiting	Kerkom	Borgloon	Kerkom	1			
29 8	2672	TO-20220405-3		267 2			0,96	59,63	ontsluiting	Kerkom	Antropogeen/Quartair	Antropogeen/Quartair	1			
29 9	2673	TO-20220405-3		267 3			1,85	58,74	ontsluiting	Kerkom	Quartair	Quartair	1	1	1	1
30 0	2674	TO-20220405-3		267 4			1,9	58,69	ontsluiting	Kerkom	Quartair	Quartair	1	1	1	1
30 1	2675	TO-20220405-3		267 5			1,84	58,75	ontsluiting	Kerkom	Quartair	Quartair	1	1	1	1
30 2	2676	TO-20220405-3		267 6			2,4	58,19	ontsluiting	Kerkom	Quartair	Quartair (basisgrind)	1		1	1
30 3	2677	TO-20220405-3		267 7			2,58	58,01	ontsluiting	Kerkom	Quartair	Quartair (basisgrind)	1		1	1
30 4	2678	TO-20220405-3		267 8			3,01	57,58	ontsluiting	Kerkom	Borgloon	Kerkom	1			
30 5	2679	TO-20220405-3		267 9			3,33	57,26	ontsluiting	Kerkom	Borgloon	Kerkom	1			
30 6	2680	TO-20220405-3		268 0			3,9	56,69	ontsluiting	Kerkom	Borgloon	Kerkom	1			
30 7	D1	HOB 20190617					8,2	35,5	ontsluiting	Heist-op-den-Berg	Diest	Diest Kempen	1	1		
30 8	Ha1	HOB 20190617					7,9	35,8	ontsluiting	Heist-op-den-Berg	Kasterlee	Hallaar	1	1		
30 9	Ha3	HOB 20190617					6,2	37,5	ontsluiting	Heist-op-den-Berg	Kasterlee	Hallaar	1	1		
31 0	B3	HOB 20190617					4,4	39,3	ontsluiting	Heist-op-den-Berg	Kasterlee	Beerzel	1	1		
31 1	B8	HOB 20190617					3	40,7	ontsluiting	Heist-op-den-Berg	Kasterlee	Beerzel	1	1		
31 2	B11	HOB 20190617					2,1	41,6	ontsluiting	Heist-op-den-Berg	Kasterlee	Beerzel	1	1		



nr	Staalnaam	Boring	v_i d	m_i d	Diepte van	Diepte tot	Diep te	Hoogte (mTAW)	Staalty pe	Locatie	Formatie	Lid	K	G	O C	I C
313	B14	HOB 20190617					1,5	42,2	ontsluiting	Heist-op-den-Berg	Kasterlee	Beerzel	1	1		
314	H3	HOB 20190617					0,5	43,2	ontsluiting	Heist-op-den-Berg	Kasterlee	Heist-op-den-Berg	1	1		
315	H4	HOB 20190617					0,2	43,5	ontsluiting	Heist-op-den-Berg	Kasterlee	Heist-op-den-Berg	1			
316	H5	HOB 20190617					0	43,7	ontsluiting	Heist-op-den-Berg	Kasterlee	Heist-op-den-Berg	1	1		
317	TT_1	1508-B2022-00843-B2		285 8			14,2 5	5,45	ongeroerd	Brussel	Zemst	Zemst	1	1	1	1
318	TT_2	1508-B2022-00843-B2		285 8			14,7 5	4,95	ongeroerd	Brussel	Kortrijk	Orchies	1			
319	TT_4	1508-B2022-00843-B2		286 0			16,7 5	2,95	ongeroerd	Brussel	Kortrijk	Orchies	1	1	1	1
320	TT_6	1508-B2022-00843-B2		286 2			18,7 5	0,95	ongeroerd	Brussel	Kortrijk	Orchies	1	1	1	1
321	TT_7	1508-B2022-00843-B2		286 3			19,2 5	0,45	ongeroerd	Brussel	Kortrijk	Orchies	1	1	1	1
322	TT_8	1508-B2022-00843-B2		286 3			19,7 5	-0,05	ongeroerd	Brussel	Kortrijk	Orchies	1			
323	TT_9	1508-B2022-00843-B2		286 4			20,2 5	-0,55	ongeroerd	Brussel	Kortrijk	Orchies	1			
324	TT_10	1508-B2022-00843-B2		286 5			21	-1,3	ongeroerd	Brussel	Kortrijk	Orchies	1	1	1	1
325	TT_11	1508-B2022-00843-B2		286 5			21,7 5	-2,05	ongeroerd	Brussel	Kortrijk	Orchies	1			
326	TT_12	1508-B2022-00843-B2		286 6			22,2 5	-2,55	ongeroerd	Brussel	Kortrijk	Orchies	1			
327	TT_13	1508-B2022-00843-B2		286 6			22,7 5	-3,05	ongeroerd	Brussel	Kortrijk	Orchies	1		1	1
328	TT_14	1508-B2022-00843-B2		286 7			23,2 5	-3,55	ongeroerd	Brussel	Kortrijk	Orchies	1			
329	TT_15	1508-B2022-00843-B2		286 7			23,7 5	-4,05	ongeroerd	Brussel	Kortrijk	Orchies	1	1	1	1
330	TT_16	1508-B2022-00843-B2		286 8			24,2 5	-4,55	ongeroerd	Brussel	Kortrijk	Orchies	1			



nr	Staalnaam	Boring	v_i d	m_i d	Diepte van	Diepte tot	Diep te	Hoogte (mTAW)	Staalty pe	Locatie	Formatie	Lid	K	G	O C	I C
33 1	TT_17	1508-B2022-00843-B2	286 9				25,5	-5,8	ongero erd	Brussel	Kortrijk	Orchies	1	1	1	1
33 2	TT_18	1508-B2022-00843-B2	287 0				26,7 5	-7,05	ongero erd	Brussel	Kortrijk	Orchies	1			
33 3	TT_19	1508-B2022-00843-B2	287 1				27,2 5	-7,55	ongero erd	Brussel	Kortrijk	Orchies	1			
33 4	TT_20	1508-B2022-00843-B2	287 2				28	-8,3	ongero erd	Brussel	Kortrijk	Orchies	1		1	1
33 5	TT_21	1508-B2022-00843-B2	287 2				28,7 5	-9,05	ongero erd	Brussel	Kortrijk	Orchies	1			
33 6	TT_22	1508-B2022-00843-B2	287 3				29,2 5	-9,55	ongero erd	Brussel	Kortrijk	Orchies	1			
33 7	TT_23	1508-B2022-00843-B2	287 4				30,2 5	-10,55	ongero erd	Brussel	Kortrijk	Orchies	1		1	1
33 8	TT_25	1508-B2022-00843-B2	287 6				32,2 5	-12,55	ongero erd	Brussel	Kortrijk	Orchies	1		1	1
33 9	TT_27	1508-B2022-00843-B2	287 8				34,2 5	-14,55	ongero erd	Brussel	Kortrijk	Orchies	1			
34 0	TT_28	1508-B2022-00843-B2	287 8				34,5	-14,8	ongero erd	Brussel	Kortrijk	Orchies	1			
34 1	TT_29	1508-B2022-00843-B2	287 9				35,5	-15,8	ongero erd	Brussel	Kortrijk	Orchies	1	1	1	1
34 2	TT_30	1508-B2022-00843-B2	288 0				36,7 5	-17,05	ongero erd	Brussel	Kortrijk	Orchies	1			
34 3	TT_31	1508-B2022-00843-B2	288 1				37,2 5	-17,55	ongero erd	Brussel	Kortrijk	Orchies	1	1	1	1
34 4	TT_32	1508-B2022-00843-B2	288 2				38,2 5	-18,55	ongero erd	Brussel	Kortrijk	Orchies	1			
34 5	TT_33	1508-B2022-00843-B2	288 2				38,5	-18,8	ongero erd	Brussel	Kortrijk	Orchies	1	1	1	1
34 6	TT_34	1508-B2022-00843-B2	288 2				38,7 5	-19,05	ongero erd	Brussel	Kortrijk	Orchies	1			
34 7	TT_35	1508-B2022-00843-B2	288 3				39,2 5	-19,55	ongero erd	Brussel	Kortrijk	Orchies	1			
34 8	TT_36	1508-B2022-00843-B2	288 4				40,5	-20,8	ongero erd	Brussel	Kortrijk	Orchies	1		1	1
34 9	TT_37	1508-B2022-00843-B2	288 5				41,7 5	-22,05	ongero erd	Brussel	Kortrijk	Orchies	1			



nr	Staalnaam	Boring	v_i d	m_i d	Diepte van	Diepte tot	Diep te	Hoogte (mTAW)	Staalty pe	Locatie	Formatie	Lid	K	G	O C	I C
350	TT_38	1508-B2022-00843-B2	288 6				42,2 5	-22,55	ongeroerd	Brussel	Kortrijk	Orchies	1			
351	TT_39	1508-B2022-00843-B2	288 7				43,5	-23,8	ongeroerd	Brussel	Kortrijk	Orchies	1		1	1
352	TT_40	1508-B2022-00843-B2	288 8				44,7 5	-25,05	ongeroerd	Brussel	Kortrijk	Orchies	1			
353	TT_41	1508-B2022-00843-B2	288 9				45,2 5	-25,55	ongeroerd	Brussel	Kortrijk	Orchies	1			
354	TT_42	1508-B2022-00843-B2	289 0				46,5	-26,8	ongeroerd	Brussel	Kortrijk	Orchies	1		1	1
355	TT_44	1508-B2022-00843-B2	289 2				48,5	-28,8	ongeroerd	Brussel	Kortrijk	Orchies	1		1	1
356	TT_46	1508-B2022-00843-B2	289 4				50,7 5	-31,05	ongeroerd	Brussel	Kortrijk	Orchies	1			
357	TT_47	1508-B2022-00843-B2	289 5				51,2 5	-31,55	ongeroerd	Brussel	Kortrijk	Orchies	1			
358	TT_48	1508-B2022-00843-B2	289 6				52,2 5	-32,55	ongeroerd	Brussel	Kortrijk	Orchies	1		1	1
359	TT_49	1508-B2022-00843-B2	289 7				53,2 5	-33,55	ongeroerd	Brussel	Kortrijk	Orchies	1			
360	TT_50	1508-B2022-00843-B2	289 7				53,7 5	-34,05	ongeroerd	Brussel	Kortrijk	Orchies	1			
361	TT_51	1508-B2022-00843-B2	289 8				54,5	-34,8	ongeroerd	Brussel	Kortrijk	Orchies	1		1	1
362	TT_52	1508-B2022-00843-B2	289 9				55,5	-35,8	ongeroerd	Brussel	Kortrijk	Orchies	1			
363	TT_53	1508-B2022-00843-B2	290 0				56,2 5	-36,55	ongeroerd	Brussel	Kortrijk	Orchies	1			
364	TT_54	1508-B2022-00843-B2	290 0				56,5	-36,8	ongeroerd	Brussel	Kortrijk	Orchies	1		1	1
365	TT_55	1508-B2022-00843-B2	290 0				56,7 5	-37,05	ongeroerd	Brussel	Hannut	Grandglise	1	1	1	1
366	TT_57	1508-B2022-00843-B2	290 2				58,7 5	-39,05	ongeroerd	Brussel	Hannut	Grandglise	1	1	1	1
367	TT_58	1508-B2022-00843-B2	290 3				59,7 5	-40,05	ongeroerd	Brussel	Hannut	Grandglise	1			



nr	Staalnaam	Boring	v_i d	m_i d	Diepte van	Diepte tot	Diep te	Hoogte (mTAW)	Staalty pe	Locatie	Formatie	Lid	K	G	O C	I C
368	TT_59	1508-B2022-00843-B2		290 4			60,2 5	-40,55	ongeroerd	Brussel	Hannut	Grandglise	1	1	1	1
369	TT_60	1508-B2022-00843-B2		290 5			61,7 5	-42,05	ongeroerd	Brussel	Hannut	Grandglise	1			
370	TT_61	1508-B2022-00843-B2		290 6			62,2 5	-42,55	ongeroerd	Brussel	Hannut	Grandglise	1	1	1	1
371	TT_63	1508-B2022-00843-B2		290 8			64,2 5	-44,55	ongeroerd	Brussel	Hannut	Halen	1	1	1	1
372	TT_64	1508-B2022-00843-B2		290 9			65,7 5	-46,05	ongeroerd	Brussel	Hannut	Halen	1			
373	AR10	TO-20190417			5,9	6	5,95	1,39	ontsluiting	Antwerpen	Berchem	Antwerpen	1	1	1	1
374	AR12	TO-20190417			5,5	5,7	5,6	1,74	ontsluiting	Antwerpen	Berchem	Antwerpen	1	1	1	1
375	AR4	TO-20190417		509 9	8,5	8,7	8,6	-1,26	ontsluiting	Antwerpen	Berchem	Kiel	1	1	1	1
376	AR8	TO-20190417			6,5	6,6	6,55	0,79	ontsluiting	Antwerpen	Berchem	Kiel	1	1	1	1
377	PB7	TO-20150105A						10,71	ontsluiting	Antwerpen	Berchem	Antwerpen	1	1	1	1
378	PX2	TO-20150701			6,6	7	6,8	1,2	ontsluiting	Antwerpen	Berchem	Kiel	1	1	1	1
379	PX3	TO-20150701			6,3	6,6	6,45	1,55	ontsluiting	Antwerpen	Berchem	Kiel	1	1	1	1
380	PX4	TO-20150701			6,1	6,3	6,2	1,8	ontsluiting	Antwerpen	Berchem	Antwerpen	1	1	1	1
381	PX5	TO-20150701			5,7	6,1	5,9	2,1	ontsluiting	Antwerpen	Berchem	Antwerpen	1	1	1	1
382	PX7	TO-20150701			3,8	4,7	4,25	3,75	ontsluiting	Antwerpen	Berchem	Antwerpen	1	1	1	1
383	PX8	TO-20150701			1,7	3,8	2,75	5,25	ontsluiting	Antwerpen	Berchem	Antwerpen	1	1	1	1
384	Ru1	TO-20220706-1		285 1	7,75	7,75	7,75	-0,45	ontsluiting	Antwerpen	Berchem	Kiel	1	1		
385	Ru11	TO-20220706-1		284 1	6	6	6	1,3	ontsluiting	Antwerpen	Berchem	Antwerpen	1	1		
386	Ru3	TO-20220706-1		284 9	7,36	7,36	7,36	-0,06	ontsluiting	Antwerpen	Berchem	Kiel	1			



nr	Staalnaam	Boring	v_i d	m_i d	Diepte van	Diepte tot	Diep te	Hoogte (mTAW)	Staalty pe	Locatie	Formatie	Lid	K	G	O C	I C
387	Ru4	TO-20220706-1		284 8	7,2	7,2	7,2	0,1	ontsluiting	Antwerpen	Berchem	Kiel	1	1		
388	Ru7	TO-20220706-1		284 5	6,54	6,54	6,54	0,76	ontsluiting	Antwerpen	Berchem	Antwerpen	1	1		
389	Ru9	TO-20220706-1		284 3	6,33	6,33	6,33	0,97	ontsluiting	Antwerpen	Berchem	Antwerpen	1			
390	RuA	TO-20220706-1		285 4	9,32	9,32	9,32	-2,02	ontsluiting	Antwerpen	Berchem	Kiel	1	1		
391	RuC	TO-20220706-1		285 2	8,28	8,28	8,28	-0,98	ontsluiting	Antwerpen	Berchem	Kiel	1			
392	Rumst 10	TO-20211119-1		264 9			2,92	26,5	ontsluiting	Rumst	Berchem	Edegem	1	1		
393	Rumst 2	TO-20211119-2		265 2			3,5	19,7	ontsluiting	Rumst	Berchem	Edegem	1	1		
394	Rumst 3	TO-20211119-2		265 3			3,2	20	ontsluiting	Rumst	Berchem	Edegem	1			
395	Rumst 5	TO-20211119-2		265 5			2,4	20,8	ontsluiting	Rumst	Berchem	Edegem	1	1		
396	Rumst 6	TO-20211119-2		265 6			2,1	21,1	ontsluiting	Rumst	Berchem	Edegem	1	1		
397	Rumst 7	TO-20211119-2		265 7			1,8	21,4	ontsluiting	Rumst	Berchem	Edegem	1	1		
398	Rumst 9	TO-20211119-2		265 9			0,2	23	ontsluiting	Rumst	Berchem	Edegem	1	1		
399	Rumst 8	TO-20211119-2		265 8			1,1	22,1	ontsluiting	Rumst	Berchem	Edegem	1	1		
400	2210BK01	1411-GEO-22/019-B1		276 6	13,5	14	13,7 5	-8,09	ongeroerd	Schoten	Diest		1	1	1	1
401	2210BK02	1411-GEO-22/019-B1		276 7	14	14,5	14,2 5	-8,59	ongeroerd	Schoten	Diest		1	1	1	1
402	2210BK03	1411-GEO-22/019-B1		276 8	15	15,5	15,2 5	-9,59	ongeroerd	Schoten	Diest		1	1	1	1
403	2210BK04	1411-GEO-22/019-B1		276 9	16	17	16,5	-10,84	ongeroerd	Schoten	Berchem	Antwerpen	1	1	1	1
404	2210BK05	1411-GEO-22/019-B1		277 0	17,2	17,3	17,2 5	-11,59	ongeroerd	Schoten	Berchem	Antwerpen	1	1	1	1



nr	Staalnaam	Boring	v_i d	m_i d	Diepte van	Diepte tot	Diep te	Hoogte (mTAW)	Staalty pe	Locatie	Formatie	Lid	K	G	O C	I C
405	2210BK06	1411-GEO-22/019-B1		2771	18,1	18,2	18,15	-12,49	ongeroerd	Schoten	Berchem	Antwerpen	1	1	1	1
406	2210BK07	1411-GEO-22/019-B1		2771	18,8	18,9	18,85	-13,19	ongeroerd	Schoten	Berchem	Antwerpen	1	1	1	1
407	2210BK08	1411-GEO-22/019-B1		2772	19,4	19,5	19,45	-13,79	ongeroerd	Schoten	Berchem	Antwerpen	1	1	1	1
408	2210BK09	1411-GEO-22/019-B1		2773	20,15	20,35	20,25	-14,59	ongeroerd	Schoten	Berchem	Antwerpen	1	1	1	1
409	2210BK10	1411-GEO-22/019-B1		2774	21,2	21,3	21,25	-15,59	ongeroerd	Schoten	Berchem	Antwerpen	1	1	1	1
410	2210BK11	1411-GEO-22/019-B1		2774	21,8	21,9	21,85	-16,19	ongeroerd	Schoten	Berchem	Antwerpen	1	1	1	1
411	2210BK12	1411-GEO-22/019-B1		2775	22,65	22,7	22,675	-17,02	ongeroerd	Schoten	Berchem	Antwerpen	1	1	1	1
412	2210BK13	1411-GEO-22/019-B1		2776	23,3	23,4	23,35	-17,69	ongeroerd	Schoten	Berchem	Kiel	1	1	1	1
413	2210BK14	1411-GEO-22/019-B1		2776	23	23,1	23,05	-17,39	ongeroerd	Schoten	Berchem	Kiel	1	1	1	1
414	2210BK15	1411-GEO-22/019-B1		2777	24,5	24,6	24,55	-18,89	ongeroerd	Schoten	Berchem	Kiel	1	1	1	1
415	2210BK16	1411-GEO-22/019-B1		2779	26,47	26,54	26,505	-20,85	ongeroerd	Schoten	Berchem	Kiel	1	1	1	1
416	2210BK17	1411-GEO-22/019-B1		2784	31,4	31,5	31,45	-25,79	ongeroerd	Schoten	Berchem	Kiel	1	1	1	1
417	2210BK18	1411-GEO-22/019-B1		2788	35,6	35,7	35,65	-29,99	ongeroerd	Schoten	Berchem	Kiel	1	1	1	1
418	2210BK19	1411-GEO-22/019-B1		2793	40,45	40,55	40,5	-34,84	ongeroerd	Schoten	Berchem	Edegem	1	1	1	1
419	2210BK20	1411-GEO-22/019-B1		2796	43,4	43,5	43,45	-37,79	ongeroerd	Schoten	Berchem	Edegem	1	1	1	1
420	2210BK21	1411-GEO-22/019-B1		2800	47,5	47,6	47,55	-41,89	ongeroerd	Schoten	Berchem	Edegem	1	1	1	1
421	2210BK22	1411-GEO-22/019-B2		2805	2,4	2,5	2,45	1,17	ongeroerd	Stabroek	Malle	Malle		1	1	1
422	2210BK23	1411-GEO-22/019-B2		2806	3,5	3,6	3,55	0,07	ongeroerd	Stabroek	Malle	Malle		1	1	1
423	2210BK24	1411-GEO-22/019-B2		2808	5,44	5,6	5,52	-1,9	ongeroerd	Stabroek	Malle	Malle		1	1	1



nr	Staalnaam	Boring	v_i d	m_i d	Diepte van	Diepte tot	Diep te	Hoogte (mTAW)	Staalty pe	Locatie	Formatie	Lid	K	G	O C	I C
424	2210BK25	1411-GEO-22/019-B2		2810	7,4	7,5	7,45	-3,83	ongeroerd	Stabroek	Malle	Malle		1	1	1
425	2210BK26	1411-GEO-22/019-B2		2811	8,58	8,65	8,615	-4,995	ongeroerd	Stabroek	Lillo	Zandvliet		1	1	1
426	2210BK27	1411-GEO-22/019-B2		2813	10,1	10,2	10,15	-6,53	ongeroerd	Stabroek	Lillo	Zandvliet		1	1	1
427	2210BK28	1411-GEO-22/019-B2		2814	11,47	11,54	11,505	-7,885	ongeroerd	Stabroek	Lillo	Zandvliet		1	1	1
428	2210BK29	1411-GEO-22/019-B2		2816	13,64	13,73	13,685	-10,07	ongeroerd	Stabroek	Lillo	Zandvliet		1	1	1
429	2210BK30	1411-GEO-22/019-B2		2818	15,4	15,5	15,45	-11,83	ongeroerd	Stabroek	Lillo	Merksem		1	1	1
430	2210BK31	1411-GEO-22/019-B2		2822	19,4	19,5	19,45	-15,83	ongeroerd	Stabroek	Lillo	Merksem		1	1	1
431	2210BK32	1411-GEO-22/019-B2		2824	21,5	21,6	21,55	-17,93	ongeroerd	Stabroek	Lillo	Merksem		1		
432	2210BK33	1411-GEO-22/019-B2		2825	22,2	22,3	22,25	-18,63	ongeroerd	Stabroek	Lillo	Kruisschans		1		
433	2210BK34	1411-GEO-22/019-B2		2825	22,7	22,8	22,75	-19,13	ongeroerd	Stabroek	Lillo	Kruisschans		1		
434	2210BK35	1411-GEO-22/019-B2		2826	23,4	23,5	23,45	-19,83	ongeroerd	Stabroek	Lillo	Oorderen		1		
435	2210BK36	1411-GEO-22/019-B2		2828	25,4	25,5	25,45	-21,83	ongeroerd	Stabroek	Lillo	Oorderen		1		
436	2210BK37	1411-GEO-22/019-B2		2831	28,4	28,5	28,45	-24,83	ongeroerd	Stabroek	Lillo	Oorderen		1		
437	2210BK38	1411-GEO-22/019-B2		2834	31,1	31,2	31,15	-27,53	ongeroerd	Stabroek	Lillo	Oorderen		1		
438	2210BK39	1411-GEO-22/019-B2		2835	32,5	32,6	32,55	-28,93	ongeroerd	Stabroek	Lillo/Kattendijk	Oorderen/Kattendijk		1		
439	2210BK40	1411-GEO-22/019-B2		2837	34,4	34,5	34,45	-30,83	ongeroerd	Stabroek	Kattendijk	Kattendijk		1		
440	21/1626	GEO-20/021-B5			4,5	5	4,75	13,76	geroerd	Heist-op-den-Berg	Berchem			1		
441	21/1628	GEO-20/021-B5			5,5	6	5,75	12,76	geroerd	Heist-op-den-Berg	Berchem			1		



nr	Staalnaam	Boring	v_i d	m_i d	Diepte van	Diepte tot	Diep te	Hoogte (mTAW)	Staalty pe	Locatie	Formatie	Lid	K	G	O C	I C
44 2	21/1634	GEO-20/021-B5			8,5	9	8,75	9,76	geroerd	Heist-op-den-Berg	Berchem			1		
44 3	21/1635	GEO-20/021-B5			9	9,5	9,25	9,26	geroerd	Heist-op-den-Berg	Berchem			1		
44 4	23/0072	1411-GEO-22/096-B1			3,5	4	3,75	11,9	geroerd	Heist-op-den-Berg				1		
44 5	23/0073	1411-GEO-22/096-B1			4	4,5	4,25	11,4	geroerd	Heist-op-den-Berg	Berchem			1		
44 6	23/0076	1411-GEO-22/096-B1			5,5	6	5,75	9,9	geroerd	Heist-op-den-Berg	Berchem			1		
44 7	23/0077	1411-GEO-22/096-B1			6	6,5	6,25	9,4	geroerd	Heist-op-den-Berg	Berchem			1		
44 8	23/0082	1411-GEO-22/096-B1			8,5	9	8,75	6,9	geroerd	Heist-op-den-Berg	Berchem			1		
44 9	23/0083	1411-GEO-22/096-B1			9	9,5	9,25	6,4	geroerd	Heist-op-den-Berg	Berchem			1		
45 0	23/0085	1411-GEO-22/096-B1			10	10,5	10,25	5,4	geroerd	Heist-op-den-Berg	Berchem			1		
45 1	23/0088	1411-GEO-22/096-B1			11,5	12	11,75	3,9	geroerd	Heist-op-den-Berg	Berchem			1		
45 2	23/0691	1411-GEO-22/096-B7			3	3,5	3,25	11,53	geroerd	Heist-op-den-Berg	Berchem			1		
45 3	23/0694	1411-GEO-22/096-B7			4,5	5	4,75	10,03	geroerd	Heist-op-den-Berg	Berchem			1		
45 4	23/0700	1411-GEO-22/096-B7			7,5	8	7,75	7,03	geroerd	Heist-op-den-Berg	Berchem			1		
45 5	2307BA01	kb26d78w-B285			19	19	19	41,5	geroerd	Genk	Bolderberg	Houthalen	1	1	1	1
45 6	2307BA02	kb26d78w-B285			17,1	17,1	17,1	43,4	geroerd	Genk	Bolderberg	Houthalen	1	1	1	1
45 7	2307BA03	kb26d78w-B285			15,6	15,6	15,6	44,9	geroerd	Genk	Bolderberg	Houthalen	1	1	1	1
45 8	2307BA04	kb26d78w-B285			14,8	14,8	14,8	45,7	geroerd	Genk	Bolderberg	Houthalen	1	1	1	1
45 9	2307BA05	kb26d78w-B285			11	11	11	49,5	geroerd	Genk	Bolderberg	Genk	1	1	1	1
46 0	2307BA06	kb26d78w-B299			10	11	10,5	50,75	geroerd	Genk	Bolderberg	Houthalen	1	1	1	1
46 1	2307BA07	kb26d78w-B299			9	9,5	9,25	52	geroerd	Genk	Bolderberg	Houthalen	1	1	1	1



nr	Staalnaam	Boring	v_i d	m_i d	Diepte van	Diepte tot	Diep te	Hoogte (mTAW)	Staalty pe	Locatie	Formatie	Lid	K	G	O C	I C
46 2	2307BA08	kb26d78w-B299			8	8,5	8,25	53	geroerd	Genk	Bolderberg	Houthalen	1	1	1	1
46 3	2307BA09	kb26d78w-B299			6	6,5	6,25	55	geroerd	Genk	Bolderberg	Houthalen	1	1	1	1
46 4	2307BA10	kb26d78w-B299			4	4,5	4,25	57	geroerd	Genk	Bolderberg	Houthalen	1	1	1	1
46 5	RA-1	GEO-15/095-B2			15	15,5	15,2 5	1,38	geroerd	Ranst	Diest		1	1		
46 6	RA-2	GEO-15/095-B2			13,5	14	13,7 5	2,88	geroerd	Ranst	Diest		1	1		
46 7	RA-3	GEO-15/095-B2			11,5	12	11,7 5	4,88	geroerd	Ranst	Diest		1	1		
46 8	ST-A	TO-20230809-1.3 (?)			0	0	0	-17,7	ontsluiting	Antwerpen	Kattendijk	Kattendijk	1	1		
46 9	ST-B	TO-20230809-1.2 (?)			0	0	0	-16	ontsluiting	Antwerpen	Kattendijk	Kattendijk	1	1		
47 0	ST-C	TO-20230809-1.1			0	0	0	-14,9	ontsluiting	Antwerpen	Kattendijk	Kattendijk	1	1		
47 1	O2024_1	TO-20230629_W1		622 6				21,31	ontsluiting	Merchtem	Arenberg	Bos van Aa	1			
47 2	O2024_2	TO-20230629_W1		622 7				21,01	ontsluiting	Merchtem	Arenberg	Bos van Aa	1	1	1	1
47 3	O2024_3	TO-20230629_W1		622 8				20,61	ontsluiting	Merchtem	Arenberg	Bos van Aa	1	1	1	1
47 4	O2024_4	TO-20230629_W1		622 9				20,61	ontsluiting	Merchtem	Lede / Maldegem	Lede / Wommel	1	1	1	1
47 5	O2024_5	TO-20230629_W1		623 0				19,91	ontsluiting	Merchtem	Lede / Maldegem	Lede / Wommel	1	1	1	1
47 6	O2024_6	TO-20230629_W1		623 1				19,31	ontsluiting	Merchtem	Lede	Lede	1	1	1	1
47 7	O2024_7	TO-20230629_W1		623 2				18,81	ontsluiting	Merchtem	Lede	Lede	1	1	1	1
47 8	O2024_8	TO-20230629_W1		623 3				18,06	ontsluiting	Merchtem	Lede	Lede	1	1	1	1
47 9	O2024_9	TO-20230629_W2		624 8				22,72	ontsluiting	Merchtem	Arenberg	Bos van Aa	1	1	1	1
48 0	O2024_10	TO-20230629_W2		624 9				21,89	ontsluiting	Merchtem	Arenberg	Bos van Aa	1			



nr	Staalnaam	Boring	v_i d	m_i d	Diepte van	Diepte tot	Diep te	Hoogte (mTAW)	Staalty pe	Locatie	Formatie	Lid	K	G	O C	I C
48 1	O2024_11	TO-20230629_W2		625 0				21,39	ontsluiting	Merchtem	Arenberg	Bos van Aa	1	1	1	1
48 2	O2024_12	TO-20230629_W2		625 1				21,34	ontsluiting	Merchtem	Arenberg	Bos van Aa	1	1	1	1
48 3	O2024_13	TO-20230629_W2		625 2				21,04	ontsluiting	Merchtem	Arenberg	Bos van Aa	1			
48 4	O2024_14	TO-20230629_W2		625 3				20,94	ontsluiting	Merchtem	Lede / Maldegem	Lede / Wemmel	1	1	1	1
48 5	O2024_15	TO-20230629_W2		625 4				20,49	ontsluiting	Merchtem	Lede / Maldegem	Lede / Wemmel	1	1	1	1
48 6	O2024_16	TO-20230629_W2		625 6				20,24	ontsluiting	Merchtem	Lede	Lede	1		1	1
48 7	O2024_17	TO-20230629_W2		625 7				19,94	ontsluiting	Merchtem	Lede	Lede	1	1	1	1
48 8	O2024_18	TO-20230629_W2		625 8				19,24	ontsluiting	Merchtem	Lede	Lede	1	1	1	1
48 9	O2024_19	TO-20230629_W2		625 9				20,39	ontsluiting	Merchtem	Lede / Maldegem	Lede / Wemmel	1			
49 0	O2024_20	TO-20230629_W2		626 1				20,99	ontsluiting	Merchtem	Arenberg	Bos van Aa	1			
49 1	O2024_21	TO-20230913-1		628 1				-3,04	ontsluiting	Antwerpen linkeroever	Eeklo	Eeklo	1	1	1	1
49 2	O2024_22	TO-20230913-1		628 0				-2,68	ontsluiting	Antwerpen linkeroever	Arenberg	Rotselaar (Bosveen)			1	1
49 3	O2024_23	TO-20230913-2		628 7				-2,07	ontsluiting	Antwerpen linkeroever	Arenberg	Rotselaar (Bosveen)			1	1
49 4	O2024_24	TO-20230913-1		627 8				-0,94	ontsluiting	Antwerpen linkeroever	Arenberg	Rotselaar (Bosveen)			1	1
49 5	O2024_25	TO-20230913-1		627 9				-1,09	ontsluiting	Antwerpen linkeroever	Arenberg	Rotselaar (Bosveen)			1	1
49 6	O2024_26	TO-20230913-1		627 7				-0,15	ontsluiting	Antwerpen linkeroever	Vlaanderen	Vlaanderen	1	1	1	1
49 7	O2024_27	TO-20230913-1		627 6				0,11	ontsluiting	Antwerpen linkeroever	Vlaanderen	Vlaanderen	1	1	1	1
49 8	O2024_28	TO-20230913-2		628 6				-0,85	ontsluiting	Antwerpen linkeroever	Antropogeen	Antropogeen	1		1	1
49 9	O2024_29	TO-20230913-2		628 5				-0,61	ontsluiting	Antwerpen linkeroever	Antropogeen	Antropogeen	1	1	1	1



nr	Staalnaam	Boring	v_i d	m_i d	Diepte van	Diepte tot	Diep te	Hoogte (mTAW)	Staalty pe	Locatie	Formatie	Lid	K	G	O C	I C
500	O2024_30	TO-20230913-2		628 4				-0,41	ontsluiting	Antwerpen linkeroever	Antropogeen	Antropogeen	1			
501	O2024_31	TO-20230913-2		628 3				-0,03	ontsluiting	Antwerpen linkeroever	Antropogeen	Antropogeen	1	1	1	1
502	O2024_32	TO-20230913-2		628 2				0,11	ontsluiting	Antwerpen linkeroever	Antropogeen	Antropogeen	1	1	1	1
503	O2024_33	TO- 20240517_W1	281 2	862 2				68,66	ontsluiting	Neerijse	Brussel	Neerijse	1	1	1	1
504	O2024_34	TO- 20240517_W1	281 2	862 3				64,62	ontsluiting	Neerijse	Brussel	Neerijse	1	1	1	1
505	O2024_35	TO- 20240517_W1	281 2	862 4				63,16	ontsluiting	Neerijse	Brussel	Neerijse	1			
506	O2024_36	TO- 20240517_W1	281 2	862 5				62,58	ontsluiting	Neerijse	Brussel	Neerijse	1	1	1	1
507	O2024_37	TO- 20240517_W1	281 3	862 6				61,71	ontsluiting	Neerijse	Brussel	Neerijse	1	1	1	1
508	O2024_38	TO- 20240517_W1	281 3	862 7				60,87	ontsluiting	Neerijse	Brussel	Neerijse	1			
509	O2024_39	TO- 20240517_W1	281 3	862 8				59,94	ontsluiting	Neerijse	Brussel	Neerijse	1	1	1	1
510	O2024_40	TO- 20240517_W1	281 3	862 9				58,98	ontsluiting	Neerijse	Brussel	Neerijse	1			
511	O2024_41	TO- 20240517_W1	281 4	863 0				58,41	ontsluiting	Neerijse	Brussel	Neerijse	1	1	1	1
512	O2024_42	TO- 20240517_W1	281 4	863 1				58,18	ontsluiting	Neerijse	Brussel	Neerijse	1	1	1	1
513	O2024_43	TO- 20240517_W1	281 4	863 2				57,24	ontsluiting	Neerijse	Brussel	Neerijse	1		1	1
514	O2024_44	TO- 20240517_W1	281 4	863 3				56,43	ontsluiting	Neerijse	Brussel	Neerijse	1	1	1	1
515	O2024_45	TO-20240517- W2	281 5	863 4				70,5	ontsluiting	Neerijse	Quartair / Brussel	Quartair / Bierbeek	1	1	1	1
516	O2024_46	TO-20240517- W2	281 5	863 5				71,03	ontsluiting	Neerijse	Quartair / Brussel	Quartair / Bierbeek	1	1	1	1
517	O2024_47	TO-20240517- W2	281 5	863 6				70,06	ontsluiting	Neerijse	Quartair / Brussel	Quartair / Bierbeek	1	1	1	1



nr	Staalnaam	Boring	v_i d	m_i d	Diepte van	Diepte tot	Diep te	Hoogte (mTAW)	Staalty pe	Locatie	Formatie	Lid	K	G	O C	I C
51 8	O2024_48	TO-20240517- W2	281 5	863 7				70,19	ontsluiti ng	Neerijse	Quartair / Brussel	Quartair / Bierbeek	1			
51 9	O2024_49	TO-20240517- W2	281 5	863 8				69,93	ontsluiti ng	Neerijse	Quartair / Brussel	Quartair / Bierbeek	1			



3. ANALYTISCHE METHODEN

De labo-analyses werden uitgevoerd door Qmineral.

3.1. KORRELGROOTTE

De korrelgrootte werd gemeten via laser diffractie met een Coulter LS13-320. Hierbij werd een representatief deel van het staal geroerd in gedemineraliseerd water waarna de fractie > 2 mm afgezeefd, gedroogd en gewogen werd. De fractie < 2 mm werd effectief gemeten met laser diffractie. Ultrasonische dispersie werd toegepast behalve bij vermoeden van aanwezigheid van glauconiet.

3.2. GLAUCONIET

Het glauconietgehalte werd bepaald door middel van magnetische scheiding met een Frantz Isodynamic Magnetic Separator. Eerst werd een representatief deel van de stalen geroerd in gedemineraliseerd water voor 24 uur, waarna de stalen gezeefd werden op 63 µm en 1 mm. De verschillende fracties werden gedroogd en gewogen en magnetische scheiding werd vervolgens toegepast op de fractie 63µm-1mm. Via binoculair werd vastgesteld dat er geen glauconiet aanwezig is in de fractie > 1 mm. Het glauconiet aanwezig in de fractie < 63 µm werd niet gemeten.

3.3. (AN)ORGANISCHE KOOLSTOF

Het totaal organisch (TOC) en anorganisch (TIC) koolstofgehalte werd bepaald via chromatografie met een Carlo Erba EA1108 Elemental Analyzer. Een representatief staal werd eerst in twee gesplitst voor analyse van TOC en TIC. De delen voor analyse van TOC werden sequentieel behandeld met geconcentreerd HCl om de inorganische fractie te verwijderen, tot er geen reactie meer werd waargenomen. Beide delen van elk staal werden vervolgens gesmolten op 1600-1800 °C, waarna het koolstofgehalte gemeten werd.

4. KARAKTERISATIE VAN BEMONSTERDE EENHEDEN

4.1. ALGEMENE OBSERVATIES

De verdeling van de mediane korrelgrootte van de onderzochte eenheden toont een algemene vergroving van het sediment dat werd afgezet vanaf het Paleogeen tot boven Mioceen, van klei en fijn zand tot gemiddeld zand. In het Plioceen is er opnieuw overwegend fijn zand en voor het Quartair is dit sterk variabel (**Figuur 3**).

Een groepering van fijne korrelgroottes is te zien in de Paleogene leper Groep, die onder andere de Kortrijkse Klei bevat. Sedimenten in de leper Groep hebben doorgaans een mediane korrelgrootte kleiner dan 100 μm . De boven Eocene eenheden en Oligocene zandige eenheden hebben een fijn zandige tot gemiddelde korrelgrootte met mediaan tussen 100 en 200 μm , met uitzondering van het grovere estuariene Kerkom Zand van de Borgloon Formatie. De afzettingen van het Neogeen zijn beduidend grover met de grofste zanden in de boven Mioceen Diest Formatie, waar de mediane korrelgrootte ongeveer 250 μm bedraagt, met waarden tot bijna 400 μm . In het Plioceen neemt de korrelgrootte weer wat af met een mediaan tussen 100 en 200 μm . De afzettingen van het Quartair zijn zeer variabel, te verklaren door het fluviaatiele/eolische/continentale karakter van deze afzettingen.

Tabel 2. Korrelgroottestatistieken van de onderscheiden stratigrafische éénheden in deze studie. n = aantal stalen geanalyseerd per eenheid.

Formatie	Lid	d10 (μm)	d10 - sd (μm)	d50 (μm)	d50 - sd (μm)	d90 (μm)	d90 - sd (μm)	Mode (μm)	Mode - sd (μm)	n
Antropogeen	Antropogeen	27,95	35,82	86,79	52,43	182,19	58,17	119,01	42,05	6
Arenberg	Bos van Aa	4,94	2,91	103,67	49,53	187,05	81,77	124,48	57,35	9
Quartair	Holoceen	9,72	13,88	53,63	47,93	202,90	94,41	63,78	56,98	3
Vlaanderen	Vlaanderen	7,67	3,62	60,79	24,46	125,29	24,98	80,18	20,80	2
Gent	Gent	2,06	0,29	27,08	5,10	69,33	6,90	40,44	2,14	3
Quartair	Quartair (basisgrind)	4,97	1,07	132,05	47,47	277,43	72,27	202,61	45,62	2
Quartair	Quartair	5,89	5,67	97,09	44,99	296,28	141,03	183,55	91,39	1 0
hellingsmateriaal	hellingsmateriaal	68,58	97,92	184,34	162,19	307,86	253,20	210,53	169,13	3
Quartair	hellingsmateriaal	68,58	97,92	184,34	162,19	307,86	253,20	210,53	169,13	3
Quartair	Pleistoceen	62,31	76,32	147,24	95,97	288,84	152,30	153,90	103,09	5
Eeklo	Eeklo	39,50	39,69	153,20	72,81	272,38	78,66	170,41	76,62	1 1
Kruishoutem	Kruishoutem	40,45	79,95	144,23	160,43	264,97	242,16	180,46	163,45	5
Zemst	Zemst	11,42		354,97		543,69		385,51		1
Arenberg	Arenberg	2,29	0,15	38,89	19,44	118,64	76,08	67,91	41,96	3
Gembloux	Brabant	3,16	1,44	34,35	7,37	115,90	62,89	66,50	58,44	6
Ravels	Ravels	46,65	53,83	158,70	78,35	371,90	71,70	213,45	14,07	2
Weelde	Turnhout	1,64	0,72	13,18	10,74	64,40	38,08	23,52	25,69	2
Weelde	Beerse	37,70	22,82	134,60	5,99	305,07	105,02	159,77	23,23	3
Weelde	Rijkevorsel	1,49		11,95		98,18		18,00		1
Lillo	Merksem	21,47	33,41	145,57	22,25	368,17	189,89	168,90	0,00	3
Lillo	Hukkelberg	6,36		167,17		284,32		211,02		1
Lillo	Kruisschans	30,59	27,33	170,17	65,52	391,30	320,57	210,67	98,50	3
Lillo	Lillo	54,46	45,48	191,01	29,33	571,50	357,31	179,21	8,54	8
Lillo	Oorderen	2,50	0,13	153,45	20,58	815,05	411,47	168,90	0,00	2

Formatie	Lid	d10 (μm)	d10 - sd (μm)	d50 (μm)	d50 - sd (μm)	d90 (μm)	d90 - sd (μm)	Mode (μm)	Mode - sd (μm)	n
Lillo	Poederlee	49,92	46,08	153,12	36,02	262,28	31,10	194,84	17,06	9
Kattendijk	Kattendijk	58,48	58,10	169,58	48,93	367,86	272,86	172,61	31,96	2 5
Kasterlee	Lichtaart	108,25	6,12	191,03	2,83	298,55	6,68	211,02	0,00	2
Kasterlee	Heist-op-den-Berg	4,02	1,97	88,92	75,96	174,53	129,33	133,83	96,60	3
Kasterlee	Beerzel	38,41	46,98	176,79	15,05	290,65	13,76	211,02	0,00	4
Kasterlee	Hallaar	3,54	0,79	85,50	15,75	191,32	8,53	145,28	10,99	2
Diest	Diest Kempen	117,52	101,50	309,84	76,17	609,86	305,69	316,65	114,64	1 4
Diest	Diest Hageland	28,16	48,98	172,90	77,99	390,58	131,42	244,68	78,69	1 2
Diest	Borsbeek	6,72	8,70	145,62	34,91	270,11	38,30	194,50	19,00	3
Berchem	Antwerpen	43,79	48,13	191,70	58,62	406,24	189,71	229,11	34,82	4 0
Bolderberg	Genk	99,94		172,65		272,45		183,53		1
Berchem	Berchem	15,09	19,51	129,74	44,35	210,15	28,07	161,35	10,68	2
Berchem	Kiel	82,75	59,90	198,97	42,18	337,94	48,19	221,38	26,25	2 7
Berchem	Edegem	23,92	36,14	106,56	65,50	205,16	97,78	136,49	53,91	1 9
Bolderberg	Houthalen	66,86	39,39	159,47	15,90	255,49	28,02	172,03	15,94	9
Boom	Boom	1,84	0,25	20,11	1,33	99,09	13,87	43,72	2,88	2
Boom	Terhagen	2,00	0,61	50,72	47,55	119,99	37,07	94,62	30,66	2
Bilzen	Berg	47,58	52,27	147,60	21,00	378,25	198,11	253,85	209,33	4
Borgloon	Kerkom Heide	40,07	51,89	165,97	22,31	387,57	92,56	196,47	86,04	3
Borgloon	Kerkom	136,96	67,91	289,59	130,61	527,41	224,08	316,99	163,56	1 7
Borgloon	Boutersem	49,76	53,28	125,71	32,88	258,38	114,79	150,38	6,85	4
Borgloon	Boutersem Hoogbutsel	3,67	3,94	68,08	80,07	165,70	43,56	79,05	86,34	2



Formatie	Lid	d10 (μm)	d10 - sd (μm)	d50 (μm)	d50 - sd (μm)	d90 (μm)	d90 - sd (μm)	Mode (μm)	Mode - sd (μm)	n
Sint-Huibrechts-Hern	Neerrepen	66,19	50,08	151,30	4,95	229,60	2,97	153,80	0,00	2
Sint-Huibrechts-Hern	Grimmertingen	67,49	0,14	127,86	0,76	205,30	1,57	137,51	0,00	2
Zelzate	Bassevelde	13,32	15,31	162,18	60,55	295,03	128,02	191,07	74,31	6
Brussel	Machelen	29,52	36,36	187,59	27,10	311,70	38,92	221,38	27,85	1 8
Maldegem	Wemmel	31,01	22,37	111,40	13,79	231,56	135,23	118,86	9,71	5
Lede	Lede	40,24	23,21	129,50	34,34	219,18	59,93	152,42	46,79	1 3
Brussel	Brussel	2,76	0,07	105,77	16,74	233,40	3,25	153,80	0,00	2
Brussel	Neerijse	95,62	71,18	246,94	44,25	405,87	55,56	276,91	30,75	7
Aalter	Oedelem	15,94	23,08	126,80	14,90	538,40	443,78	145,60	27,41	4
Gentbrugge	Pittem	2,68	0,32	26,31	18,23	161,01	161,21	121,58	144,00	2
Hyon	Egem	17,63	19,42	83,31	29,63	172,39	39,69	115,15	41,77	7
Hyon	Mont-Panisel	2,66	0,88	32,57	7,72	174,35	32,17	133,85	8,84	2
Tielt	Kortemark	2,58	1,60	26,17	24,93	82,29	32,99	46,58	31,07	4
Mons-en-Pevele	Mons-en-Pevele	26,40	22,44	66,13	32,15	118,87	42,39	82,55	31,68	4 3
Kortrijk	Orchies	4,23	2,33	30,32	16,21	72,09	24,35	49,50	21,46	4 8
Kortrijk	Mont-Heribu	3,93		51,38		112,00		80,07		1
Hannut	Grandglise	23,06	17,83	92,61	9,61	151,05	16,96	104,26	9,62	8
Hannut	Halen	5,85	1,90	48,81	7,38	95,80	7,97	66,96	5,85	2
Maastricht	Nekum	6,32	0,51	144,45	23,83	328,85	98,64	154,50	20,36	2
Maastricht	Emael	1,98	0,98	66,20	59,12	216,55	17,32	153,80	0,00	2
Maastricht	Gronsveld	11,87		118,40		209,30		140,10		1



Tabel 3. Het gemiddelde glauconietgehalte (met standaard deviatie = sd) in de fractie 63µm-1mm van de geanalyseerde éénheden in deze studie. n = aantal stalen geanalyseerd per eenheid.

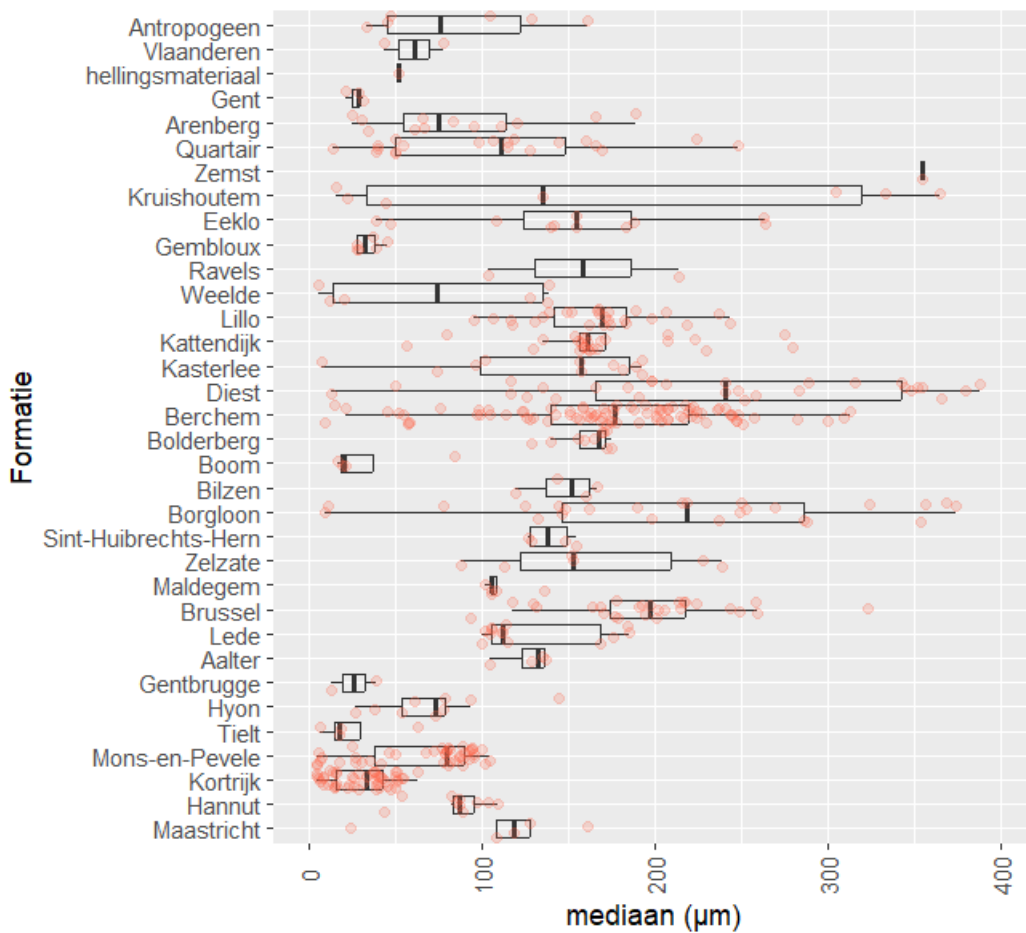
Formatie	Lid	Glauconietgehalte	sd	n
Antropogeen	Antropogeen	4,83	1,83	3
Arenberg	Bos van Aa	1,81	1,01	5
Vlaanderen	Vlaanderen	1,88	2,09	2
Gent	Gent	0,00		1
Quartair	Quartair	0,25	0,21	3
Eeklo	Eeklo	1,78		1
Quartair	hellingsmateriaal	11,33		1
Kruishoutem	Kruishoutem	1,00	0,67	5
Zemst	Zemst	0,03		1
Arenberg	Arenberg	0,12		1
Gembloux	Brabant	13,02		1
Ravels	Ravels	0,03		1
Weelde	Beerse	0,06		1
Malle	Malle	2,98	1,69	4
Lillo	Merksem	6,74	1,68	4
Lillo	Zandvliet	4,92	2,66	4
Lillo	Hukkelberg	0,69		1
Lillo	Kruisschans	6,97	2,71	4
Lillo	Oorderen	5,94	5,75	4
Lillo	Poederlee	3,12	1,86	9
Lillo / Kattendijk	Oorderen / Kattendijk	16,88		1
Kattendijk	Kattendijk	23,72	8,92	9
Kasterlee	Lichtaart	5,49	1,03	2
Kasterlee	Heist-op-den-Berg	0,69	0,33	2
Kasterlee	Beerzel	1,95	1,36	4
Kasterlee	Hallaar	26,38	18,11	2
Diest	Diest Kempen	18,60	15,45	9
Diest	Diest Hageland	23,19	8,72	8
Diest	Borsbeek	27,94	10,47	3
Berchem	Antwerpen	46,81	8,93	23
Bolderberg	Genk	0,10		1
Berchem	Zonderschot	27,89	14,57	15
Berchem	Kiel	45,19	10,74	16
Berchem	Edegem	16,68	8,02	12
Bolderberg	Houthalen	8,73	6,35	9
Bilzen	Berg	0,19		1
Borgloon	Kerkom Heide	0,26		1
Borgloon	Kerkom	0,02	0,02	7
Borgloon	Boutersem	0,10		1
Sint-Huibrechts-Hern	Neerrepn	5,01	3,25	2
Sint-Huibrechts-Hern	Grimmertingen	0,78	0,17	2
Zelzate	Bassevelde	0,37	0,20	2
Maldegem	Wemmel	3,11	2,44	4

Formatie	Lid	Glauconietgehalte	sd	n
Lede	Lede	1,24	1,01	10
Brussel	Brussel	0,39		1
Brussel	Machelen	0,84	0,89	9
Brussel	Neerijse	0,38	0,19	4
Aalter	Oedelem	3,03		1
Gentbrugge	Pittem	25,50		1
Hyon	Egem	9,95	7,83	4
Hyon	Mont-Panisel	8,63		1
Tielt	Kortemark	3,20	2,82	2
Mons-en-Pevele	Mons-en-Pevele	4,43	2,62	17
Kortrijk	Orchies	4,14	4,96	9
Hannut	Grandglise	5,86	3,38	5
Hannut	Halen	3,48		1
Maastricht	Nekum	0,01		1
Maastricht	Emael	0,08		1

Tabel 4. Het gemiddelde organisch (TOC) en anorganisch (TIC) koolstofgehalte (met standaard deviatie = sd) van de geanalyseerde éénheden in deze studie. n = aantal stalen geanalyseerd per eenheid.

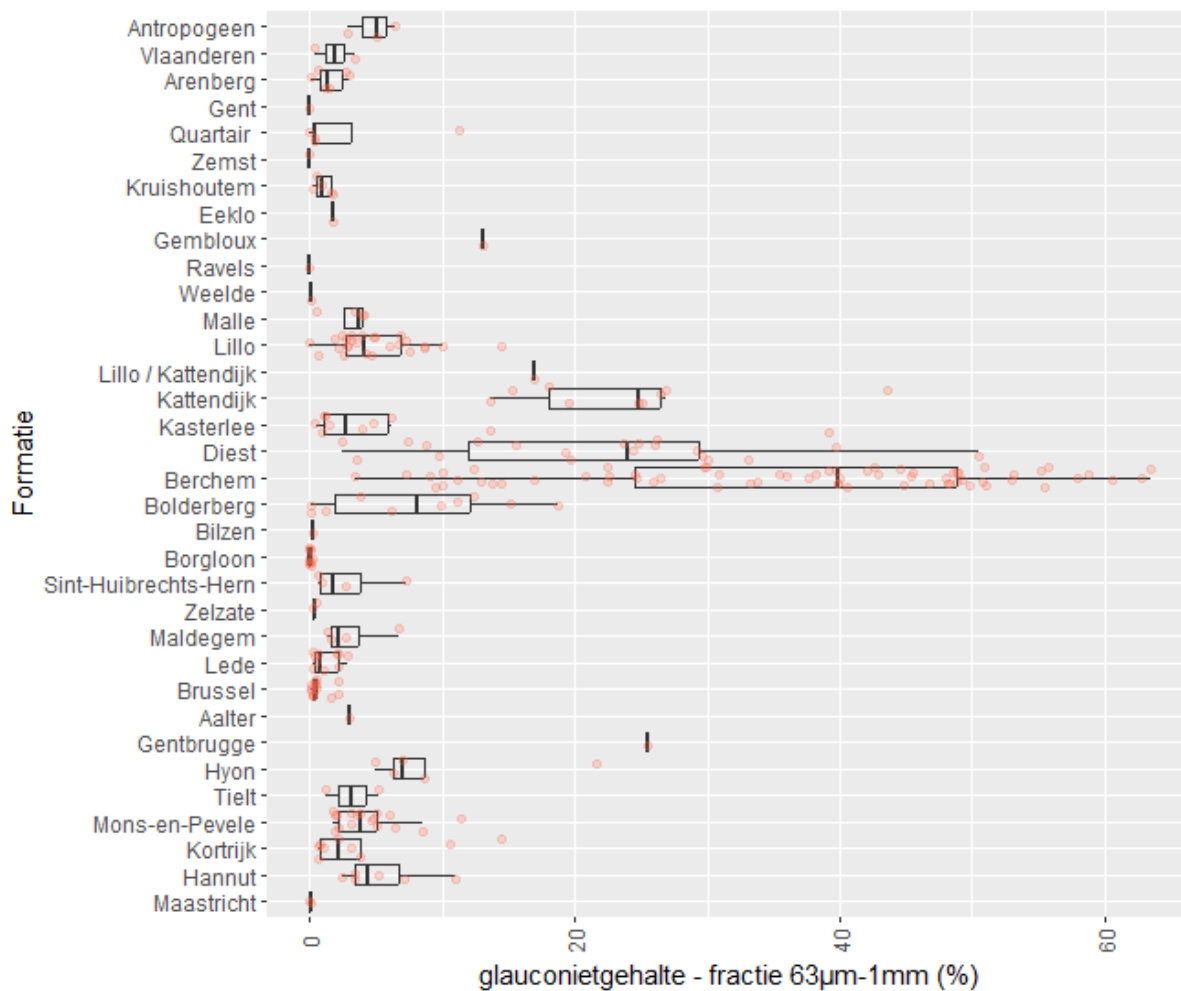
Formatie	Lid	TOC	sdTOC	TIC	sdTIC	TC	sdTC	n
Antropogeen	Antropogeen	2,35	4,27	1,82	1,92	4,23	6,13	4
Arenberg	Bos van Aa	0,09	0,14	-0,01	0,00	0,09	0,14	5
Arenberg	Rotselaar (Bosveen)	19,43	11,19	0,69	0,80	20,12	10,75	4
Vlaanderen	Vlaanderen	0,64	0,22	0,32	0,44	0,95	0,22	2
Quartair	Quartair			0,00	0,01			4
Gent	Gent	0,08		0,01		0,09		1
Quartair	Quartair (basisgrind)	0,02	0,01	0,03	0,04	0,05	0,04	2
Eeklo	Eeklo	0,08	0,04	0,21	0,33	0,29	0,32	3
Quartair	hellingsmateriaal	0,04		0,00		0,03		1
Kruishoutem	Kruishoutem	0,06	0,03	0,00	0,01	0,06	0,04	5
Zemst	Zemst	0,02		0,01		0,02		1
Arenberg	Arenberg	0,22		0,01		0,23		1
Gembloux	Brabant	0,08	0,03	1,19	0,96	1,27	0,99	3
Ravels	Ravels	0,05		0,00		0,06		1
Weelde	Turnhout	0,46		0,00		0,46		1
Weelde	Beerse	0,62	0,79	0,79	1,10	1,41	1,90	2
Weelde	Rijkevorsel	0,25		0,08		0,33		1
Malle	Malle	0,11	0,12	0,00	0,00	0,11	0,12	4
Lillo	Merksem	0,08	0,04	1,65	0,79	1,73	0,82	3
Lillo	Zandvliet	0,11	0,05	0,58	0,53	0,69	0,58	4
Lillo	Kruisschans	0,26	0,06	4,44	1,34	4,70	1,27	2
Kattendijk	Kattendijk	0,07	0,03	0,86	0,24	0,93	0,25	5
Diest	Borsbeek	0,11	0,03	0,07	0,04	0,17	0,03	3
Berchem	Antwerpen	0,19	0,07	0,55	1,07	0,74	1,05	21
Bolderberg	Genk	0,13		0,00		0,13		1
Berchem	Kiel	0,12	0,05	0,09	0,15	0,21	0,15	13
Berchem	Edegem	0,20	0,11	0,59	0,46	0,79	0,43	5
Bolderberg	Houthalen	0,17	0,09	0,00	0,00	0,17	0,09	9
Boom	Boom	1,14		0,04		1,17		1
Bilzen	Berg	0,07	0,04	2,17	3,06	2,24	3,10	2
Borgloon	Kerkom Heide	0,10	0,05	0,01	0,03	0,11	0,08	2
Borgloon	Kerkom	0,11	0,15	0,01	0,01	0,11	0,16	9
Borgloon	Boutersem	0,05		0,00		0,05		1
Borgloon	Boutersem Hoogbutsel	9,01		0,20		9,21		1
Sint-Huibrechts-Hern	Neerrepen	0,05		0,01		0,05		1
Sint-Huibrechts-Hern	Grimmertingen	0,02	0,00	0,00	0,01	0,01	0,01	2
Zelzate	Bassevelde	0,12	0,02	0,10	0,04	0,21	0,02	2
Maldegem	Wommel	0,03	0,01	0,00	0,01	0,03	0,02	4

Lede	Lede			1,14	1,71			13
Brussel	Brussel	0,07		6,36		6,42		1
Brussel	Machelen			1,16	1,03			16
Brussel	Neerijse	0,02	0,01	0,50	0,73	0,52	0,74	5
Aalter	Oedelem	0,09		2,27		2,35		1
Gentbrugge	Pittem	0,23		0,03		0,26		1
Hyon	Egem	0,06	0,01	0,30	0,41	0,36	0,42	2
Hyon	Mont-Panisel	0,41		1,71		2,12		1
Tielt	Kortemark	0,08	0,00	0,06	0,06	0,14	0,07	2
Mons-en-Pevele	Mons-en-Pevele	0,04	0,04	0,02	0,06	0,06	0,09	21
Kortrijk	Orchies	0,20	0,13	0,17	0,26	0,37	0,35	21
Kortrijk	Mont-Heribu	0,19		0,00		0,19		1
Hannut	Grandglise	0,10	0,06	0,01	0,02	0,11	0,06	5
Hannut	Halen	0,24		0,00		0,24		1
Maastricht	Nekum	0,06		11,83		11,89		1
Maastricht	Emael	0,08	0,05	11,41	0,27	11,50	0,22	2



Figuur 3. Boxplots van de mediane (d50) korrelgrootte van de onderzochte geologische formaties. De rode bolletjes stellen individuele datapunten (stalen) voor.

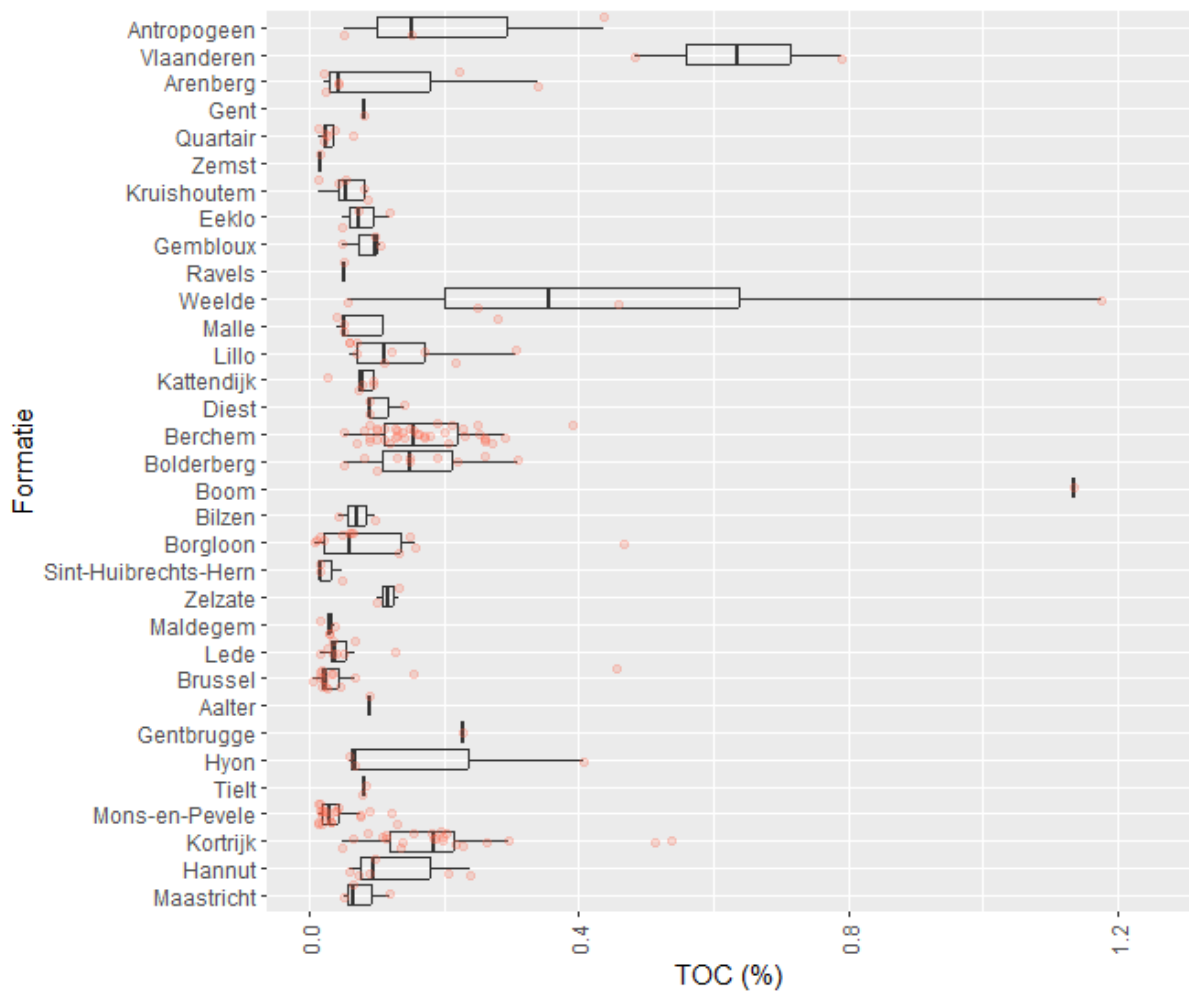




Figuur 4. Boxplots van het glauconietgehalte van de onderzochte formaties, in de fractie 63µm-1mm. De rode bolletjes stellen individuele datapunten (stalen) voor.

Op basis van het glauconietgehalte van de onderzochte stalen valt voornamelijk de groep van de Neogene formaties op (**Figuur 4,**

Tabel 3). Deze staan algemeen bekend als de Neogene groene glauconietzanden (Vandenberghe & Louwe, 2020) (Bolderberg, Berchem, Diest, Kasterlee, Kattendijk, Lillo) en de analyses uitgevoerd voor dit project bevestigen de beduidend hogere glauconietgehaltenes van deze eenheden met percentages van 10 tot meer dan 60 %. De hoogste glauconietgehaltenes worden aangetroffen in de onder Miocene Berchem Formatie. Ook in het Paleogeen en Quartair bevatten verschillende eenheden glauconiet maar het gehalte is daar doorgaans lager dan 10 %.

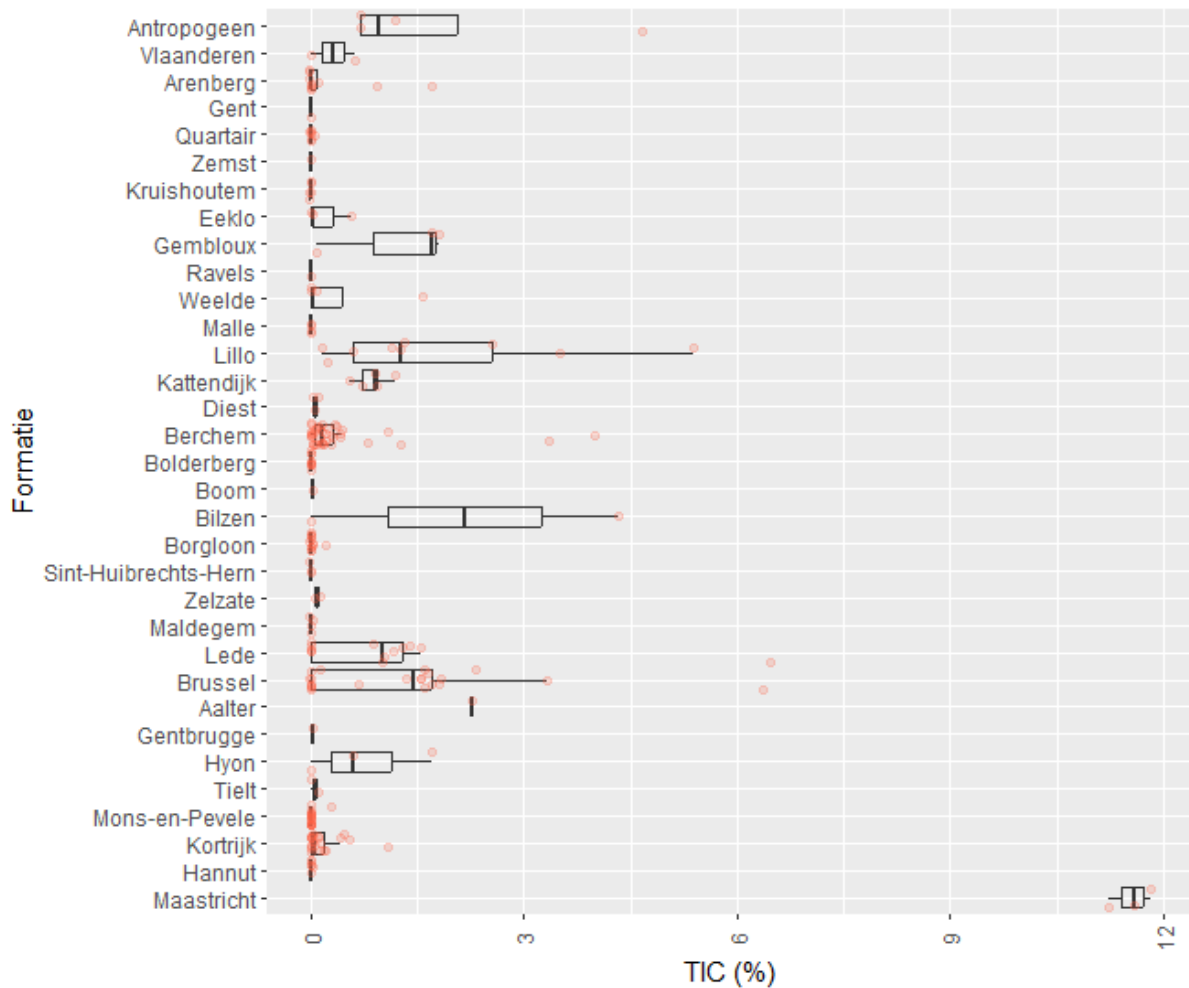


Figuur 5. Boxplots van het organisch koolstofgehalte (TOC) van de onderzochte formaties. De Borgloon Formatie, Hoogbutsel Facies, bevat een uitschieter met 9 % organisch koolstof, die buiten het bereik van deze figuur valt. De rode bolletjes stellen individuele datapunten (stalen) voor.

Het organisch koolstofgehalte is in bijna alle gemeten stalen laag met waarden lager dan 0.4 % (Figuur 5,



Tabel 4). In de vroeg Quartaire Weelde Formatie werden wel waarden rond 1 % gemeten, gerelateerd aan het voorkomen van veen in die eenheid (Gullentops et al., 2001). Ook in de Oligocene Boom Formatie werd een waarde van 1 % gemeten, door organisch materiaal aanwezig in deze mariene klei (Vandenberghé et al., 2014). Een sterke uitschieter, 9 %, werd gemeten in het Hoogbutsel Facies van de Borgloon Formatie. Dit is een zeer fossielrijk facies dat afgezet werd in een lagunaire moerasomgeving (Glibert & De Heinzelin, 1952), die het hoge gehalte organisch materiaal verklaart. Ook in de Kortrijk en Mons-en-Pévèle formaties van de leper Groep en in het Kerkom Lid, in het chocoladebruine facies, worden lokaal licht verhoogde waarden aangetroffen.



Figuur 6. Boxplots van het inorganisch koolstofgehalte (TIC) van de onderzochte formaties. De rode bolletjes stellen individuele datapunten (stalen) voor.

Ook het anorganisch koolstofgehalte is in het algemeen laag met waarden kleiner dan 1 % (Figuur 6,

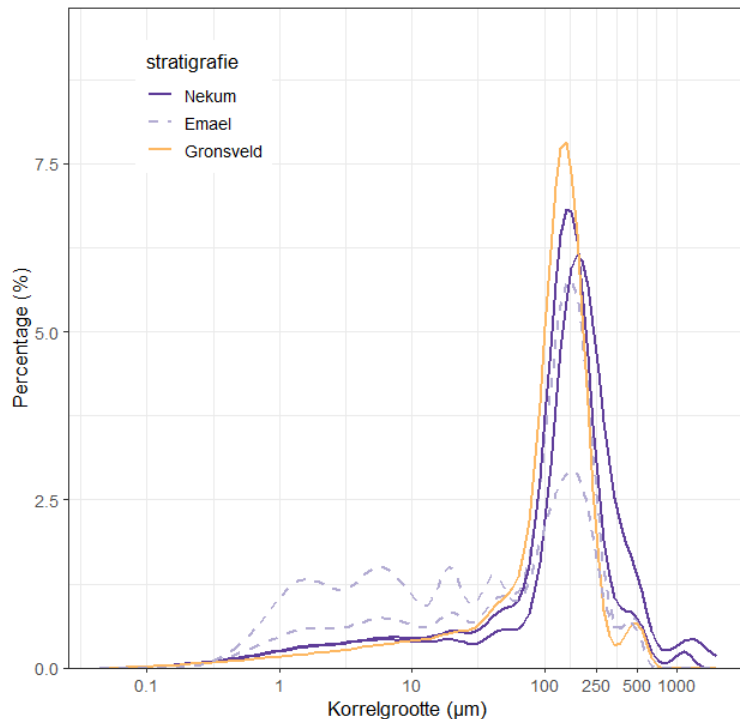
Tabel 4). Deze waarden geven het koolstofgehalte weer, niet het totale kalkgehalte (CaCO_3), dat hoger ligt. Het verhoogde kalkgehalte in de Gembloux Formatie is gerelateerd aan de kalkrijke Quartaire leem (Gullentops et al., 2001). Verhoogde kalkgehalten in de Neogene en Paleogene eenheden zijn doorgaans gerelateerd aan het voorkomen van kalkige (micro)fossielen en schelpenbanken. Het kalkrijke facies van de Brussel Formatie, zonder macrofossielen, springt er ook uit met waarden groter dan 1.5 %. De hoogste waarden (> 10 %) werden, vanzelfsprekend, gemeten in de mergel en het krijt van de Maastricht Formatie.



4.2. BESPREKING PER FORMATIE

Voor elke formatie die geanalyseerd werd tijdens deze studie worden de variaties in de verschillende gemeten parameters in detail besproken, met een onderscheid tussen de aanwezige geologische leden.

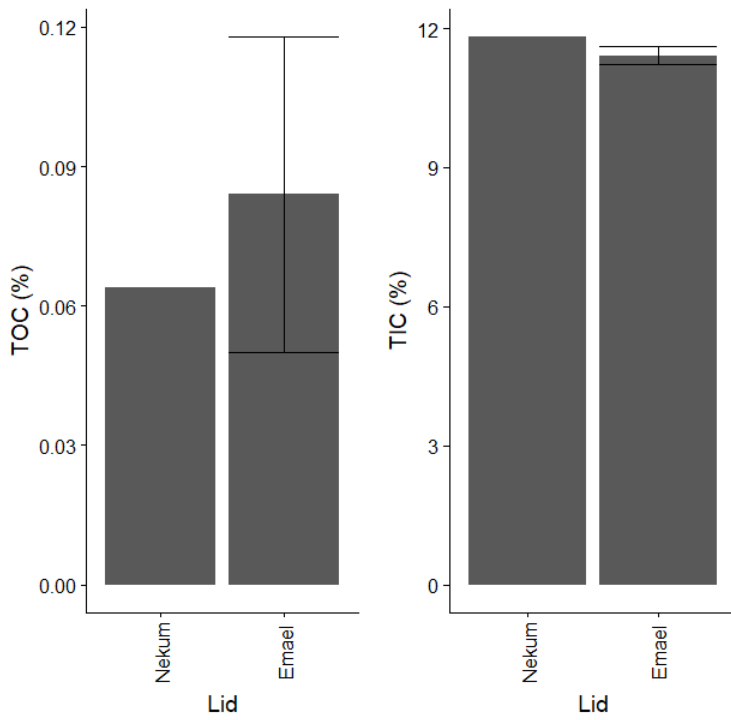
4.2.1. Maastricht



Figuur 7. Korrelgrootteverdelingscurves van de geanalyseerde leden van de Maastricht Formatie.

Van de Formatie van Maastricht werden vijf stalen geanalyseerd voor korrelgrootte, van de leden van Nekum (2 stalen), Emael (2 stalen) en Gronsveld (1 staal) (Figuur 7). De korrelgroottedata tonen dat het lid van Emael beduidend meer fijne fractie bevat t.o.v. de andere geanalyseerde leden, aangetoond door de veel lager d_{10} waarde, van $2 \mu\text{m}$, t.o.v. $6 \mu\text{m}$ (Nekum) à $12 \mu\text{m}$ (Gronsveld). De zandige mode is voor de drie leden wel zeer gelijkaardig, rond $150 \mu\text{m}$ (Tabel 2).

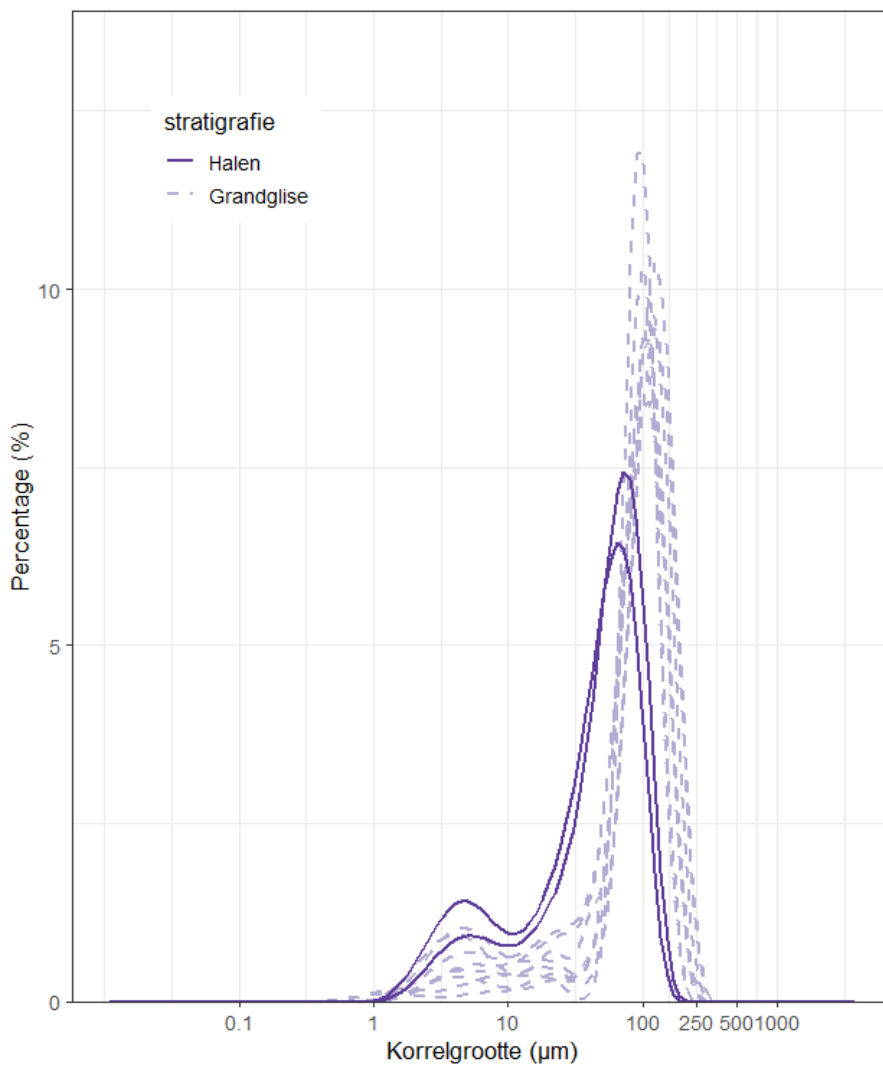
Er werden ook analyses uitgevoerd van het koolstofgehalte voor de leden van Nekum (1 staal), en Emael (2 stalen) (Figuur 8). Voor beide leden is het organisch koolstofgehalte verwaarsloosbaar en het anorganisch koolstofgehalte zeer hoog, rond 11,5 %.



Figuur 8. Organisch (TOC) en anorganisch (TIC) koolstofgehalte van de geanalyseerde leden van de Maastricht Formatie. Barplots geven gemiddelde en standaard afwijking weer, indien meer dan 1 staal van betreffend lid geanalyseerd werd.



4.2.2. Hannut

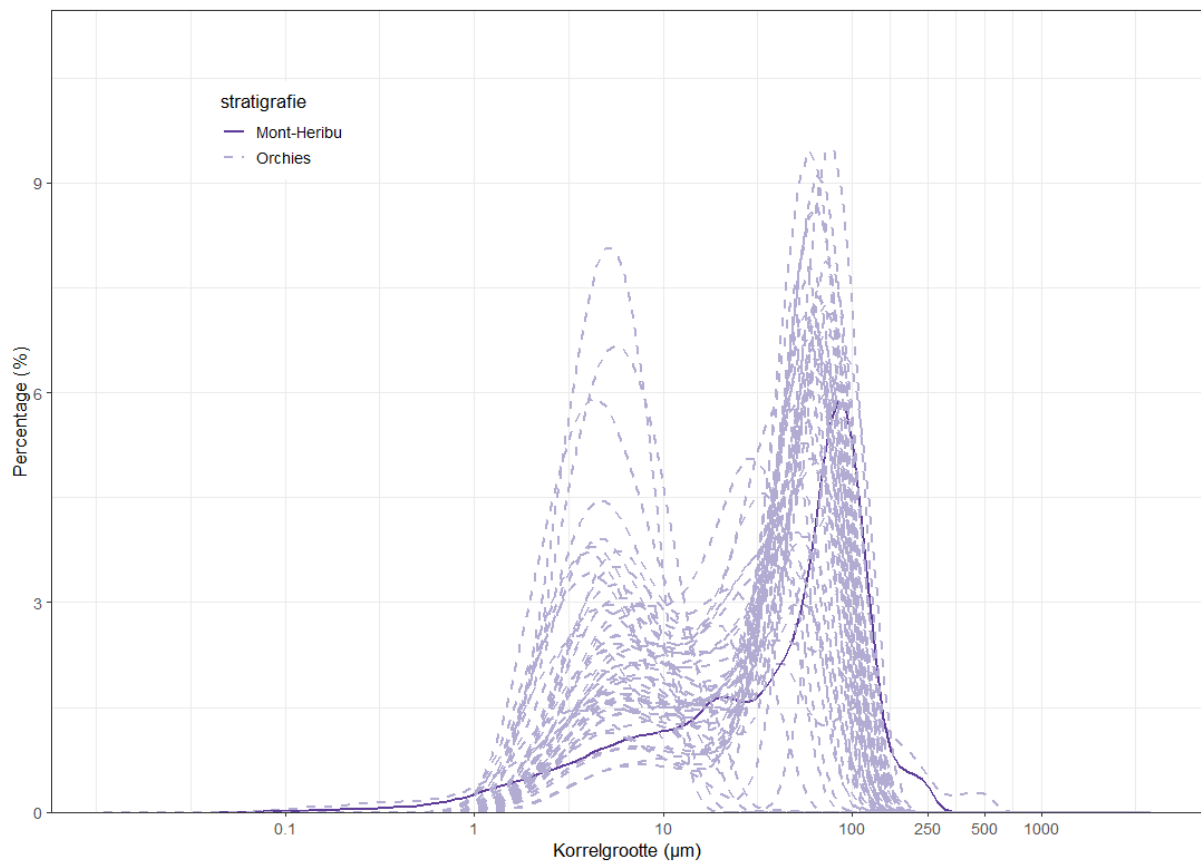


Figuur 9. Korrelgrootteverdelingscurves van de geanalyseerde stalen van de Hannut Formatie, Lid van Halen en Lid van Grandglise.

Van de Formatie van Hannut werden acht stalen van het Grandglise Lid en twee stalen van het Halen Lid geanalyseerd voor korrelgrootte (**Figuur 9**). De korrelgroottedata tonen een goed gesorteerd fijn zand tot silt met een mediaan en mode rond 90 à 100 µm voor het Grandglise Lid en 40 à 60 µm voor het Halen Lid. Dit is voor het Grandglise Lid gekoppeld met een hoge d10 waarde (23 µm) en lage d90 waarde (151 µm). Het Halen Lid heeft een beduidend grotere fijne fractie (d10 6 µm) en een zeer beperkte grove fractie (d90 96 µm) (**Tabel 2**).

Het is een licht glauconiethoudend zand met een waarde van van 3 à 6 % (**Figuur 4**). Het (an)organisch koolstofgehalte is verwaarloosbaar (**Figuur 5**).

4.2.3. Kortrijk

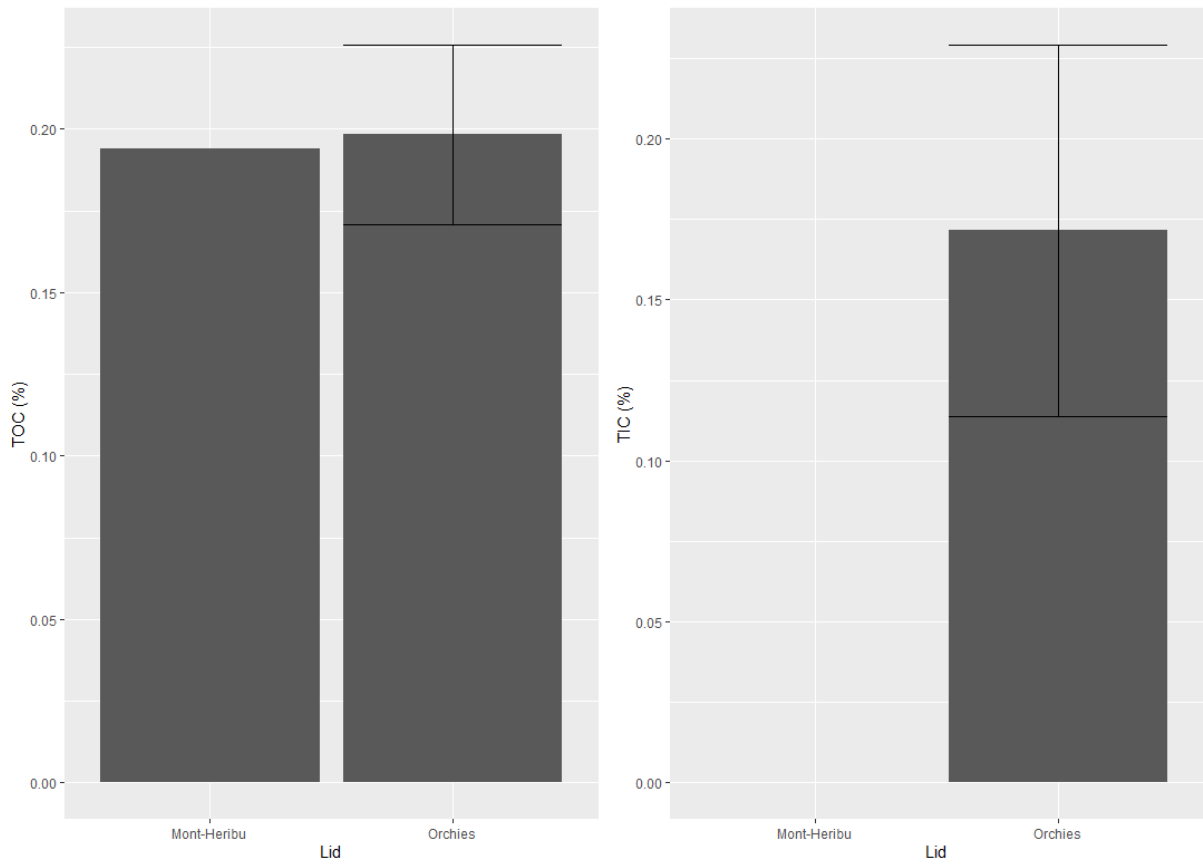


Figuur 10. Korrelgrootteverdelingscurves van de geanalyseerde leden van de Kortrijk Formatie.

Van de Formatie van Kortrijk werden 49 stalen geanalyseerd voor korrelgrootte, van de leden van Orchies (48 stalen) en Mont-Hérību (1 staal) (Figuur 10). In het vorige rapport (Verhaegen & De Nil, 2023) werden een aantal stalen uit boring 1508-B2022-00843-B2 in Brussel foutief aan de Mons-en-Pévèle Formatie toegekend. Op basis van de fijne siltige korrelgrootte behoren deze tot de Kortrijk Formatie en zijn ze in het huidige rapport bij het Lid van Orchies gevoegd. Het Lid van Orchies is gekend als een zware stijve klei terwijl het Lid van Mont-Hérību zandige klei of kleilig zand bevat (Steurbaut et al., 2016). Deze verschillen worden bevestigd in de geanalyseerde stalen. Het Orchies Lid heeft een zeer fijne mediaan van $30 \pm 16 \mu\text{m}$, t.o.v. $51 \mu\text{m}$ voor het Mont-Hérību Lid o.b.v. 1 staal. De top van het Lid van Orchies bevat wel meer siltige stalen, die eerder tot de Mons-en-Pévèle Formatie gerekend werden. Er is daardoor een grote variatie aanwezig in het Orchies Lid, tussen zuiver kleilige en meer siltige stalen (Figuur 10). In het Mont-Hérību Lid komt kleilig zand voor, met een fijn zandige mode van $80 \mu\text{m}$ en een d_{10} van $4 \mu\text{m}$, die wijst op een hoog gehalte fijne fractie (Tabel 2).

Er is een licht verhoogd organisch koolstofgehalte in de gemeten stalen, van 0,2 % met uitschieters tot 0,5 % in het Lid van Orchies. Het anorganisch koolstofgehalte is verwaarloosbaar o.b.v. de gemeten stalen, m.u.v. het staal van het Orchies Lid uit de boring te Vilvoorde, waar dit 0,5 % bedraagt (Figuur 11).

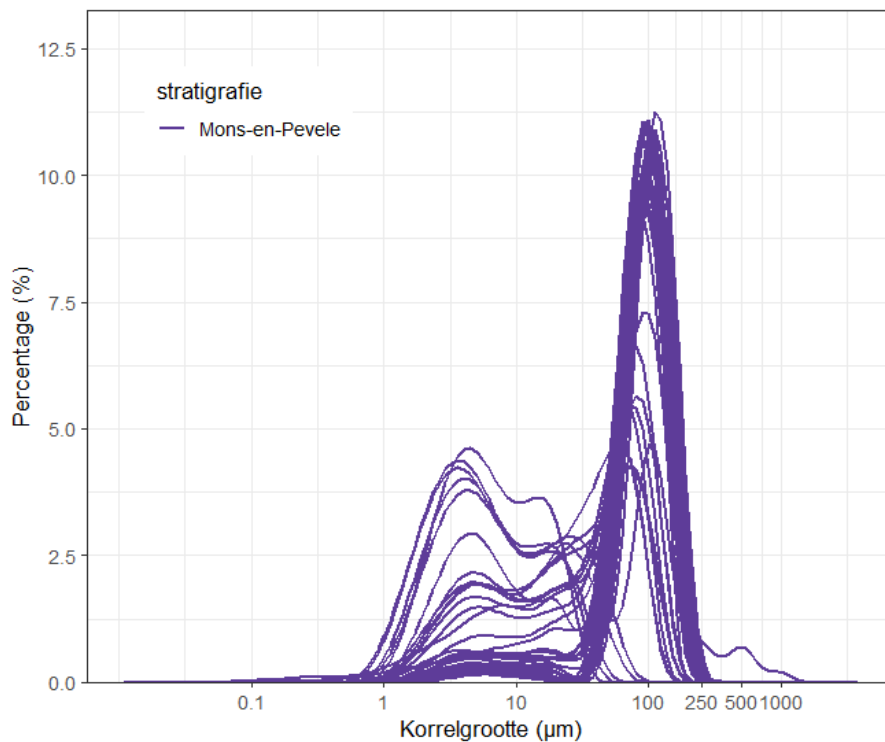
Het glauconietgehalte van 9 gemeten stalen van het Orchies Lid in de fractie $63 \mu\text{m}$ -1 mm bedraagt gemiddeld 4 %, met een variatie tussen 0 en 15 % (Tabel 3).



Figuur 11. Organisch (TOC) en anorganisch (TIC) koolstofgehalte van de geanalyseerde leden van de Kortrijk Formatie. Barplots geven gemiddelde en standaard afwijking weer, indien meer dan 1 staal van betreffend lid geanalyseerd werd.



4.2.4. Mons-en-Pévèle



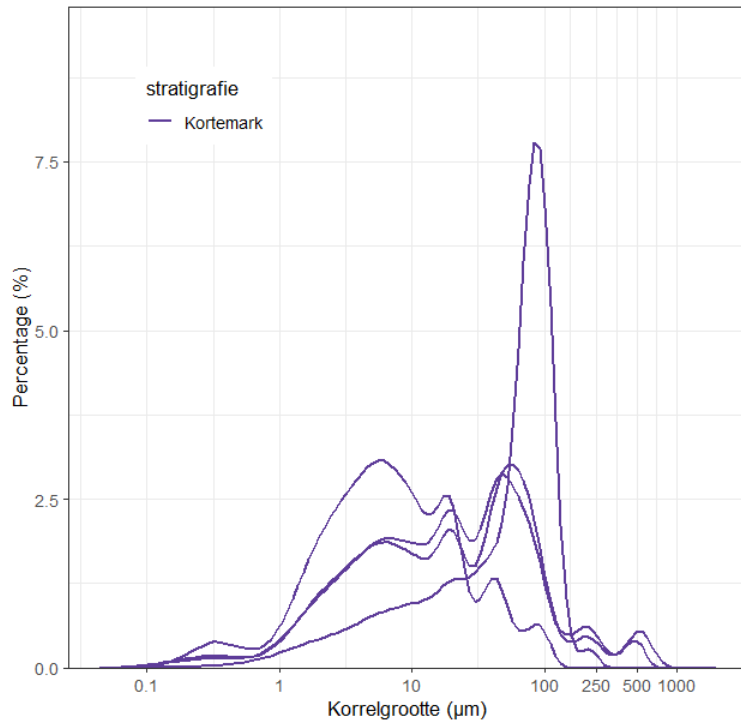
Figuur 12. Korrelgrootteverdelingscurves van de geanalyseerde stalen van de Mons-en-Pévèle Formatie.

Van de Mons-en-Pévèle Formatie werden 43 stalen geanalyseerd voor korrelgrootte. In het vorige rapport (Verhaegen & De Nil, 2023) werden een aantal stalen uit boring 1508-B2022-00843-B2 in Brussel foutief aan de Mons-en-Pévèle Formatie toegekend. Op basis van de fijne siltige korrelgrootte behoren deze tot de Kortrijk Formatie en zijn ze in het huidige rapport bij het Lid van Orchies gevoegd. De stalen van de Mons-en-Pévèle Formatie bestaan grotendeels uit een goed gesorteerd siltig zeer fijn zand (mediaan $66 \pm 32 \mu\text{m}$ en mode $83 \pm 32 \mu\text{m}$) (Figuur 12, Tabel 2), in lijn met de definitie van deze formatie (Steurbaut et al., 2016). Er zijn echter ook stalen die uit fijn silt tot klei bestaan, wat de moeilijkheid van de formele definitie van de eenheid aantoont, met slechts een subtiel verschil tussen deze formatie en de Kortrijk Formatie.

De Mons-en-Pévèle Formatie bevat glauconiet in de fractie $63\mu\text{m}$ -1mm ($4,4 \pm 2,6 \%$), met waarden tot 11 % (Figuur 4). Organische koolstof en anorganische koolstof zijn verwaarloosbaar of zeer beperkt aanwezig (

Tabel 4).

4.2.5. Tielt

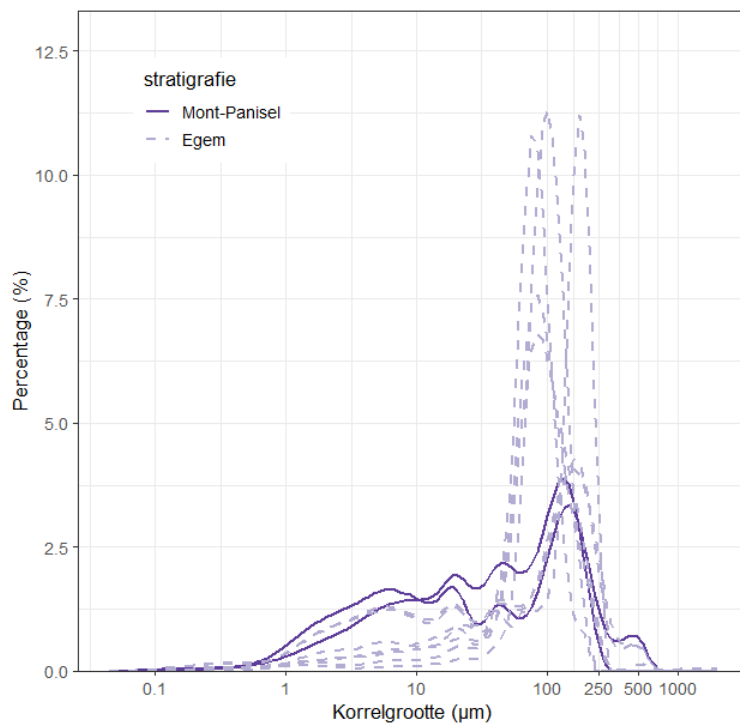


Figuur 13. Korrelgrootteverdelingscurves van de geanalyseerde stalen van de Tielt Formatie, Kortemark Lid.

Van de Tielt Formatie werden vier stalen geanalyseerd voor korrelgrootte, van het Kortemark Lid. Het Kortemark Lid bestaat doorgaans uit siltig tot zeer fijn zandige klei (Steurbaut et al., 2016). Drie van de geanalyseerde stalen bevatten inderdaad deze lithologie, met een d_{10} van 1 à 2 μm en een siltige mode rond 50 μm (Figuur 13). Een laatste staal bevat echter silteus fijn zand, met een mode van 80 μm (Figuur 13).

Het Kortemark Lid bevat een kleine hoeveelheid glauconiet (1 à 5 % in de fractie 63 μm -1mm; **Figuur 4**) en het (an)organisch koolstof gehalte is zeer laag (**Figuur 5**, **Figuur 6**).

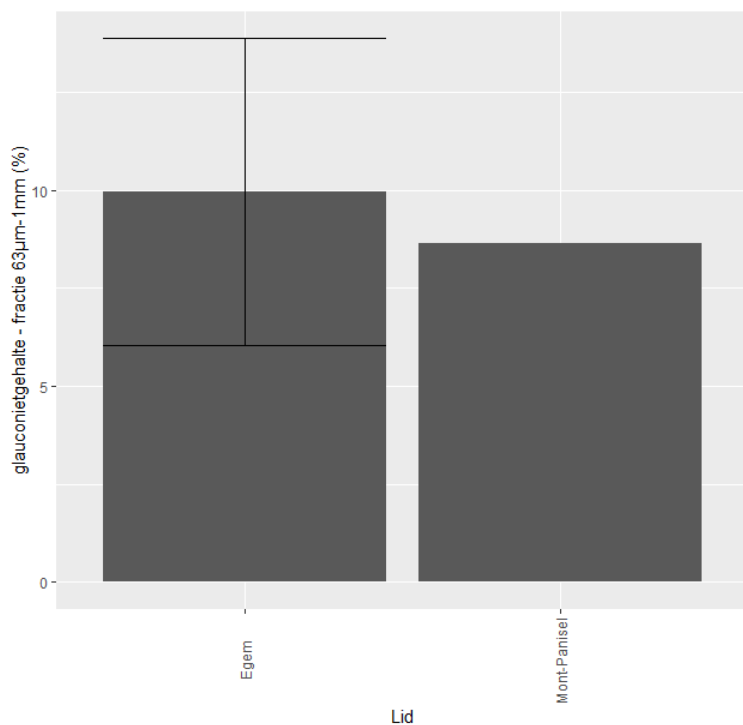
4.2.6. Hyon



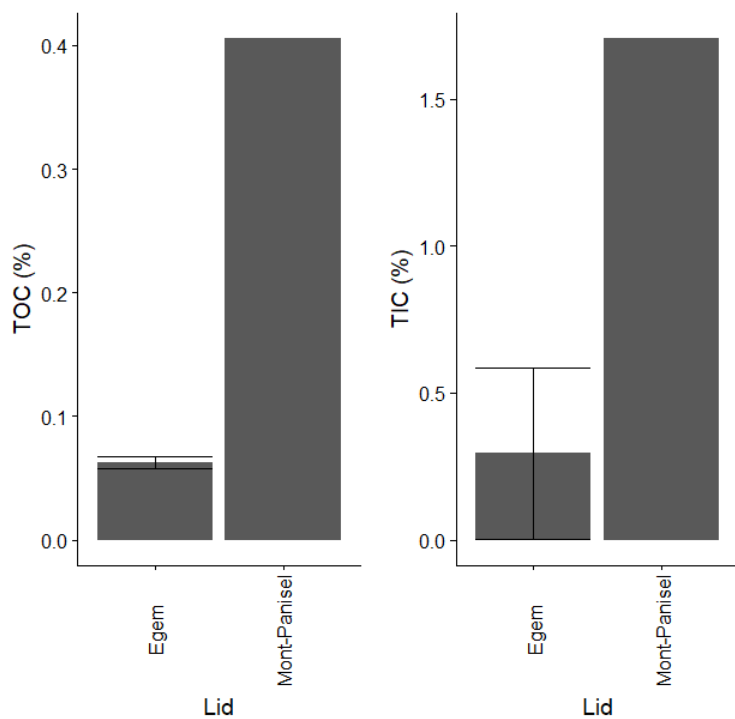
Figuur 14. Korrelgrootteverdelingscurves van de geanalyseerde leden van de Hyon Formatie.

Van de Hyon Formatie werden negen stalen geanalyseerd voor korrelgrootte, van de leden van Mont-Panisel (2 stalen) en Egem (7 stalen). Het Egem Lid wordt beschreven als een goed gesorteerd fijn zand, maar er kunnen ook kleirijke intervallen voorkomen (Steurbaut et al., 2016). Beide faciessen worden vertegenwoordigd in de geanalyseerde stalen (**Figuur 14**). De fijn zandige stalen hebben een mode en mediaan rond 80 µm, met uitzondering van één staal met grovere mode van 160 µm (**Bijlage 1**). De twee meer kleiige stalen hebben een d10 van 2 µm maar wel een grovere mode van 150 µm. Dit zijn de stalen afkomstig van de leemgroeve te Volkegem. Het Lid van Mont-Panisel wordt beschreven als een slecht gesorteerd kleig fijn zand (Steurbaut et al., 2016). Dit wordt bevestigd door de geanalyseerde stalen, met een zeer fijne mediaan van 33 µm en een fijn zandige mode van 134 µm (**Tabel 2**). De stalen van het Lid van Mont-Panisel zijn zeer gelijkaardig aan die van de kleiige stalen van het Egem Lid (**Figuur 14**). Mogelijk moet het beschreven pakket van het Egem Lid te Volkegem lithostratigrafisch eerder bij het Lid van Mont-Panisel ingedeeld worden.

De leden van de Hyon Formatie bevatten een significante hoeveelheid glauconiet, met 10 % in het Egem Lid en 9 % in het Lid van Mont-Panisel (**Figuur 15**). Het geanalyseerde staal van het Mont-Panisel Lid heeft een beduidend hoger organisch (0,4 %) en anorganisch (1,7 %) dan het Egem Lid, waar de waarden verwaarloosbaar zijn (**Figuur 16**).

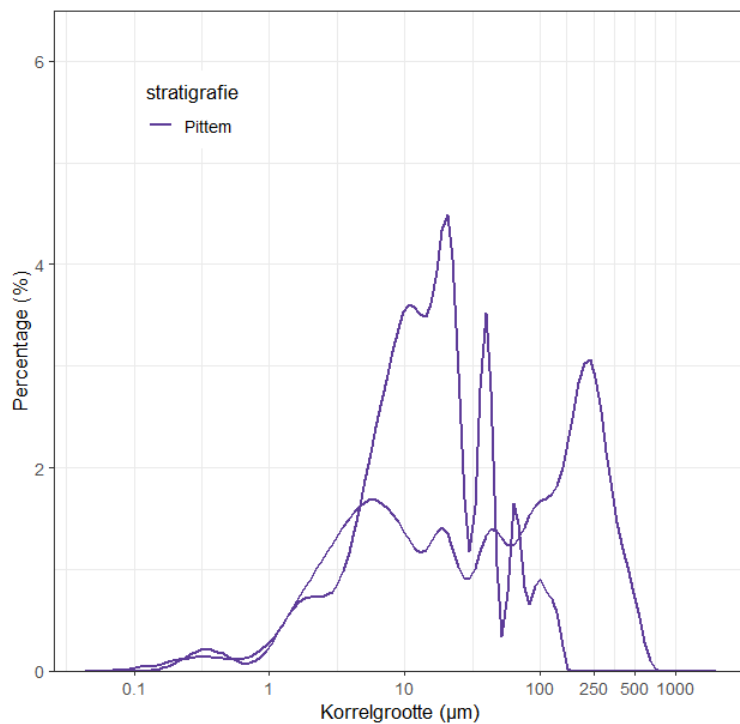


Figuur 15. Glauconietgehalte in de fractie 63µm-1mm van de geanalyseerde leden van de Hyon Formatie. Barplots geven gemiddelde en standaard afwijking weer, indien meer dan 1 staal van betreffend lid geanalyseerd werd.



Figuur 16. Organisch (TOC) en anorganisch (TIC) koolstofgehalte van de geanalyseerde leden van de Hyon Formatie. Barplots geven gemiddelde en standaard afwijking weer, indien meer dan 1 staal van betreffend lid geanalyseerd werd.

4.2.7. Gentbrugge

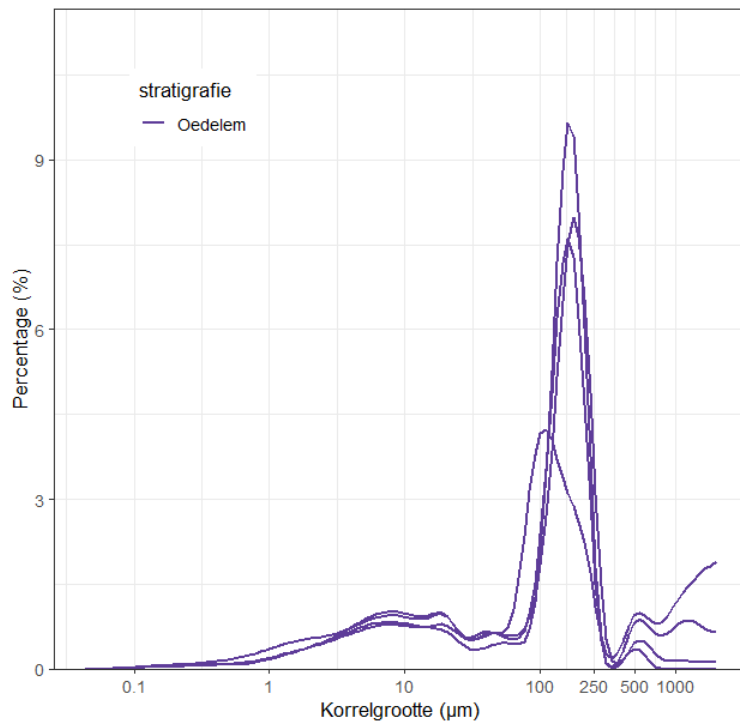


Figuur 17. Korrelgrootteverdelingscurves van de geanalyseerde stalen van de Gentbrugge Formatie, Pittem Lid.

Van de Formatie van Gentbrugge werden twee stalen geanalyseerd voor korrelgrootte, van het Lid van Pittem. Het Pittem Lid bestaat uit laagjes van siltige klei en kleig fijn zand (Steurbaut et al., 2016). De geanalyseerde stalen lijken inderdaad de twee verschillende faciessen te vertegenwoordigen (Figuur 17). Eén staal is zeer fijn met een mediaan van 13 µm en de grootste mode op 19 µm, al komen er ook nog twee iets grovere pieken in de verdeling voor, tussen 50 en 100 µm. Het tweede staal heeft een mediaan van 39 µm en een veel grovere mode in de fijne tot gemiddelde zand fractie, van 223 µm (Bijlage 1).

Het geanalyseerde staal voor glauconiet heeft een hoog glauconietgehalte in de fractie 63µm-1mm, van 26 % (Figuur 4). Het anorganisch koolstofgehalte van het geanalyseerde staal is zeer laag maar er is wel significante aanwezigheid van organische koolstof (0,2 %) (Figuur 5, Figuur 6).

4.2.8. Aalter

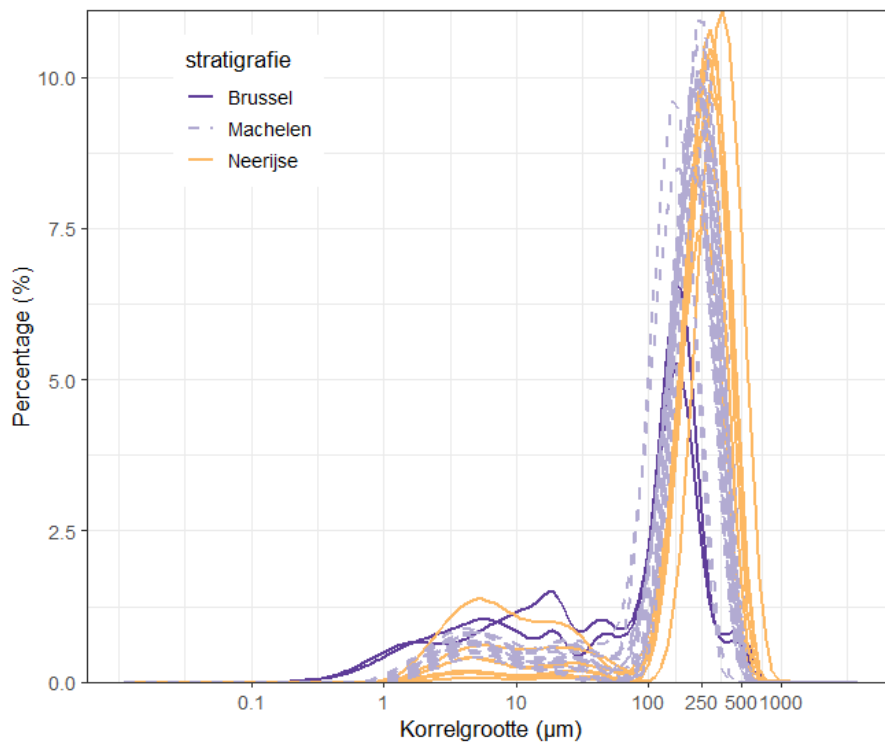


Figuur 18. Korrelgrootteverdelingscurves van de geanalyseerde stalen van de Aalter Formatie, Oedelem Lid.

Van de Formatie van Aalter werden vier stalen geanalyseerd voor korrelgrootte, van het Lid van Oedelem (**Figuur 18**). Deze stalen tonen een fijn zand (146 µm) met een significante fijne fractie (d10 16 µm) (**Tabel 2**).

Het Oedelem Lid is licht glauconiethoudend (3 % in de fractie 63 µm-1mm in het geanalyseerde staal) (**Figuur 4**), heeft een verwaarsloosbaar gehalte organische koolstof maar wel een significante fractie anorganische koolstof (2,3 %) (**Figuur 6**), gerelateerd aan de veel voorkomende kalkige fossielen beschreven voor deze formatie (Dewalque, 1868).

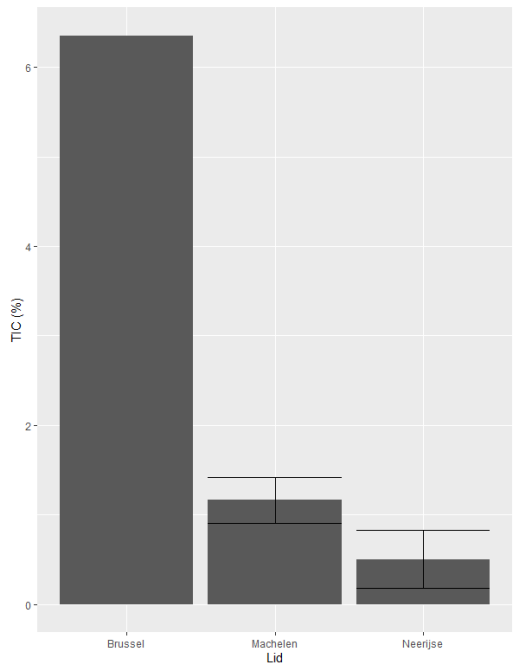
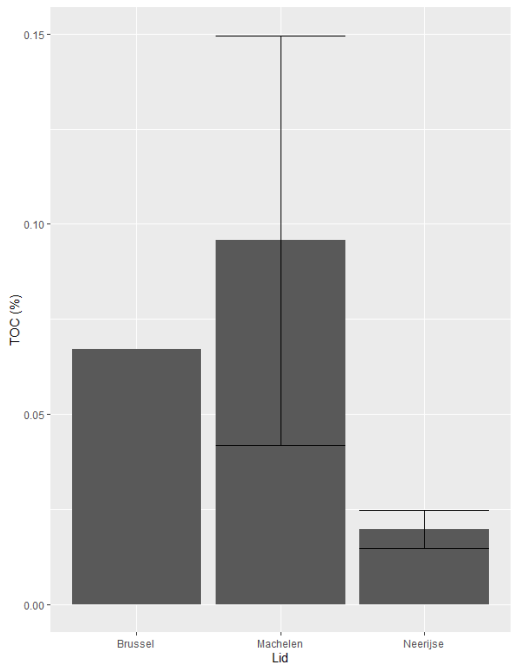
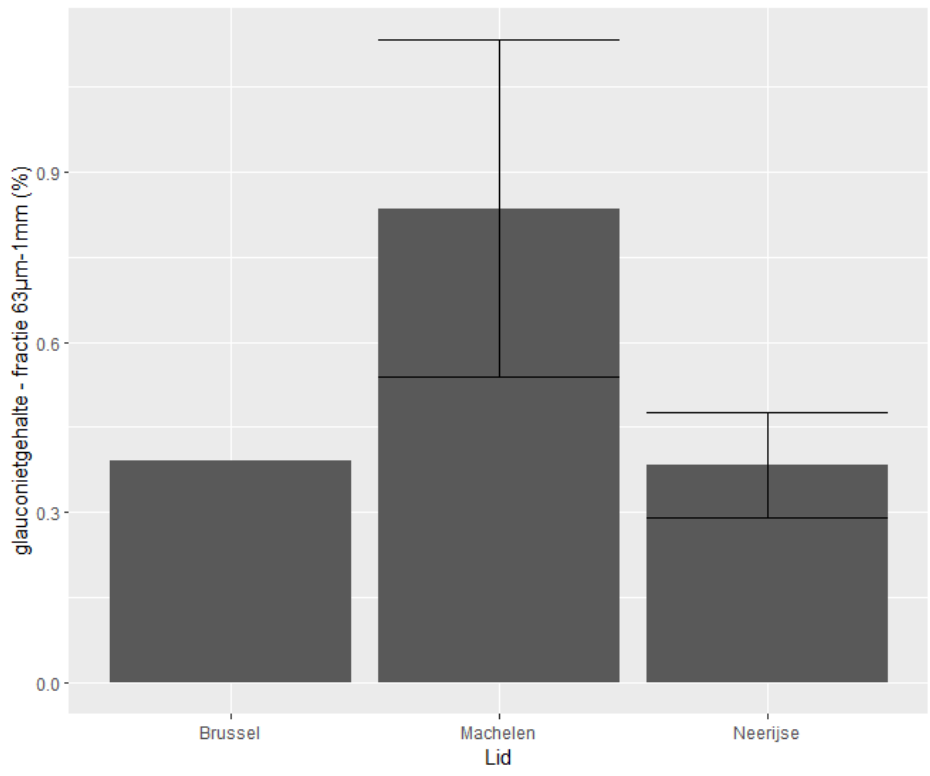
4.2.9. Brussel



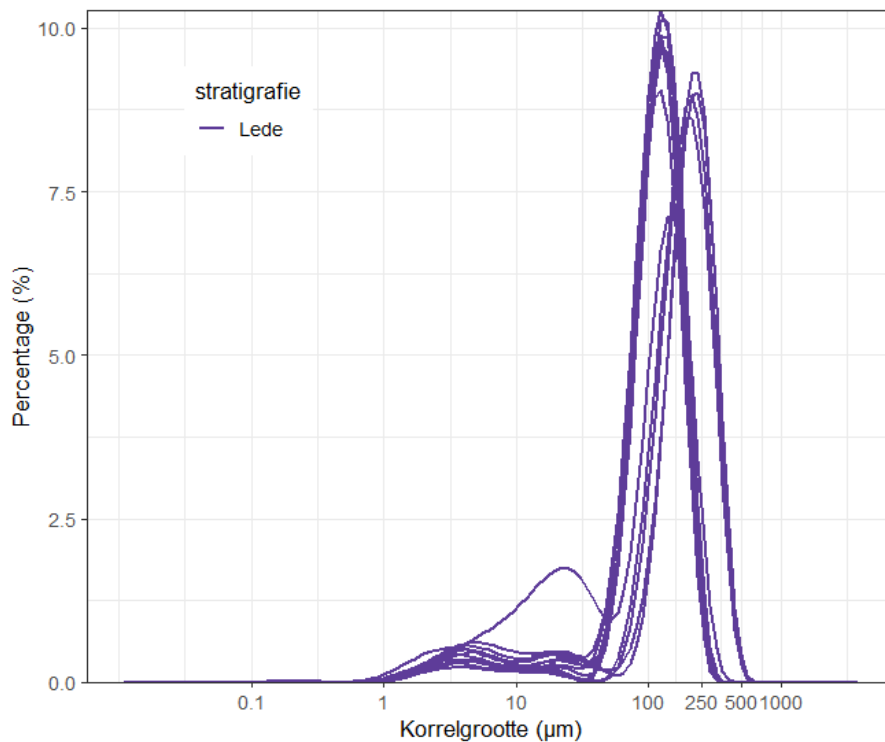
Figuur 19. Korrelgrootteverdelingscurves van de geanalyseerde stalen van de Brussel Formatie.

Van de Formatie van Brussel werden 27 stalen geanalyseerd voor korrelgrootte, waarvan 2 ongedifferentieerd, 18 behorende tot het Machelen Lid en 7 tot het Neerijse Lid. De Formatie van Brussel is een complexe eenheid waarin veel verschillende faciessen met sterk verschillende karakteristieken werden afgezet (Houthuys, 2011; Houthuys et al., 2023). De ongedifferentieerde stalen uit deze studie vertonen een fijn zandige mode rond 150 µm en hebben een grote fijne fractie, aangetoond door de d₁₀ van 3 µm (Figuur 19, Tabel 2). Ze behoren daarom wellicht tot het Machelen Lid. De stalen van het Machelen Lid bestaan uit een goed gesorteerd fijn zand met een mode van 221 ± 28 µm en een mediaan van 188 ± 27 µm. De stalen van het Neerijse Lid zijn eveneens goed gesorteerd en iets grover dan het Machelen Lid, met een mode van 277 ± 31 µm en een mediaan van 247 ± 44 µm. Het verschil in korrelgrootte tussen beide leden komt overeen met de formele definitie. De eigenlijke waarden blijken voor het Machelen Lid echter significant grover te zijn (188 µm vs fijner dan 150 à 175 µm) en wijzen erop dat een aanpassing van de definitie nodig is.

De onderzochte stalen bevatten zeer weinig glauconiet, met gemiddeld < 1 %. Het organisch koolstofgehalte is verwaarloosbaar maar anorganische koolstof is wel significant aanwezig in Machelen Lid (1,16 ± 1 % tot 6 %), wat te verwachten is in het fijn zandige facies van het Machelen Lid van de Brussel Formatie (Houthuys, 2011) (Figuur 6). Het gehalte is lager in het Neerijse Lid. Er is een grote variabiliteit in het gehalte anorganische koolstof door regelmatige ontkalking in de top van de Brussel Formatie nabij het maaiveld.



4.2.10. Lede



Figuur 20. Korrelgrootteverdelingscurves van de geanalyseerde stalen van de Lede Formatie.

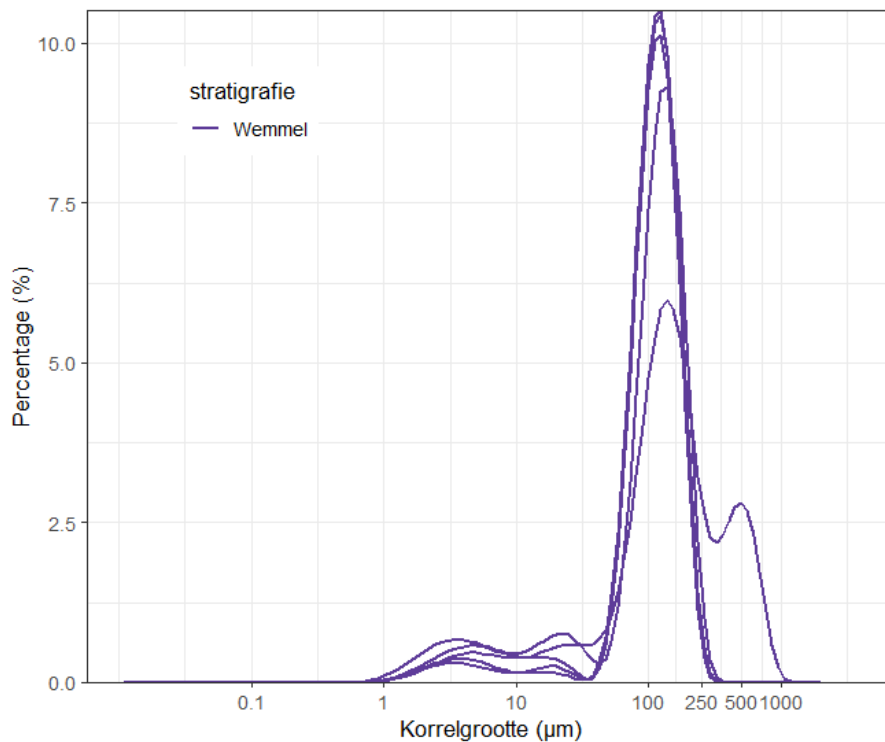
Van de Formatie van Lede werden 13 stalen geanalyseerd voor korrelgrootte. De Lede Formatie is een kalkhoudend en glauconiethoudend fijn zand (Mourlon, 1873; Fobe, 1988). Er komen enkele lagen met zandige kalksteenbanken of kalkhoudende zandsteenbanken voor, waarvan de Balegemse steen momenteel nog ontgonnen wordt. De stalen uit deze studie bestaan uit goed gesorteerd fijn zand met een mediaan van $130 \pm 34 \mu\text{m}$ (Figuur 20). Het kleigehalte is zeer laag, resulterend in een d_{10} van $40 \pm 23 \mu\text{m}$ (Tabel 2).

Er is glauconiet aanwezig maar slechts in beperkte mate ($1,2 \pm 1 \%$) (Tabel 3). Het anorganisch koolstofgehalte is sterk variabel door ontkalking nabij het maaiveld ($1,1 \pm 1,7 \%$) (

Tabel 4).



4.2.11. Maldegem



Figuur 21. Korrelgrootteverdelingscurves van de geanalyseerde stalen van de Maldegem Formatie.

Van de Formatie van Maldegem werden 5 stalen geanalyseerd voor korrelgrootte, van het onderste zandige Wemmel Lid. Dit lid is zeer gelijkaardig aan de onderliggende Lede Formatie. De stalen uit deze studie bestaan uit fijn zand met een mediaan van $111 \pm 14 \mu\text{m}$ (Figuur 21). Eén staal genomen net boven het contact met de Lede Formatie heeft een tweede grovere mode rond $500 \mu\text{m}$, dat als basisgrind geïnterpreteerd kan worden.

Er is een beperkte hoeveelheid glauconiet aanwezig, meer dan in de onderliggende Lede Formatie ($3,1 \pm 2,4 \%$) (

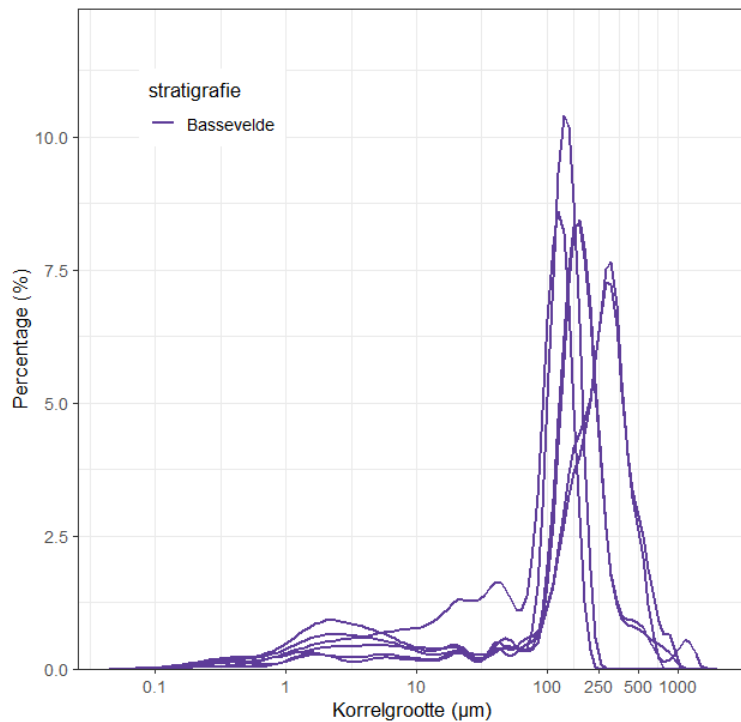
Tabel 3). Het gehalte (an)organische koolstof is verwaarloosbaar (



Tabel 4).



4.2.12. Zelzate

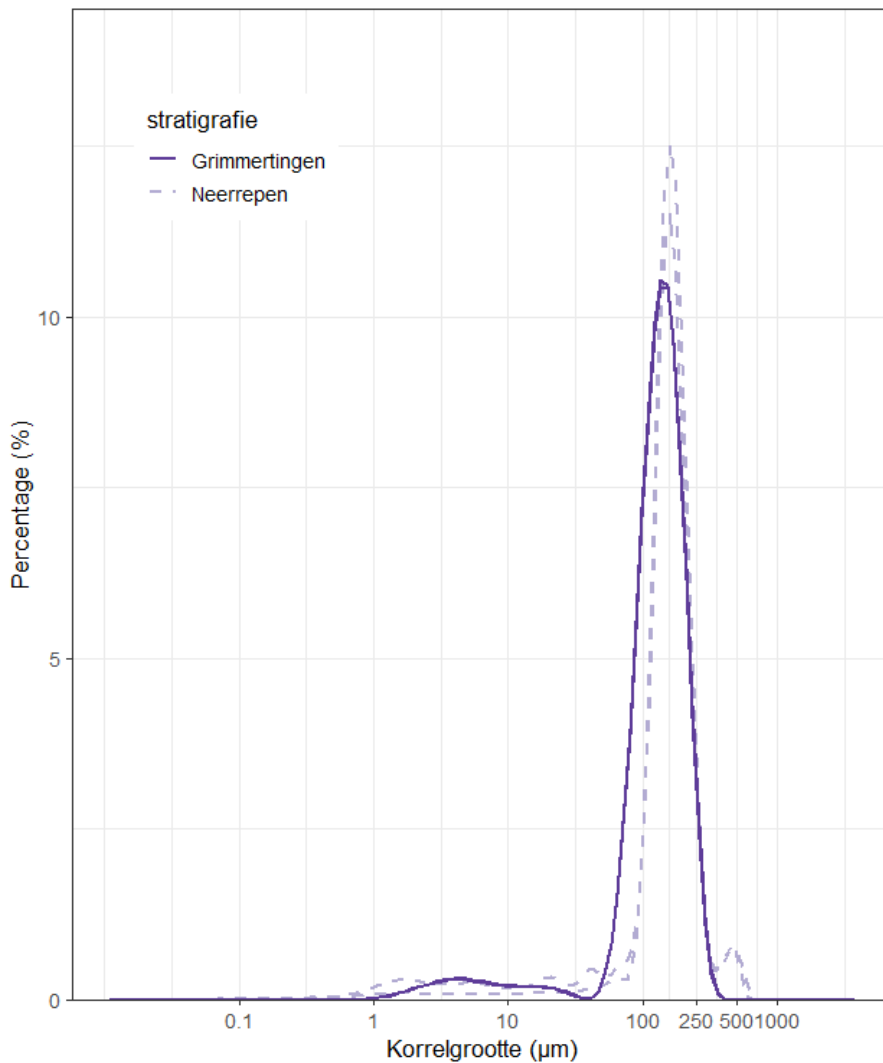


Figuur 22. Korrelgrootteverdelingscurves van de geanalyseerde stalen van de Zelzate Formatie, Bassevelde Lid.

Van de Zelzate Formatie werden zes stalen genomen voor korrelgrootte, van het Bassevelde Lid (Figuur 22). Het Bassevelde Lid bestaat uit siltig fijn tot gemiddeld zand (Laga et al., 2001). Op basis van de stalen geanalyseerd voor dit onderzoek heeft het Bassevelde Lid inderdaad een fijn tot gemiddeld zandige mode ($191 \pm 74 \mu\text{m}$) (Tabel 2). De korrelverdelingscurves tonen ook de aanwezigheid van een fijne kleiige tot siltige fractie (Figuur 22), aangetoond door de fijne d_{10} van $13 \pm 15 \mu\text{m}$.

Op basis van de twee stalen geanalyseerd voor glauconiet, bedraagt het glauconietgehalte $< 1 \%$ (Figuur 4). Dit is eerder uitzonderlijk voor het Bassevelde Zand dat als glauconiethoudend beschreven wordt. Zowel het gemeten organisch als inorganisch koolstofgehalte bedraagt ongeveer 0.1% (Figuur 5, Figuur 6).

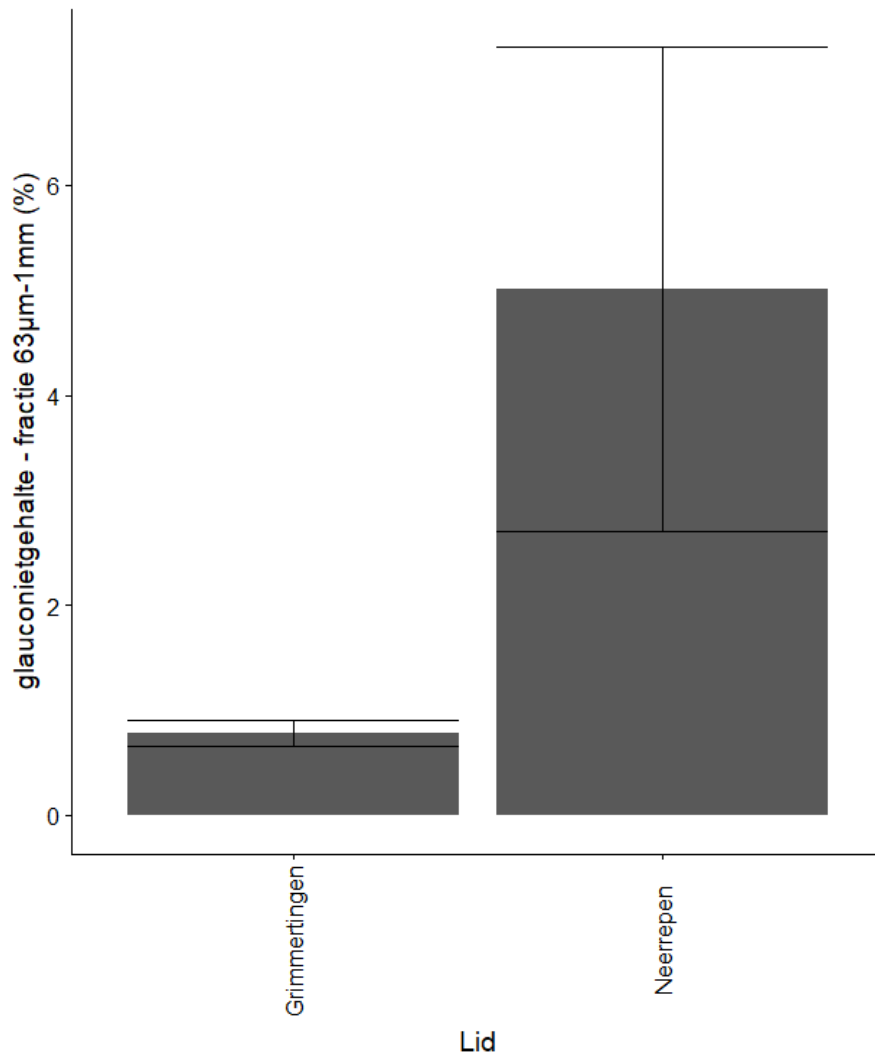
4.2.13. Sint-Huibrechts-Hern



Figuur 23. Korrelgrootteverdelingscurves van de geanalyseerde leden van de Sint-Huibrechts-Hern Formatie.

Van de Sint-Huibrechts-Hern Formatie werden twee stalen geanalyseerd van het Neerrepen Lid en twee stalen van het Grimmertingen Lid. Het Neerrepen Lid wordt beschreven als fijn gelamineerd tot homogeen zand (Laga et al., 2001). De stalen geanalyseerd in deze studie tonen een zeer goed gesorteerd fijn zand met een mode en mediaan van ongeveer 150 µm (**Figuur 23, Tabel 2**). Het Grimmertingen Lid is o.b.v. de geanalyseerde stalen zeer gelijkwaardig, zij het iets fijner met een mode en mediaan rond 130 µm.

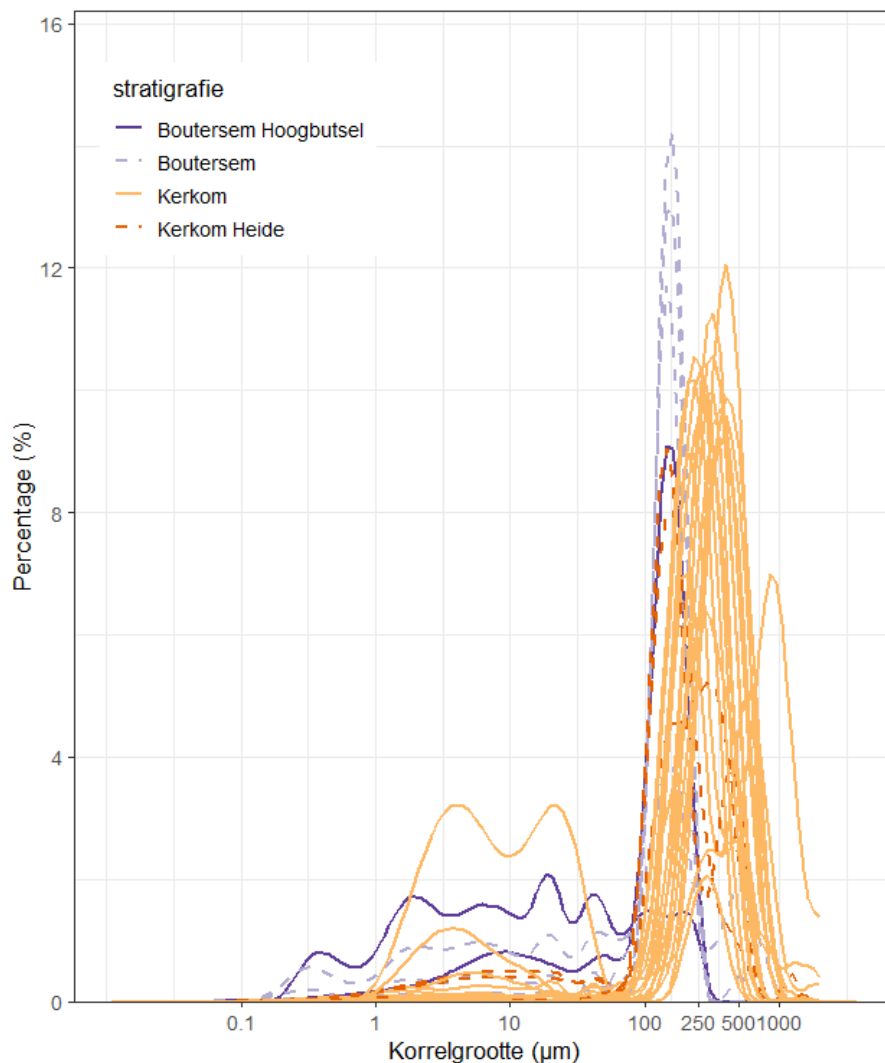
Het Neerrepen Lid is licht glauconiethoudend met gemeten percentages van 3 tot 7 % (**Tabel 3**). In het Grimmertingen Lid bedraagt het glauconietgehalte minder dan 1 %. Het (an)organisch koolstofgehalte is verwaarloosbaar.



Figuur 24. Glauconietgehalte in de fractie 63µm-1mm van de geanalyseerde leden van de Sint-Huibrechts-Hern Formatie. Barplots geven gemiddelde en standaard afwijking weer, indien meer dan 1 staal van betreffend lid geanalyseerd werd.



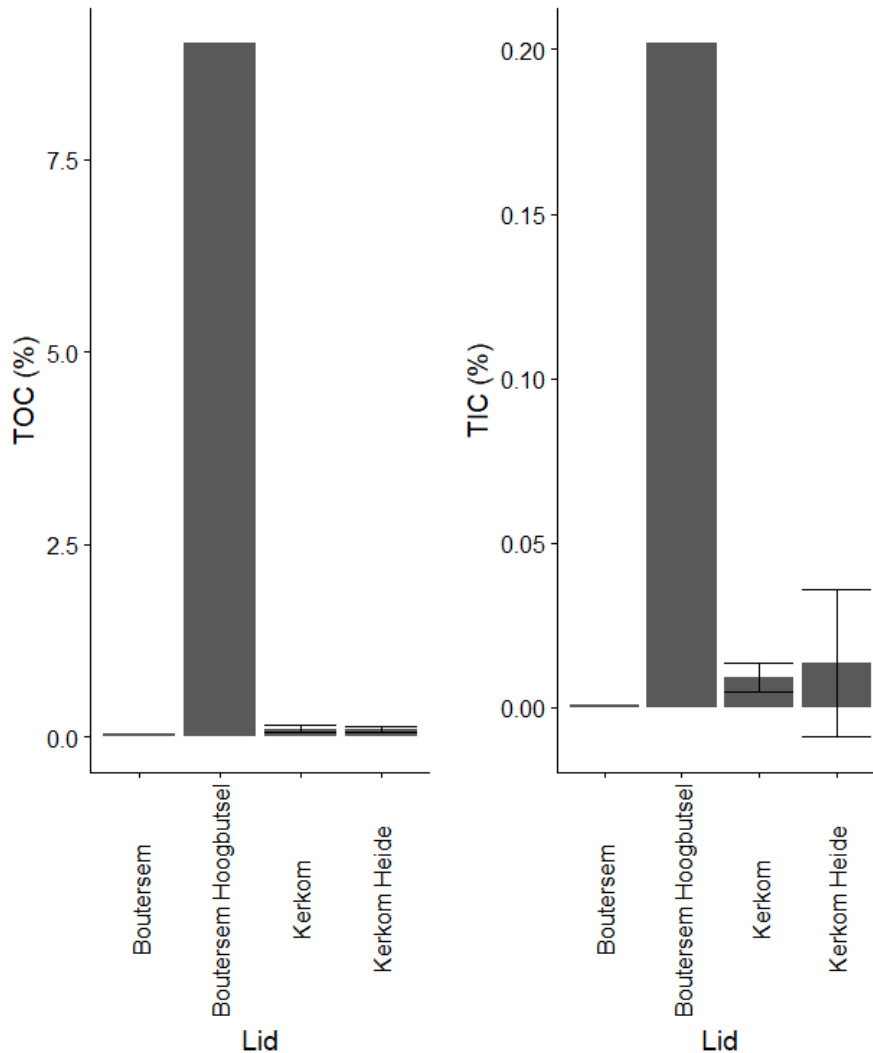
4.2.14. Borgloon



Figuur 25. Korrelgrootteverdelingscurves van de geanalyseerde leden van de Borgloon Formatie.

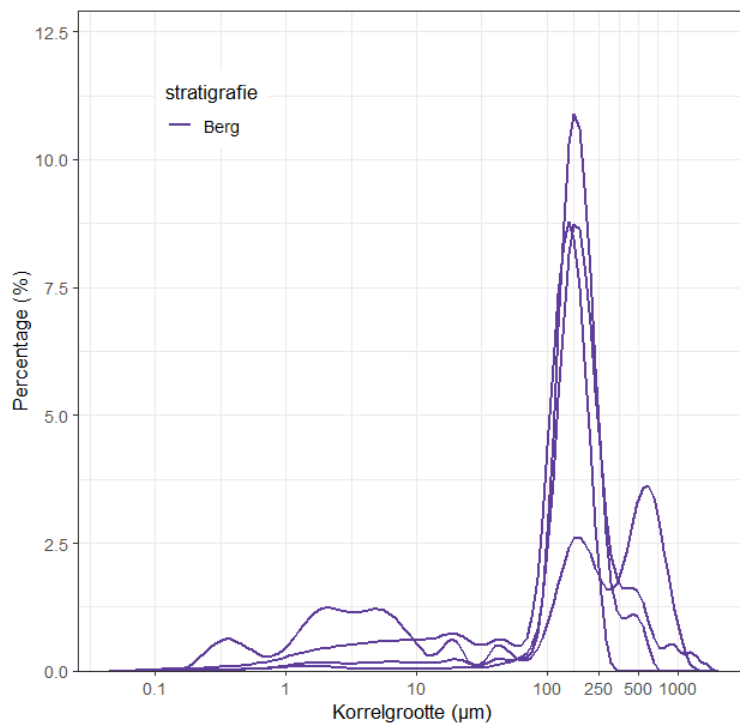
Van de Borgloon Formatie werden 26 stalen geanalyseerd voor korrelgrootte van de eenheden Hoogbutsel Facies (2 stalen), Boutersem Lid (4 stalen), Kerkom Lid (17 stalen) en Heide Facies (3 stalen). Deze eenheden werden allen afgezet in een continentale, kustnabije of estuariene omgeving (Vandenberghe, 2017). Van de moerasklei van het Hoogbutsel facies werd één zeer fijn staal genomen met een mediaan van 11 µm en $d_{10} < 1$ µm. Het andere staal bestaat uit fijn zand met een mode van 140 µm en een siltige tot kleiige bijmenging (**Figuur 25**). Het Boutersem Zand is fijn en goed gesorteerd met een mode rond 150 µm. Er werd ook één staal met een grotere fijnere fractie geanalyseerd, met een gelijkaardige mode maar een mediaan van 78 µm en d_{10} van 1 µm (**Figuur 25**). De stalen van het Kerkom Lid hebben een variabele korrelgrootteverdeling (**Figuur 25**). De modale korrelgrootte varieert van fijn tot grof zand (317 ± 164 µm) en er is slechts een zeer beperkte hoeveelheid silt en klei aanwezig (d_{10} 137 ± 68 µm) (**Tabel 2**). Eén anomaal kleilig staal aan de basis van de ontsluiting te Kerkom heeft een modale korrelgrootte van slechts 10 µm. Dit staal werd wellicht foutief toegewezen aan het Kerkom Lid i.p.v. het Grimmertingen Lid maar ook voor het Grimmertingen Lid is zo'n sterk kleilig staal anomaal. Het Heide Facies tot slot heeft een gelijkaardige korrelverdeling aan het onderliggende Kerkom Zand, zij het iets fijner met een variabele mode van 196 ± 86 µm en een grotere maar nog steeds beperkte fijne fractie.

Het glauconietgehalte in deze eenheden is verwaarloosbaar (< 1 %) (**Figuur 4**). Het organisch koolstofgehalte is veruit het hoogst in het Hoogbutsel Facies, met een gemeten waarde van 9 %, de hoogste waarde gemeten in deze studie (**Figuur 26**). In het Boutersem Zand en het witte Kerkom Zand is het organisch koolstofgehalte zeer laag. Er is een opvallende stijging in de bovenste chocoladebruine Kerkom Zanden (gemeten waarde tot 0.5 %), die hun kleur danken aan een film van organisch materiaal rond de kwartskorrels. Het anorganisch koolstofgehalte is zeer laag in alle eenheden, maar het hoogst in het Hoogbutsel Facies (0.2 %).



Figuur 26. Organisch (TOC) en anorganisch (TIC) koolstofgehalte van de geanalyseerde leden van de Borgloon Formatie. Barplots geven gemiddelde en standaard afwijking weer, indien meer dan 1 staal van betreffend lid geanalyseerd werd.

4.2.15. Bilzen

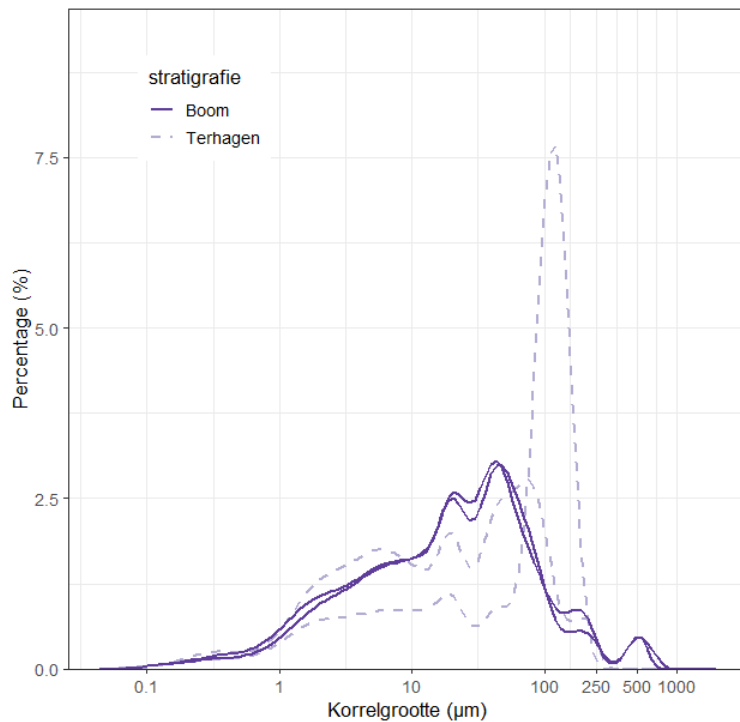


Figuur 27. Korrelgrootteverdelingscurves van de geanalyseerde stalen van de Bilzen Formatie, Berg Lid.

Van de Bilzen Formatie werden vier stalen geanalyseerd voor korrelgrootte, van het Berg Lid (**Figuur 27**). Het Berg Lid bestaat hoofdzakelijk uit fijn homogeen of gelamineerd zand (Laga et al., 2001). Drie van de geanalyseerde stalen bestaan uit eerder goed gesorteerd fijn zand, met een mode rond 150 µm. Eén staal, het onderste uit de bemonsterde sectie, heeft een sterk afwijkende verdeling. Naast de mode rond 150 µm, is er een grotere groffe mode van 568 µm, die kan wijzen op een basisgrind. Tegelijk heeft dit staal ook een veel grotere fijne fractie, met een d₁₀ van 1 µm (**Figuur 27**).

Het glauconietgehalte is verwaarloosbaar (< 1 %) o.b.v. het geanalyseerde staal (**Figuur 4**). Ook het organisch koolstofgehalte is zeer laag (< 0.1 %). Eén van de onderzochte stalen heeft wel een significant gehalte inorganische koolstof (4 %) (**Figuur 6**), gerelateerd aan de schelpen(lagen) die voorkomen in dit lid (Vandenberghe, 2017).

4.2.16. Boom

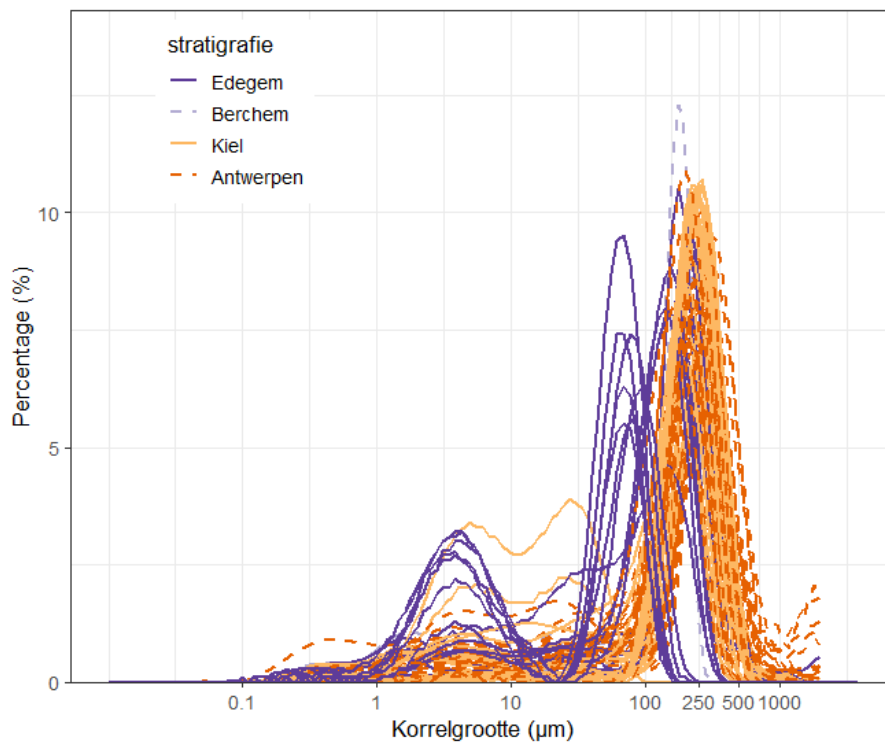


Figuur 28. Korrelgrootteverdelingscurves van de geanalyseerde stalen van de Boom Formatie. Stalen met stratigrafie 'Boom' werden niet gedifferentieerd in leden.

Van de Boom Formatie werden vier stalen genomen voor korrelgrootte, waarvan twee ongedifferentieerd en twee stalen van het Lid van Terhagen (**Figuur 28**). De vier ongedifferentieerde stalen zijn afkomstig uit boringen in de Waaslandhaven. De Boom Formatie bevat klei waarin siltige laagjes, organisch materiaal en kalkgehalte varieert volgens Milankovitch cycli (Vandenberghé et al., 2014). De geanalyseerde ongedifferentieerde stalen bevatten klei met een mediane korrelgrootte $20 \pm 1 \mu\text{m}$ en $d_{10} < 2 \mu\text{m}$, en een siltige mode van $44 \pm 3 \mu\text{m}$ (**Tabel 2**). Van de twee stalen van het Terhagen Lid is één staal zeer gelijkaardig aan de voorgenoemde, maar het andere staal wijkt sterk af met een mediane korrelgrootte van $84 \mu\text{m}$ en een mode van $116 \mu\text{m}$, wat wijst op fijn zand i.p.v. siltige klei (**Figuur 28**). Dit afwijkende staal werd genomen bij de grens met het onderliggende Berg Zand.

Op basis van één geanalyseerd staal is het organisch koolstofgehalte hoog in vergelijking met de andere resultaten uit deze studie (1.1 %) (**Figuur 5**). Het inorganisch koolstofgehalte van het geanalyseerde staal is verwaarloosbaar.

4.2.17. Berchem



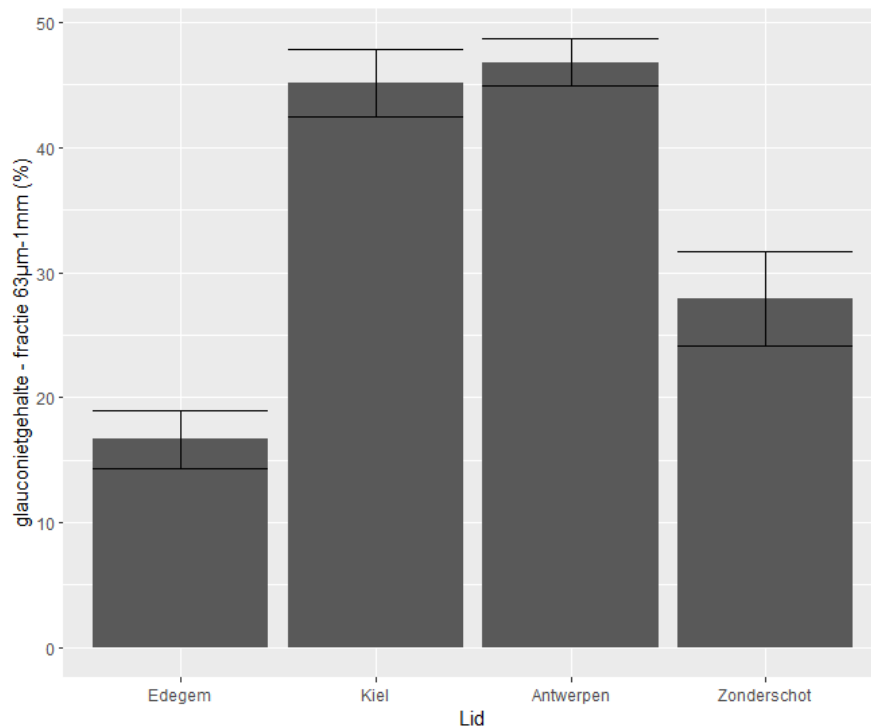
Figuur 29. Korrelgrootteverdelingscurves van de geanalyseerde leden van de Berchem Formatie.

Van de Berchem Formatie werden 88 stalen geanalyseerd voor korrelgrootte (**Figuur 29**). Er werden stalen genomen van het Lid van Edegem (19 stalen), Lid van Kiel (27 stalen), Lid van Antwerpen (40 stalen) en Berchem Formatie ongedifferentieerd (2 stalen). De Formatie van Berchem kent subtiele korrelgrootte variaties die de verschillende leden onderscheiden, maar is over het algemeen een fijn tot gemiddeld zand (Louwye et al., 2020). De analyses uitgevoerd voor deze studie tonen aan dat de korrelverdeling voor de verschillende leden zeer gelijkaardig is (**Figuur 29**). Het Edegem Lid heeft wel duidelijk de stalen met de fijnste korrelgrootte. Het Edegem Lid is een fijn zand met een mode van $136 \pm 54 \mu\text{m}$ en een significante fijne fractie, aangetoond door de fijnere mediaan van $107 \pm 66 \mu\text{m}$. Het Kiel Lid bestaat uit een grover relatief goed gesorteerd zand met mode $221 \pm 26 \mu\text{m}$ en een mediaan van $199 \pm 42 \mu\text{m}$. De stalen van het Antwerpen Lid geanalyseerd in deze studie hebben de grofste mode, van $229 \pm 35 \mu\text{m}$ maar wel een fijnere mediaan dan het Kiel Lid, $192 \pm 59 \mu\text{m}$. De interne variatie is echter groot waardoor het Antwerpen Lid en Kiel Lid moeilijk van elkaar onderscheiden kunnen worden. Het Antwerpen Lid heeft wel een beduidend grotere fijne fractie, met een d_{10} van $44 \pm 48 \mu\text{m}$, t.o.v. van de geanalyseerde stalen van het Kiel Lid, waar de d_{10} gelijk is aan $83 \pm 60 \mu\text{m}$, alsook een grotere grove fractie met een d_{90} van $406 \pm 190 \mu\text{m}$ t.o.v. $338 \pm 48 \mu\text{m}$ (**Tabel 2**). Dit wijst op de slechtere sorteringsgraad van de stalen van het Antwerpen Lid t.o.v. die van het Kiel Lid. De ongedifferentieerde stalen lijken overeen te komen met het Edegem Lid, met een mode van $161 \pm 11 \mu\text{m}$ en een grote fijne fractie, met een d_{10} van $15 \pm 20 \mu\text{m}$.

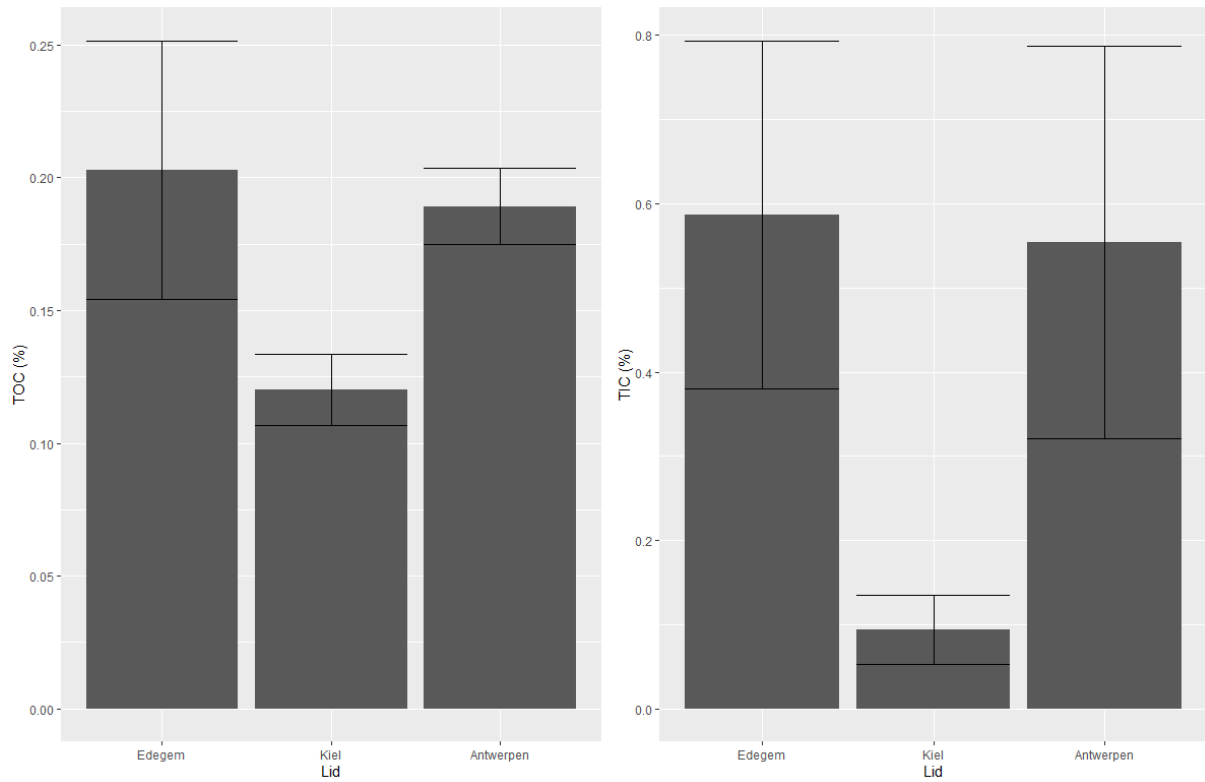
Het glauconietgehalte in de fractie $63\mu\text{m}$ - 1mm is in de geanalyseerde stalen het laagst in het Edegem Lid ($17 \pm 8 \%$) en het hoogst in het Antwerpen Lid ($47 \pm 9 \%$) en Kiel Lid ($45 \pm 11 \%$) (**Figuur 30**).

Tabel 3). Ook van het Zonderschot Lid werd voor 15 stalen het glauconietgehalte bepaald, met een waarde van 28 ± 15 %. Dit komt overeen met de tot hiertoe gekende variaties in glauconietgehalte binnen de Berchem Formatie (Louwye et al., 2020).

Het organisch koolstofgehalte is zeer laag (**Figuur 31**). Het anorganisch koolstofgehalte is laag (rond 0,6 %) in de geanalyseerde stalen (**Figuur 31**). De laagste waarden worden teruggevonden in het Kiel Lid, dat gekend is als ontkalkt lid van de Berchem Formatie (Louwye et al., 2020).

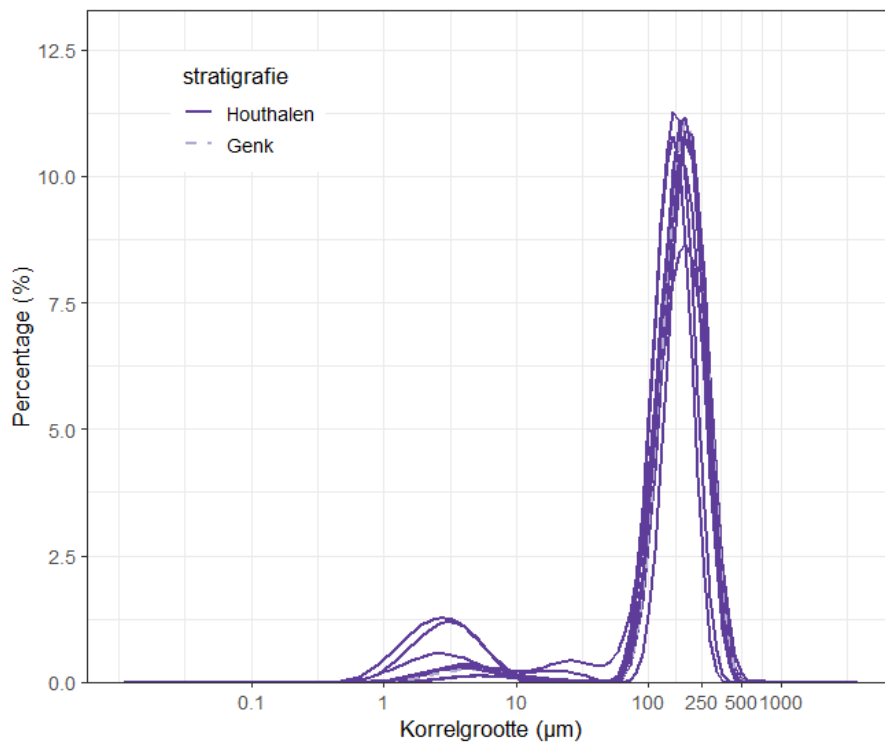


Figuur 30. Glauconietgehalte in de fractie 63µm-1mm van de geanalyseerde leden van de Berchem Formatie. Barplots geven gemiddelde en standaard afwijking weer, indien meer dan 1 staal van betreffend lid geanalyseerd werd.



Figuur 31. Organisch (TOC) en anorganisch (TIC) koolstofgehalte van de geanalyseerde leden van de Berchem Formatie. Barplots geven gemiddelde en standaard afwijking weer, indien meer dan 1 staal van betreffend lid geanalyseerd werd.

4.2.18. Bolderberg



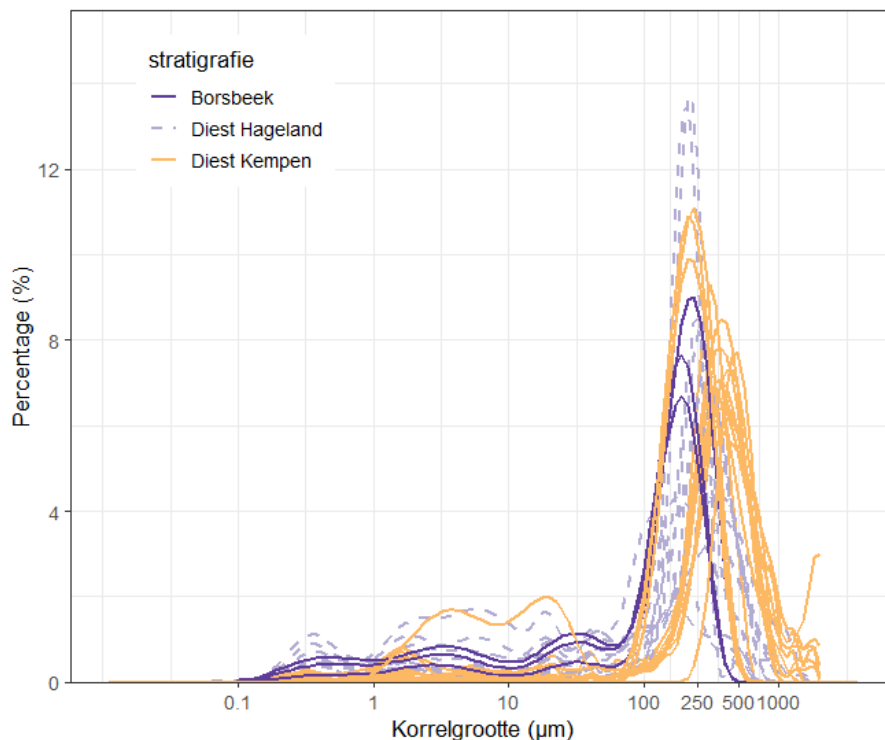
Figuur 32. Korrelgrootteverdelingscurves van de geanalyseerde leden van de Bolderberg Formatie.

Van de Formatie van Bolderberg werden 10 stalen geanalyseerd voor korrelgrootte, van het Houthalen Lid (9 stalen) en het Genk Lid (1 staal). De Bolderberg Formatie is het laterale equivalent van de Berchem Formatie. Het Houthalen Lid heeft een gelijkaardige lithologie als de Berchem Formatie met een hoog glauconietgehalte, terwijl dit in het bovenliggende Genk Lid zeer laag tot afwezig is (Louwye et al., 2020). De geanalyseerde stalen van het Houthalen Lid hebben een mediane korrelgrootte van $159 \pm 16 \mu\text{m}$ en een goede sortering. Daarmee is de korrelgrootte tussenliggend tussen het fijne Edegem Lid en de grovere Kiel en Antwerpen leden. Het enige geanalyseerde staal van het Genk Lid heeft een mediane korrelgrootte van $172 \mu\text{m}$. (Figuur 32; Tabel 2).

Het Houthalen Lid heeft een glauconietgehalte in de fractie $63\mu\text{m}$ -1mm van $8,7 \pm 6,4 \%$, tussen 0 en 19 % (Tabel 3). Zowel de fijnere korrelgrootte als het lagere glauconietgehalte correleren eerder met het Edegem Lid van de Berchem Formatie.

Zowel organische als anorgische koolstof is zo goed als afwezig.

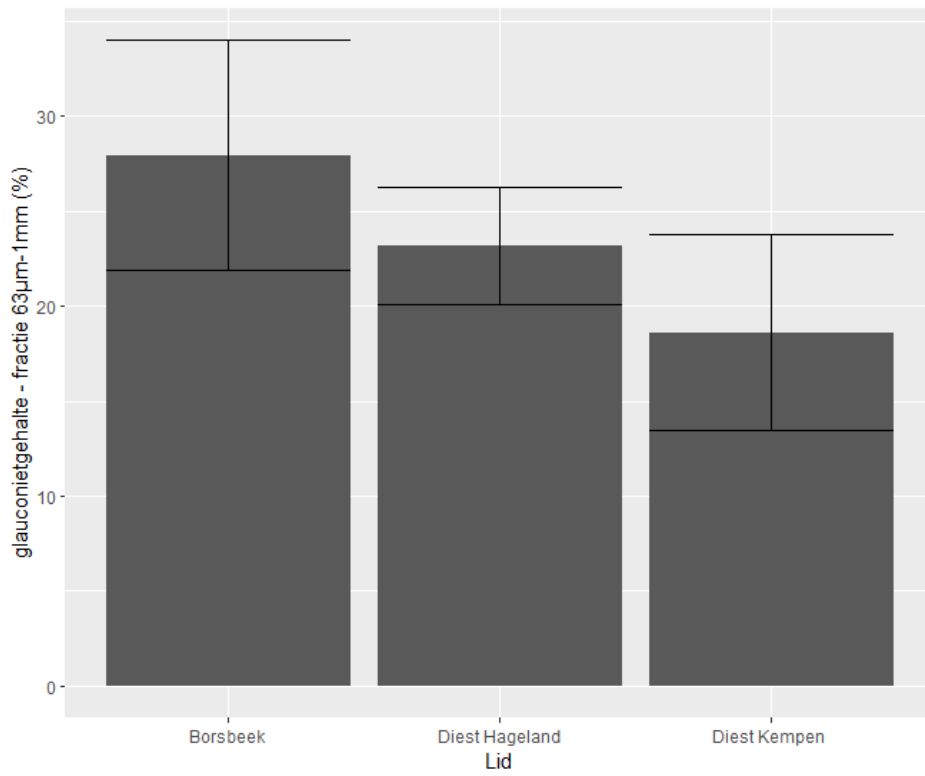
4.2.19. Diest



Figuur 33. Korrelgrootteverdelingscurves van de geanalyseerde leden van de Diest Formatie.

Van de Formatie van Diest werden 29 stalen geanalyseerd voor korrelgrootte, van het Kempen Diest Lid (14 stalen), het Hageland Diest Lid (12 stalen) en het Borsbeek Lid (3 stalen). De Diest Formatie bestaat uit gemiddeld tot grof slecht tot matig gesorteerd zand met een onderverdeling tussen het Deurne Lid en Borsbeek Lid in de Antwerpse regio en het Dessel Lid, Kempen Diest Lid en het Hageland Diest Lid in het zuiden (Houthuys et al., 2020). De stalen van het Hageland Diest Lid geanalyseerd in deze studie hebben de fijnste korrelgrootte en het hoogste kleigehalte van beide onderzochte eenheden van de Diest Formatie, met een mode van $245 \pm 79 \mu\text{m}$ en een d_{10} van $28 \pm 50 \mu\text{m}$. De stalen van het Kempen Diest Lid tonen een matig goed gesorteerd en beduidend grover gemiddeld zand met een mode van $317 \pm 115 \mu\text{m}$ en een d_{10} van $118 \pm 102 \mu\text{m}$. (Figuur 33; Tabel 2). De stalen van het Kempen Diest Zand tot dusver geanalyseerd zijn hoofdzakelijk afkomstig van het zuidelijke voorkomingsgebied nabij de grens met het Hageland Diest Lid. De stalen van het Borsbeek Lid hebben de fijnste korrelgrootte met een mode van $195 \pm 19 \mu\text{m}$ en een d_{10} van $6,7 \pm 8,7 \mu\text{m}$.

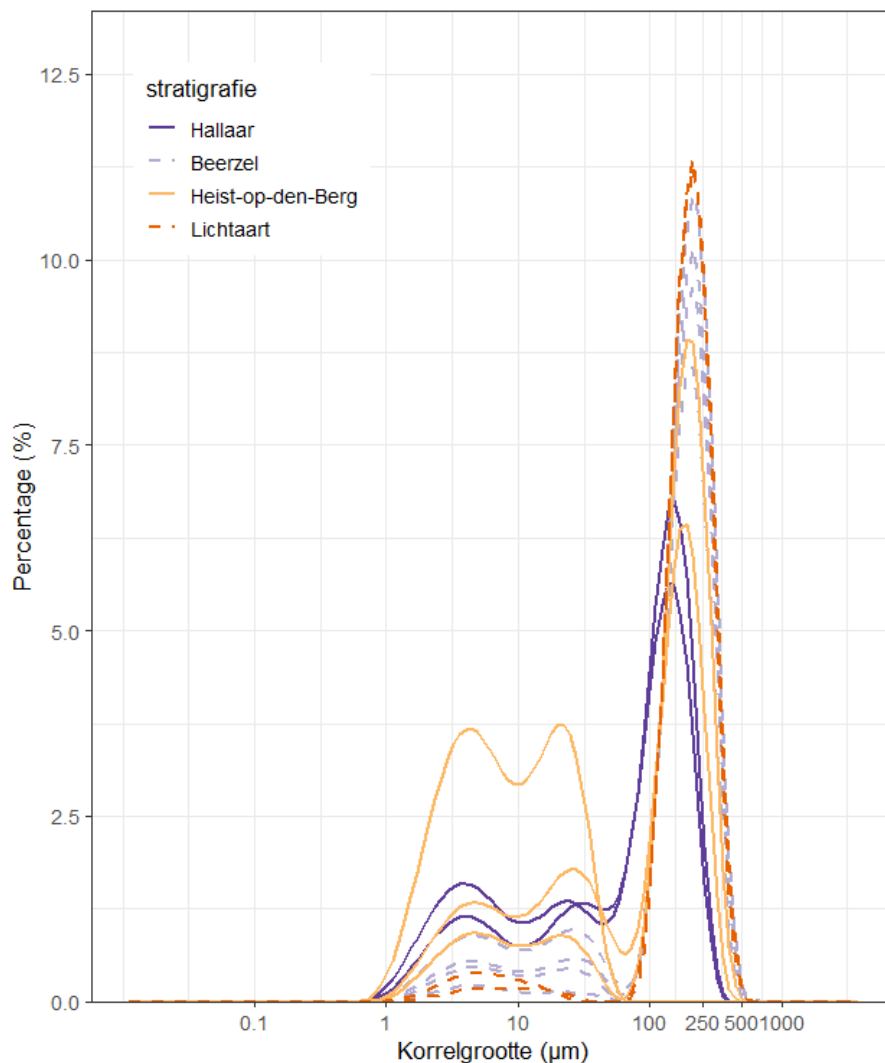
Het glauconietgehalte gemeten voor de stalen van het Kempen Diest lid ($19 \pm 16 \%$) is beduidend lager dan de waardes gekend uit de literatuur voor de Diest Formatie (gemiddeld 35 à 40 %; Houthuys et al., 2020). Het gemiddelde wordt naar beneden gehaald door de stalen van Ham en Meerhout waar het glauconiet gehalte lager is dan 10 %. In het staal van Heist-op-den-Berg bedraagt dit 50 % in de fractie $63 \mu\text{m}$ -1 mm en in de stalen uit Ranst is dit 20 à 30 %. Ook voor het Hageland Diest lid zijn de gemeten waarden eerder laag ($23 \pm 9 \%$) (Figuur 34). De stalen van het Borsbeek Lid hebben een glauconietgehalte van $28 \pm 10 \%$.



Figuur 34. Glauconietgehalte in de fractie 63µm-1mm van de geanalyseerde leden van de Diest Formatie. Barplots geven gemiddelde en standaard afwijking weer, indien meer dan 1 staal van betreffend lid geanalyseerd werd.



4.2.20. Kasterlee

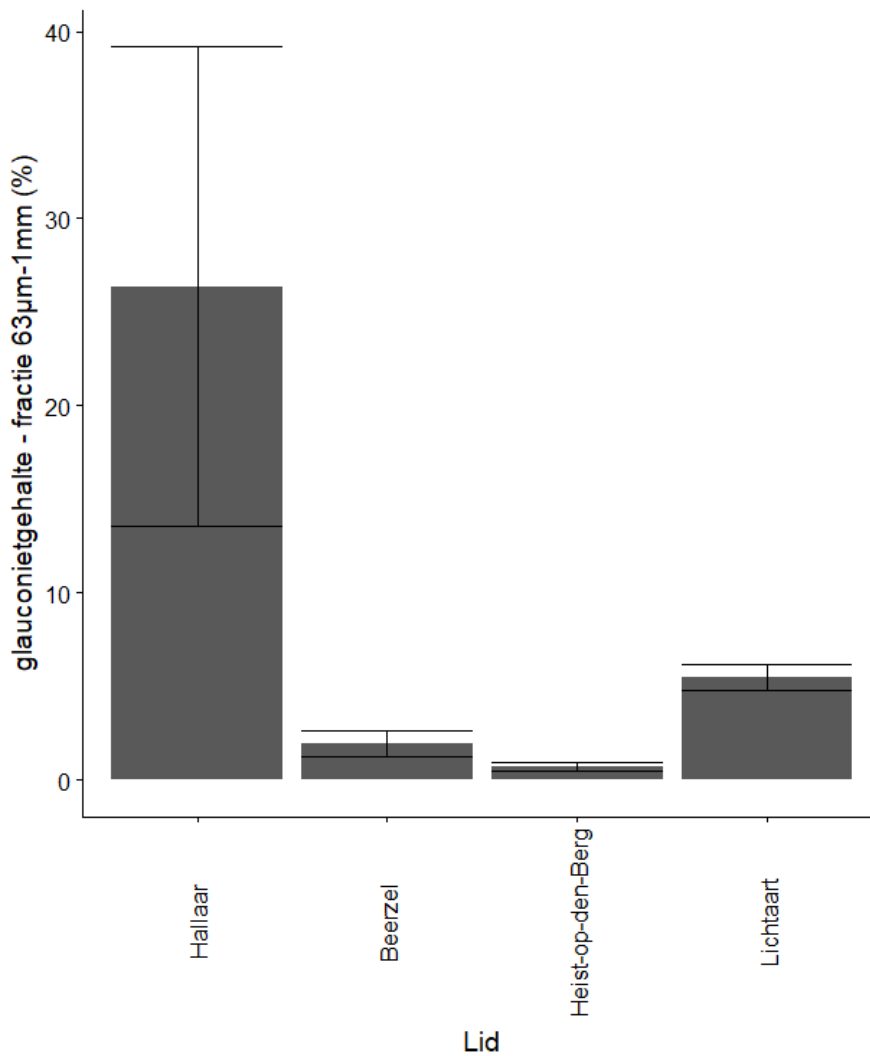


Figuur 35. Korrelgrootteverdelingscurves van de geanalyseerde leden van de Kasterlee Formatie.

Van de Kasterlee Formatie werden 11 stalen geanalyseerd voor korrelgrootte, van het Hallaar Lid (2 stalen), Beerzel Lid (4 stalen), Heist-op-den-Berg Lid (3 stalen) en Lichtaart Lid (2 stalen). De stalen van de leden van Hallaar, Beerzel en Heist-op-den-Berg zijn afkomstig uit Heist-op-den-Berg terwijl de stalen van het Lichtaart Lid afkomstig zijn uit Lichtaart. De analyses op de monsters uit Heist-op-den-Berg werden uitgevoerd op een subset van de monsters geanalyseerd in Verhaegen et al. (2020). De analyses bevestigen het fijnere en meer kleiige karakter van het Hallaar Lid (mode $145 \pm 11 \mu\text{m}$ en mediaan $86 \pm 16 \mu\text{m}$) t.o.v. het bovenliggende Beerzel Lid (mode $211 \pm 0 \mu\text{m}$ en mediaan $177 \pm 15 \mu\text{m}$) (Figuur 35). De grovere tweede mode in het Hallaar Lid die samenvalt met de grove mode van de onderliggende Diest Formatie, duidelijk aangetoond in Verhaegen et al. (2020; 2014), werd in deze analyses niet gereproduceerd. Dit is wellicht te wijten aan het ontbreken van die grove fractie in het substaal genomen voor de analyse. Het Beerzel Lid is een goed gesorteerd fijn zand. Het Heist-op-den-Berg Lid bestaat uit een afwisseling van dunne kleilaagjes (mediaan $7 \mu\text{m}$) en fijn zandige laagjes (mode $190 \mu\text{m}$). Het Lichtaart Lid heeft een gelijkaardige korrelgrootteverdeling aan het Beerzel Lid (mode $211 \pm 0 \mu\text{m}$ en mediaan $191 \pm 3 \mu\text{m}$).

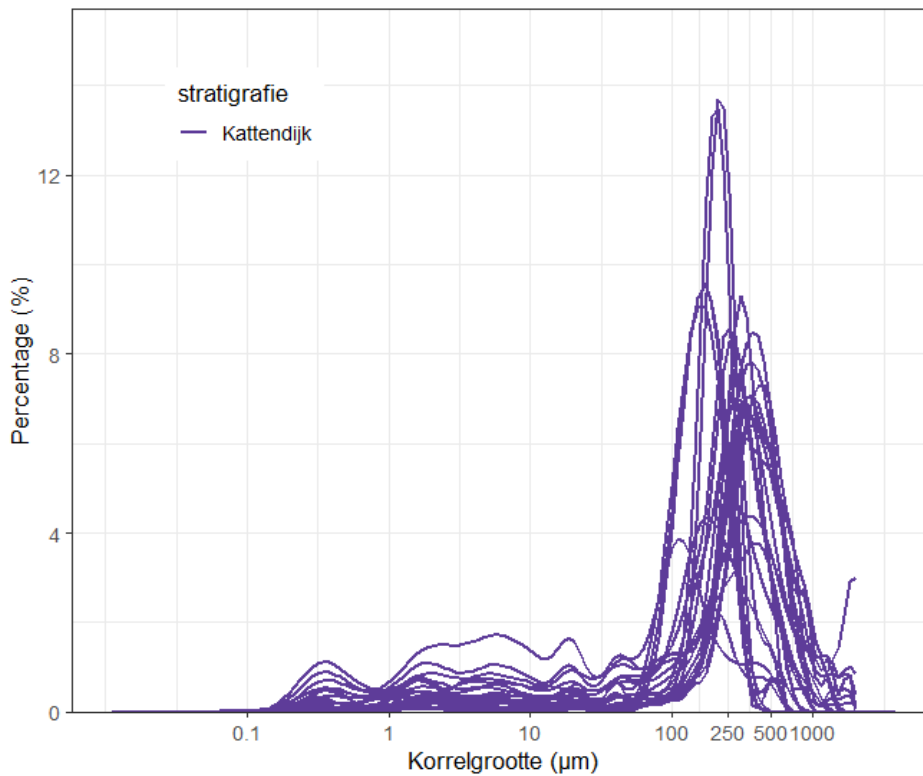


Het glauconietgehalte in het Hallaar Lid is merklijk hoger dan in de andere leden, door het overgangskarakter van dit lid tussen de Diest en Kasterlee Formatie, met een daling van het gehalte naar boven toe (40 tot 13 %). In het Beerzel Lid bedraagt het glauconietgehalte 2 ± 1.4 % en in het Heist-op-den-Berg Lid is het gehalte in de zandige laagjes zeer laag (0.7 ± 0.3 %). In het Lichtaart Lid bedraagt het glauconietgehalte 4 à 7 % o.b.v. de gemeten stalen (**Figuur 36**).



Figuur 36. Glaucónietgehalte in de fractie 63µm-1mm van de geanalyseerde leden van de Kasterlee Formatie. Barplots geven gemiddelde en standaard afwijking weer, indien meer dan 1 staal van betreffend lid geanalyseerd werd.

4.2.21. Kattendijk

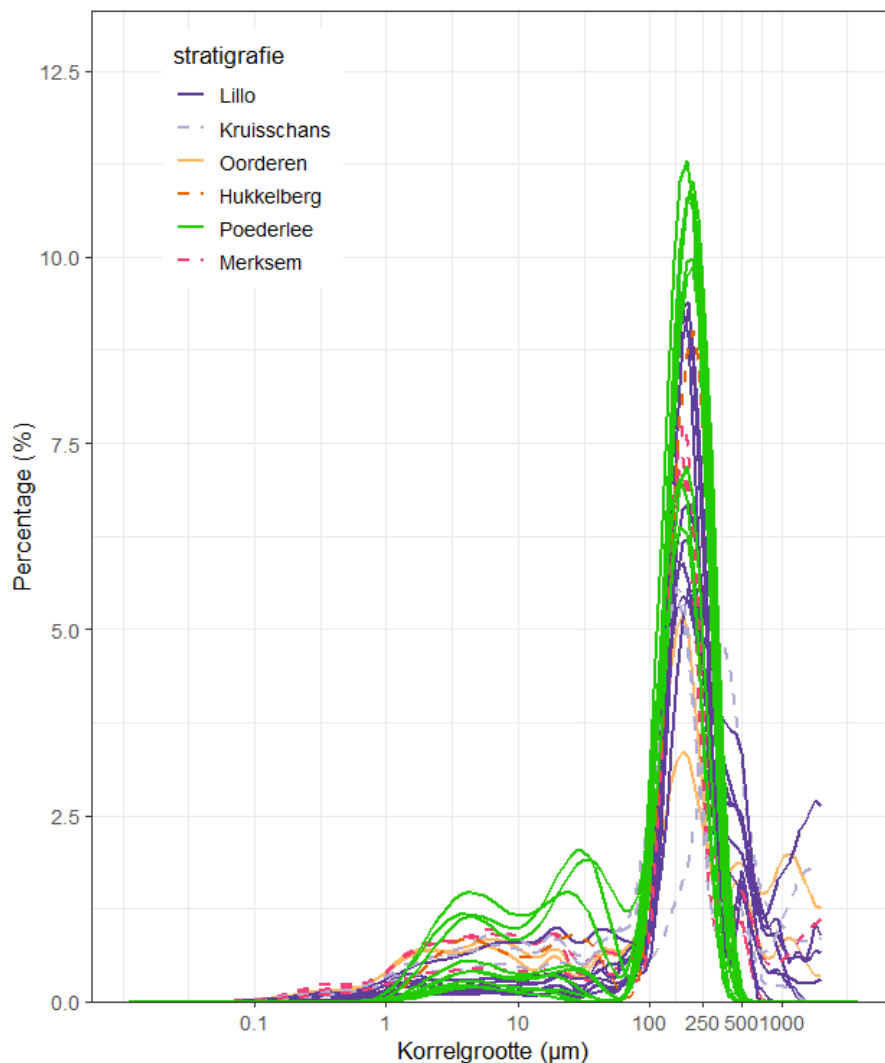


Figuur 37. Korrelgrootteverdelingscurves van de geanalyseerde stalen van de Kattendijk Formatie.

Van de Kattendijk Formatie werden 25 stalen geanalyseerd voor korrelgrootte. De Kattendijk Formatie bestaat doorgaans uit licht kleig fijn tot gemiddeld zand (Laga et al., 2001). De korrelverdelingscurves tonen doorgaans een matig goed gesorteerde fijne zandfractie met een siltige tot kleiige bijmenging (Figuur 37). Dit vertaalt zich in een mode van $173 \pm 32 \mu\text{m}$ en een fijne d_{10} van $58 \pm 58 \mu\text{m}$ (Tabel 2).

Het glauconietgehalte bedraagt $24 \pm 8,9 \%$ (Figuur 4). Het organisch koolstofgehalte is $< 0,1 \%$ en het anorganisch koolstofgehalte is ongeveer $0,9 \%$ (Figuur 6).

4.2.22. Lillo

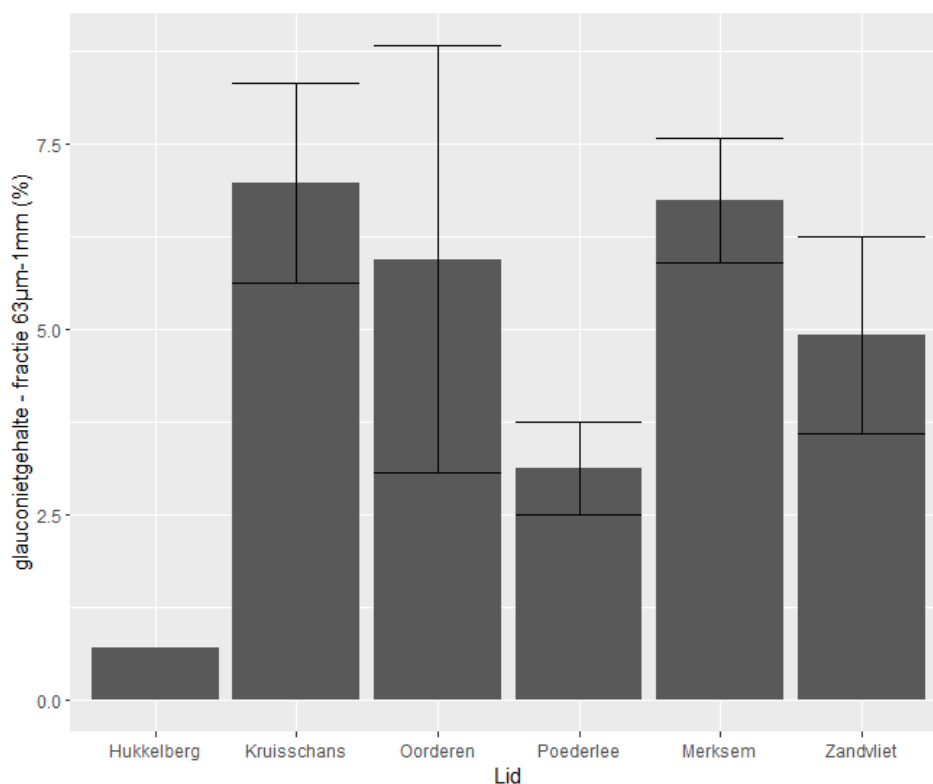


Figuur 38. Korrelgrootteverdelingscurves van de geanalyseerde leden van de Lillo Formatie.

Van de Lillo Formatie werden 26 stalen geanalyseerd voor korrelgrootte, van het Oorderen Lid (2 stalen), Kruisschans Lid (3 stalen), Merksem Lid (3 stalen), Lillo Formatie ongedifferentieerd in Antwerpen (8 stalen), Poederlee Lid (9 stalen) en Hukkelberg Grind (1 staal) (Figuur 38). De Antwerpse leden van de Lillo Formatie zijn niet altijd even makkelijk te onderscheiden in boringen (Deckers et al., 2020). De formatie bestaat uit schelprijk zand met kleiige bijmenging, met een graduele overgang tussen de leden met uitzondering van het Luchtbal Lid. Het Kruisschans Lid is het duidelijkst te onderscheiden door het veelvuldig voorkomen van klei intercalaties (Louwye et al., 2020b). De korrelverdelingscurves van het Oorderen Lid tonen een slecht tot matig gesorteerd fijn zand met een mediaan van $153 \pm 21 \mu\text{m}$ en een d_{10} van $2 \pm 0.1 \mu\text{m}$ (Tabel 2). De stalen van het Kruisschans Lid hebben een mediaan van $170 \pm 66 \mu\text{m}$ (Figuur 38). De fijne fractie in de geanalyseerde stalen is niet opmerkelijk groter dan in de andere leden, met een d_{10} van $31 \pm 27 \mu\text{m}$. De geanalyseerde stalen van het Merksem Lid hebben een mode van $169 \mu\text{m}$ en een mediaan $146 \pm 22 \mu\text{m}$. De fijne fractie is gelijkaardig aan de andere leden met een d_{10} van $21 \pm 33 \mu\text{m}$. De ongedifferentieerde stalen hebben variabele verdeling en behoren wellicht tot verschillende leden (Figuur 38). De mediaan bedraagt $191 \pm 29 \mu\text{m}$ en de d_{10} is $54 \pm 45 \mu\text{m}$.

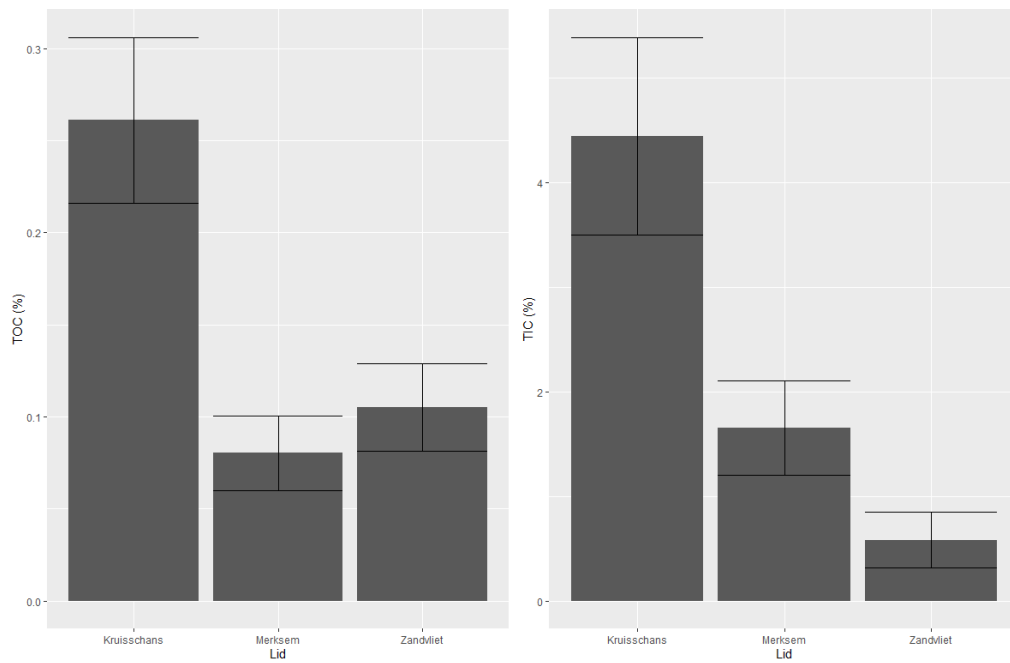
Het Poederlee Lid uit de Kempen, vroegere Poederlee Formatie, wordt beschreven als een fijn licht glauconiethoudend zand met discrete kleilenzen aan de basis (Louwye et al., 2020b). De stalen van het Poederlee Lid hebben een gelijkaardige korrelgrootte aan de Antwerpse Leden, met een mediaan van $153 \pm 36 \mu\text{m}$ en een d_{10} van $50 \pm 46 \mu\text{m}$. De mode is beduidend grover dan de mediaan, met $195 \pm 17 \mu\text{m}$, door een significante fractie tussen 1 en $100 \mu\text{m}$ (Figuur 38). Het staal van het Hukkelberg Grind, zonder de keien, is zeer gelijkaardig aan het bovenliggende Poederlee Zand.

Het glauconietgehalte van de Antwerpse Lillo Formatie varieert doorgaans tussen 6 en 12 %, met waarden tot 20 % in het Luchtbal Lid (Louwye et al., 2020b). Het gemeten glauconietgehalte in de fractie $63\mu\text{m}$ -1mm bedraagt $5,9 \pm 5,7 \%$ in het Oorderen Lid, $7,0 \pm 2,7 \%$ in het Kruisschans Lid, $6,7 \pm 1,7 \%$ in het Merksem Lid en $4,9 \pm 2,7 \%$ (Figuur 39). Het glauconietgehalte in het Poederlee Lid bedraagt $3,1 \pm 1,9 \%$.



Figuur 39. Glauconietgehalte in de fractie $63\mu\text{m}$ -1mm van de geanalyseerde leden van de Lillo Formatie. Barplots geven gemiddelde en standaard afwijking weer, indien meer dan 1 staal van betreffend lid geanalyseerd werd.

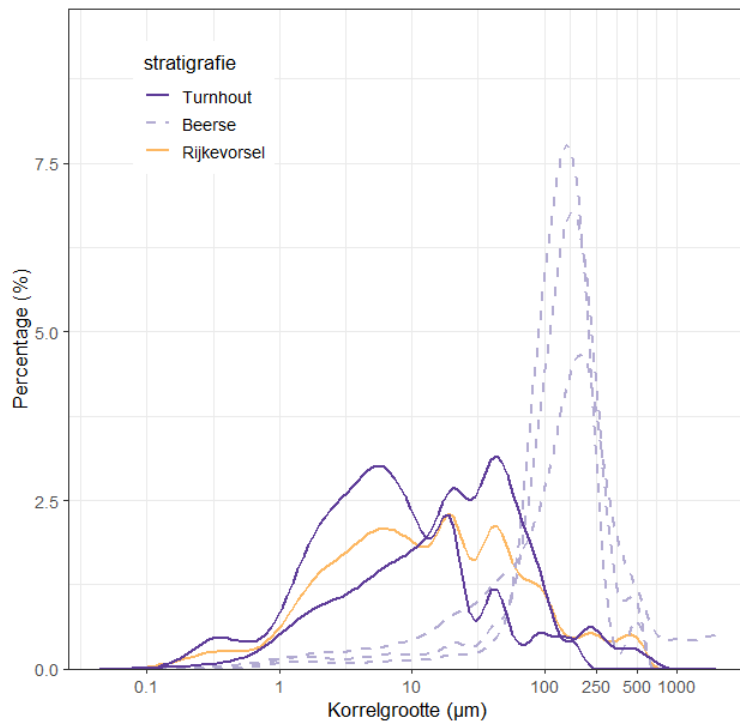
Het organisch koolstofgehalte varieert tussen 0.1 % voor het Merksem Lid en 0.3 % voor het Kruisschans Lid. Het anorganisch koolstofgehalte in de Lillo Formatie is eerder hoog, door de grote aanwezigheid van schelpen. De hoogste waarden worden gevonden in het Kruisschans Lid (tot 5.4 %) (Figuur 40).



Figuur 40. Organisch (TOC) en anorganisch (TIC) koolstofgehalte van de geanalyseerde leden van de Lillo Formatie. Barplots geven gemiddelde en standaard afwijking weer, indien meer dan 1 staal van betreffend lid geanalyseerd werd.



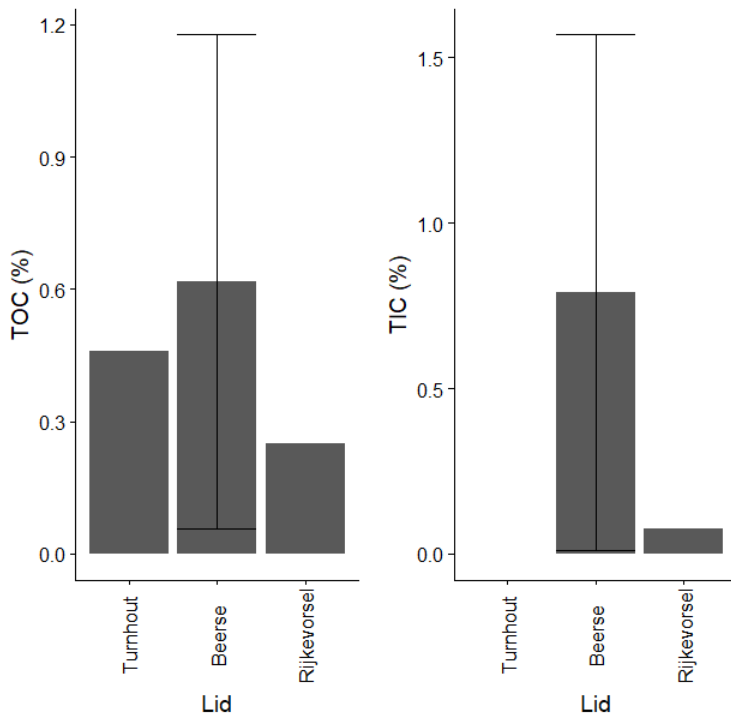
4.2.23. Weelde



Figuur 41. Korrelgrootteverdelingscurves van de geanalyseerde leden van de Weelde Formatie.

Van de Weelde Formatie werden zes stalen geanalyseerd voor korrelgrootte, van het Rijkvorsel Lid (1 staal), Beerse Lid (3 stalen) en Turnhout Lid (2 stalen) (Figuur 41). De leden van Rijkvorsel en Turnhout bestaan uit een klei-zand complex met een dominante fijne fractie, terwijl het Lid van Beerse een zandig pakket is met veenontwikkeling (Bogemans, 2005). Het staal van het Rijkvorsel Lid toont een zeer fijn siltig tot kleiig sediment met een mediaan van 12 µm en een $d_{10} < 2$ µm. De genomen stalen van het Beerse Lid tonen matig gesorteerd fijn zand met een mode van 160 ± 23 µm en een mediaan van 135 ± 6 µm. De stalen van het Turnhout Lid zijn opnieuw zeer gelijkaardig aan het Rijkvorsel Lid met een mediaan van 13 ± 11 µm en een d_{10} van 1.6 ± 0.7 µm (Figuur 41, Tabel 2).

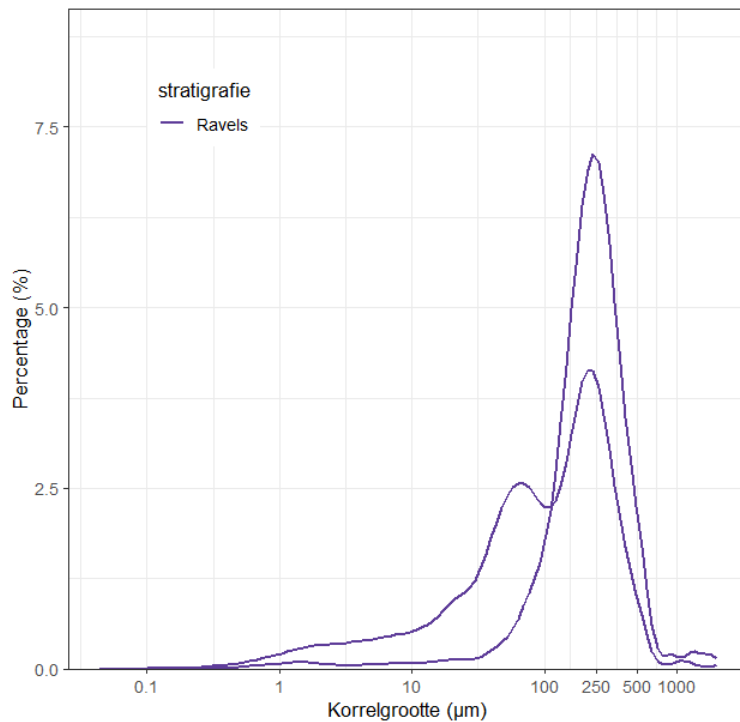
Het glauconietgehalte is verwaarloosbaar. Het organisch koolstofgehalte in de kleiige stalen van het Rijkvorsel en Turnhout Lid bedraagt 0.2 à 0.5 %. De laagste en hoogste waarden worden bereikt in het veenhoudend zandpakket van het Beerse Lid, van 0.06 tot 1.2 % (Figuur 42). Het inorganisch koolstofgehalte is verwaarloosbaar in de stalen van het Turnhout en Rijkvorsel Lid. In het Beerse Lid is er opnieuw een sterke variatie tussen 0.01 en 1.6 % (Figuur 42).



Figuur 42. Organisch (TOC) en anorganisch (TIC) koolstofgehalte van de geanalyseerde leden van de Weelde Formatie. Barplots geven gemiddelde en standaard afwijking weer, indien meer dan 1 staal van betreffend lid geanalyseerd werd.



4.2.24. Ravels

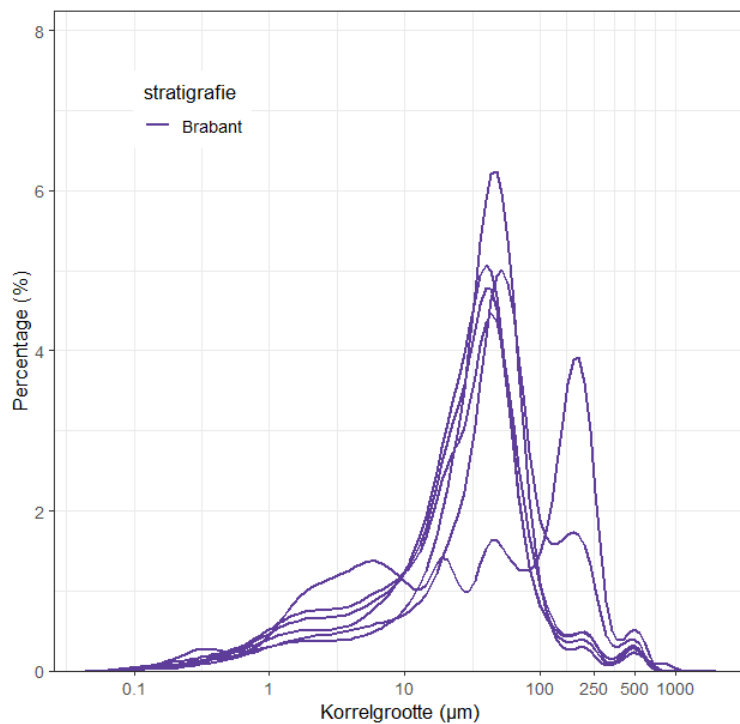


Figuur 43. Korrelgrootteverdelingscurves van de geanalyseerde stalen van de Ravels formatie.

Van de Ravels formatie werden twee stalen genomen voor korrelgrootte. De Ravels formatie is een informele eenheid gedefinieerd op het kaartblad Meerle-Turnhout, die bestaat uit fijn tot grof zandige afzettingen met kleiige humeuze lagen (Bogemans, 2005). Eén van de stalen toont een matig goed gesorteerd zand met een mode van 223 µm en gelijkaardige mediaan. Het andere staal het ook een halfijne mode op 204 µm maar heeft ook een tweede fijnere mode tussen 50 en 100 µm en een fijne d10 van 9 µm (Figuur 43).

Zowel het gemeten glauconietgehalte als (in)organisch koolstofgehalte is verwaarloosbaar.

4.2.25. Gembloux



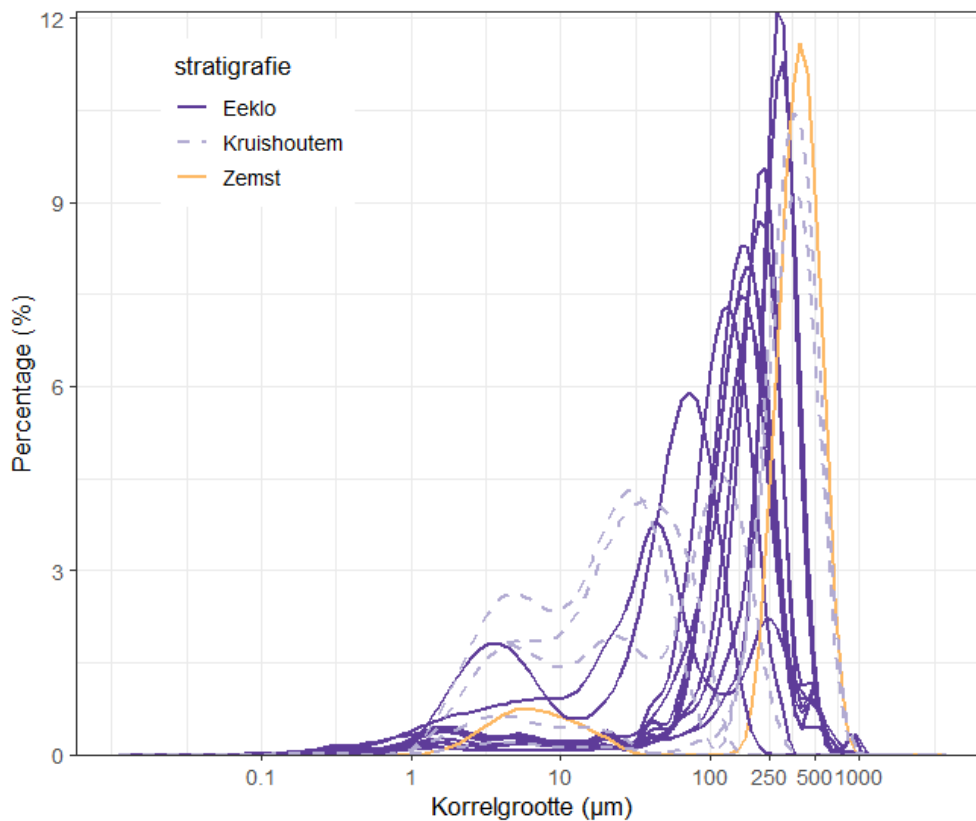
Figuur 44. Korrelgrootteverdelingscurves van de geanalyseerde stalen van de Gembloux Formatie, Brabant Lid.

Van de Formatie van Gembloux werden zes stalen genomen voor korrelgrootte, van het Lid van Brabant (Figuur 44). De formaties van Gembloux en Veldwezelt bevatten de Quartaire eolische leem. Het Lid van Brabant bevat hoofdzakelijk ongelaagd tot diffuus gelaagd silt (Gullentops et al., 2001). De geanalyseerde stalen tonen silt met een mediaan van $34 \pm 7 \mu\text{m}$ (Tabel 2). Er is daarbij één staal met een afwijkende grove mode van $185 \mu\text{m}$, afkomstig van een interval net boven het onderliggende Paleogene Egem Lid (Figuur 44).

Het glauconietgehalte in de fractie $63\mu\text{m}$ -1mm van het geanalyseerde staal is opvallend hoog, 13% (Figuur 4). Dit is echter het afwijkende staal met fijn zand. Dit staal lijkt beter overeen te komen met het onderliggende Egem Lid en bevat wellicht een grote hoeveelheid herwerkt materiaal uit het onderliggende Paleogeen. De sectie waaruit het staal genomen werd wordt ook als sterk verstoord beschreven, met onderaan een keienvloer (Bogemans & Meyvis, 2020).

Het (in)organisch koolstofgehalte is zeer laag ($< 0.1\%$) in het afwijkende staal. In de siltstalen bedraagt het organisch koolstofgehalte 0.1% en het inorganisch koolstofgehalte 1.7 - 1.8% (Figuur 6).

4.2.26. Schelde Groep



Figuur 45. Korrelgrootteverdelingscurves van de geanalyseerde formaties van de Schelde Groep.

De Schelde Groep is een verzameling van een groot aantal formaties die werden afgezet in de Vlaamse Vallei (Gullentops et al., 2001). De samenstelling van deze fluviatiele afzettingen kan sterk verschillen, van klei en veen tot grof zand en grind. Van de Eeklo Formatie werden 11 stalen geanalyseerd voor korrelgrootte (**Figuur 45**). De geanalyseerde stalen tonen een variabel fijn zandig sediment met matige sortering en mediaan van $153 \pm 73 \mu\text{m}$. Van de Kruishoutem Formatie werden 5 stalen geanalyseerd voor korrelgrootte. Deze hebben een sterk variabele korrelgrootte, van kleiige silt tot grof zand met een mediaan $144 \pm 160 \mu\text{m}$. Van de informele Zemst formatie werd 1 staal geanalyseerd. Dit staal bestaat uit goed gesorteerd gemiddeld zand (mediaan $355 \mu\text{m}$).

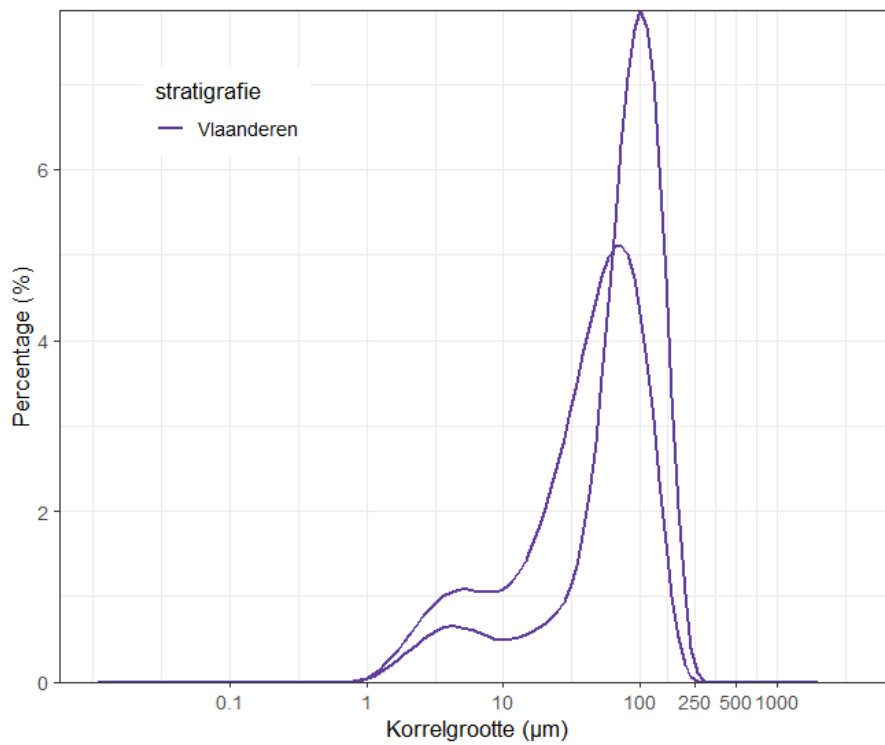
De stalen van de Kruishoutem Formatie bevatten een beperkte hoeveelheid herwerkt glauconiet ($1,0 \pm 0,7 \%$). Het geanalyseerde staal van de Eeklo Formatie bevat $1,8 \%$ glauconiet en het staal van de Zemst formatie bevat geen glauconiet (Tabel 3).

Het organisch koolstofgehalte van alle geanalyseerde stalen is verwaarloosbaar. Het anorganisch koolstofgehalte is eveneens verwaarloosbaar in de gemeten stalen van de Kruishoutem en Zemst formaties, en laag in de Eeklo Formatie ($0,2 \pm 0,3 \%$) (

Tabel 4).



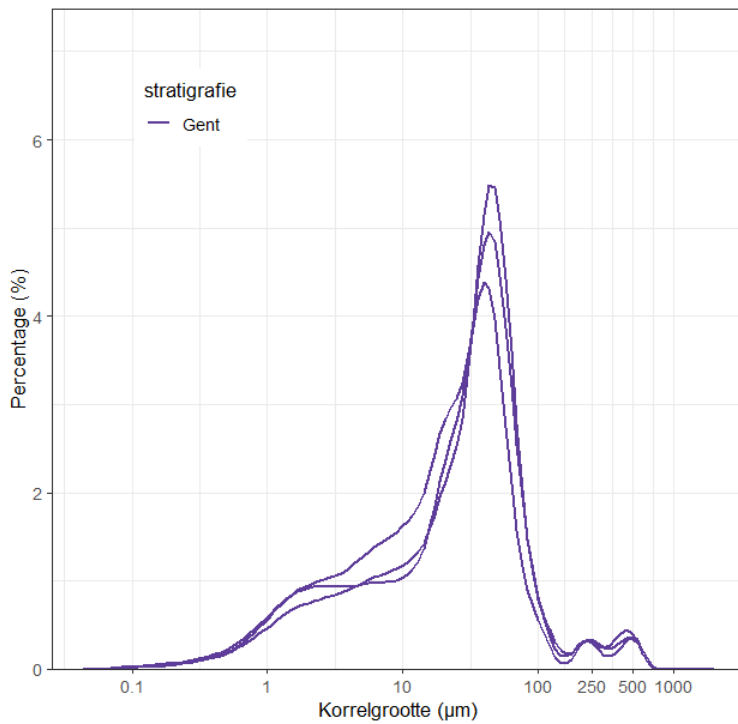
4.2.27. Vlaanderen



Figuur 46. Korrelgrootteverdelingscurves van de geanalyseerde stalen van de Vlaanderen Formatie.

Van de Formatie van Vlaanderen werden 2 stalen geanalyseerd voor korrelgrootte (Figuur 46). De Vlaanderen Formatie bevat de Quartaire, doorgaans kleiige, afzettingen in de polders (Gullentops et al., 2001). De geanalyseerde stalen zijn kleiig silt met een mediaan van $60 \pm 24 \mu\text{m}$ en een d_{10} van $7,7 \pm 3,6 \mu\text{m}$ (Tabel 2).

4.2.28. Gent

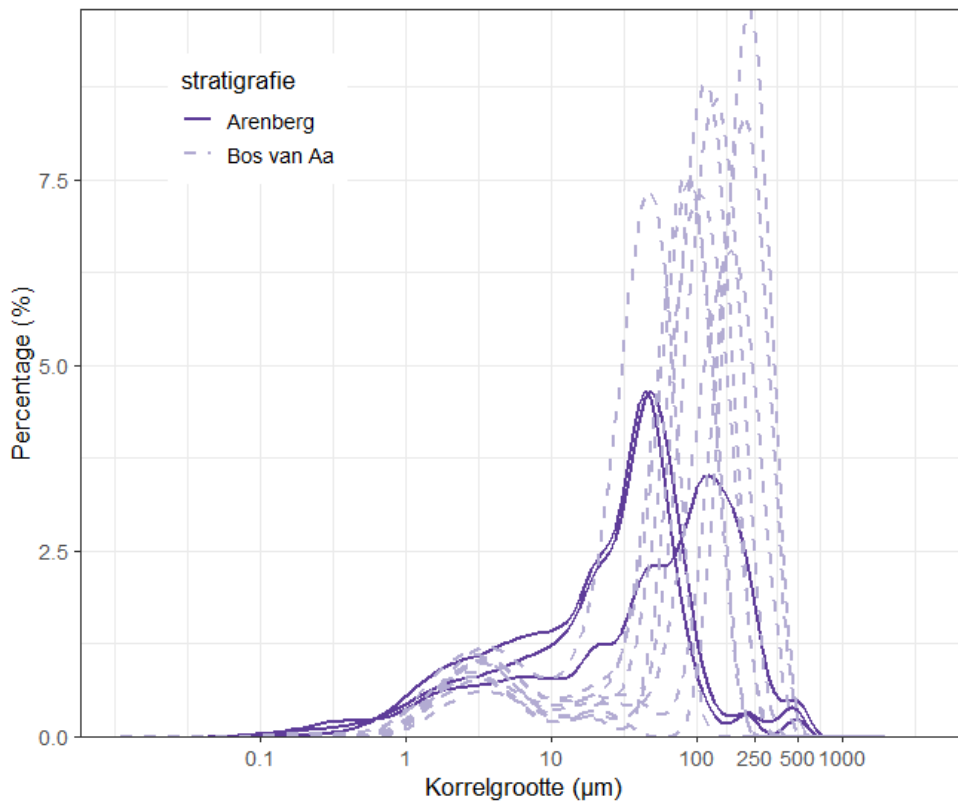


Figuur 47. Korrelgrootteverdelingscurves van de geanalyseerde stalen van de Gent Formatie.

Van de Formatie van Gent werden drie stalen geanalyseerd voor korrelgrootte (**Figuur 47**). De Gent Formatie bevat alle Quartaire eolische dekzanden (Gullentops et al., 2001). De geanalyseerde stalen zijn zeer gelijkaardig zandige silt met een mode van $40 \pm 2 \mu\text{m}$ en een grote kleifractie, met een d_{10} van $2 \pm 0.3 \mu\text{m}$ (**Tabel 2**).

Er is geen glauconiet aanwezig en ook het koolstofgehalte is verwaarloosbaar.

4.2.29. Arenberg



Figuur 48. Korrelgrootteverdelingscurves van de geanalyseerde stalen van de Arenberg Formatie.

Van de Arenberg Formatie werden 12 stalen geanalyseerd voor korrelgrootte (**Figuur 48**), waarvan er 9 aan het Bos van Aa Lid toegekend werden. Deze formatie bestaat uit lokale fluviatile en alluviale afzettingen (Gullentops et al., 2001). De geanalyseerde stalen van het Bos van Aa Lid tonen een fijn zandig tot siltig sediment met een mediaan van $104 \pm 50 \mu\text{m}$.

Het geanalyseerde glauconietgehalte is verwaarloosbaar, net als het organisch en anorganisch koolstofgehalte.

4.3. DIEPTETRENDS PER LOCATIE

Op locaties waar meerdere eenheden met een voldoende groot aantal stalen bemonsterd werden kunnen met diepteplots de verticale en stratigrafische variaties goed weergegeven worden. Voor boringen is dit een eenvoudige voorstelling langs een verticale lijn, o.b.v. hun diepte onder maaiveld of o.b.v. hoogte mTAW. Bij ontsluitingen worden stalen uit verschillende wanden gecombineerd op één plot o.b.v. hun hoogte in mTAW. In dit rapport worden alleen de locaties besproken die nieuw bemonsterd werden voor deze versie. Andere locaties werden besproken in de eerdere rapporten (Verhaegen, 2022; Verhaegen & De Nil, 2023).

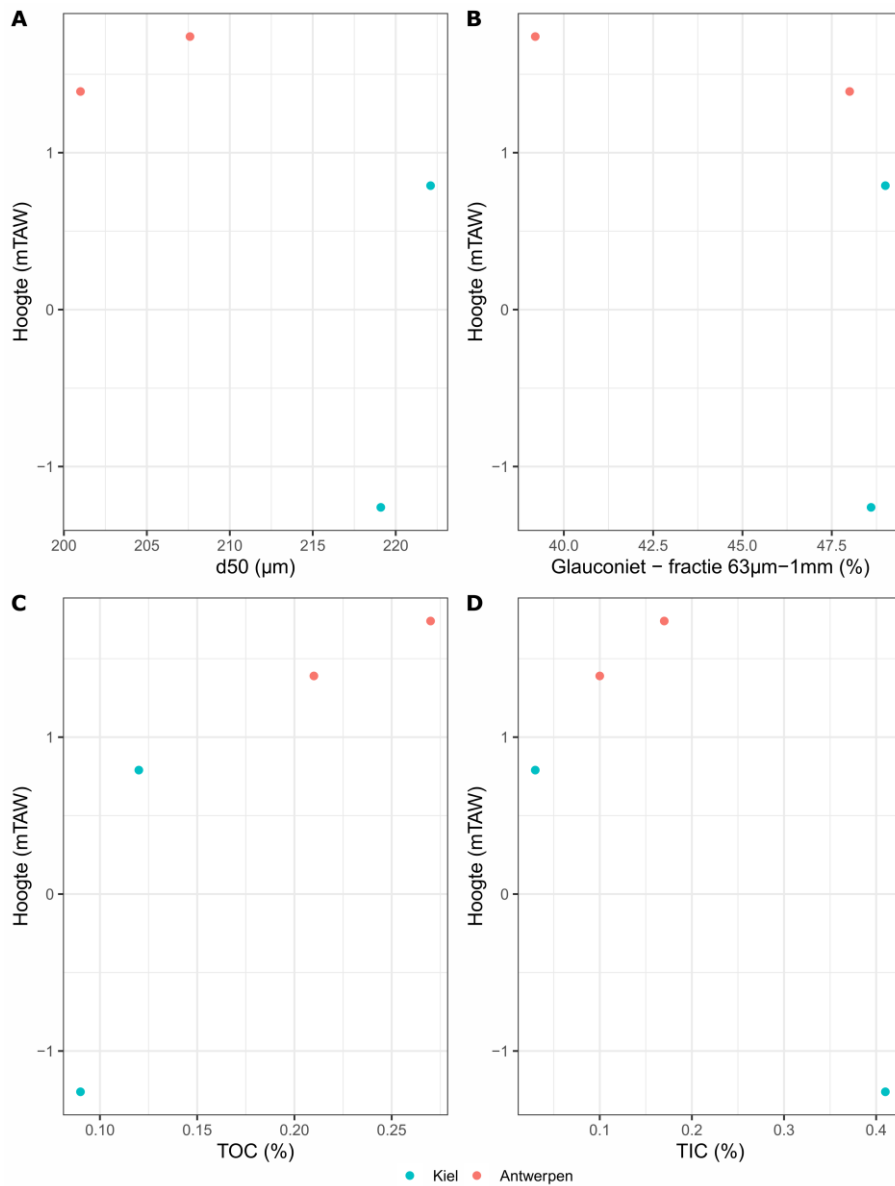
Locaties besproken in Verhaegen (2022):

- Kallo (Beveren), GEO-09/006, boring
- Antwerpen (noord), GEO-12/115, boringen
- Vilvoorde, 1439-BB17-0115, boring
- Egem, VLA17-4.1-008, ontsluiting
- Lubbeek, VLA17-4.1-003, ontsluiting
- Beerse, VLA17-4.1-007, ontsluiting

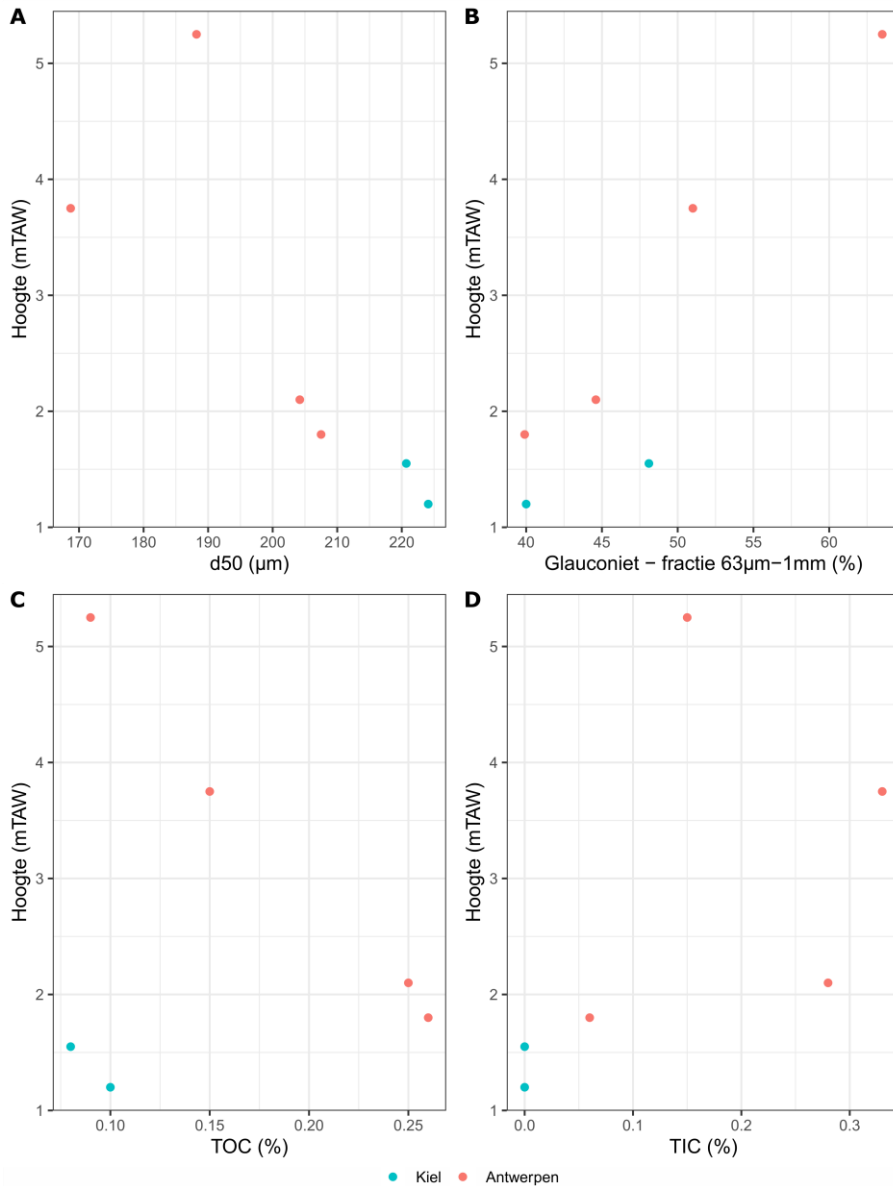
Locaties besproken in Verhaegen & De Nil (2023):

- Saintes (Tubek), TO-20210416, ontsluiting
- Diegem (Machelen), TO-20220310, ontsluiting
- Kerkom (Boutersem), TO-20220405, ontsluiting
- Lichtaart (Kasterlee), TO-20220516, ontsluiting
- Heist-op-den-Berg, TO-20190617, ontsluiting
- Tour & Taxis site (Brussel), 1508-B2022-00843-B2, boring

4.3.1. Ontsluitingen Antwerpen (TO-20190417, TO-20150701, TO-20220706-1)

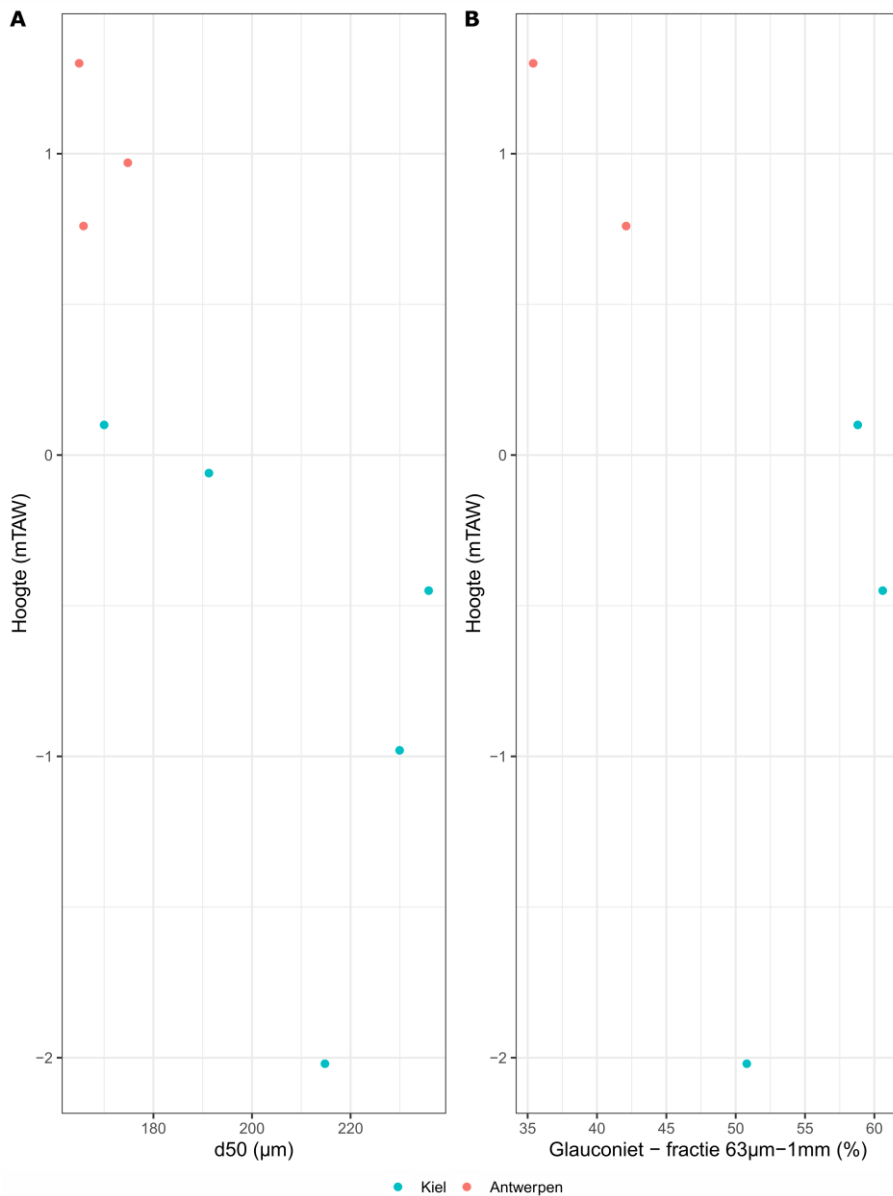


Figuur 49. Dieptetrend van de mediane korrelgrootte (d50), het glauconietgehalte en het gehalte (an)organische koolstof van ontsluiting TO-20190417, te Antwerpen, site Argenta).



Figuur 50. Dieptetrend van de mediane korrelgrootte (d50), het glauconietgehalte en het gehalte (an)organische koolstof van ontsluiting TO-20150701, te Antwerpen, site Post X Berchem).



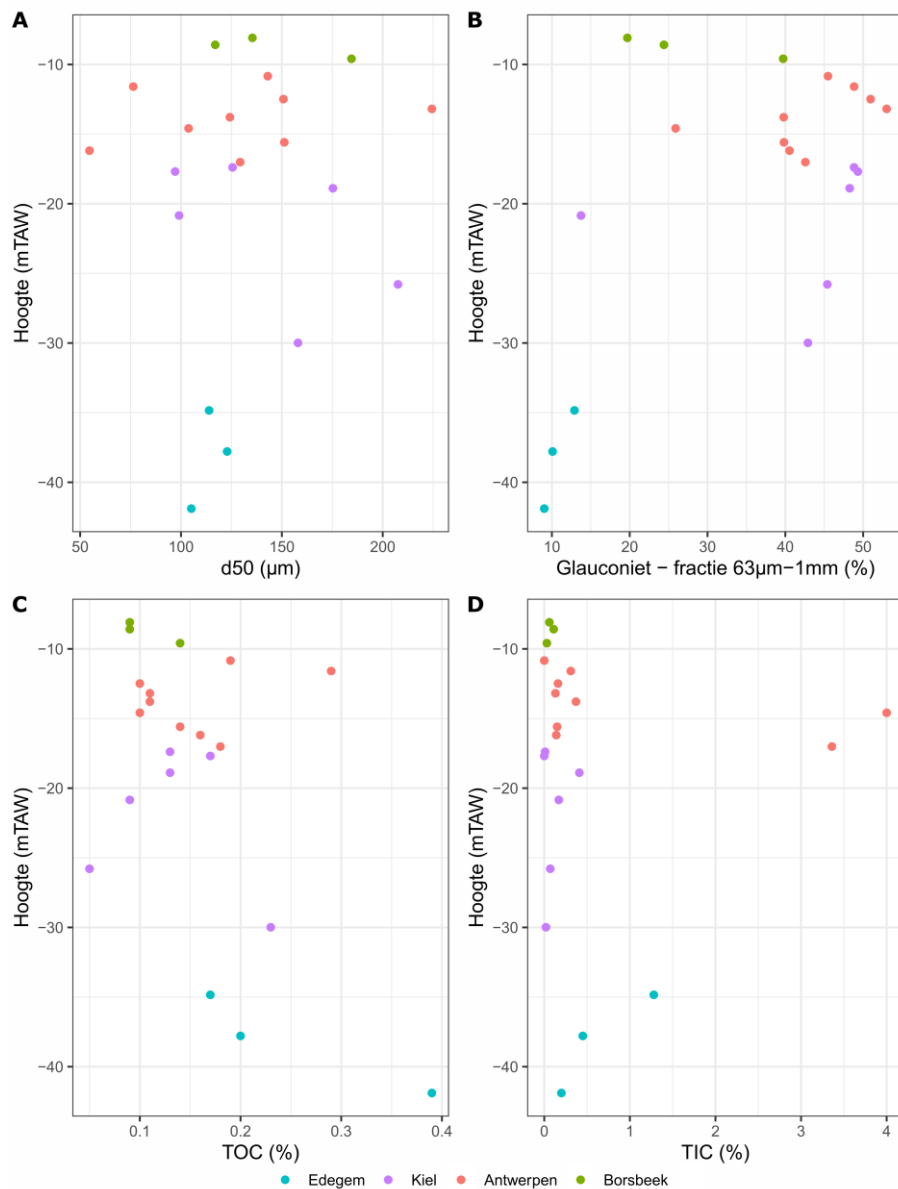


Figuur 51. Dieptetrend van de mediane korrelgrootte (d50), het glauconietgehalte en het gehalte (an)organische koolstof van ontsluiting TO-20220706-1, te Antwerpen, site Rubenshuis).

In verschillende ontsluitingen uit Antwerpen werden stalen genomen van de Berchem Formatie, met name het Kiel Lid en Antwerpen Lid. Deze stalen lijken allemaal het subtiele korrelgrootteverschil aan te tonen tussen het Antwerpen Lid en Kiel Lid, waarbij het bovenliggende Antwerpen Lid iets fijner is (Deckers et al., 2023). Het glauconietgehalte is in beide leden zeer hoog, met waarden doorgaans boven 40 %. Er blijkt geen consequent verschil te zijn tussen beide o.b.v. deze ontsluitingen. Het anorganisch koolstofgehalte is doorgaans lager in het Kiel Lid omdat dit lid grotendeels ontkalkt is, toch komen hierin ook nog kalkhoudende en schelphoudende intervallen voor.



4.3.2. Schoten (1411-GEO-22/019-B1)

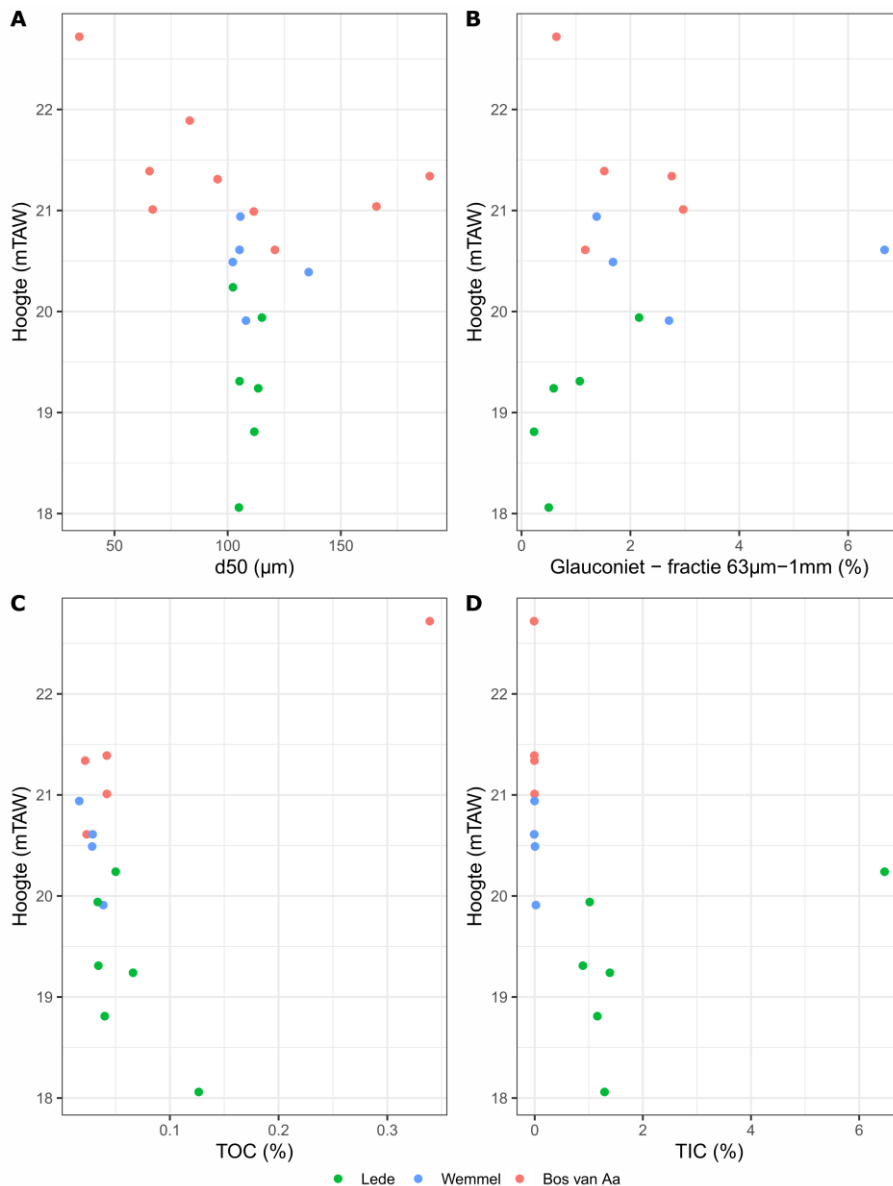


Figuur 52. Dieptetrend van de mediane korrelgrootte (d50), het glauconietgehalte en het gehalte (an)organische koolstof van boring 1411-GEO-22/019-B1, te Schoten.

In de boring Schoten werden stalen genomen van de Berchem Formatie en het bovenliggende Borsbeek Lid van de Diest Formatie. De korrelgrootte neemt toe van het fijne Edegem Lid naar het grovere Kiel Lid. In de top van het Kiel Lid en in het Antwerpen Lid is de korrelgrootte sterk variabel, van zeer fijn tot fijn zand. Het Borsbeek Lid heeft een gelijkaardige korrelgrootte. Het glauconietgehalte is relatief laag in het Edegem Lid (< 20 %). Het gehalte stijgt in het Kiel Lid van 40 tot 50 % in het Kiel Lid en blijft hoog in het Antwerpen Lid met maximale waarden boven 50 %. In het Borsbeek Lid daalt dit opnieuw naar waarden tussen 40 en 20 %. Het organisch koolstofgehalte is zeer laag. In het Kiel Lid is het anorganisch koolstofgehalte verwaarloosbaar, terwijl er in de Edegem en Antwerpen leden wel kalkrijke en schelprijke intervallen voorkomen. In het Borsbeek Lid is het koolstofgehalte opnieuw verwaarloosbaar.



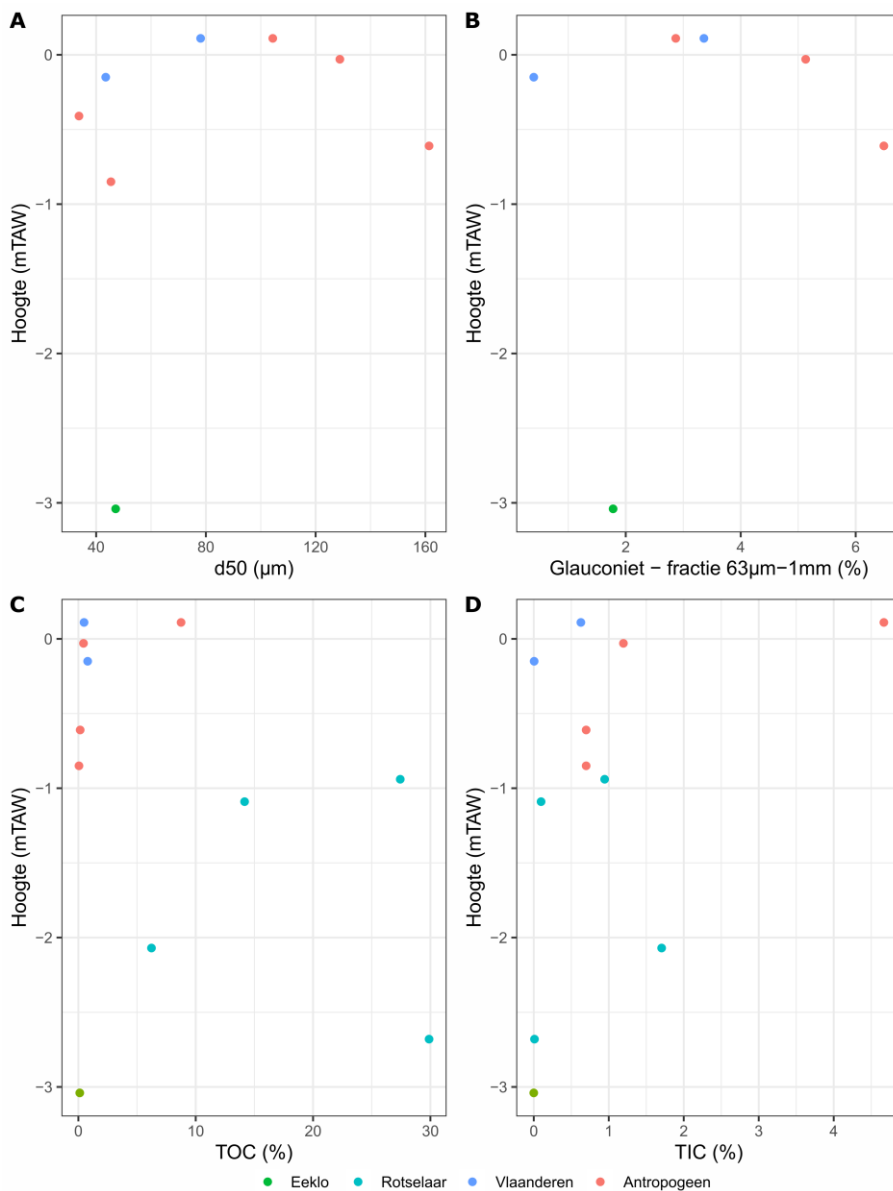
4.3.3. Merchtem (TO-20230629)



Figuur 53. Dieptetrend van de mediane korrelgrootte (d50), het glaucinetgehalte en het gehalte (an)organische koolstof van ontsluiting TO-20230629, te Merchtem.

De tijdelijke ontsluiting te Merchtem toonde een interessante sectie van de Lede Formatie met een kalkzandsteenbank, waarboven een dun pakket van het Wemmel Lid aanwezig was, afgesneden door een Quartair riviersysteem (Verhaegen et al., 2023). Er is geen verschil merkbaar in de korrelgrootte tussen de Lede Formatie en het Wemmel Lid. De korrelgrootte in het Quartaire pakket is gelijkaardig maar meer variabel, wellicht door herwerking van het onderliggende Paleogeen. Het glaucinetgehalte lijkt wel hoger te zijn (1-7 %) in het Wemmel Lid. Het anorganisch koolstofgehalte is hoger in de Lede Formatie, maar dit is mogelijk ook te wijten aan ontcalcificatie van het pakket boven de steenbank.

4.3.4. Antwerpen linkeroever Scheldetunnel (TO-20230913)

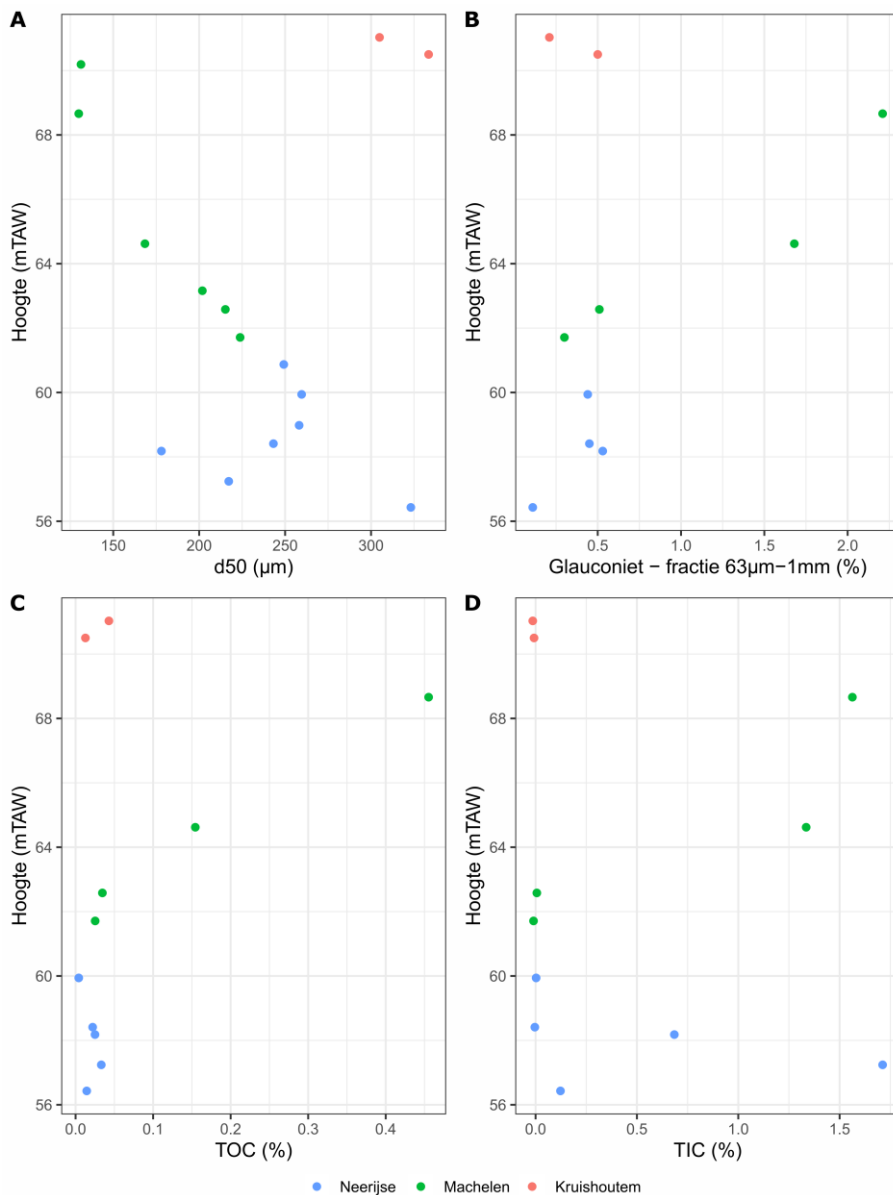


Figuur 54. Dieptetrend van de mediane korrelgrootte (d50), het glauconietgehalte en het gehalte (an)organische koolstof van ontsluiting TO-20230913, te Antwerpen linkeroever.

Op de site van de nieuwe Scheldetunnel op de Antwerpse linkeroever werd een ontsluiting van het Quartair bemonsterd, van de Eeklo Formatie (Schelde Groep), Rotselaar Lid ('Bosveen'), Vlaanderen Formatie en het antropogeen (Verhaegen et al., 2024). Het bemonsterde staal van de Eeklo Fomatie bestaat uit silt. Ook de Vlaanderen Formatie bevat silt tot zeer fijn zand. De waarden voor het antropogeen variëren van silt tot fijn silt in enkele geulinsnijdingen. Er is in de verschillende eenheden een significante hoeveelheid glauconiet aanwezig (1-7 %), wellicht herwerkt uit het Neogeen. Het organisch koolstofgehalte is vanzelfsprekend zeer hoog in het bosveen (Rotselaar Lid), tot 30 %. Het anorganisch koolstofgehalte is ook het hoogst in het bosveen, tot 2%, door aanwezige kalkschaaltjes van slakken, met uitzondering van een uitschieter in het antropogene pakket tot meer dan 4 %.



4.3.5. Neerijse (Huldenberg) (TO-20240517)



Figuur 55. Dieptetrend van de mediane korrelgrootte (d50), het glaucanietgehalte en het gehalte (an)organische koolstof van ontsluiting TO-20240517, te Merchtem.

De groeve van het Brussel Zand in Neerijse geldt als typelocatie voor het Neerijse Lid van die formatie, maar ook het Machelen Lid komt er voor en werd bemonsterd (Verhaegen et al., 2024b). Het Neerijse Lid is een gemiddeld zand met een mediane korrelgrootte rond 250 µm. In de top van het Neerijse Lid en in het bovenliggende Machelen Lid is een verfijning van de korrelgrootte merkbaar tot waarden < 150 µm. Het glaucanietgehalte is laag maar wordt wel hoger in het Machelen Lid (1-3 %). Een lichte verhoging van het gehalte organisch koolstof kan worden waargenomen in het Machelen lid. Beide eenheden bevatten intervallen met een verhoogd kalkgehalte, met anorganische koolstof tot bijna 2 %.



REFERENTIES

Bogemans, F. 2005. Toelichting bij de Quartairgeologische kaart, kaartblad 2 - 8, Meerle - Turnhout [1/50 000]. Vlaamse Overheid, Dienst Natuurlijke Rijkdommen, Brussel, 38 pp.

Bogemans, F. & Meyvis, B. 2020. Documentering van de tijdelijke ontsluiting 'leemgroeve te Volkegem, Oudenaarde'. BGD rapport 2020/05. Studie uitgevoerd in opdracht van de Afdeling Vlaams Planbureau voor Omgeving, in het kader van het bestek nr. VLA17-4.1 'Raamovereenkomst voor het geologisch documenteren van tijdelijke groeven'. 30 pp.

Deckers J., De Koninck R., Bos S., Broothaers M., Dirix K., Hambsch L., Lagrou, D., Lanckacker T., Matthijs, J., Rombaut B., Van Baelen K. & Van Haren T. 2019. Geologisch (G3Dv3) en hydrogeologisch (H3D) 3D-lagenmodel van Vlaanderen. Studie uitgevoerd in opdracht van: Vlaams Planbureau voor Omgeving (Departement Omgeving) en Vlaamse Milieumaatschappij 2018/RMA/R/1569, 286p. + bijlagen, <https://archieff.onderzoek.omgeving.vlaanderen.be/Onderzoek-1999911>.

Deckers, J., De Koninck, R., Everaert, S., Adriaens, R. & Verhaegen, J. 2023. Granulometry, carbonate and glauconite content as stratigraphic tools to distinguish the Kiel Member and lower Antwerpen Member (Berchem Formation) in the City of Antwerp area (Belgium). *Geologica Belgica*, 26/3-4, 127-141, <https://popups.uliege.be/1374-8505/index.php?id=7115>.

Deckers, J., Louwye, S. & Goolaerts, S. 2020. The internal division of the Pliocene Lillo Formation: correlation between Cone Penetration Tests and lithostratigraphic type sections. *Geologica Belgica* 23 (3-4), 333-343

Dewalque, G. 1868. *Prodrome d'une description géologique de la Belgique*. De Decq, Bruxelles - Liège, p. 1-442.

Fobe, B. 1988. Formatie van Lede. In Maréchal, R. & Laga, P., *Voorstel lithostratigraphische indeling van het Paleogeen*. Belgische Geologische Dienst, Brussel, p. 136-140.

Glibert, M. & de Heinzelin, J. 1952. Le gîte des vertébrés tongriens de Hoogbutsel. *Bulletin de l'Institut Royal des Sciences naturelles de Belgique* 28, 1-22

Gullentops, F., Bogemans, F., De Moor, G., Paulissen, E. & Pissart, A. 2001. Quaternary lithostratigraphic units (Belgium). *Geologica Belgica* 4 (1-2), 153-164

Houthuys, R. 2011. A sedimentary model of the Brussels Sands, Eocene, Belgium. *Geologica Belgica* 14 (1-2), 55-74

Houthuys, R., Adriaens, R., Goolaerts, S., Laga, P., Louwye, S., Matthijs, J., Vandenberghe, N. & Verhaegen, J. 2020. The Diest Formation: a review of insights from the last decades. *Geologica Belgica* 23 (3-4), 199-218

Houthuys, R., Vandenberghe, N. & Matthijs, J. 2023. The Brussels Formation, 12/01/2023. National Commission for Stratigraphy Belgium. <http://ncs.naturalsciences.be/lithostratigraphy/Brussels-Formation>

Verhaegen, J., De Koninck, R. & Opdecam, J. 2022b. Documentering van de tijdelijke ontsluiting 'Hoge Berg Lichtaart'. Rapport in opdracht van de Vlaamse Overheid. Departement Omgeving. 28p.

Verhaegen, J. & De Koninck, R. 2022. Documentering van de tijdelijke ontsluiting 'Bouwwerf Berkenlaan Diegem'. Rapport in opdracht van de Vlaamse Overheid. Departement Omgeving. 26p.

Verhaegen, J. & De Nil, K. 2023. Een referentiedatabank van de Vlaamse ondergrond – V2023. Rapport in opdracht van de Vlaamse Overheid. Departement Omgeving. 120p.

Verhaegen, J., De Nil, K. & De Koninck, R. 2023. Documentering van de tijdelijke ontsluiting 'Drypikkel Merchtem'. Rapport in opdracht van de Vlaamse Overheid. Departement Omgeving. 26p.

Verhaegen, J., De Nil, K. & De Koninck, R. 2024. Documentering van de tijdelijke ontsluiting 'Scheldetunnel Linkeroever'. Rapport in opdracht van de Vlaamse Overheid. Departement Omgeving. 21p.

Verhaegen, J., De Nil, K., De Koninck, R., Van Haren, T. & Opdecam, J. 2024b. Documentering van de tijdelijke ontsluiting 'Groeve Neerijse'. Rapport in opdracht van de Vlaamse Overheid. Departement Omgeving. In prep.

Verhaegen, J., De Nil, K., De Koninck, R., Lagrou, D. & Opdecam, J. 2021. Documentering van de tijdelijke ontsluiting 'Bedrijventerrrein Saintes'. Rapport in opdracht van de Vlaamse Overheid. Departement Omgeving. 28p. <https://archieff.onderzoek.omgeving.vlaanderen.be/Onderzoek-2695257>

Verhaegen, J., Frederickx, L. & Schiltz, M. 2020. New insights into the lithostratigraphy and paleogeography of the Messinian Kasterlee Formation from the analysis of a temporary outcrop. *Geologica Belgica* 23 (3-4), 253-263.

Walstra, J., Meyvis, B. & Bogemans, F. 2020. Documentering van de tijdelijke ontsluiting 'kleigroeve Het Blak Meergoor te Beerse'. BGD-KBIN, studie uitgevoerd in opdracht van Vlaams Planbureau voor Omgeving (Departement Omgeving) in het kader van het bestek nr. VLA17-4.1 'Raamovereenkomst voor het geologisch documenteren van tijdelijke ontsluitingen'. 20p

Welkenhuysen, K., Meyvis, B. & Duser, M. 2019. Documentering van de tijdelijke ontsluiting 'zandgroeve Roelants, Lubbeek'. BGD-KBIN, studie uitgevoerd in opdracht van Vlaams Planbureau voor Omgeving (Departement Omgeving) in het kader van het bestek nr. VLA17-4.1 'Raamovereenkomst voor het geologisch documenteren van tijdelijke ontsluitingen'. 43p.



BIJLAGEN

Bijlage 1. Tabel met korrelgroottestatistieken voor alle stalen geanalyseerd in deze studie. Fractie > 2 mm geeft aandeel (%) van fractie > 2 mm in oorspronkelijk staal, bepaald via zeving. Andere statistieken in μm . SD = standaard deviatie.

Staalnaam	Boring	Hoogte (mTAW)	Locatie	Formatie	Lid	Tijdvak	Fractie >2mm	Mean	SD	d10	d50	d90	Mode
VPO2020_1	GEO-12/129-B10	14,37	Ham	Diest	Diest Kempen	Mioceen		313,80	3,10	158,50	355,00	780,00	356,10
VPO2020_3	GEO-12/129-B10	12,37	Ham	Diest	Diest Kempen	Mioceen		316,80	3,71	165,60	379,90	875,40	324,40
VPO2020_5	GEO-12/129-B10	10,37	Ham	Diest	Diest Kempen	Mioceen		274,40	4,33	133,10	366,00	812,50	356,10
VPO2020_7	GEO-12/129-B10	8,37	Ham	Diest	Diest Kempen	Mioceen		282,70	3,27	165,10	342,50	629,20	356,10
VPO2020_9	GEO-12/129-B10	6,37	Ham	Diest	Diest Kempen	Mioceen		297,60	2,78	179,70	345,00	591,70	356,10
VPO2020_11	GEO-12/129-B9	16,44	Meerhout	Diest	Diest Kempen	Mioceen		331,40	4,00	149,60	388,00	1326,00	356,10
VPO2020_13	GEO-12/129-B9	14,44	Meerhout	Diest	Diest Kempen	Mioceen		183,60	6,95	4,56	348,70	709,10	356,10
VPO2020_15	GEO-12/129-B9	12,44	Meerhout	Diest	Diest Kempen	Mioceen		162,70	7,56	2,41	351,80	628,00	429,20
VPO2020_17	GEO-12/129-B9	10,44	Meerhout	Diest	Diest Kempen	Mioceen		138,60	7,08	3,02	288,60	574,80	324,40
VPO2020_19	GEO-12/129-B9	9,44	Meerhout	Diest	Diest Kempen	Mioceen		114,50	6,55	3,58	258,50	415,10	295,50
VPO2020_21	GEO-12/027-B6	2,69	Zelzate	Eeklo	Eeklo	Quartair		137,40	2,43	80,33	155,10	274,70	153,80
VPO2020_23	GEO-12/027-B6	0,69	Zelzate	Eeklo	Eeklo	Quartair		93,89	4,15	13,66	141,70	260,40	153,80
VPO2020_25	GEO-12/027-B6	-1,31	Zelzate	Eeklo	Eeklo	Quartair		70,27	4,07	7,56	108,50	193,60	127,60
VPO2020_27	GEO-12/027-B6	-7,31	Zelzate	Eeklo	Eeklo	Quartair		129,20	3,56	44,33	183,50	302,40	203,50
VPO2020_29	GEO-12/027-B6	-10,31	Zelzate	Eeklo	Eeklo	Quartair		190,10	3,28	77,82	263,00	383,40	269,20
VPO2020_31	GEO-12/027-B6	-13,31	Zelzate	Zelzate	Bassevelde	Eocene		157,70	4,37	34,55	239,40	468,80	269,20
VPO2020_33	GEO-12/027-B6	-16,31	Zelzate	Zelzate	Bassevelde	Eocene		90,03	5,26	5,19	153,30	299,50	168,90

Staalnaam	Boring	Hoogte (mTAW)	Locatie	Formatie	Lid	Tijdvak	Fractie >2mm	Mean	SD	d10	d50	d90	Mode
VPO2020_35	GEO-12/027-B6	-19,31	Zelzate	Zelzate	Bassevelde	Eoceen		44,30	6,20	1,89	113,00	168,60	127,60
VPO2020_37	GEO-12/027-B4	1,66	Zelzate	Eeklo	Eeklo	Quartair		122,70	3,01	65,90	155,10	270,60	168,90
VPO2020_39	GEO-12/027-B4	-0,34	Zelzate	Eeklo	Eeklo	Quartair		83,47	4,76	6,32	139,90	256,00	168,90
VPO2020_41	GEO-12/027-B4	-3,34	Zelzate	Eeklo	Eeklo	Quartair		33,56	5,04	3,03	39,28	264,60	41,68
VPO2020_43	GEO-12/027-B4	-8,34	Zelzate	Eeklo	Eeklo	Quartair		116,40	4,18	16,50	188,00	295,70	223,40
VPO2020_45	GEO-12/027-B4	-10,84	Zelzate	Eeklo	Eeklo	Quartair		212,20	2,59	116,30	264,00	389,10	295,50
VPO2020_47	GEO-12/027-B4	-11,84	Zelzate	Zelzate	Bassevelde	Eoceen		150,00	3,93	31,41	227,50	409,70	295,50
VPO2020_49	GEO-12/027-B4	-16,34	Zelzate	Zelzate	Bassevelde	Eoceen		73,82	6,22	2,64	151,80	277,90	168,90
VPO2020_51	GEO-12/027-B4	-20,34	Zelzate	Zelzate	Bassevelde	Eoceen		43,59	4,24	4,23	88,05	145,70	116,30
VPO2020_53	GEO-09/006-B11	-4,5	Kallo	Quartair	Quartair	Quartair		68,05	5,49	3,70	127,90	297,40	168,90
VPO2020_55	GEO-09/006-B11	-6	Kallo	Quartair	Quartair	Quartair		94,95	5,58	5,60	160,10	450,20	168,90
VPO2020_57	GEO-09/006-B11	-8	Kallo	Lillo	Lillo	Pliocene		125,80	4,80	12,08	183,40	493,20	168,90
VPO2020_59	GEO-09/006-B11	-13,5	Kallo	Lillo	Lillo	Pliocene		120,00	3,72	27,32	170,20	288,80	185,40
VPO2020_61	GEO-09/006-B11	-15	Kallo	Kattendijk	Kattendijk	Pliocene		29,72	9,14	1,10	56,75	306,00	223,40
VPO2020_63	GEO-09/006-B11	-20	Kallo	Kattendijk	Kattendijk	Pliocene		41,63	8,42	1,24	135,70	237,30	185,40
VPO2020_65	GEO-09/006-B11	-22	Kallo	Berchem	Berchem	Mioceen		106,20	3,78	28,88	161,10	230,00	168,90
VPO2020_67	GEO-09/006-B11	-23,5	Kallo	Boom	Boom	Oligoceen		15,27	4,96	1,66	19,17	89,28	45,75
VPO2020_69	GEO-09/006-B9	-4,43	Kallo	Quartair	Quartair	Quartair		35,98	11,09	1,37	50,03	548,00	429,20
VPO2020_71	GEO-09/006-B9	-5,93	Kallo	Quartair	Quartair	Quartair		40,39	9,82	1,52	115,10	460,20	185,40
VPO2020_73	GEO-09/006-B9	-7,43	Kallo	Lillo	Lillo	Pliocene		189,00	4,06	80,52	218,90	660,40	168,90
VPO2020_75	GEO-09/006-B9	-12,43	Kallo	Lillo	Lillo	Pliocene		104,30	4,39	12,12	162,40	293,50	168,90



Staalnaam	Boring	Hoogte (mTAW)	Locatie	Formatie	Lid	Tijdvak	Fractie >2mm	Mean	SD	d10	d50	d90	Mode
VPO2020_77	GEO-09/006-B9	-13,93	Kallo	Kattendijk	Kattendijk	Plioceen		97,75	4,85	7,62	166,80	314,90	185,40
VPO2020_79	GEO-09/006-B9	-17,43	Kallo	Kattendijk	Kattendijk	Plioceen		95,39	4,75	7,58	171,70	274,20	203,50
VPO2020_81	GEO-09/006-B9	-21,93	Kallo	Berchem	Berchem	Mioceen		30,77	7,53	1,29	98,38	190,30	153,80
VPO2020_83	GEO-09/006-B9	-23,93	Kallo	Boom	Boom	Oligoceen		17,32	4,84	2,02	21,05	108,90	41,68
VPO2020_85	GEO-12/115-B2	-18,52	Antwerpen	Berchem	Edegem	Mioceen		162,60	2,61	96,42	194,20	333,40	203,50
VPO2020_86	GEO-12/115-B2	-15,52	Antwerpen	Berchem	Kiel	Mioceen		174,90	2,47	114,00	203,80	340,60	203,50
VPO2020_87	GEO-12/115-B2	-12,82	Antwerpen	Berchem	Kiel	Mioceen		228,40	2,02	151,10	247,00	396,40	245,20
VPO2020_88	GEO-12/115-B2	-9,82	Antwerpen	Berchem	Kiel	Mioceen		168,10	3,08	42,56	227,20	376,50	245,20
VPO2020_89	GEO-12/115-B2	-7,52	Antwerpen	Berchem	Antwerpen	Mioceen	10,49	113,00	4,95	8,51	207,50	411,80	245,20
VPO2020_90	GEO-12/115-B2	-5,52	Antwerpen	Berchem	Antwerpen	Mioceen	14,48	259,60	3,08	148,40	299,90	585,90	295,50
VPO2020_91	GEO-12/115-B2	-4,52	Antwerpen	Berchem	Antwerpen	Mioceen		292,00	2,27	181,70	313,00	566,10	295,50
VPO2020_92	GEO-12/115-B2	-3,62	Antwerpen	Berchem	Antwerpen	Mioceen		290,10	2,19	182,90	309,70	525,80	295,50
VPO2020_93	GEO-12/115-B2	-3,27	Antwerpen	Kattendijk	Kattendijk	Plioceen	40,68	217,50	4,05	77,31	279,70	682,80	269,20
VPO2020_94	GEO-12/115-B2	-1,52	Antwerpen	Kattendijk	Kattendijk	Plioceen		112,40	3,39	26,87	158,90	240,40	168,90
VPO2020_95	GEO-12/115-B2	-2,82	Antwerpen	Kattendijk	Kattendijk	Plioceen		126,80	3,10	43,06	163,90	294,00	168,90
VPO2020_96	GEO-12/115-B2	-12,77	Antwerpen	Berchem	Kiel	Mioceen		221,80	2,13	146,80	243,70	393,10	245,20
VPO2020_97	GEO-12/115-B2	-2,77	Antwerpen	Kattendijk	Kattendijk	Plioceen		115,70	3,52	22,55	162,10	296,60	168,90
VPO2020_98	GEO-12/115-B3	-19,61	Antwerpen	Berchem	Edegem	Mioceen		185,50	2,57	113,10	201,00	371,30	203,50
VPO2020_99	GEO-12/115-B3	-18,11	Antwerpen	Berchem	Edegem	Mioceen		95,95	5,00	6,08	171,90	300,20	185,40
VPO2020_100	GEO-12/115-B3	-15,61	Antwerpen	Berchem	Kiel	Mioceen		196,50	2,22	132,60	216,70	352,90	223,40
VPO2020_101	GEO-12/115-B3	-15,11	Antwerpen	Berchem	Kiel	Mioceen		196,80	2,38	131,50	221,00	367,40	223,40



Staalnaam	Boring	Hoogte (mTAW)	Locatie	Formatie	Lid	Tijdvak	Fractie >2mm	Mean	SD	d10	d50	d90	Mode
VPO2020_102	GEO-12/115-B3	-13,11	Antwerpen	Berchem	Kiel	Mioceen		209,80	2,42	139,10	237,00	385,10	245,20
VPO2020_103	GEO-12/115-B3	-12,61	Antwerpen	Berchem	Kiel	Mioceen		226,10	2,19	152,30	247,30	395,90	245,20
VPO2020_104	GEO-12/115-B3	-10,11	Antwerpen	Berchem	Antwerpen	Mioceen		77,32	6,54	25,04	178,30	306,80	203,50
VPO2020_105	GEO-12/115-B3	-9,61	Antwerpen	Berchem	Antwerpen	Mioceen		86,99	5,07	64,36	171,80	321,60	223,40
VPO2020_106	GEO-12/115-B3	-8,11	Antwerpen	Berchem	Antwerpen	Mioceen		68,75	6,28	37,07	156,90	359,50	223,40
VPO2020_107	GEO-12/115-B3	-7,11	Antwerpen	Berchem	Antwerpen	Mioceen		64,43	7,83	20,92	177,50	374,00	223,40
VPO2020_108	GEO-12/115-B3	-6,61	Antwerpen	Berchem	Antwerpen	Mioceen		187,40	3,33	88,12	244,80	440,80	245,20
VPO2020_109	GEO-12/115-B3	-6,11	Antwerpen	Berchem	Antwerpen	Mioceen	51,41	246,90	4,08	112,40	282,40	1047,00	245,20
VPO2020_110	GEO-12/115-B3	-5,61	Antwerpen	Berchem	Antwerpen	Mioceen	61,01	146,00	6,60	59,20	244,20	747,50	245,20
VPO2020_111	GEO-12/115-B3	-5,61	Antwerpen	Berchem	Antwerpen	Mioceen	57,87	155,50	6,92	59,15	251,40	1081,00	245,20
VPO2020_112	GEO-12/115-B3	-4,235	Antwerpen	Berchem	Antwerpen	Mioceen	13,66	75,10	8,42	17,62	195,30	465,60	269,20
VPO2020_113	GEO-12/115-B3	-4,235	Antwerpen	Berchem	Antwerpen	Mioceen	13,64	95,19	8,74	19,64	217,50	598,70	269,20
VPO2020_114	GEO-12/115-B3	-3,985	Antwerpen	Kattendijk	Kattendijk	Pliocene	21,79	181,50	4,62	43,60	223,20	758,90	185,40
VPO2020_115	GEO-12/115-B3	-3,61	Antwerpen	Kattendijk	Kattendijk	Pliocene	53,88	232,20	4,62	84,76	274,80	1133,00	185,40
VPO2020_116	GEO-12/115-B3	-3,11	Antwerpen	Kattendijk	Kattendijk	Pliocene	48,2	227,30	4,13	94,49	229,30	1159,00	168,90
VPO2020_117	GEO-12/115-B3	-2,61	Antwerpen	Kattendijk	Kattendijk	Pliocene		150,40	2,32	105,60	168,50	261,60	168,90
VPO2020_118	GEO-12/115-B8	-19,16	Antwerpen	Berchem	Edegem	Mioceen	0,67	115,90	3,05	30,22	158,40	250,90	168,90
VPO2020_119	GEO-12/115-B8	-17,16	Antwerpen	Berchem	Edegem	Mioceen		161,70	2,91	98,21	201,00	345,90	203,50
VPO2020_120	GEO-12/115-B8	-14,16	Antwerpen	Berchem	Kiel	Mioceen		190,00	2,18	126,90	210,40	339,60	203,50
VPO2020_121	GEO-12/115-B8	-9,46	Antwerpen	Berchem	Antwerpen	Mioceen		145,90	4,35	14,49	248,50	435,40	269,20
VPO2020_122	GEO-12/115-B8	-8,46	Antwerpen	Berchem	Antwerpen	Mioceen	31,64	169,20	4,18	20,97	258,00	482,80	269,20



Staalnaam	Boring	Hoogte (mTAW)	Locatie	Formatie	Lid	Tijdvak	Fractie >2mm	Mean	SD	d10	d50	d90	Mode
VPO2020_1 23	GEO-12/115-B8	-7,16	Antwerpen	Kattendijk	Kattendijk	Pliocéen	0,75	114,00	3,78	20,64	160,60	309,70	153,80
VPO2020_1 24	GEO-12/115-B8	-5,86	Antwerpen	Kattendijk	Kattendijk	Pliocéen		120,40	2,92	56,09	154,20	233,60	153,80
VPO2020_1 25	GEO-12/115-B8	-4,16	Antwerpen	Kattendijk	Kattendijk	Pliocéen	1,64	134,40	2,59	82,94	161,00	246,40	168,90
VPO2020_1 26	GEO-12/115-B8	-3,16	Antwerpen	Lillo	Kruisschans	Pliocéen	77,83	108,60	6,47	58,22	148,80	115,70	153,80
VPO2020_1 27	GEO-12/115-B8	-2,16	Antwerpen	Lillo	Kruisschans	Pliocéen		57,52	6,21	29,98	118,00	315,10	153,80
VPO2020_1 28	GEO-12/115-B8	-0,16	Antwerpen	Lillo	Merksem	Pliocéen	47,5	113,90	5,86	60,04	171,10	587,10	168,90
VPO2020_1 29	GEO-12/115-B8	-9,41	Antwerpen	Berchem	Antwerpen	Mioceen		144,40	4,16	16,34	240,90	420,40	269,20
VPO2020_1 30	GEO-12/115-B8	-5,91	Antwerpen	Kattendijk	Kattendijk	Pliocéen		132,10	2,74	78,20	158,50	262,00	153,80
VPO2020_1 31	GEO-12/115-B7	-18,7	Antwerpen	Berchem	Edegem	Mioceen		63,48	5,98	29,34	140,10	256,10	185,40
VPO2020_1 32	GEO-12/115-B7	-17,7	Antwerpen	Berchem	Edegem	Mioceen		70,94	6,98	18,44	163,00	298,00	185,40
VPO2020_1 33	GEO-12/115-B7	-17,2	Antwerpen	Berchem	Edegem	Mioceen		46,02	8,07	13,75	137,90	268,10	185,40
VPO2020_1 34	GEO-12/115-B7	-16,7	Antwerpen	Berchem	Kiel	Mioceen		78,06	6,81	20,15	169,90	315,90	185,40
VPO2020_1 35	GEO-12/115-B7	-14,2	Antwerpen	Berchem	Kiel	Mioceen		56,67	7,95	15,78	154,50	334,10	245,20
VPO2020_1 36	GEO-12/115-B7	-13,2	Antwerpen	Berchem	Kiel	Mioceen		81,26	7,65	18,32	203,20	361,20	245,20
VPO2020_1 37	GEO-12/115-B7	-9,7	Antwerpen	Berchem	Antwerpen	Mioceen		71,76	6,75	29,50	176,40	371,00	245,20
VPO2020_1 38	GEO-12/115-B7	-8,7	Antwerpen	Berchem	Antwerpen	Mioceen		81,82	6,29	36,46	186,30	364,40	223,40
VPO2020_1 39	GEO-12/115-B7	-8,2	Antwerpen	Berchem	Antwerpen	Mioceen		69,41	6,54	31,23	163,00	343,50	223,40
VPO2020_1 40	GEO-12/115-B7	-7,7	Antwerpen	Berchem	Antwerpen	Mioceen		99,84	5,30	68,46	176,40	371,20	203,50
VPO2020_1 41	GEO-12/115-B7	-6,7	Antwerpen	Kattendijk	Kattendijk	Pliocéen	11,28	94,10	4,74	63,68	156,70	303,60	168,90
VPO2020_1 42	GEO-12/115-B7	-6,2	Antwerpen	Kattendijk	Kattendijk	Pliocéen		109,90	3,69	23,80	157,10	254,50	168,90
VPO2020_1 43	GEO-12/115-B7	-5,7	Antwerpen	Kattendijk	Kattendijk	Pliocéen	3,39	110,60	3,59	32,32	155,90	241,00	168,90



Staalnaam	Boring	Hoogte (mTAW)	Locatie	Formatie	Lid	Tijdvak	Fractie >2mm	Mean	SD	d10	d50	d90	Mode
VPO2020_1 44	GEO-12/115-B7	-5,2	Antwerpen	Kattendijk	Kattendijk	Plioceen	4,35	116,10	3,40	45,56	158,40	237,40	168,90
VPO2020_1 45	GEO-12/115-B7	-3,7	Antwerpen	Kattendijk	Kattendijk	Plioceen	19,6	122,40	4,40	17,64	161,40	428,50	168,90
VPO2020_1 46	GEO-12/115-B7	-3,2	Antwerpen	Kattendijk	Kattendijk	Plioceen		56,70	5,74	2,91	129,60	219,90	168,90
VPO2020_1 47	GEO-12/115-B7	-2,7	Antwerpen	Lillo	Oorderen	Plioceen	15,03	66,99	7,56	2,59	138,90	524,10	168,90
VPO2020_1 48	GEO-12/115-B7	-2,2	Antwerpen	Lillo	Oorderen	Plioceen		93,24	9,33	2,41	168,00	1106,00	168,90
VPO2020_1 49	GEO-12/115-B7	-0,7	Antwerpen	Lillo	Merksem	Plioceen		47,64	7,26	2,07	135,30	269,20	168,90
VPO2020_1 50	GEO-12/115-B7	-0,2	Antwerpen	Lillo	Merksem	Plioceen		48,53	6,76	2,29	130,30	248,20	168,90
VPO2020_1 51	1439-BB17-0115	9,35	Vilvoorde	Brussel	Brussel	Eoceen		43,16	5,80	2,71	93,93	235,70	153,80
VPO2020_1 52	1439-BB17-0115	9,2	Vilvoorde	Brussel	Brussel	Eoceen		49,35	5,82	2,81	117,60	231,10	153,80
VPO2020_1 53	1439-BB17-0115	1,6	Vilvoorde	Hyon	Mont-Panisel	Eoceen		24,32	6,09	2,04	27,11	197,10	140,10
VPO2020_1 54	1439-BB17-0115	1,2	Vilvoorde	Hyon	Mont-Panisel	Eoceen		28,33	4,45	3,28	38,03	151,60	127,60
VPO2020_1 55	1439-BB17-0115	-23,1	Vilvoorde	Mons-en-Pevele	Mons-en-Pevele	Eoceen		30,72	5,53	2,96	45,91	191,00	96,49
VPO2020_1 56	1439-BB17-0115	-23,7	Vilvoorde	Mons-en-Pevele	Mons-en-Pevele	Eoceen		46,77	3,43	6,64	79,38	121,80	96,49
VPO2020_1 57	1439-BB17-0115	-59,4	Vilvoorde	Kortrijk	Orchies	Eoceen		15,65	4,65	2,28	15,99	119,70	18,00
VPO2020_1 58	1439-BB17-0115	-80,5	Vilvoorde	Kortrijk	Mont-Heribu	Eoceen		30,94	3,94	3,93	51,38	112,00	80,07
VPO2020_1 59	1439-BB17-0115	-89,6	Vilvoorde	Hannut	Grandglise	Paleoceen		76,95	2,08	50,28	88,66	130,10	87,90
VPO2020_1 60	1439-BB17-0115	-89,8	Vilvoorde	Hannut	Grandglise	Paleoceen		65,82	2,54	20,69	86,84	132,40	96,49
VPO2020_1 61	1439-BB69-1818	0,8	Zeebrugge	Quartair	Holoceen	Quartair		29,61	6,56	1,95	40,02	277,00	45,75
VPO2020_1 62	1439-BB69-1818	-3,15	Zeebrugge	Quartair	Holoceen	Quartair		83,91	3,41	25,75	106,90	235,10	127,60
VPO2020_1 63	1439-BB69-1818	-4,9	Zeebrugge	Quartair	Pleistoceen	Quartair		30,89	3,61	5,55	39,81	100,60	45,75
VPO2020_1 64	1439-BB69-1818	-6,05	Zeebrugge	Quartair	Pleistoceen	Quartair		47,06	3,55	11,55	54,21	174,60	45,75



Staalnaam	Boring	Hoogte (mTAW)	Locatie	Formatie	Lid	Tijdvak	Fractie >2mm	Mean	SD	d10	d50	d90	Mode
VPO2020_1 65	1439-BB69-1818	-7,8	Zeebrugge	Quartair	Pleistoceen	Quartair		205,00	1,93	152,10	223,80	313,10	223,40
VPO2020_1 66	1439-BB69-1818	-18,5	Zeebrugge	Quartair	Pleistoceen	Quartair		212,90	2,46	139,30	248,60	377,90	269,20
VPO2020_1 67	1439-BB69-1818	-21,5	Zeebrugge	Aalter	Oedelem	Eocene		80,55	5,77	5,18	135,70	558,50	153,80
VPO2020_1 68	1439-BB69-1818	-24,8	Zeebrugge	Aalter	Oedelem	Eocene		52,42	5,85	3,17	129,10	220,80	168,90
VPO2020_1 69	1439-BB69-1818	-29,5	Zeebrugge	Aalter	Oedelem	Eocene		70,36	4,97	50,53	137,30	215,30	153,80
VPO2020_1 70	1439-BB69-1818	-34,5	Zeebrugge	Aalter	Oedelem	Eocene		79,56	7,01	4,87	105,10	1159,00	105,90
VPO2020_1 71	GEO-14/113-B3	-13,21	Antwerpen	Lillo	Lillo	Pliocene		189,90	3,22	78,91	206,20	592,40	185,40
VPO2020_1 72	GEO-14/113-B3	-8,21	Antwerpen	Lillo	Lillo	Pliocene		69,56	6,52	3,69	151,80	407,50	185,40
VPO2020_1 73	GEO-14/113-B3	-5,21	Antwerpen	Lillo	Lillo	Pliocene		176,10	2,88	107,50	198,20	441,20	185,40
VPO2020_1 74	GEO-14/113-B3	-1,01	Antwerpen	Quartair	Pleistoceen	Quartair		76,60	7,27	3,05	169,80	478,00	185,40
VPO2020_1 75	GEO-14/029-B68	-6,29	Antwerpen	Lillo	Kruisschans	Pliocene		97,69	8,17	3,58	243,70	743,10	324,40
VPO2020_1 76	GEO-14/029-B68	2,71	Antwerpen	Quartair	Holoceen	Quartair		12,64	5,29	1,46	13,98	96,60	18,00
VPO2020_1 77	GEO-14/113-B5	-5,41	Antwerpen	Lillo	Lillo	Pliocene		273,00	3,49	113,50	237,00	1395,00	185,40
VPO2020_1 78	GEO-14/113-B5	0,59	Antwerpen	Quartair	Quartair	Quartair		31,65	5,72	2,34	50,39	191,00	116,30
VPO2020_1 79	VLA17-4.1-001-TO1	62,4	Leuven	Diest	Diest Hageland	Mioceen	7,1	126,30	6,96	3,72	252,30	480,90	269,20
VPO2020_1 80	VLA17-4.1-001-TO6	57,2	Leuven	Diest	Diest Hageland	Mioceen		102,50	5,78	5,99	198,20	334,20	245,20
VPO2020_1 81	VLA17-4.1-001-TO6	57,2	Leuven	Diest	Diest Hageland	Mioceen		46,30	12,82	0,48	165,50	457,30	269,20
VPO2020_1 82	VLA17-4.1-001-TO8.1	58	Leuven	Diest	Diest Hageland	Mioceen		22,15	8,92	0,70	50,39	229,30	105,90
VPO2020_1 83	VLA17-4.1-002-TO1A	23,56	Ardoeie	Gent	Gent	Quartair		18,63	4,47	1,83	28,60	73,44	41,68
VPO2020_1 84	VLA17-4.1-002-TO1A	23,04	Ardoeie	Gent	Gent	Quartair		20,70	4,08	2,39	31,25	73,18	41,68
VPO2020_1 85	VLA17-4.1-002-TO1A	21,905	Ardoeie	Gent	Gent	Quartair		15,64	4,11	1,95	21,40	61,36	37,97



Staalnaam	Boring	Hoogte (mTAW)	Locatie	Formatie	Lid	Tijdvak	Fractie >2mm	Mean	SD	d10	d50	d90	Mode
VPO2020_186	VLA17-4.1-002-TO1C	23	Ardooie	Arenberg	Arenberg	Quartair		36,67	5,68	2,42	61,07	206,10	116,30
VPO2020_187	VLA17-4.1-002-TO1C	22,205	Ardooie	Arenberg	Arenberg	Quartair		17,16	3,95	2,12	24,81	67,78	41,68
VPO2020_188	VLA17-4.1-002-TO1C	21,855	Ardooie	Arenberg	Arenberg	Quartair		20,73	4,29	2,32	30,78	82,04	45,75
VPO2020_189	VLA17-4.1-002-TO2A	23,02	Ardooie	Tielt	Kortemark	Eoceen		16,34	5,15	1,98	18,50	100,60	55,13
VPO2020_190	VLA17-4.1-002-TO2A	21,97	Ardooie	Tielt	Kortemark	Eoceen		15,10	4,64	2,05	17,23	85,48	45,75
VPO2020_191	VLA17-4.1-003-TO6	58,355	Lubbeek	Sint-Huibrechts-Hern	Neerrepen	Oligocean		138,60	2,25	101,60	154,80	231,70	153,80
VPO2020_192	VLA17-4.1-003-TO6	58,805	Lubbeek	Sint-Huibrechts-Hern	Neerrepen	Oligocean		106,30	3,40	30,77	147,80	227,50	153,80
VPO2020_193	VLA17-4.1-003-TO6	58,95	Lubbeek	Borgloon	Boutersem Hoogbutsel	Oligocean		10,63	6,41	0,88	11,46	134,90	18,00
VPO2020_194	VLA17-4.1-003-TO6	59,035	Lubbeek	Borgloon	Boutersem Hoogbutsel	Oligocean		67,24	4,19	6,45	124,70	196,50	140,10
VPO2020_195	VLA17-4.1-003-TO6	59,22	Lubbeek	Borgloon	Boutersem	Oligocean		115,50	2,76	87,52	144,60	204,70	153,80
VPO2020_196	VLA17-4.1-003-TO6	59,595	Lubbeek	Borgloon	Boutersem	Oligocean		134,10	1,97	103,50	148,60	204,40	153,80
VPO2020_197	VLA17-4.1-003-TO6	59,905	Lubbeek	Borgloon	Boutersem	Oligocean		77,69	4,45	6,65	132,10	194,00	140,10
VPO2020_198	VLA17-4.1-003-TO7	59,41	Lubbeek	Borgloon	Boutersem	Oligocean		35,00	8,97	1,35	77,53	430,40	153,80
VPO2020_199	VLA17-4.1-003-TO7	60,385	Lubbeek	Borgloon	Kerkom	Oligocean		183,80	3,37	114,10	215,90	494,50	203,50
VPO2020_200	VLA17-4.1-003-TO7	61,285	Lubbeek	Borgloon	Kerkom	Oligocean		289,10	2,44	143,30	269,30	725,70	203,50
VPO2020_201	VLA17-4.1-003-TO7	61,835	Lubbeek	Borgloon	Kerkom	Oligocean		177,80	3,88	43,96	249,20	505,20	269,20
VPO2020_202	VLA17-4.1-003-TO1.3	64,465	Lubbeek	Borgloon	Kerkom	Oligocean		470,60	3,43	154,00	670,00	1248,00	824,50
VPO2020_203	VLA17-4.1-003-TO1.4	65,83	Lubbeek	Borgloon	Kerkom	Oligocean		340,90	2,12	204,90	356,40	628,10	356,10
VPO2020_204	VLA17-4.1-003-TO5	66,25	Lubbeek	Borgloon	Kerkom Heide	Oligocean	39,6	116,40	4,83	8,16	190,10	410,80	295,50
VPO2020_205	VLA17-4.1-003-TO5	66,35	Lubbeek	Borgloon	Kerkom Heide	Oligocean		100,80	3,90	12,10	146,10	285,60	153,80
VPO2020_206	VLA17-4.1-003-TO5	67,05	Lubbeek	Borgloon	Kerkom Heide	Oligocean		179,80	2,26	99,94	161,70	466,30	140,10



Staalnaam	Boring	Hoogte (mTAW)	Locatie	Formatie	Lid	Tijdvak	Fractie >2mm	Mean	SD	d10	d50	d90	Mode
VPO2020_207	VLA17-4.1-003-TO5	67,75	Lubbeek	Bilzen	Berg	Oligoceen		47,55	12,28	1,30	143,20	644,80	567,70
VPO2020_208	VLA17-4.1-003-TO5	68,05	Lubbeek	Bilzen	Berg	Oligoceen		150,60	2,18	102,50	160,40	270,40	153,80
VPO2020_209	VLA17-4.1-003-TO4	71,25	Lubbeek	Bilzen	Berg	Oligoceen		145,90	3,19	81,98	166,90	404,90	153,80
VPO2020_210	VLA17-4.1-003-TO4	72,25	Lubbeek	Bilzen	Berg	Oligoceen		61,31	4,69	4,52	119,90	192,90	140,10
VPO2020_211	VLA17-4.1-003-TO3	73,9	Lubbeek	Boom	Terhagen	Oligoceen		36,10	5,31	2,43	84,34	146,20	116,30
VPO2020_212	VLA17-4.1-003-TO3	77,7	Lubbeek	Boom	Terhagen	Oligoceen		13,98	5,08	1,57	17,09	93,77	72,94
VPO2020_213	VLA17-4.1-004-TO1	11,3	Aarschot	Diest	Diest Hageland	Mioceen		172,90	4,01	56,45	248,40	444,60	269,20
VPO2020_214	VLA17-4.1-004-TO3	20,15	Aarschot	Diest	Diest Hageland	Mioceen		174,90	2,52	133,90	206,20	289,50	203,50
VPO2020_215	VLA17-4.1-004-TO6	18,38	Aarschot	Diest	Diest Hageland	Mioceen		152,90	3,06	121,00	190,90	267,30	203,50
VPO2020_216	VLA17-4.1-004-TO11	15,24	Aarschot	Diest	Diest Hageland	Mioceen		14,40	7,86	0,97	13,42	217,10	185,40
VPO2020_217	VLA17-4.1-006-TO2.7	53	Diest	Diest	Diest Hageland	Mioceen		45,47	8,87	1,35	125,70	349,70	168,90
VPO2020_218	VLA17-4.1-006-TO2.7	53,76	Diest	Diest	Diest Hageland	Mioceen		56,62	9,70	1,38	142,50	501,60	390,90
VPO2020_219	VLA17-4.1-006-TO2.7	54,49	Diest	Diest	Diest Hageland	Mioceen		137,40	5,60	9,59	240,90	458,10	269,20
VPO2020_220	VLA17-4.1-006-TO2.1	55,57	Diest	Diest	Diest Hageland	Mioceen		106,50	8,42	2,38	240,40	657,40	356,10
VPO2020_221	VLA17-4.1-007-TO6	21,98	Beerse	Weelde	Rijkevorsel	Pleistoceen		11,92	5,29	1,49	11,95	98,18	18,00
VPO2020_222	VLA17-4.1-007-TO2	23,53	Beerse	Weelde	Beerse	Pleistoceen		110,60	2,40	59,80	127,70	223,30	140,10
VPO2020_223	VLA17-4.1-007-TO2	23,88	Beerse	Weelde	Beerse	Pleistoceen		109,10	2,95	39,09	137,60	268,40	153,80
VPO2020_224	VLA17-4.1-007-TO1	24,11	Beerse	Weelde	Beerse	Pleistoceen		100,20	4,32	14,22	138,50	423,50	185,40
VPO2020_225	VLA17-4.1-007-TO1	24,68	Beerse	Weelde	Turnhout	Pleistoceen		5,83	3,99	1,13	5,58	37,47	5,35
VPO2020_226	VLA17-4.1-007-TO1	25,24	Beerse	Weelde	Turnhout	Pleistoceen		17,43	4,42	2,15	20,77	91,32	41,68
VPO2020_227	VLA17-4.1-007-TO1	25,59	Beerse	Ravels	Ravels	Pleistoceen		73,03	4,48	8,58	103,30	321,20	203,50



Staalnaam	Boring	Hoogte (mTAW)	Locatie	Formatie	Lid	Tijdvak	Fractie >2mm	Mean	SD	d10	d50	d90	Mode
VPO2020_2 28	VLA17-4.1-007- TO3	26,34	Beerse	Ravels	Ravels	Pleistoce en		186,50	2,63	84,71	214,10	422,60	223,40
VPO2020_2 29	VLA17-4.1-008- TO1	12,44	Egem	Tielt	Kortemark	Eocene		6,32	3,60	1,36	6,30	34,88	5,35
VPO2020_2 30	VLA17-4.1-008- TO1	12,52	Egem	Tielt	Kortemark	Eocene		36,51	3,58	4,93	62,65	108,20	80,07
VPO2020_2 31	VLA17-4.1-008- TO3	33,2	Egem	Hyon	Egem	Eocene		60,82	2,36	32,27	73,24	115,10	72,94
VPO2020_2 32	VLA17-4.1-008- TO3	33,91	Egem	Hyon	Egem	Eocene		59,70	3,23	13,24	78,19	156,20	80,07
VPO2020_2 33	VLA17-4.1-008- TO3	34,45	Egem	Hyon	Egem	Eocene		82,30	2,07	55,09	93,25	140,90	96,49
VPO2020_2 34	VLA17-4.1-008- TO4	31,13	Egem	Hyon	Egem	Eocene		57,15	3,23	11,39	78,78	158,90	80,07
VPO2020_2 35	VLA17-4.1-008- TO5	43,35	Egem	Hyon	Egem	Eocene		74,29	4,13	6,78	144,10	209,30	168,90
VPO2020_2 36	VLA17-4.1-008- TO5	44,28	Egem	Gentbrugge	Pittem	Eocene		30,00	6,54	2,45	39,20	275,00	223,40
VPO2020_2 37	VLA17-4.1-008- TO5	45,18	Egem	Gentbrugge	Pittem	Eocene		12,32	3,16	2,90	13,42	47,02	19,76
VPO2020_2 38	VLA17-4.1-009- TO3	87,89	Riemst	Maastricht	Emael	Krijt		50,89	5,74	2,67	108,00	228,80	153,80
VPO2020_2 39	VLA17-4.1-009- TO3	91,3	Riemst	Maastricht	Nekum	Krijt		100,80	5,28	6,68	161,30	398,60	168,90
VPO2020_2 40	VLA17-4.1-009- TO3	91,9	Riemst	Maastricht	Nekum	Krijt		75,43	4,89	5,96	127,60	259,10	140,10
VPO2020_2 41	VLA17-4.1-009- TO1.1	77,4	Riemst	Maastricht	Gronsveld	Krijt		77,44	3,92	11,87	118,40	209,30	140,10
VPO2020_2 42	VLA17-4.1-009- TO1.5	83,93	Riemst	Maastricht	Emael	Krijt		20,49	6,99	1,28	24,39	204,30	153,80
VPO2020_2 43	VLA17-4.1-010- TO8	79,88	Volkegem	Hyon	Egem	Eocene		32,19	6,13	2,34	54,16	208,20	153,80
VPO2020_2 44	VLA17-4.1-010- TO9	80,5	Volkegem	Hyon	Egem	Eocene		33,41	6,24	2,27	61,47	218,10	153,80
VPO2020_2 45	VLA17-4.1-010- TO8	80,23	Volkegem	Gembloux	Brabant	Quartair		35,84	4,02	4,75	45,79	169,30	50,22
VPO2020_2 46	VLA17-4.1-010- TO9	81,12	Volkegem	Gembloux	Brabant	Quartair		26,43	6,88	1,77	38,92	219,50	185,40
VPO2020_2 47	VLA17-4.1-010- TO4	84,8	Volkegem	Gembloux	Brabant	Quartair		21,57	3,80	3,14	28,71	72,86	37,97
VPO2020_2 48	VLA17-4.1-010- TO4	85,4	Volkegem	Gembloux	Brabant	Quartair		20,10	4,15	2,31	28,03	76,74	37,97



Staalnaam	Boring	Hoogte (mTAW)	Locatie	Formatie	Lid	Tijdvak	Fractie >2mm	Mean	SD	d10	d50	d90	Mode
VPO2020_2 49	VLA17-4.1-010- TO4	86,3	Volkegem	Gembloux	Brabant	Quartair		18,90	4,50	1,90	27,87	80,77	41,68
VPO2020_2 50	VLA17-4.1-010- TO2	81,1	Volkegem	Gembloux	Brabant	Quartair		27,11	3,54	5,06	36,75	76,25	45,75
2314	TO-20210416-1	88,705	Saintes	Mons-en-Pevele	Mons-en-Pevele	Eocene		104,31	41,28	58,20	100,08	159,42	111,01
2313	TO-20210416-1	88,705	Saintes	Mons-en-Pevele	Mons-en-Pevele	Eocene		99,12	40,81	53,74	95,70	152,44	111,01
2312	TO-20210416-1	89,385	Saintes	Mons-en-Pevele	Mons-en-Pevele	Eocene		8,59	8,87	1,55	4,84	21,87	3,61
2311	TO-20210416-1	90,285	Saintes	Mons-en-Pevele	Mons-en-Pevele	Eocene		30,40	29,78	2,67	17,98	75,35	64,99
2310	TO-20210416-1	91,14	Saintes	Mons-en-Pevele	Mons-en-Pevele	Eocene		90,89	43,15	38,33	89,19	146,87	99,73
2309	TO-20210416-1	91,425	Saintes	Mons-en-Pevele	Mons-en-Pevele	Eocene		79,79	38,22	31,62	77,86	130,02	89,61
2308	TO-20210416-1	91,665	Saintes	Mons-en-Pevele	Mons-en-Pevele	Eocene		92,88	36,21	52,11	89,12	141,33	99,73
2307	TO-20210416-1	91,795	Saintes	Mons-en-Pevele	Mons-en-Pevele	Eocene		8,37	6,83	2,06	5,81	18,71	4,47
2306	TO-20210416-1	92,19	Saintes	Mons-en-Pevele	Mons-en-Pevele	Eocene		80,76	40,33	14,14	80,72	131,95	89,61
2305	TO-20210416-1	92,695	Saintes	Mons-en-Pevele	Mons-en-Pevele	Eocene		79,52	40,74	16,01	79,19	131,86	89,61
2304	TO-20210416-1	93,025	Saintes	Mons-en-Pevele	Mons-en-Pevele	Eocene		90,35	35,48	50,82	87,22	136,83	99,73
2325	TO-20210416-1b	88,255	Saintes	Mons-en-Pevele	Mons-en-Pevele	Eocene		104,93	44,80	55,07	101,49	164,02	111,01
2326	TO-20210416-1b	87,58	Saintes	Mons-en-Pevele	Mons-en-Pevele	Eocene		98,25	41,38	52,17	94,56	152,55	111,01
2327	TO-20210416-1b	86,93	Saintes	Mons-en-Pevele	Mons-en-Pevele	Eocene		93,66	38,69	50,27	89,99	145,37	99,73
2328	TO-20210416-1b	86,355	Saintes	Mons-en-Pevele	Mons-en-Pevele	Eocene		96,88	39,80	53,13	94,16	148,90	99,73
2329	TO-20210416-1b	85,705	Saintes	Mons-en-Pevele	Mons-en-Pevele	Eocene		92,14	35,77	52,08	88,54	139,62	99,73
2330	TO-20210416-1b	84,955	Saintes	Mons-en-Pevele	Mons-en-Pevele	Eocene		89,88	39,36	45,98	87,30	141,19	99,73
2331	TO-20210416-1b	84,255	Saintes	Mons-en-Pevele	Mons-en-Pevele	Eocene		81,53	40,00	14,20	81,71	131,98	89,61
2324	TO-20210416-2	89,62	Saintes	Mons-en-Pevele	Mons-en-Pevele	Eocene		99,14	39,77	54,63	95,37	151,66	111,01
2323	TO-20210416-2	90,205	Saintes	Mons-en-Pevele	Mons-en-Pevele	Eocene		8,09	7,93	1,60	4,80	20,08	3,61
2322	TO-20210416-2	90,95	Saintes	Mons-en-Pevele	Mons-en-Pevele	Eocene		37,27	32,06	3,19	30,36	83,46	64,99
2321	TO-20210416-2	91,585	Saintes	Mons-en-Pevele	Mons-en-Pevele	Eocene		68,18	44,85	7,07	67,28	128,22	89,61
2320	TO-20210416-2	91,675	Saintes	Mons-en-Pevele	Mons-en-Pevele	Eocene		72,96	38,17	14,73	72,36	122,05	89,61
2319	TO-20210416-2	91,84	Saintes	Mons-en-Pevele	Mons-en-Pevele	Eocene		87,11	33,77	48,96	83,94	132,29	89,61
2318	TO-20210416-2	92,04	Saintes	Mons-en-Pevele	Mons-en-Pevele	Eocene		37,03	34,57	3,06	25,41	88,56	72,34
2317	TO-20210416-2	92,15	Saintes	Mons-en-Pevele	Mons-en-Pevele	Eocene		33,77	28,53	3,48	26,82	75,51	58,39



Staalnaam	Boring	Hoogte (mTAW)	Locatie	Formatie	Lid	Tijdvak	Fractie >2mm	Mean	SD	d10	d50	d90	Mode
2316	TO-20210416-2	92,515	Saintes	Mons-en-Pevele	Mons-en-Pevele	Eocene		79,71	42,16	14,27	79,41	133,90	99,73
2315	TO-20210416-2	93,515	Saintes	Kruishoutem	Kruishoutem	Quartair	38,6	29,82	26,08	3,44	22,69	68,06	38,05
2341	TO-20210416-3	88,755	Saintes	Mons-en-Pevele	Mons-en-Pevele	Eocene		96,26	39,96	51,88	92,78	149,17	99,73
2340	TO-20210416-3	88,755	Saintes	Mons-en-Pevele	Mons-en-Pevele	Eocene		95,41	43,51	45,93	93,15	151,55	111,01
2339	TO-20210416-3	89,485	Saintes	Mons-en-Pevele	Mons-en-Pevele	Eocene		13,49	14,31	2,02	7,08	34,74	4,47
2338	TO-20210416-3	90,325	Saintes	Mons-en-Pevele	Mons-en-Pevele	Eocene		51,30	38,21	4,28	49,96	103,48	80,51
2337	TO-20210416-3	91,155	Saintes	Mons-en-Pevele	Mons-en-Pevele	Eocene		77,75	39,64	17,47	77,06	129,04	89,61
2336	TO-20210416-3	91,44	Saintes	Mons-en-Pevele	Mons-en-Pevele	Eocene		83,29	33,61	45,47	80,22	128,08	89,61
2335	TO-20210416-3	91,685	Saintes	Mons-en-Pevele	Mons-en-Pevele	Eocene		37,20	33,98	3,30	26,56	87,65	72,34
2334	TO-20210416-3	92,18	Saintes	Mons-en-Pevele	Mons-en-Pevele	Eocene		79,17	41,49	13,53	79,12	132,36	89,61
2333	TO-20210416-3	92,61	Saintes	Kruishoutem	Kruishoutem	Quartair	10,6	20,31	17,95	2,79	15,30	46,05	30,72
2332	TO-20210416-3	93,635	Saintes	Kruishoutem	Kruishoutem	Quartair	16,5	65,77	64,13	3,45	44,70	158,69	123,55
2348	TO-20210416-4	88,99	Saintes	Mons-en-Pevele	Mons-en-Pevele	Eocene		108,75	41,27	62,21	104,58	163,99	111,01
2347	TO-20210416-4	88,99	Saintes	Mons-en-Pevele	Mons-en-Pevele	Eocene		96,41	39,76	51,78	92,28	149,58	99,73
2346	TO-20210416-4	89,655	Saintes	Mons-en-Pevele	Mons-en-Pevele	Eocene		11,49	12,22	1,88	6,12	29,41	4,02
2345	TO-20210416-4	90,44	Saintes	Mons-en-Pevele	Mons-en-Pevele	Eocene		41,99	35,71	3,45	34,97	93,20	72,34
2344	TO-20210416-4	91,265	Saintes	Mons-en-Pevele	Mons-en-Pevele	Eocene		82,69	41,67	23,48	81,52	136,33	99,73
2343	TO-20210416-4	91,42	Saintes	Mons-en-Pevele	Mons-en-Pevele	Eocene		47,67	39,63	3,66	41,49	103,93	80,51
2342	TO-20210416-4	91,93	Saintes	hellingsmateriaal	hellingsmateriaal	Quartair		55,21	38,62	5,64	52,27	108,14	80,51
2681	TO-20220310-1	49	Diegem	Quartair	Quartair	Quartair		58,52	55,52	4,22	39,32	141,99	111,01
2683	TO-20220310-1	48,42	Diegem	Lede	Lede	Eocene		101,46	54,21	17,42	100,34	170,81	123,55
2684	TO-20220310-1	47,7	Diegem	Brussel	Machelen	Eocene		196,99	96,43	83,30	194,87	319,48	234,87
2685	TO-20220310-1	47,82	Diegem	Lede	Lede	Eocene		180,87	92,87	72,36	175,86	302,62	211,02
2686	TO-20220310-1	46,92	Diegem	Brussel	Machelen	Eocene		166,29	101,00	6,86	170,82	293,55	211,02
2687	TO-20220310-1	46,2	Diegem	Brussel	Machelen	Eocene		189,46	100,91	11,06	193,13	314,71	234,87
2688	TO-20220310-1	45,54	Diegem	Brussel	Machelen	Eocene		176,57	100,11	10,79	179,02	303,90	211,02
2689	TO-20220310-1	45,25	Diegem	Brussel	Machelen	Eocene		175,02	104,78	7,76	177,40	309,68	234,87
2690	TO-20220310-1	44,68	Diegem	Brussel	Machelen	Eocene		194,16	102,92	10,68	197,60	321,01	234,87
2691	TO-20220310-1	43,89	Diegem	Brussel	Machelen	Eocene		196,12	105,81	7,79	201,22	325,16	234,87



Staalnaam	Boring	Hoogte (mTAW)	Locatie	Formatie	Lid	Tijdvak	Fractie >2mm	Mean	SD	d10	d50	d90	Mode
2692	TO-20220310-1b	46,03	Diegem	Lede	Lede	Eoceen		174,63	90,53	69,71	168,25	293,53	189,60
2693	TO-20220310-2	47,47	Diegem	Lede	Lede	Eoceen		114,59	50,91	58,89	111,01	181,25	123,55
2694	TO-20220310-2	47,87	Diegem	Lede	Lede	Eoceen		108,70	52,08	49,74	106,04	176,24	123,55
2695	TO-20220310-2	46,44	Diegem	Brussel	Machelen	Eoceen		217,41	99,93	104,90	217,67	342,06	234,87
2696	TO-20220310-2	45,66	Diegem	Brussel	Machelen	Eoceen		216,79	98,38	108,10	214,26	342,25	234,87
2697	TO-20220310-2	45,34	Diegem	Brussel	Machelen	Eoceen		206,38	100,90	79,06	205,48	334,08	234,87
2698	TO-20220310-2	44,6	Diegem	Brussel	Machelen	Eoceen		158,28	101,63	5,76	163,96	287,36	211,02
2699	TO-20220310-3	47,8	Diegem	Lede	Lede	Eoceen		182,51	101,85	14,11	183,91	312,51	234,87
2700	TO-20220310-3	46,96	Diegem	Lede	Lede	Eoceen		182,69	100,50	13,69	185,13	309,82	234,87
2702	TO-20220310-3	47	Diegem	Brussel	Machelen	Eoceen		187,06	104,53	10,11	190,72	317,75	234,87
2730	TO-20220516-1	23,03	Lichtaart	Kasterlee	Lichtaart	Mioceen		199,07	79,40	112,58	193,03	303,27	211,02
2731	TO-20220516-1	23,31	Lichtaart	Lillo	Hukkelberg	Plioceen	30,4	158,35	100,86	6,36	167,17	284,32	211,02
2732	TO-20220516-1	23,51	Lichtaart	Lillo	Poederlee	Plioceen		111,50	92,13	4,69	117,05	234,62	189,60
2733	TO-20220516-2	23,02	Lichtaart	Kasterlee	Lichtaart	Mioceen		191,24	82,14	103,92	189,03	293,83	211,02
2734	TO-20220516-2	23,76	Lichtaart	Lillo	Poederlee	Plioceen		174,33	86,36	32,53	173,80	283,57	211,02
2735	TO-20220516-2	24,25	Lichtaart	Lillo	Poederlee	Plioceen		187,19	78,24	101,85	182,18	288,12	211,02
2736	TO-20220516-2	25,4	Lichtaart	Lillo	Poederlee	Plioceen		195,58	78,30	109,74	188,70	298,69	211,02
2737	TO-20220516-3	25,57	Lichtaart	Lillo	Poederlee	Plioceen		171,49	70,78	95,55	167,85	261,10	189,60
2738	TO-20220516-3	26,06	Lichtaart	Lillo	Poederlee	Plioceen		170,82	89,98	17,06	173,00	283,29	211,02
2739	TO-20220516-3	26,34	Lichtaart	Lillo	Poederlee	Plioceen		101,29	85,53	3,53	106,31	216,22	170,35
2740	TO-20220516-3	27,82	Lichtaart	Lillo	Poederlee	Plioceen		101,30	85,46	3,91	95,54	219,88	170,35
2741	TO-20220516-3	25,74	Lichtaart	Lillo	Poederlee	Plioceen		173,89	80,57	80,46	173,64	275,02	189,60
2660	TO-20220405-1.1	58,72	Kerkom	Borgloon	Kerkom	Oligocean	0,2	230,90	89,29	127,64	218,83	353,10	234,87
2661	TO-20220405-1.1	58,33	Kerkom	Borgloon	Kerkom	Oligocean		300,85	112,29	173,70	288,09	450,97	323,84
2662	TO-20220405-1.1	57,87	Kerkom	Borgloon	Kerkom	Oligocean		383,83	135,18	231,04	369,16	564,72	401,16
2663	TO-20220405-1.1	57,59	Kerkom	Borgloon	Kerkom	Oligocean		233,02	146,29	3,58	252,88	407,34	323,84
2664	TO-20220405-1.1	57,33	Kerkom	Sint-Huibrechts-Hern	Grimmertingen	Oligocean		130,22	57,22	67,39	127,32	204,19	137,51



Staalnaam	Boring	Hoogte (mTAW)	Locatie	Formatie	Lid	Tijdvak	Fractie >2mm	Mean	SD	d10	d50	d90	Mode
2665	TO-20220405-1.1	57,24	Kerkom	Sint-Huibrechts-Hern	Grimmertingen	Oligocean		131,48	58,05	67,59	128,40	206,41	137,51
2666	TO-20220405-1.2	59,64	Kerkom	Quartair	Quartair	Quartair		117,79	91,38	4,07	118,18	240,71	189,60
2667	TO-20220405-1.2	59,28	Kerkom	Borgloon	Kerkom	Oligocean		201,12	94,70	96,90	197,94	320,97	234,87
2668	TO-20220405-1.2	58,93	Kerkom	Borgloon	Kerkom	Oligocean		268,53	113,18	141,16	249,79	424,97	261,41
2669	TO-20220405-2.1	59,46	Kerkom	Borgloon	Kerkom	Oligocean		400,72	169,64	211,87	374,27	621,71	401,16
2670	TO-20220405-2.1	58,16	Kerkom	Borgloon	Kerkom	Oligocean		379,63	164,66	195,49	353,58	598,87	401,16
2671	TO-20220405-2.1	57,56	Kerkom	Borgloon	Kerkom	Oligocean		347,27	146,84	179,60	324,65	544,71	360,43
2672	TO-20220405-3	59,63	Kerkom	Antropogeen	Antropogeen	Quartair	0,7	64,66	61,13	3,26	47,06	155,31	123,55
2673	TO-20220405-3	58,74	Kerkom	Quartair	Quartair	Quartair		118,80	75,83	17,15	115,15	221,21	153,05
2674	TO-20220405-3	58,69	Kerkom	Quartair	Quartair	Quartair		66,12	60,81	3,40	50,12	155,13	123,55
2675	TO-20220405-3	58,75	Kerkom	Quartair	Quartair	Quartair		144,97	86,09	15,55	144,63	256,94	189,60
2676	TO-20220405-3	58,19	Kerkom	Quartair	Quartair (basisgrind)	Quartair	63,7	171,09	117,42	5,72	165,61	328,53	234,87
2677	TO-20220405-3	58,01	Kerkom	Quartair	Quartair (basisgrind)	Quartair	49,3	106,41	86,11	4,21	98,48	226,33	170,35
2678	TO-20220405-3	57,58	Kerkom	Borgloon	Kerkom	Oligocean		302,27	115,30	167,56	286,18	461,03	323,84
2679	TO-20220405-3	57,26	Kerkom	Borgloon	Kerkom	Oligocean		251,30	100,17	137,43	237,22	388,55	261,41
2680	TO-20220405-3	56,69	Kerkom	Borgloon	Kerkom	Oligocean		48,22	96,74	2,14	9,66	227,46	4,02
D1	HOB 20190617	35,5	Heist-op-den-Berg	Diest	Diest Kempen	Mioceen		249,78	243,56	2,86	283,46	574,20	496,96
Ha1	HOB 20190617	35,8	Heist-op-den-Berg	Kasterlee	Hallaar	Mioceen		82,14	73,48	2,98	74,36	185,28	137,51
Ha3	HOB 20190617	37,5	Heist-op-den-Berg	Kasterlee	Hallaar	Mioceen	1,1	96,83	74,30	4,10	96,64	197,35	153,05
B3	HOB 20190617	39,3	Heist-op-den-Berg	Kasterlee	Beerzel	Mioceen		148,26	98,38	6,00	156,90	273,01	211,02
B8	HOB 20190617	40,7	Heist-op-den-Berg	Kasterlee	Beerzel	Mioceen		172,81	94,69	15,45	176,01	290,27	211,02
B11	HOB 20190617	41,6	Heist-op-den-Berg	Kasterlee	Beerzel	Mioceen		179,99	90,85	24,20	181,22	292,77	211,02
B14	HOB 20190617	42,2	Heist-op-den-Berg	Kasterlee	Beerzel	Mioceen		198,53	82,61	108,00	193,04	306,54	211,02
H3	HOB 20190617	43,2	Heist-op-den-Berg	Kasterlee	Heist-op-den-Berg	Mioceen		148,41	95,74	5,98	157,61	267,86	189,60
H4	HOB 20190617	43,5	Heist-op-den-Berg	Kasterlee	Heist-op-den-Berg	Mioceen		11,44	10,32	2,04	7,34	26,91	22,28



Staalnaam	Boring	Hoogte (mTAW)	Locatie	Formatie	Lid	Tijdvak	Fractie >2mm	Mean	SD	d10	d50	d90	Mode
H5	HOB 20190617	43,7	Heist-op-den-Berg	Kasterlee	Heist-op-den-Berg	Mioceen		104,09	90,45	4,03	101,80	228,83	189,60
TT_1	1508-B2022-00843-B2	5,45	Brussel	Zemst	Zemst	Quartair		342,71	169,79	11,42	354,97	543,69	385,51
TT_2	1508-B2022-00843-B2	4,95	Brussel	Kortrijk	Orchies	Eoceen		31,41	25,58	4,18	25,64	68,49	53,27
TT_4	1508-B2022-00843-B2	2,95	Brussel	Kortrijk	Orchies	Eoceen		35,90	34,37	3,63	22,12	88,07	74,09
TT_6	1508-B2022-00843-B2	0,95	Brussel	Kortrijk	Orchies	Eoceen		47,17	33,68	5,46	44,74	93,46	65,47
TT_7	1508-B2022-00843-B2	0,45	Brussel	Kortrijk	Orchies	Eoceen		52,00	34,94	5,36	53,66	97,79	71,10
TT_8	1508-B2022-00843-B2	-0,05	Brussel	Kortrijk	Orchies	Eoceen		41,09	27,38	5,56	40,47	78,07	55,51
TT_9	1508-B2022-00843-B2	-0,55	Brussel	Kortrijk	Orchies	Eoceen		54,74	28,65	12,57	54,47	92,10	62,82
TT_10	1508-B2022-00843-B2	-1,3	Brussel	Kortrijk	Orchies	Eoceen		19,04	16,21	3,10	13,85	42,91	32,48
TT_11	1508-B2022-00843-B2	-2,05	Brussel	Kortrijk	Orchies	Eoceen		46,59	33,36	4,74	47,11	91,37	68,22
TT_12	1508-B2022-00843-B2	-2,55	Brussel	Kortrijk	Orchies	Eoceen		29,83	24,01	3,67	26,15	63,87	49,05
TT_13	1508-B2022-00843-B2	-3,05	Brussel	Kortrijk	Orchies	Eoceen		50,48	25,15	14,15	49,96	83,31	55,51
TT_14	1508-B2022-00843-B2	-3,55	Brussel	Kortrijk	Orchies	Eoceen		50,70	28,48	8,23	50,78	87,73	60,29
TT_15	1508-B2022-00843-B2	-4,05	Brussel	Kortrijk	Orchies	Eoceen		50,37	28,78	7,56	50,72	87,71	60,29
TT_16	1508-B2022-00843-B2	-4,55	Brussel	Kortrijk	Orchies	Eoceen		32,66	28,21	3,62	24,93	73,90	57,85
TT_17	1508-B2022-00843-B2	-5,8	Brussel	Kortrijk	Orchies	Eoceen		40,24	31,88	4,16	38,17	84,53	65,47
TT_18	1508-B2022-00843-B2	-7,05	Brussel	Kortrijk	Orchies	Eoceen		41,71	28,29	4,72	43,01	78,91	57,85
TT_19	1508-B2022-00843-B2	-7,55	Brussel	Kortrijk	Orchies	Eoceen		38,97	25,38	5,11	39,63	72,25	51,12
TT_20	1508-B2022-00843-B2	-8,3	Brussel	Kortrijk	Orchies	Eoceen		38,85	28,08	4,60	38,68	77,00	55,51
TT_21	1508-B2022-00843-B2	-9,05	Brussel	Kortrijk	Orchies	Eoceen		37,64	27,34	4,58	36,77	75,03	55,51
TT_22	1508-B2022-00843-B2	-9,55	Brussel	Kortrijk	Orchies	Eoceen		32,91	26,06	3,71	33,54	68,43	51,12



Staalnaam	Boring	Hoogte (mTAW)	Locatie	Formatie	Lid	Tijdvak	Fractie >2mm	Mean	SD	d10	d50	d90	Mode
TT_23	1508-B2022-00843-B2	-10,55	Brussel	Kortrijk	Orchies	Eocene		25,94	19,04	4,31	23,05	52,85	38,30
TT_25	1508-B2022-00843-B2	-12,55	Brussel	Kortrijk	Orchies	Eocene		18,94	14,44	3,61	15,58	39,87	27,54
TT_27	1508-B2022-00843-B2	-14,55	Brussel	Kortrijk	Orchies	Eocene		6,24	3,95	2,37	5,28	11,43	5,29
TT_28	1508-B2022-00843-B2	-14,8	Brussel	Kortrijk	Orchies	Eocene		5,10	2,49	2,32	4,64	8,57	4,87
TT_29	1508-B2022-00843-B2	-15,8	Brussel	Kortrijk	Orchies	Eocene		19,54	18,58	3,05	11,91	47,61	35,27
TT_30	1508-B2022-00843-B2	-17,05	Brussel	Kortrijk	Orchies	Eocene		46,49	45,35	3,19	15,28	109,79	87,37
TT_31	1508-B2022-00843-B2	-17,55	Brussel	Kortrijk	Orchies	Eocene		35,88	29,77	4,32	28,67	79,16	60,29
TT_32	1508-B2022-00843-B2	-18,55	Brussel	Kortrijk	Orchies	Eocene		43,06	34,29	4,11	39,19	91,09	68,22
TT_33	1508-B2022-00843-B2	-18,8	Brussel	Kortrijk	Orchies	Eocene		22,20	20,08	3,28	15,13	52,21	38,30
TT_34	1508-B2022-00843-B2	-19,05	Brussel	Kortrijk	Orchies	Eocene		23,93	26,44	2,11	8,29	64,40	53,27
TT_35	1508-B2022-00843-B2	-19,55	Brussel	Kortrijk	Orchies	Eocene		23,90	23,78	2,25	11,37	59,31	47,07
TT_36	1508-B2022-00843-B2	-20,8	Brussel	Kortrijk	Orchies	Eocene		5,95	4,53	1,92	4,51	12,25	4,13
TT_37	1508-B2022-00843-B2	-22,05	Brussel	Kortrijk	Orchies	Eocene		31,59	26,73	2,34	31,08	68,48	51,12
TT_38	1508-B2022-00843-B2	-22,55	Brussel	Kortrijk	Orchies	Eocene		37,50	27,90	3,39	38,09	75,02	55,51
TT_39	1508-B2022-00843-B2	-23,8	Brussel	Kortrijk	Orchies	Eocene		23,89	22,83	2,69	15,24	58,30	47,07
TT_40	1508-B2022-00843-B2	-25,05	Brussel	Kortrijk	Orchies	Eocene		40,01	30,33	3,98	37,77	81,95	60,29
TT_41	1508-B2022-00843-B2	-25,55	Brussel	Kortrijk	Orchies	Eocene		33,15	27,63	3,27	28,97	72,22	55,51
TT_42	1508-B2022-00843-B2	-26,8	Brussel	Kortrijk	Orchies	Eocene		11,42	10,71	2,36	6,87	27,61	4,49
TT_44	1508-B2022-00843-B2	-28,8	Brussel	Kortrijk	Orchies	Eocene		44,42	31,28	4,06	45,13	86,20	62,82
TT_46	1508-B2022-00843-B2	-31,05	Brussel	Kortrijk	Orchies	Eocene		41,89	31,76	3,59	40,13	85,70	62,82
TT_47	1508-B2022-00843-B2	-31,55	Brussel	Kortrijk	Orchies	Eocene		49,86	36,62	2,93	49,82	98,74	71,10



Staalnaam	Boring	Hoogte (mTAW)	Locatie	Formatie	Lid	Tijdvak	Fractie >2mm	Mean	SD	d10	d50	d90	Mode
TT_48	1508-B2022-00843-B2	-32,55	Brussel	Kortrijk	Orchies	Eoceen		42,21	31,27	4,01	42,07	84,70	62,82
TT_49	1508-B2022-00843-B2	-33,55	Brussel	Kortrijk	Orchies	Eoceen		49,89	36,01	4,59	50,25	98,21	74,09
TT_50	1508-B2022-00843-B2	-34,05	Brussel	Kortrijk	Orchies	Eoceen		42,00	30,33	4,68	40,83	83,53	60,29
TT_51	1508-B2022-00843-B2	-34,8	Brussel	Kortrijk	Orchies	Eoceen		20,06	22,44	2,47	8,62	55,69	4,31
TT_52	1508-B2022-00843-B2	-35,8	Brussel	Kortrijk	Orchies	Eoceen		60,28	34,59	5,32	62,62	103,63	74,09
TT_53	1508-B2022-00843-B2	-36,55	Brussel	Kortrijk	Orchies	Eoceen		23,63	22,41	3,19	15,91	56,48	35,27
TT_54	1508-B2022-00843-B2	-36,8	Brussel	Kortrijk	Orchies	Eoceen		24,33	30,27	2,33	8,77	70,48	3,97
TT_55	1508-B2022-00843-B2	-37,05	Brussel	Hannut	Grandglise	Paleocce n		110,25	50,71	49,41	109,05	175,45	116,61
TT_57	1508-B2022-00843-B2	-39,05	Brussel	Hannut	Grandglise	Paleocce n		101,33	56,87	5,90	103,58	172,24	116,61
TT_58	1508-B2022-00843-B2	-40,05	Brussel	Hannut	Grandglise	Paleocce n		98,01	48,72	24,82	97,55	160,81	107,38
TT_59	1508-B2022-00843-B2	-40,55	Brussel	Hannut	Grandglise	Paleocce n		85,52	47,11	16,69	85,48	147,03	103,04
TT_60	1508-B2022-00843-B2	-42,05	Brussel	Hannut	Grandglise	Paleocce n		81,56	48,17	10,71	82,49	144,49	103,04
TT_61	1508-B2022-00843-B2	-42,55	Brussel	Hannut	Grandglise	Paleocce n		83,95	49,13	5,95	87,21	145,85	103,04
TT_63	1508-B2022-00843-B2	-44,55	Brussel	Hannut	Halen	Paleocce n		55,18	34,56	7,19	54,02	101,43	71,10
TT_64	1508-B2022-00843-B2	-46,05	Brussel	Hannut	Halen	Paleocce n		45,84	32,45	4,50	43,59	90,16	62,82
AR10	TO-20190417	1,39	Antwerpen	Berchem	Antwerpen	Mioceen		203,4	119,4	37,4	201	359,7	244,9
AR12	TO-20190417	1,74	Antwerpen	Berchem	Antwerpen	Mioceen		213,9	111,7	68,9	207,6	361	235
AR4	TO-20190417	-1,26	Antwerpen	Berchem	Kiel	Mioceen		229,8	101,2	116,7	219,1	365,1	235
AR8	TO-20190417	0,79	Antwerpen	Berchem	Kiel	Mioceen		227,6	106,3	107	222,1	365,5	244,9
PB7	TO-20150105A	10,71	Antwerpen	Berchem	Antwerpen	Mioceen		129,1	77,9	15,8	128,1	231,5	162,2
PX2	TO-20150701	1,2	Antwerpen	Berchem	Kiel	Mioceen		234,6	95,4	127,8	224,1	361,4	235
PX3	TO-20150701	1,55	Antwerpen	Berchem	Kiel	Mioceen		231,4	91,3	127,8	220,7	354,9	225,5
PX4	TO-20150701	1,8	Antwerpen	Berchem	Antwerpen	Mioceen		214,9	113,6	67,4	207,5	366,4	244,9



Staalnaam	Boring	Hoogte (mTAW)	Locatie	Formatie	Lid	Tijdvak	Fractie >2mm	Mean	SD	d10	d50	d90	Mode
PX5	TO-20150701	2,1	Antwerpen	Berchem	Antwerpen	Mioceen		210,1	120,7	51	204,2	371,6	255,2
PX7	TO-20150701	3,75	Antwerpen	Berchem	Antwerpen	Mioceen		167,3	87,9	27,9	168,7	278,7	191,26
PX8	TO-20150701	5,25	Antwerpen	Berchem	Antwerpen	Mioceen		193,8	79,5	106,8	188,2	297,9	199,3
Ru1	TO-20220706-1	-0,45	Antwerpen	Berchem	Kiel	Mioceen		244,23	96,26	139,1	235,85	371,81	244,94
Ru11	TO-20220706-1	1,3	Antwerpen	Berchem	Antwerpen	Mioceen		157,83	112,66	4,27	164,93	304,39	216,44
Ru3	TO-20220706-1	-0,06	Antwerpen	Berchem	Kiel	Mioceen		183,97	117,75	9,58	191,26	334,61	235,04
Ru4	TO-20220706-1	0,1	Antwerpen	Berchem	Kiel	Mioceen		164,41	112,09	6,9	170	310,21	216,44
Ru7	TO-20220706-1	0,76	Antwerpen	Berchem	Antwerpen	Mioceen		158,85	111,25	5,15	165,82	303,33	216,44
Ru9	TO-20220706-1	0,97	Antwerpen	Berchem	Antwerpen	Mioceen		167,65	112,64	6,04	174,8	312,45	216,44
RuA	TO-20220706-1	-2,02	Antwerpen	Berchem	Kiel	Mioceen		223,32	86,42	127,64	214,8	339,23	225,55
RuC	TO-20220706-1	-0,98	Antwerpen	Berchem	Kiel	Mioceen		236,07	97,05	131,21	229,95	360,88	244,94
Rumst 10	TO-20211119-1	26,5	Rumst	Berchem	Edegem	Mioceen		52,6	50,5	2,4	52,2	122,1	91,1
Rumst 2	TO-20211119-2	19,7	Rumst	Berchem	Edegem	Mioceen		39,4	39,7	2,4	21,2	97,2	80,5
Rumst 3	TO-20211119-2	20	Rumst	Berchem	Edegem	Mioceen		36,3	36,3	1,6	14,8	87,6	68,2
Rumst 5	TO-20211119-2	20,8	Rumst	Berchem	Edegem	Mioceen		34,7	36,8	1,6	8,9	88	68,2
Rumst 6	TO-20211119-2	21,1	Rumst	Berchem	Edegem	Mioceen		53,6	42,2	2,8	57,1	108,7	77,2
Rumst 7	TO-20211119-2	21,4	Rumst	Berchem	Edegem	Mioceen		41,3	35,3	2,2	45,4	87,9	65,5
Rumst 9	TO-20211119-2	23	Rumst	Berchem	Edegem	Mioceen		56,3	32,2	4,4	58	96,4	65,5
Rumst8	TO-20211119-2	22,1	Rumst	Berchem	Edegem	Mioceen		77,34	69,19	5,18	57,63	178,91	137,52
2210BK01	1411-GEO-22/019-B1	-8,09	Schoten	Diest	Borsbeek	Mioceen		129,61	93,82	2,17	135,39	251,94	183,53
2210BK02	1411-GEO-22/019-B1	-8,59	Schoten	Diest	Borsbeek	Mioceen		114,65	95,98	1,25	116,97	244,28	183,53
2210BK03	1411-GEO-22/019-B1	-9,59	Schoten	Diest	Borsbeek	Mioceen		182,74	103,03	16,75	184,51	314,12	216,44
2210BK04	1411-GEO-22/019-B1	-10,84	Schoten	Berchem	Antwerpen	Mioceen		142,26	99,25	3,6	142,99	274,15	191,26
2210BK05	1411-GEO-22/019-B1	-11,59	Schoten	Berchem	Antwerpen	Mioceen		105,08	102,18	2,11	76,33	254,23	199,31
2210BK06	1411-GEO-22/019-B1	-12,49	Schoten	Berchem	Antwerpen	Mioceen		148,93	108,25	2,76	150,77	291,76	207,7
2210BK07	1411-GEO-22/019-B1	-13,19	Schoten	Berchem	Antwerpen	Mioceen		225,64	109,87	95,63	224,37	364,42	244,94



Staalnaam	Boring	Hoogte (mTAW)	Locatie	Formatie	Lid	Tijdvak	Fractie >2mm	Mean	SD	d10	d50	d90	Mode
2210BK08	1411-GEO-22/019-B1	-13,79	Schoten	Berchem	Antwerpen	Mioceen		122,78	108	0,62	124,24	269,44	199,31
2210BK09	1411-GEO-22/019-B1	-14,59	Schoten	Berchem	Antwerpen	Mioceen		109,34	89,48	2,81	103,76	232,39	169
2210BK10	1411-GEO-22/019-B1	-15,59	Schoten	Berchem	Antwerpen	Mioceen		147,64	95,28	5,46	151,22	270,56	183,53
2210BK11	1411-GEO-22/019-B1	-16,19	Schoten	Berchem	Antwerpen	Mioceen		92,13	93,45	2,97	54,62	229,12	176,12
2210BK12	1411-GEO-22/019-B1	-17,015	Schoten	Berchem	Antwerpen	Mioceen		125,31	98,14	2,63	129,32	255,79	183,53
2210BK13	1411-GEO-22/019-B1	-17,69	Schoten	Berchem	Kiel	Mioceen		104,29	84,26	4,37	97,08	221,79	162,18
2210BK14	1411-GEO-22/019-B1	-17,39	Schoten	Berchem	Kiel	Mioceen		124,91	92,29	4,22	125,57	248,6	176,12
2210BK15	1411-GEO-22/019-B1	-18,89	Schoten	Berchem	Kiel	Mioceen		171,88	98,81	8,25	175,31	296,31	199,31
2210BK16	1411-GEO-22/019-B1	-20,845	Schoten	Berchem	Kiel	Mioceen		103,27	87,25	3,55	99,03	224,03	169
2210BK17	1411-GEO-22/019-B1	-25,79	Schoten	Berchem	Kiel	Mioceen		215,21	89,56	115,96	207,57	334,31	216,44
2210BK18	1411-GEO-22/019-B1	-29,99	Schoten	Berchem	Kiel	Mioceen		157,01	92,62	13,09	158	276,93	191,26
2210BK19	1411-GEO-22/019-B1	-34,84	Schoten	Berchem	Edegem	Mioceen		113,83	71,02	9,9	113,93	206,87	143,31
2210BK20	1411-GEO-22/019-B1	-37,79	Schoten	Berchem	Edegem	Mioceen		121,78	69,88	10,13	122,87	210,54	143,31
2210BK21	1411-GEO-22/019-B1	-41,89	Schoten	Berchem	Edegem	Mioceen		103,57	66,88	6,38	105,12	189,87	131,96
2307BA01	kb26d78w-B285	41,5	Genk	Bolderberg	Houthalen	Mioceen		164,99 18	87,265 83	56,743 46	158,91 88	280,00 16	176,11 61
2307BA02	kb26d78w-B285	43,4	Genk	Bolderberg	Houthalen	Mioceen		179,90 94	76,351 4	98,021 94	175,13 39	279,65 73	183,52 96
2307BA03	kb26d78w-B285	44,9	Genk	Bolderberg	Houthalen	Mioceen		180,08 95	71,621 27	99,981 25	172,29 29	277,11 81	183,52 96
2307BA04	kb26d78w-B285	45,7	Genk	Bolderberg	Houthalen	Mioceen		177,60 89	68,035 29	101,33 71	170,24 84	269,34 29	176,11 61
2307BA05	kb26d78w-B285	49,5	Genk	Bolderberg	Genk	Mioceen		177,72 86	72,110 27	99,943 22	172,64 51	272,45 45	183,52 96
2307BA06	kb26d78w-B299	50,75	Genk	Bolderberg	Houthalen	Mioceen		158,27 64	72,524 46	78,119 07	155,53 09	251,81 37	169,00 2
2307BA07	kb26d78w-B299	52	Genk	Bolderberg	Houthalen	Mioceen		168,59 75	69,545 26	94,147 02	164,90 21	257,96 51	176,11 61



Staalnaam	Boring	Hoogte (mTAW)	Locatie	Formatie	Lid	Tijdvak	Fractie >2mm	Mean	SD	d10	d50	d90	Mode
2307BA08	kb26d78w-B299	53	Genk	Bolderberg	Houthalen	Mioceen		160,26 88	88,559 83	3,2660 4	169,76 85	264,27 17	191,25 51
2307BA09	kb26d78w-B299	55	Genk	Bolderberg	Houthalen	Mioceen		138,98 17	63,842 32	67,544 76	140,06 8	217,58 3	149,33 81
2307BA10	kb26d78w-B299	57	Genk	Bolderberg	Houthalen	Mioceen		118,66 22	70,146 93	2,5525 78	128,33 07	201,62 09	143,30 58
RA-1	GEO-15/095-B2	1,38	Ranst	Diest	Diest Kempen	Mioceen		10,483 98	8,2140 71	127,82 66	116,50 05	103,66 64	29,000 77
RA-2	GEO-15/095-B2	2,88	Ranst	Diest	Diest Kempen	Mioceen		136,20 55	142,25 41	212,39 47	198,32 18	196,07 13	147,97 71
RA-3	GEO-15/095-B2	4,88	Ranst	Diest	Diest Kempen	Mioceen		231,64 63	235,43 19	337,03 01	315,44 8	322,31 61	249,11 62
ST-A	TO-20230809-1.3	-17,7	Antwerpen	Kattendijk	Kattendijk	Plioceen		136,22 77	138,76 75	223,31 72	207,19 97	203,88 04	150,13 59
ST-B	TO-20230809-1.2	-16	Antwerpen	Kattendijk	Kattendijk	Plioceen		75,057 96	78,257 7	82,605 45	79,865 57	89,682 38	76,922 44
ST-C	TO-20230809-1.1	-14,9	Antwerpen	Kattendijk	Kattendijk	Plioceen		155,62 44	162,17 53	216,43 84	207,69 56	207,69 56	162,17 53
O2024_1	TO-20230629_W1	21,31	Merchtem	Arenberg	Bos van Aa	Quartair		95,68	54,63	4,82	95,54	165,65	107,38
O2024_2	TO-20230629_W1	21,01	Merchtem	Arenberg	Bos van Aa	Quartair		67,10	44,52	3,93	66,88	125,52	83,84
O2024_3	TO-20230629_W1	20,61	Merchtem	Arenberg	Bos van Aa	Quartair		123,95	91,74	2,89	120,87	247,48	162,18
O2024_4	TO-20230629_W1	20,61	Merchtem	Maldegem	Wemmel	Eocene		107,48	47,32	55,39	105,24	168,39	111,90
O2024_5	TO-20230629_W1	19,91	Merchtem	Maldegem	Wemmel	Eocene		105,07	60,32	8,34	108,09	181,11	126,63
O2024_6	TO-20230629_W1	19,31	Merchtem	Lede	Lede	Eocene		104,27	54,44	14,10	105,26	172,58	116,61
O2024_7	TO-20230629_W1	18,81	Merchtem	Lede	Lede	Eocene		113,47	55,35	44,63	111,77	184,96	121,52
O2024_8	TO-20230629_W1	18,06	Merchtem	Lede	Lede	Eocene		107,34	49,99	49,39	104,98	172,12	116,61
O2024_9	TO-20230629_W2	22,72	Merchtem	Arenberg	Bos van Aa	Quartair		34,96	22,80	3,58	34,45	65,18	45,17
O2024_10	TO-20230629_W2	21,89	Merchtem	Arenberg	Bos van Aa	Quartair		86,51	55,87	5,47	83,24	160,87	98,88
O2024_11	TO-20230629_W2	21,39	Merchtem	Arenberg	Bos van Aa	Quartair		66,10	43,01	4,17	65,49	122,36	80,46
O2024_12	TO-20230629_W2	21,34	Merchtem	Arenberg	Bos van Aa	Quartair		179,35	106,53	3,74	189,29	309,68	216,44
O2024_13	TO-20230629_W2	21,04	Merchtem	Arenberg	Bos van Aa	Quartair		160,52	103,02	3,47	165,71	290,79	199,31
O2024_14	TO-20230629_W2	20,94	Merchtem	Maldegem	Wemmel	Eocene		107,69	48,28	54,59	105,62	169,42	111,90
O2024_15	TO-20230629_W2	20,49	Merchtem	Maldegem	Wemmel	Eocene		101,68	50,83	15,49	102,27	165,63	111,90
O2024_16	TO-20230629_W2	20,24	Merchtem	Lede	Lede	Eocene		101,18	73,62	9,26	102,35	199,44	137,52
O2024_17	TO-20230629_W2	19,94	Merchtem	Lede	Lede	Eocene		118,37	52,84	59,34	115,15	187,21	121,52



Staalnaam	Boring	Hoogte (mTAW)	Locatie	Formatie	Lid	Tijdvak	Fractie >2mm	Mean	SD	d10	d50	d90	Mode
O2024_18	TO-20230629_W2	19,24	Merchtem	Lede	Lede	Eoceen		115,59	54,64	50,50	113,51	186,23	126,63
O2024_19	TO-20230629_W2	20,39	Merchtem	Maldegem	Wemmel	Eoceen		193,72	176,41	21,23	135,79	473,24	131,96
O2024_20	TO-20230629_W2	20,99	Merchtem	Arenberg	Bos van Aa	Quartair		113,31	63,48	12,43	111,54	195,88	126,63
O2024_21	TO-20230913-1	-3,04	Antwerpen linkeroever	Eeklo	Eeklo	Quartair		50,04	40,82	2,77	47,11	105,68	68,22
O2024_26	TO-20230913-1	-0,15	Antwerpen linkeroever	Vlaanderen	Vlaanderen	Quartair		51,00	40,09	5,11	43,49	107,62	65,47
O2024_27	TO-20230913-1	0,11	Antwerpen linkeroever	Vlaanderen	Vlaanderen	Quartair		79,62	47,75	10,23	78,08	142,95	94,88
O2024_28	TO-20230913-2	-0,85	Antwerpen linkeroever	Antropogeen	Antropogeen	Quartair		50,94	37,89	5,84	45,39	103,90	68,22
O2024_29	TO-20230913-2	-0,61	Antwerpen linkeroever	Antropogeen	Antropogeen	Quartair		166,47	75,78	83,16	161,35	265,14	176,12
O2024_30	TO-20230913-2	-0,41	Antwerpen linkeroever	Antropogeen	Antropogeen	Quartair		56,17	59,21	4,73	33,74	144,78	71,10
O2024_31	TO-20230913-2	-0,03	Antwerpen linkeroever	Antropogeen	Antropogeen	Quartair		132,94	62,03	63,82	128,83	213,85	137,52
O2024_32	TO-20230913-2	0,11	Antwerpen linkeroever	Antropogeen	Antropogeen	Quartair		106,93	77,43	6,91	104,38	210,15	137,52
O2024_33	TO-20240517_W1	68,66	Neerijse	Brussel	Machelen	Eoceen		128,39	76,68	11,45	129,93	227,35	155,62
O2024_34	TO-20240517_W1	64,62	Neerijse	Brussel	Machelen	Eoceen		163,04	103,12	6,83	168,45	294,04	207,70
O2024_35	TO-20240517_W1	63,16	Neerijse	Brussel	Machelen	Eoceen		194,48	117,22	7,53	201,85	341,82	235,04
O2024_36	TO-20240517_W1	62,58	Neerijse	Brussel	Machelen	Eoceen		215,05	108,24	31,66	215,24	351,59	235,04
O2024_37	TO-20240517_W1	61,71	Neerijse	Brussel	Machelen	Eoceen		219,94	118,66	14,62	223,83	367,77	255,25
O2024_38	TO-20240517_W1	60,87	Neerijse	Brussel	Neerijse	Eoceen		250,17	125,57	61,83	249,22	410,03	277,19
O2024_39	TO-20240517_W1	59,94	Neerijse	Brussel	Neerijse	Eoceen		267,13	115,58	140,00	259,62	418,75	277,19
O2024_40	TO-20240517_W1	58,98	Neerijse	Brussel	Neerijse	Eoceen		267,23	109,29	146,43	258,16	411,85	277,19
O2024_41	TO-20240517_W1	58,41	Neerijse	Brussel	Neerijse	Eoceen		244,74	116,02	111,48	243,20	391,71	265,99
O2024_42	TO-20240517_W1	58,18	Neerijse	Brussel	Neerijse	Eoceen		166,79	128,06	4,61	178,03	333,27	244,94
O2024_43	TO-20240517_W1	57,24	Neerijse	Brussel	Neerijse	Eoceen		211,31	122,43	12,85	217,20	364,24	255,25
O2024_44	TO-20240517_W1	56,43	Neerijse	Brussel	Neerijse	Eoceen		337,36	129,24	192,16	323,15	511,22	340,65
O2024_45	TO-20240517-W2	70,5	Neerijse	Kruishoutem	Kruishoutem	Quartair		344,20	147,38	183,40	333,50	537,94	354,99
O2024_46	TO-20240517-W2	71,03	Neerijse	Kruishoutem	Kruishoutem	Quartair		298,18	171,47	9,18	304,94	514,10	354,99
O2024_47	TO-20240517-W2	70,06	Neerijse	Quartair	hellingsmateriaal	Quartair		134,32	69,91	18,71	135,37	222,81	149,34



Staalnaam	Boring	Hoogte (mTAW)	Locatie	Formatie	Lid	Tijdvak	Fractie >2mm	Mean	SD	d10	d50	d90	Mode
O2024_48	TO-20240517-W2	70,19	Neerijse	Brussel	Machelen	Quartair		128,40	70,60	13,05	131,23	217,02	149,34
O2024_49	TO-20240517-W2	69,93	Neerijse	Quartair	hellingsmateriaal	Quartair		371,12	172,09	181,40	365,37	592,64	401,74



Bijlage 2. Tabel met glauconietgehalte voor alle stalen geanalyseerd in deze studie. Fractie < 63µm (%) en Fractie 63µm-1mm (%) werden bepaald via zeping. GI 63-1 geeft het glauconietgehalte gemeten in de fractie 63µm-1mm via magnetische scheiding. GI Totaal geeft het berekende totale glauconietgehalte o.b.v. het gemeten gehalte in de fractie 63µm-1mm en de gewogen zeeffracties.

Staalnaam	Boring	Hoogte (mTAW)	Locatie	Formatie	Lid	Tijdvak	Fractie >1mm	Fractie <63µm	Fractie 63µm-1mm	GI 63µm-1mm	GI Totaal
VPO2020_1	GEO-12/129-B10	14,37	Ham	Diest	Diest Kempen	Mioceen	2,07	9,03	88,90	7,43	6,60
VPO2020_5	GEO-12/129-B10	10,37	Ham	Diest	Diest Kempen	Mioceen	1,98	10,53	87,50	9,72	8,51
VPO2020_9	GEO-12/129-B10	6,37	Ham	Diest	Diest Kempen	Mioceen	4,18	1,91	93,91	15,62	14,67
VPO2020_13	GEO-12/129-B9	14,44	Meerhout	Diest	Diest Kempen	Mioceen	0,27	27,74	71,99	3,50	2,52
VPO2020_17	GEO-12/129-B9	10,44	Meerhout	Diest	Diest Kempen	Mioceen	0,38	29,78	69,84	2,39	1,67
VPO2020_31	GEO-12/027-B6	-13,31	Zelzate	Zelzate	Bassevelde	Eocene	0,32	13,71	85,97	0,51	0,44
VPO2020_35	GEO-12/027-B6	-19,31	Zelzate	Zelzate	Bassevelde	Eocene	0,05	25,52	74,43	0,23	0,17
VPO2020_85	GEO-12/115-B2	-18,52	Antwerpen	Berchem	Edegem	Mioceen	0,16	4,41	95,43	35,98	34,33
VPO2020_86	GEO-12/115-B2	-15,52	Antwerpen	Berchem	Kiel	Mioceen	0,00	3,75	96,25	33,78	32,51
VPO2020_87	GEO-12/115-B2	-12,82	Antwerpen	Berchem	Kiel	Mioceen	0,00	2,29	97,71	46,78	45,71
VPO2020_89	GEO-12/115-B2	-7,52	Antwerpen	Berchem	Antwerpen	Mioceen	1,36	15,45	83,19	44,82	37,28
VPO2020_90	GEO-12/115-B2	-5,52	Antwerpen	Berchem	Antwerpen	Mioceen	0,87	5,57	93,56	55,20	51,64
VPO2020_92	GEO-12/115-B2	-3,62	Antwerpen	Berchem	Antwerpen	Mioceen	0,47	2,42	97,12	55,51	53,91
VPO2020_93	GEO-12/115-B2	-3,27	Antwerpen	Kattendijk	Kattendijk	Plioceen	3,97	7,76	88,28	43,61	38,49
VPO2020_94	GEO-12/115-B2	-1,52	Antwerpen	Kattendijk	Kattendijk	Plioceen	0,06	7,79	92,15	15,33	14,12
VPO2020_118	GEO-12/115-B8	-19,16	Antwerpen	Berchem	Edegem	Mioceen	1,38	8,59	90,03	24,52	22,08



Staalnaam	Boring	Hoogte (mTAW)	Locatie	Formatie	Lid	Tijdvak	Fractie >1mm	Fractie <63µm	Fractie 63µm-1mm	GI 63µm-1mm	GI Totaal
VPO2020_120	GEO-12/115-B8	-14,16	Antwerpen	Berchem	Kiel	Mioceen	0,00	1,59	98,41	38,19	37,58
VPO2020_121	GEO-12/115-B8	-9,46	Antwerpen	Berchem	Antwerpen	Mioceen	0,09	11,07	88,83	62,76	55,75
VPO2020_122	GEO-12/115-B8	-8,46	Antwerpen	Berchem	Antwerpen	Mioceen	0,63	11,86	87,52	58,02	50,77
VPO2020_123	GEO-12/115-B8	-7,16	Antwerpen	Kattendijk	Kattendijk	Pliocene	1,65	10,02	88,33	18,02	15,92
VPO2020_124	GEO-12/115-B8	-5,86	Antwerpen	Kattendijk	Kattendijk	Pliocene	0,01	6,93	93,06	13,68	12,73
VPO2020_125	GEO-12/115-B8	-4,16	Antwerpen	Kattendijk	Kattendijk	Pliocene	0,36	45,48	54,17	24,85	13,46
VPO2020_126	GEO-12/115-B8	-3,16	Antwerpen	Lillo	Kruisschans	Pliocene	19,63	17,80	62,57	6,90	4,32
VPO2020_127	GEO-12/115-B8	-2,16	Antwerpen	Lillo	Kruisschans	Pliocene	1,51	28,28	70,21	10,11	7,10
VPO2020_128	GEO-12/115-B8	-0,16	Antwerpen	Lillo	Merksem	Pliocene	4,75	14,66	80,59	8,63	6,96
VPO2020_151	1439-BB17-0115	9,35	Vilvoorde	Brussel	Brussel	EOceen	0,00	51,14	48,86	0,39	0,19
VPO2020_154	1439-BB17-0115	1,2	Vilvoorde	Hyon	Mont-Panisel	EOceen	0,00	53,49	46,51	8,63	4,01
VPO2020_156	1439-BB17-0115	-23,7	Vilvoorde	Mons-en-Pevele	Mons-en-Pevele	EOceen	0,38	42,31	57,31	11,44	6,56
VPO2020_159	1439-BB17-0115	-89,6	Vilvoorde	Hannut	Grandglise	Paleoceen	0,00	23,86	76,14	7,14	5,44
VPO2020_168	1439-BB69-1818	-24,8	Zeebrugge	Aalter	Oedelem	EOceen	3,86	25,91	70,24	3,03	2,13
VPO2020_179	VLA17-4.1-001-TO1	62,4	Leuven	Diest	Diest Hageland	Mioceen	1,61	18,00	80,40	12,65	10,17
VPO2020_180	VLA17-4.1-001-TO6	57,2	Leuven	Diest	Diest Hageland	Mioceen	1,76	27,30	70,95	26,18	18,57
VPO2020_181	VLA17-4.1-001-TO6	57,2	Leuven	Diest	Diest Hageland	Mioceen	0,35	18,39	81,26	8,85	7,19
VPO2020_183	VLA17-4.1-002-TO1A	23,56	Ardoeie	Gent	Gent	Quartair	0,00	97,37	2,63	0,00	0,00
VPO2020_186	VLA17-4.1-002-TO1C	23	Ardoeie	Arenberg	Arenberg	Quartair	0,03	51,23	48,74	0,12	0,06



Staalnaam	Boring	Hoogte (mTAW)	Locatie	Formatie	Lid	Tijdvak	Fractie >1mm	Fractie <63µm	Fractie 63µm-1mm	GI 63µm-1mm	GI Totaal
VPO2020_189	VLA17-4.1-002-TO2A	23,02	Ardoorie	Tielt	Kortemark	Eoceen	0,00	99,39	0,61	1,20	0,01
VPO2020_191	VLA17-4.1-003-TO6	58,36	Lubbeek	Sint-Huibrechts-Hern	Neerrepen	Oligocee n	0,00	3,66	96,34	7,31	7,04
VPO2020_192	VLA17-4.1-003-TO6	58,81	Lubbeek	Sint-Huibrechts-Hern	Neerrepen	Oligocee n	0,00	10,94	89,06	2,71	2,42
VPO2020_195	VLA17-4.1-003-TO6	59,22	Lubbeek	Borgloon	Boutersem	Oligocee n	0,00	4,40	95,60	0,10	0,10
VPO2020_199	VLA17-4.1-003-TO7	60,39	Lubbeek	Borgloon	Kerkom	Oligocee n	1,09	2,09	96,82	0,02	0,02
VPO2020_200	VLA17-4.1-003-TO7	61,29	Lubbeek	Borgloon	Kerkom	Oligocee n	0,14	0,58	99,28	0,04	0,04
VPO2020_201	VLA17-4.1-003-TO7	61,84	Lubbeek	Borgloon	Kerkom	Oligocee n	0,32	3,26	96,43	0,05	0,05
VPO2020_205	VLA17-4.1-003-TO5	66,35	Lubbeek	Borgloon	Kerkom Heide	Oligocee n	0,08	5,35	94,57	0,26	0,25
VPO2020_208	VLA17-4.1-003-TO5	68,05	Lubbeek	Bilzen	Berg	Oligocee n	0,04	1,61	98,36	0,19	0,19
VPO2020_213	VLA17-4.1-004-TO1	11,3	Aarschot	Diest	Diest Hageland	Mioceen	0,00	6,34	93,66	33,16	31,05
VPO2020_214	VLA17-4.1-004-TO3	20,15	Aarschot	Diest	Diest Hageland	Mioceen	0,00	2,23	97,77	30,13	29,45
VPO2020_215	VLA17-4.1-004-TO6	18,38	Aarschot	Diest	Diest Hageland	Mioceen	0,00	6,49	93,51	26,04	24,35
VPO2020_217	VLA17-4.1-006-TO2.7	53	Diest	Diest	Diest Hageland	Mioceen	0,20	12,59	87,21	29,20	25,46
VPO2020_219	VLA17-4.1-006-TO2.7	54,49	Diest	Diest	Diest Hageland	Mioceen	1,58	20,11	78,30	19,32	15,13
VPO2020_223	VLA17-4.1-007-TO2	23,88	Beerse	Weelde	Beerse	Pleistoc een	0,02	13,22	86,77	0,06	0,05
VPO2020_228	VLA17-4.1-007-TO3	26,34	Beerse	Ravels	Ravels	Pleistoc een	0,00	7,07	92,93	0,03	0,02
VPO2020_230	VLA17-4.1-008-TO1	12,52	Egem	Tielt	Kortemark	Eoceen	0,00	45,81	54,19	5,19	2,81
VPO2020_231	VLA17-4.1-008-TO3	33,2	Egem	Hyon	Egem	Eoceen	0,00	52,40	47,60	6,32	3,01



Staalnaam	Boring	Hoogte (mTAW)	Locatie	Formatie	Lid	Tijdvak	Fractie >1mm	Fractie <63µm	Fractie 63µm- 1mm	GI 63µm- 1mm	GI Totaal
VPO2020_232	VLA17-4.1-008-TO3	33,91	Egem	Hyon	Egem	Eocene	2,57	44,54	52,89	6,96	3,68
VPO2020_233	VLA17-4.1-008-TO3	34,45	Egem	Hyon	Egem	Eocene	0,00	16,30	83,70	4,88	4,08
VPO2020_236	VLA17-4.1-008-TO5	44,28	Egem	Gentbrugge	Pittem	Eocene	1,27	42,79	55,94	25,50	14,26
VPO2020_239	VLA17-4.1-009-TO1	91,3	Riemst	Maastricht	Nekum	Krijt	3,39	17,11	79,50	0,01	0,01
VPO2020_242	VLA17-4.1-009-TO3	89,93	Riemst	Maastricht	Emael	Krijt	2,19	56,40	41,41	0,08	0,03
VPO2020_244	VLA17-4.1-010-TO9	80,5	Volkegem	Hyon	Egem	Krijt	0,04	36,40	63,56	21,62	13,74
VPO2020_246	VLA17-4.1-010-TO9	81,12	Volkegem	Gembloux	Brabant	Quartair	5,93	38,01	56,05	13,02	7,30
2314	TO-20210416-1	88,71	Saintes	Mons-en-Pevele	Mons-en-Pevele	Eocene	0,00	0,03	0,97	6,43	6,26
2313	TO-20210416-1	88,71	Saintes	Mons-en-Pevele	Mons-en-Pevele	Eocene	0,00	0,03	0,97	8,49	8,25
2311	TO-20210416-1	90,29	Saintes	Mons-en-Pevele	Mons-en-Pevele	Eocene	0,00	0,44	0,56	1,87	1,05
2310	TO-20210416-1	91,14	Saintes	Mons-en-Pevele	Mons-en-Pevele	Eocene	0,00	0,09	0,91	3,89	3,53
2309	TO-20210416-1	91,43	Saintes	Mons-en-Pevele	Mons-en-Pevele	Eocene	0,00	0,11	0,89	1,85	1,64
2308	TO-20210416-1	91,67	Saintes	Mons-en-Pevele	Mons-en-Pevele	Eocene	0,00	0,04	0,96	1,98	1,91
2306	TO-20210416-1	92,19	Saintes	Mons-en-Pevele	Mons-en-Pevele	Eocene	0,00	0,11	0,89	3,09	2,75
2305	TO-20210416-1	92,70	Saintes	Mons-en-Pevele	Mons-en-Pevele	Eocene	0,00	0,11	0,89	3,15	2,82
2304	TO-20210416-1	93,03	Saintes	Mons-en-Pevele	Mons-en-Pevele	Eocene	0,00	0,06	0,94	3,57	3,37
2325	TO-20210416-1b	88,26	Saintes	Mons-en-Pevele	Mons-en-Pevele	Eocene	0,00	0,05	0,95	6,06	5,79
2327	TO-20210416-1b	86,93	Saintes	Mons-en-Pevele	Mons-en-Pevele	Eocene	0,00	0,10	0,90	4,78	4,32
2329	TO-20210416-1b	85,71	Saintes	Mons-en-Pevele	Mons-en-Pevele	Eocene	0,00	0,06	0,94	4,72	4,43



Staalnaam	Boring	Hoogte (mTAW)	Locatie	Formatie	Lid	Tijdvak	Fractie >1mm	Fractie <63µm	Fractie 63µm-1mm	GI 63µm-1mm	GI Totaal
2331	TO-20210416-1b	84,26	Saintes	Mons-en-Pevele	Mons-en-Pevele	Eocene	0,00	0,17	0,83	5,07	4,19
2324	TO-20210416-2	89,62	Saintes	Mons-en-Pevele	Mons-en-Pevele	Eocene	0,00	0,05	0,95	5,11	4,87
2322	TO-20210416-2	90,95	Saintes	Mons-en-Pevele	Mons-en-Pevele	Eocene	0,04	0,30	0,70	1,70	1,18
2315	TO-20210416-2	93,52	Saintes	Kruishoutem	Kruishoutem	Quartair	0,28	0,36	0,64	0,93	0,60
2338	TO-20210416-3	90,33	Saintes	Mons-en-Pevele	Mons-en-Pevele	Eocene	0,02	0,34	0,66	2,15	1,43
2333	TO-20210416-3	92,61	Saintes	Kruishoutem	Kruishoutem	Quartair	0,25	0,17	0,83	1,67	1,38
2332	TO-20210416-3	93,64	Saintes	Kruishoutem	Kruishoutem	Quartair	0,10	0,16	0,84	1,70	1,44
2683	TO-20220310-1	48,42	Diegem	Lede	Lede	Eocene	0,00	0,08	0,92	2,24	2,05
2684	TO-20220310-1	47,70	Diegem	Brussel	Machelen	Eocene	0,02	0,04	0,96	0,23	0,22
2685	TO-20220310-1	47,82	Diegem	Lede	Lede	Eocene	0,04	0,04	0,96	0,32	0,31
2686	TO-20220310-1	46,92	Diegem	Brussel	Machelen	Eocene	0,00	0,10	0,90	2,11	1,90
2688	TO-20220310-1	45,54	Diegem	Brussel	Machelen	Eocene	0,00	0,10	0,90	0,23	0,21
2689	TO-20220310-1	45,25	Diegem	Brussel	Machelen	Eocene	0,00	0,13	0,87	0,15	0,13
2691	TO-20220310-1	43,89	Diegem	Brussel	Machelen	Eocene	0,00	0,10	0,90	0,10	0,09
2692	TO-20220310-1b	46,03	Diegem	Lede	Lede	Eocene	0,03	0,04	0,96	0,27	0,26
2693	TO-20220310-2	47,47	Diegem	Lede	Lede	Eocene	0,00	0,05	0,95	2,10	1,99
2694	TO-20220310-2	47,87	Diegem	Lede	Lede	Eocene	0,00	0,08	0,92	2,92	2,69
2730	TO-20220516-1	23,03	Lichtaart	Kasterlee	Lichtaart	Mioceen	0,00	0,02	0,98	6,21	6,09
2731	TO-20220516-1	23,31	Lichtaart	Lillo	Hukkelberg	Pliocene	0,25	0,11	0,89	0,69	0,61
2732	TO-20220516-1	23,51	Lichtaart	Lillo	Poederlee	Pliocene	0,01	0,19	0,81	2,19	1,77
2733	TO-20220516-2	23,02	Lichtaart	Kasterlee	Lichtaart	Mioceen	0,00	0,03	0,97	4,76	4,61
2734	TO-20220516-2	23,76	Lichtaart	Lillo	Poederlee	Pliocene	0,00	0,06	0,94	2,89	2,72
2735	TO-20220516-2	24,25	Lichtaart	Lillo	Poederlee	Pliocene	0,00	0,05	0,95	2,55	2,44
2736	TO-20220516-2	25,40	Lichtaart	Lillo	Poederlee	Pliocene	0,00	0,01	0,99	0,03	0,03
2737	TO-20220516-3	25,57	Lichtaart	Lillo	Poederlee	Pliocene	0,00	0,04	0,96	2,85	2,75
2738	TO-20220516-3	26,06	Lichtaart	Lillo	Poederlee	Pliocene	0,00	0,08	0,92	4,90	4,52



Staalnaam	Boring	Hoogte (mTAW)	Locatie	Formatie	Lid	Tijdvak	Fractie >1mm	Fractie <63µm	Fractie 63µm-1mm	GI 63µm-1mm	GI Totaal
2739	TO-20220516-3	26,34	Lichtaart	Lillo	Poederlee	Plioceen	0,04	0,17	0,83	3,15	2,61
2740	TO-20220516-3	27,82	Lichtaart	Lillo	Poederlee	Plioceen	0,00	0,10	0,90	6,78	6,08
2741	TO-20220516-3	25,74	Lichtaart	Lillo	Poederlee	Plioceen	0,05	0,05	0,95	2,77	2,64
2660	TO-20220405-1.1	58,72	Kerkom	Borgloon	Kerkom	Oligocean	0,00	0,00	1,00	0,02	0,01
2661	TO-20220405-1.1	58,33	Kerkom	Borgloon	Kerkom	Oligocean	0,00	0,02	0,98	0,00	0,00
2662	TO-20220405-1.1	57,87	Kerkom	Borgloon	Kerkom	Oligocean	0,00	0,00	1,00	0,00	0,00
2663	TO-20220405-1.1	57,59	Kerkom	Borgloon	Kerkom	Oligocean	0,03	0,25	0,75	0,02	0,01
2664	TO-20220405-1.1	57,33	Kerkom	Sint-Huibrechts-Hern	Grimmertingen	Oligocean	0,00	0,06	0,94	0,66	0,62
2665	TO-20220405-1.1	57,24	Kerkom	Sint-Huibrechts-Hern	Grimmertingen	Oligocean	0,00	0,04	0,96	0,90	0,86
2673	TO-20220405-3	58,74	Kerkom	Quartair	Quartair	Quartair	0,00	0,18	0,82	0,37	0,31
2674	TO-20220405-3	58,69	Kerkom	Quartair	Quartair	Quartair	0,00	0,36	0,64	0,00	0,00
2675	TO-20220405-3	58,75	Kerkom	Quartair	Quartair	Quartair	0,00	0,11	0,89	0,37	0,33
D1	HOB 20190617	35,50	Heist-op-den-Berg	Diest	Diest Kempen	Mioceen	0,01	0,10	0,90	50,52	45,51
Ha1	HOB 20190617	35,8	Heist-op-den-Berg	Kasterlee	Hallaar	Mioceen	0,02	0,11	0,89	39,18	34,94
Ha3	HOB 20190617	37,5	Heist-op-den-Berg	Kasterlee	Hallaar	Mioceen	0,02	0,18	0,82	13,57	11,07
B3	HOB 20190617	39,3	Heist-op-den-Berg	Kasterlee	Beerzel	Mioceen	0,00	0,11	0,89	3,97	3,54
B8	HOB 20190617	40,7	Heist-op-den-Berg	Kasterlee	Beerzel	Mioceen	0,00	0,09	0,91	1,53	1,40
B11	HOB 20190617	41,6	Heist-op-den-Berg	Kasterlee	Beerzel	Mioceen	0,00	0,06	0,94	1,23	1,15
B14	HOB 20190617	42,2	Heist-op-den-Berg	Kasterlee	Beerzel	Mioceen	0,00	0,06	0,94	1,08	1,01
H3	HOB 20190617	43,2	Heist-op-den-Berg	Kasterlee	Heist-op-den-Berg	Mioceen	0,00	0,16	0,84	0,92	0,77
H5	HOB 20190617	43,7	Heist-op-den-Berg	Kasterlee	Heist-op-den-Berg	Mioceen	0,01	0,24	0,76	0,45	0,35



Staalnaam	Boring	Hoogte (mTAW)	Locatie	Formatie	Lid	Tijdvak	Fractie >1mm	Fractie <63µm	Fractie 63µm-1mm	GI 63µm-1mm	GI Totaal
TT_1	1508-B2022-00843-B2	5,45	Brussel	Zemst	Zemst	Quartair		0,05	0,95	0,03	0,03
TT_4	1508-B2022-00843-B2	2,95	Brussel	Kortrijk	Orchies	Eoceen		0,46	0,54	3,12	1,69
TT_6	1508-B2022-00843-B2	0,95	Brussel	Kortrijk	Orchies	Eoceen		0,47	0,53	1,07	0,56
TT_7	1508-B2022-00843-B2	0,45	Brussel	Kortrijk	Orchies	Eoceen		0,21	0,79	2,18	1,71
TT_10	1508-B2022-00843-B2	-1,3	Brussel	Kortrijk	Orchies	Eoceen		0,87	0,13	0,70	0,09
TT_15	1508-B2022-00843-B2	-4,05	Brussel	Kortrijk	Orchies	Eoceen		0,36	0,64	0,59	0,38
TT_17	1508-B2022-00843-B2	-5,8	Brussel	Kortrijk	Orchies	Eoceen		0,38	0,62	0,80	0,50
TT_29	1508-B2022-00843-B2	-15,8	Brussel	Kortrijk	Orchies	Eoceen		0,45	0,55	10,55	5,80
TT_31	1508-B2022-00843-B2	-17,55	Brussel	Kortrijk	Orchies	Eoceen		0,34	0,66	14,44	9,47
TT_33	1508-B2022-00843-B2	-18,8	Brussel	Kortrijk	Orchies	Eoceen		0,52	0,48	3,83	1,83
TT_55	1508-B2022-00843-B2	-37,05	Brussel	Hannut	Grandglise	Paleoceen		0,10	0,90	5,27	4,76
TT_57	1508-B2022-00843-B2	-39,05	Brussel	Hannut	Grandglise	Paleoceen		0,13	0,87	2,47	2,13
TT_59	1508-B2022-00843-B2	-40,55	Brussel	Hannut	Grandglise	Paleoceen		0,13	0,87	10,99	9,51
TT_61	1508-B2022-00843-B2	-42,55	Brussel	Hannut	Grandglise	Paleoceen		0,16	0,84	3,42	2,87
TT_63	1508-B2022-00843-B2	-44,55	Brussel	Hannut	Halen	Paleoceen		0,29	0,71	3,48	2,47
AR10	TO-20190417	1,39	Antwerpen	Berchem	Antwerpen	Mioceen		7,40		48,00	44,00
AR12	TO-20190417	1,74	Antwerpen	Berchem	Antwerpen	Mioceen		10,00		39,20	34,10
AR4	TO-20190417	-1,26	Antwerpen	Berchem	Kiel	Mioceen		2,50		48,60	45,60
AR8	TO-20190417	0,79	Antwerpen	Berchem	Kiel	Mioceen		4,60		49,00	46,50
PB7	TO-20150105A	10,71	Antwerpen	Berchem	Antwerpen	Mioceen		12,60		49,80	43,60



Staalnaam	Boring	Hoogte (mTAW)	Locatie	Formatie	Lid	Tijdvak	Fractie >1mm	Fractie <63µm	Fractie 63µm-1mm	GI 63µm-1mm	GI Totaal
PX2	TO-20150701	1,2	Antwerpen	Berchem	Kiel	Mioceen		2,80		40,00	37,00
PX3	TO-20150701	1,55	Antwerpen	Berchem	Kiel	Mioceen		2,20		48,10	46,90
PX4	TO-20150701	1,8	Antwerpen	Berchem	Antwerpen	Mioceen		5,10		39,90	37,30
PX5	TO-20150701	2,1	Antwerpen	Berchem	Antwerpen	Mioceen		7,90		44,60	38,30
PX7	TO-20150701	3,75	Antwerpen	Berchem	Antwerpen	Mioceen		9,70		51,00	46,00
PX8	TO-20150701	5,25	Antwerpen	Berchem	Antwerpen	Mioceen		5,70		63,50	59,90
Ru1	TO-20220706-1	-0,45	Antwerpen	Berchem	Kiel	Mioceen		0,50		60,60	60,30
Ru11	TO-20220706-1	1,3	Antwerpen	Berchem	Antwerpen	Mioceen		6,00		35,40	33,30
Ru4	TO-20220706-1	0,1	Antwerpen	Berchem	Kiel	Mioceen		0,70		58,80	58,40
Ru7	TO-20220706-1	0,76	Antwerpen	Berchem	Antwerpen	Mioceen		7,10		42,10	39,10
RuA	TO-20220706-1	-2,02	Antwerpen	Berchem	Kiel	Mioceen		0,90		50,80	50,40
Rumst 10	TO-20211119-1	26,5	Rumst	Berchem	Edegem	Mioceen		12,70		16,90	14,70
Rumst 2	TO-20211119-2	19,7	Rumst	Berchem	Edegem	Mioceen		11,70		9,50	8,40
Rumst 5	TO-20211119-2	20,8	Rumst	Berchem	Edegem	Mioceen		14,40		11,10	9,50
Rumst 6	TO-20211119-2	21,1	Rumst	Berchem	Edegem	Mioceen		11,90		22,50	19,80
Rumst 7	TO-20211119-2	21,4	Rumst	Berchem	Edegem	Mioceen		15,90		14,40	12,10
Rumst 9	TO-20211119-2	23	Rumst	Berchem	Edegem	Mioceen		6,10		12,40	11,60
Rumst8	TO-20211119-2	22,1	Rumst	Berchem	Edegem	Mioceen		10,00		20,80	18,70
2210BK01	1411-GEO-22/019-B1	-8,09	Schoten	Diest	Borsbeek	Mioceen		25,32		19,70	14,71
2210BK02	1411-GEO-22/019-B1	-8,59	Schoten	Diest	Borsbeek	Mioceen		36,92		24,40	15,39
2210BK03	1411-GEO-22/019-B1	-9,59	Schoten	Diest	Borsbeek	Mioceen		15,99		39,72	33,37
2210BK04	1411-GEO-22/019-B1	-10,84	Schoten	Berchem	Antwerpen	Mioceen		23,06		45,48	34,99
2210BK05	1411-GEO-22/019-B1	-11,59	Schoten	Berchem	Antwerpen	Mioceen		36,62		48,84	30,95
2210BK06	1411-GEO-22/019-B1	-12,49	Schoten	Berchem	Antwerpen	Mioceen		17,06		50,96	42,27
2210BK07	1411-GEO-22/019-B1	-13,19	Schoten	Berchem	Antwerpen	Mioceen		15,30		53,02	44,91



Staalnaam	Boring	Hoogte (mTAW)	Locatie	Formatie	Lid	Tijdvak	Fractie >1mm	Fractie <63µm	Fractie 63µm-1mm	GI 63µm-1mm	GI Totaal
2210BK08	1411-GEO-22/019-B1	-13,79	Schoten	Berchem	Antwerpen	Mioceen		31,14		39,79	27,40
2210BK09	1411-GEO-22/019-B1	-14,59	Schoten	Berchem	Antwerpen	Mioceen		30,75		25,90	17,94
2210BK10	1411-GEO-22/019-B1	-15,59	Schoten	Berchem	Antwerpen	Mioceen		20,54		39,82	31,64
2210BK11	1411-GEO-22/019-B1	-16,19	Schoten	Berchem	Antwerpen	Mioceen		41,32		40,54	23,79
2210BK12	1411-GEO-22/019-B1	-17,015	Schoten	Berchem	Antwerpen	Mioceen		27,92		42,57	30,68
2210BK13	1411-GEO-22/019-B1	-17,69	Schoten	Berchem	Kiel	Mioceen		32,97		49,32	33,06
2210BK14	1411-GEO-22/019-B1	-17,39	Schoten	Berchem	Kiel	Mioceen		33,48		48,83	32,48
2210BK15	1411-GEO-22/019-B1	-18,89	Schoten	Berchem	Kiel	Mioceen		16,09		48,27	40,50
2210BK16	1411-GEO-22/019-B1	-20,845	Schoten	Berchem	Kiel	Mioceen		42,35		13,74	7,92
2210BK17	1411-GEO-22/019-B1	-25,79	Schoten	Berchem	Kiel	Mioceen		3,04		45,40	44,02
2210BK18	1411-GEO-22/019-B1	-29,99	Schoten	Berchem	Kiel	Mioceen		19,98		42,90	34,33
2210BK19	1411-GEO-22/019-B1	-34,84	Schoten	Berchem	Edegem	Mioceen		22,55		12,90	9,99
2210BK20	1411-GEO-22/019-B1	-37,79	Schoten	Berchem	Edegem	Mioceen		23,11		10,09	7,76
2210BK21	1411-GEO-22/019-B1	-41,89	Schoten	Berchem	Edegem	Mioceen		26,35		9,02	6,64
2210BK22	1411-GEO-22/019-B2	1,17	Stabroek	Malle	Malle	Quartair		11,81		0,49	0,43
2210BK23	1411-GEO-22/019-B2	0,07	Stabroek	Malle	Malle	Quartair		3,11		3,35	3,24
2210BK24	1411-GEO-22/019-B2	-1,9	Stabroek	Malle	Malle	Quartair		5,12		3,99	3,78
2210BK25	1411-GEO-22/019-B2	-3,83	Stabroek	Malle	Malle	Quartair		6,31		4,09	3,83



Staalnaam	Boring	Hoogte (mTAW)	Locatie	Formatie	Lid	Tijdvak	Fractie >1mm	Fractie <63µm	Fractie 63µm-1mm	GI 63µm-1mm	GI Totaal
2210BK26	1411-GEO-22/019-B2	-4,995	Stabroek	Lillo	Zandvliet	Pliocene		14,75		2,38	2,03
2210BK27	1411-GEO-22/019-B2	-6,53	Stabroek	Lillo	Zandvliet	Pliocene		8,50		3,98	3,64
2210BK28	1411-GEO-22/019-B2	-7,885	Stabroek	Lillo	Zandvliet	Pliocene		7,40		4,68	4,34
2210BK29	1411-GEO-22/019-B2	-10,065	Stabroek	Lillo	Zandvliet	Pliocene		24,32		8,63	6,53
2210BK30	1411-GEO-22/019-B2	-11,83	Stabroek	Lillo	Merksem	Pliocene		6,10		7,50	7,05
2210BK31	1411-GEO-22/019-B2	-15,83	Stabroek	Lillo	Merksem	Pliocene		6,95		6,04	5,62
2210BK32	1411-GEO-22/019-B2	-17,93	Stabroek	Lillo	Merksem	Pliocene		23,43		4,79	3,67
2210BK33	1411-GEO-22/019-B2	-18,63	Stabroek	Lillo	Kruisschans	Pliocene		17,25		7,34	6,07
2210BK34	1411-GEO-22/019-B2	-19,13	Stabroek	Lillo	Kruisschans	Pliocene		15,30		3,51	2,97
2210BK35	1411-GEO-22/019-B2	-19,83	Stabroek	Lillo	Oorderen	Pliocene		18,85		1,86	1,51
2210BK36	1411-GEO-22/019-B2	-21,83	Stabroek	Lillo	Oorderen	Pliocene		24,12		3,20	2,43
2210BK37	1411-GEO-22/019-B2	-24,83	Stabroek	Lillo	Oorderen	Pliocene		23,03		4,25	3,27
2210BK38	1411-GEO-22/019-B2	-27,53	Stabroek	Lillo	Oorderen	Pliocene		12,06		14,44	12,70
2210BK39	1411-GEO-22/019-B2	-28,93	Stabroek	Lillo / Kattendijk	Oorderen / Kattendijk	Pliocene		9,73		16,88	15,24
2210BK40	1411-GEO-22/019-B2	-30,83	Stabroek	Kattendijk	Kattendijk	Pliocene		9,19		19,59	17,79
21/1626	GEO-20/021-B5	13,76	Heist-op-den-Berg	Berchem	Zonderschot	Mioceen	0,34	21,96		55,75	43,50
21/1628	GEO-20/021-B5	12,76	Heist-op-den-Berg	Berchem	Zonderschot	Mioceen	0,00	19,31		53,14	42,90
21/1634	GEO-20/021-B5	9,76	Heist-op-den-Berg	Berchem	Zonderschot	Mioceen	0,33	19,60		37,63	30,30
21/1635	GEO-20/021-B5	9,26	Heist-op-den-Berg	Berchem	Zonderschot	Mioceen	0,00	23,52		30,84	23,60



Staalnaam	Boring	Hoogte (mTAW)	Locatie	Formatie	Lid	Tijdvak	Fractie >1mm	Fractie <63µm	Fractie 63µm-1mm	GI 63µm-1mm	GI Totaal
23/0072	1411-GEO-22/096-B1	11,9	Heist-op-den-Berg	Berchem	Zonderschot	Mioceen	2,38	5,08		30,79	29,20
23/0073	1411-GEO-22/096-B1	11,4	Heist-op-den-Berg	Berchem	Zonderschot	Mioceen	5,53	4,54		33,28	31,80
23/0076	1411-GEO-22/096-B1	9,9	Heist-op-den-Berg	Berchem	Zonderschot	Mioceen	4,72	25,65		24,73	18,40
23/0077	1411-GEO-22/096-B1	9,4	Heist-op-den-Berg	Berchem	Zonderschot	Mioceen	32,32	10,40		22,67	20,30
23/0082	1411-GEO-22/096-B1	6,9	Heist-op-den-Berg	Berchem	Zonderschot	Mioceen	2,42	33,97		29,96	19,80
23/0083	1411-GEO-22/096-B1	6,4	Heist-op-den-Berg	Berchem	Zonderschot	Mioceen	0,81	31,44		22,45	15,40
23/0085	1411-GEO-22/096-B1	5,4	Heist-op-den-Berg	Berchem	Zonderschot	Mioceen	0,07	24,92		10,07	7,60
23/0088	1411-GEO-22/096-B1	3,9	Heist-op-den-Berg	Berchem	Zonderschot	Mioceen	0,00	25,60		7,29	5,40
23/0691	1411-GEO-22/096-B7	11,53	Heist-op-den-Berg	Berchem	Zonderschot	Mioceen	2,53	26,28		26,51	19,50
23/0694	1411-GEO-22/096-B7	10,03	Heist-op-den-Berg	Berchem	Zonderschot	Mioceen	6,92	23,30		29,78	22,80
23/0700	1411-GEO-22/096-B7	7,03	Heist-op-den-Berg	Berchem	Zonderschot	Mioceen	0,36	25,01		3,46	2,60
2307BA01	kb26d78w-B285	41,5	Genk	Bolderberg	Houthalen	Mioceen	0,30	5,00		12,40	11,80
2307BA02	kb26d78w-B285	43,4	Genk	Bolderberg	Houthalen	Mioceen	0,00	2,10		11,20	10,90
2307BA03	kb26d78w-B285	44,9	Genk	Bolderberg	Houthalen	Mioceen	0,30	4,70		6,20	5,90
2307BA04	kb26d78w-B285	45,7	Genk	Bolderberg	Houthalen	Mioceen	1,50	2,70		1,20	1,20
2307BA05	kb26d78w-B285	49,5	Genk	Bolderberg	Genk	Mioceen		1,70		0,10	0,10
2307BA06	kb26d78w-B299	50,75	Genk	Bolderberg	Houthalen	Mioceen	2,00	5,20		15,10	14,30
2307BA07	kb26d78w-B299	52	Genk	Bolderberg	Houthalen	Mioceen	1,00	4,80		18,70	17,80
2307BA08	kb26d78w-B299	53	Genk	Bolderberg	Houthalen	Mioceen		27,40		3,80	2,80
2307BA09	kb26d78w-B299	55	Genk	Bolderberg	Houthalen	Mioceen		7,80		9,90	9,10
2307BA10	kb26d78w-B299	57	Genk	Bolderberg	Houthalen	Mioceen		19,50		0,10	0,10
RA-1	GEO-15/095-B2	1,38	Ranst	Diest	Diest Kempen	Mioceen	0,18	0,64		24,83	24,70
RA-2	GEO-15/095-B2	2,88	Ranst	Diest	Diest Kempen	Mioceen	0,11	1,30		23,69	23,40

Staalnaam	Boring	Hoogte (mTAW)	Locatie	Formatie	Lid	Tijdvak	Fractie >1mm	Fractie <63µm	Fractie 63µm-1mm	GI 63µm-1mm	GI Totaal
RA-3	GEO-15/095-B2	4,88	Ranst	Diest	Diest Kempen	Mioceen	1,11	1,81		29,71	29,20
ST-A	TO-20230809-1.3	-17,7	Antwerpen	Kattendijk	Kattendijk	Pliocene	0,76	8,39		25,06	23,00
ST-B	TO-20230809-1.2	-16	Antwerpen	Kattendijk	Kattendijk	Pliocene	1,22	7,54		26,94	24,90
ST-C	TO-20230809-1.1	-14,9	Antwerpen	Kattendijk	Kattendijk	Pliocene	0,00	5,65		26,41	24,90
O2024_2	TO-20230629_W1	21,01	Merchtem	Arenberg	Bos van Aa	Quartair		0,19	0,81	2,97	2,42
O2024_3	TO-20230629_W1	20,61	Merchtem	Arenberg	Bos van Aa	Quartair		0,03	0,97	1,17	1,14
O2024_4	TO-20230629_W1	20,61	Merchtem	Maldegem	Wommel	Eocene		0,08	0,92	6,67	6,11
O2024_5	TO-20230629_W1	19,91	Merchtem	Maldegem	Wommel	Eocene		0,07	0,93	2,71	2,53
O2024_6	TO-20230629_W1	19,31	Merchtem	Lede	Lede	Eocene		0,07	0,93	1,07	1,00
O2024_7	TO-20230629_W1	18,81	Merchtem	Lede	Lede	Eocene		0,11	0,89	0,23	0,21
O2024_8	TO-20230629_W1	18,06	Merchtem	Lede	Lede	Eocene		0,34	0,66	0,50	0,33
O2024_9	TO-20230629_W2	22,72	Merchtem	Arenberg	Bos van Aa	Quartair		0,49	0,51	0,64	0,33
O2024_11	TO-20230629_W2	21,39	Merchtem	Arenberg	Bos van Aa	Quartair		0,19	0,81	1,52	1,22
O2024_12	TO-20230629_W2	21,34	Merchtem	Arenberg	Bos van Aa	Quartair		0,03	0,97	2,76	2,68
O2024_14	TO-20230629_W2	20,94	Merchtem	Maldegem	Wommel	Eocene		0,04	0,96	1,38	1,32
O2024_15	TO-20230629_W2	20,49	Merchtem	Maldegem	Wommel	Eocene		0,09	0,91	1,68	1,54
O2024_17	TO-20230629_W2	19,94	Merchtem	Lede	Lede	Eocene		0,04	0,96	2,16	2,07
O2024_18	TO-20230629_W2	19,24	Merchtem	Lede	Lede	Eocene		0,09	0,91	0,59	0,54
O2024_21	TO-20230913-1	-3,04	Antwerpen linkeroever	Eeklo	Eeklo	Quartair		0,34	0,66	1,78	1,17



Staalnaam	Boring	Hoogte (mTAW)	Locatie	Formatie	Lid	Tijdvak	Fractie >1mm	Fractie <63µm	Fractie 63µm-1mm	GI 63µm-1mm	GI Totaal
O2024_26	TO-20230913-1	-0,15	Antwerpen linkeroever	Vlaanderen	Vlaanderen	Quartair		0,10	0,90	0,40	0,36
O2024_27	TO-20230913-1	0,11	Antwerpen linkeroever	Vlaanderen	Vlaanderen	Quartair		0,05	0,95	3,36	3,20
O2024_29	TO-20230913-2	-0,61	Antwerpen linkeroever	Antropogeen	Antropogeen	Quartair		0,02	0,98	6,49	6,37
O2024_31	TO-20230913-2	-0,03	Antwerpen linkeroever	Antropogeen	Antropogeen	Quartair		0,01	0,99	5,13	5,09
O2024_32	TO-20230913-2	0,11	Antwerpen linkeroever	Antropogeen	Antropogeen	Quartair		0,09	0,91	2,87	2,60
O2024_33	TO-20240517_W1	68,66	Neerijse	Brussel	Machelen	Eocene		0,15	0,85	2,21	1,88
O2024_34	TO-20240517_W1	64,62	Neerijse	Brussel	Machelen	Eocene		0,10	0,90	1,68	1,51
O2024_36	TO-20240517_W1	62,58	Neerijse	Brussel	Machelen	Eocene		0,03	0,97	0,51	0,49
O2024_37	TO-20240517_W1	61,71	Neerijse	Brussel	Machelen	Eocene		0,04	0,96	0,30	0,29
O2024_39	TO-20240517_W1	59,94	Neerijse	Brussel	Neerijse	Eocene		0,02	0,98	0,44	0,43
O2024_41	TO-20240517_W1	58,41	Neerijse	Brussel	Neerijse	Eocene		0,03	0,97	0,45	0,44
O2024_42	TO-20240517_W1	58,18	Neerijse	Brussel	Neerijse	Eocene		0,11	0,89	0,53	0,47
O2024_44	TO-20240517_W1	56,43	Neerijse	Brussel	Neerijse	Eocene		0,01	0,99	0,11	0,10
O2024_45	TO-20240517-W2	70,5	Neerijse	Kruishoutem	Kruishoutem	Quartair		0,02	0,98	0,50	0,48
O2024_46	TO-20240517-W2	71,03	Neerijse	Kruishoutem	Kruishoutem	Quartair		0,05	0,95	0,21	0,19
O2024_47	TO-20240517-W2	70,06	Neerijse	Quartair	hellingsmateriaal	Quartair		0,47	0,53	11,33	6,00



Bijlage 3. Tabel met koolstofgehaltenes voor alle stalen geanalyseerd in deze studie. TC = totaal koolstofgehalte (%), TOC = totaal organisch koolstofgehalte (%), TIC = totaal anorganisch koolstofgehalte (%).

Staalnaam	Boring	Hoogte (mTAW)	Locatie	Formatie	Lid	Tijdvak	TC	TOC	TIC
VPO2020_23	GEO-12/027-B6	0,69	Zelzate	Eeklo	Eeklo	Quartair	0,657	0,072	0,585
VPO2020_29	GEO-12/027-B6	-10,31	Zelzate	Eeklo	Eeklo	Quartair	0,093	0,048	0,044
VPO2020_31	GEO-12/027-B6	-13,31	Zelzate	Zelzate	Bassevelde	Eoceen	0,227	0,101	0,126
VPO2020_35	GEO-12/027-B6	-19,31	Zelzate	Zelzate	Bassevelde	Eoceen	0,197	0,133	0,064
VPO2020_67	GEO-09/006-B11	-23,50	Kallo	Boom	Boom	Oligoceen	1,173	1,136	0,038
VPO2020_85	GEO-12/115-B2	-18,52	Antwerpen	Berchem	Edegem	Mioceen	0,319	0,128	0,191
VPO2020_86	GEO-12/115-B2	-15,52	Antwerpen	Berchem	Kiel	Mioceen	0,236	0,162	0,074
VPO2020_87	GEO-12/115-B2	-12,82	Antwerpen	Berchem	Kiel	Mioceen	0,141	0,137	0,004
VPO2020_89	GEO-12/115-B2	-7,52	Antwerpen	Berchem	Antwerpen	Mioceen	1,353	0,261	1,092
VPO2020_90	GEO-12/115-B2	-5,52	Antwerpen	Berchem	Antwerpen	Mioceen	0,45	0,154	0,296
VPO2020_92	GEO-12/115-B2	-3,62	Antwerpen	Berchem	Antwerpen	Mioceen	0,328	0,251	0,077
VPO2020_93	GEO-12/115-B2	-3,27	Antwerpen	Kattendijk	Kattendijk	Plioceen	0,925	0,026	0,899
VPO2020_94	GEO-12/115-B2	-1,52	Antwerpen	Kattendijk	Kattendijk	Plioceen	0,631	0,079	0,552
VPO2020_118	GEO-12/115-B8	-19,16	Antwerpen	Berchem	Edegem	Mioceen	0,939	0,126	0,813
VPO2020_120	GEO-12/115-B8	-14,16	Antwerpen	Berchem	Kiel	Mioceen	0,096	0,071	0,025
VPO2020_121	GEO-12/115-B8	-9,46	Antwerpen	Berchem	Antwerpen	Mioceen	0,441	0,228	0,213
VPO2020_122	GEO-12/115-B8	-8,46	Antwerpen	Berchem	Antwerpen	Mioceen	0,44	0,207	0,233
VPO2020_123	GEO-12/115-B8	-7,16	Antwerpen	Kattendijk	Kattendijk	Plioceen	1,287	0,095	1,193
VPO2020_124	GEO-12/115-B8	-5,86	Antwerpen	Kattendijk	Kattendijk	Plioceen	0,79	0,073	0,717
VPO2020_125	GEO-12/115-B8	-4,16	Antwerpen	Kattendijk	Kattendijk	Plioceen	1,023	0,094	0,93
VPO2020_126	GEO-12/115-B8	-3,16	Antwerpen	Lillo	Kruisschans	Plioceen	5,602	0,216	5,386
VPO2020_127	GEO-12/115-B8	-2,16	Antwerpen	Lillo	Kruisschans	Plioceen	3,801	0,306	3,495
VPO2020_128	GEO-12/115-B8	-0,16	Antwerpen	Lillo	Merksem	Plioceen	2,68	0,121	2,559
VPO2020_151	1439-BB17-0115	9,35	Vilvoorde	Brussel	Brussel	Eoceen	6,423	0,067	6,355
VPO2020_154	1439-BB17-0115	1,20	Vilvoorde	Hyon	Mont-Panisel	Eoceen	2,115	0,406	1,708
VPO2020_156	1439-BB17-0115	-23,70	Vilvoorde	Mons-en-Pevele	Mons-en-Pevele	Eoceen	0,411	0,122	0,289
VPO2020_157	1439-BB17-0115	-59,40	Vilvoorde	Kortrijk	Orchies	Eoceen	0,725	0,264	0,461



Staalnaam	Boring	Hoogte (mTAW)	Locatie	Formatie	Lid	Tijdvak	TC	TOC	TIC
VPO2020_158	1439-BB17-0115	-80,50	Vilvoorde	Kortrijk	Mont-Heribu	Eoceen	0,193	0,194	0
VPO2020_159	1439-BB17-0115	-89,60	Vilvoorde	Hannut	Grandglise	Paleoceen	0,061	0,058	0,002
VPO2020_168	1439-BB69-1818	-24,80	Zeebrugge	Aalter	Oedelem	Eoceen	2,353	0,089	2,265
VPO2020_183	VLA17-4.1-002-TO1A	23,56	Ardoorie	Gent	Gent	Quartair	0,088	0,081	0,007
VPO2020_186	VLA17-4.1-002-TO1C	23,00	Ardoorie	Arenberg	Arenberg	Quartair	0,233	0,223	0,01
VPO2020_189	VLA17-4.1-002-TO2A	23,02	Ardoorie	Tielt	Kortemark	Eoceen	0,092	0,079	0,013
VPO2020_192	VLA17-4.1-003-TO6	58,81	Lubbeek	Sint-Huibrechts-Hern	Neerrepn	Oligoceen	0,053	0,048	0,005
VPO2020_193	VLA17-4.1-003-TO6	58,95	Lubbeek	Borgloon	Boutersem Hoogbutsel	Oligoceen	9,212	9,011	0,202
VPO2020_195	VLA17-4.1-003-TO6	59,22	Lubbeek	Borgloon	Boutersem	Oligoceen	0,05	0,048	0,001
VPO2020_199	VLA17-4.1-003-TO7	60,39	Lubbeek	Borgloon	Kerkom	Oligoceen	0,067	0,065	0,001
VPO2020_200	VLA17-4.1-003-TO7	61,29	Lubbeek	Borgloon	Kerkom	Oligoceen	0,016	0,017	-0,001
VPO2020_201	VLA17-4.1-003-TO7	61,84	Lubbeek	Borgloon	Kerkom	Oligoceen	0,152	0,149	0,003
VPO2020_202	VLA17-4.1-003-TO1.3	64,47	Lubbeek	Borgloon	Kerkom	Oligoceen	0,509	0,466	0,043
VPO2020_203	VLA17-4.1-003-TO1.4	65,83	Lubbeek	Borgloon	Kerkom	Oligoceen	0,162	0,157	0,005
VPO2020_204	VLA17-4.1-003-TO5	66,25	Lubbeek	Borgloon	Kerkom Heide	Oligoceen	0,168	0,132	0,036
VPO2020_205	VLA17-4.1-003-TO5	66,35	Lubbeek	Borgloon	Kerkom Heide	Oligoceen	0,052	0,061	-0,009
VPO2020_208	VLA17-4.1-003-TO5	68,05	Lubbeek	Bilzen	Berg	Oligoceen	0,042	0,042	0
VPO2020_209	VLA17-4.1-003-TO4	71,25	Lubbeek	Bilzen	Berg	Oligoceen	4,43	0,096	4,334
VPO2020_221	VLA17-4.1-007-TO6	21,98	Beerse	Weelde	Rijkevorsel	Pleistoceen	0,325	0,25	0,076
VPO2020_223	VLA17-4.1-007-TO2	23,88	Beerse	Weelde	Beerse	Pleistoceen	0,066	0,057	0,009
VPO2020_224	VLA17-4.1-007-TO1	24,11	Beerse	Weelde	Beerse	Pleistoceen	2,746	1,177	1,569
VPO2020_225	VLA17-4.1-007-TO1	24,68	Beerse	Weelde	Turnhout	Pleistoceen	0,46	0,46	0
VPO2020_228	VLA17-4.1-007-TO3	26,34	Beerse	Ravels	Ravels	Pleistoceen	0,056	0,052	0,003
VPO2020_230	VLA17-4.1-008-TO1	12,52	Egem	Tielt	Kortemark	Eoceen	0,186	0,083	0,103
VPO2020_232	VLA17-4.1-008-TO3	33,91	Egem	Hyon	Egem	Eoceen	0,653	0,067	0,586
VPO2020_236	VLA17-4.1-008-TO5	44,28	Egem	Gentbrugge	Pittem	Eoceen	0,257	0,228	0,029
VPO2020_238	VLA17-4.1-009-TO1	87,98	Riemst	Maastricht	Emael	Krijt	11,655	0,05	11,605
VPO2020_239	VLA17-4.1-009-TO1	91,30	Riemst	Maastricht	Nekum	Krijt	11,893	0,064	11,829
VPO2020_242	VLA17-4.1-009-TO3	83,93	Riemst	Maastricht	Emael	Krijt	11,341	0,118	11,223



Staalnaam	Boring	Hoogte (mTAW)	Locatie	Formatie	Lid	Tijdvak	TC	TOC	TIC
VPO2020_244	VLA17-4.1-010-TO9	80,50	Volkegem	Hyon	Egem	Eoceen	0,062	0,058	0,004
VPO2020_246	VLA17-4.1-010-TO9	81,12	Volkegem	Gembloux	Brabant	Quartair	0,131	0,049	0,082
VPO2020_247	VLA17-4.1-010-TO4	84,80	Volkegem	Gembloux	Brabant	Quartair	1,8	0,105	1,695
VPO2020_250	VLA17-4.1-010-TO2	81,10	Volkegem	Gembloux	Brabant	Quartair	1,892	0,096	1,796
2314	TO-20210416-1	88,71	Saintes	Mons-en-Pevele	Mons-en-Pevele	Eoceen	0,018261	0,014857	0,003404
2313	TO-20210416-1	88,71	Saintes	Mons-en-Pevele	Mons-en-Pevele	Eoceen	0,022662	0,020802	0,00186
2312	TO-20210416-1	89,39	Saintes	Mons-en-Pevele	Mons-en-Pevele	Eoceen	0,096039	0,090375	0,005664
2311	TO-20210416-1	90,29	Saintes	Mons-en-Pevele	Mons-en-Pevele	Eoceen	0,036021	0,032653	0,003368
2310	TO-20210416-1	91,14	Saintes	Mons-en-Pevele	Mons-en-Pevele	Eoceen	0,028624	0,023424	0,005199
2309	TO-20210416-1	91,43	Saintes	Mons-en-Pevele	Mons-en-Pevele	Eoceen	0,024427	0,019397	0,005029
2308	TO-20210416-1	91,67	Saintes	Mons-en-Pevele	Mons-en-Pevele	Eoceen	0,024879	0,019259	0,00562
2307	TO-20210416-1	91,80	Saintes	Mons-en-Pevele	Mons-en-Pevele	Eoceen	0,136309	0,129497	0,006812
2306	TO-20210416-1	92,19	Saintes	Mons-en-Pevele	Mons-en-Pevele	Eoceen	0,041682	0,041353	0,000329
2305	TO-20210416-1	92,70	Saintes	Mons-en-Pevele	Mons-en-Pevele	Eoceen	0,046085	0,0426	0,003486
2304	TO-20210416-1	93,03	Saintes	Mons-en-Pevele	Mons-en-Pevele	Eoceen	0,034938	0,03061	0,004327
2325	TO-20210416-1b	88,26	Saintes	Mons-en-Pevele	Mons-en-Pevele	Eoceen	0,017853	0,013207	0,004646
2327	TO-20210416-1b	86,93	Saintes	Mons-en-Pevele	Mons-en-Pevele	Eoceen	0,017051	0,014313	0,002738
2329	TO-20210416-1b	85,71	Saintes	Mons-en-Pevele	Mons-en-Pevele	Eoceen	0,016824	0,0134	0,003424
2331	TO-20210416-1b	84,26	Saintes	Mons-en-Pevele	Mons-en-Pevele	Eoceen	0,024973	0,018051	0,006922
2324	TO-20210416-2	89,62	Saintes	Mons-en-Pevele	Mons-en-Pevele	Eoceen	0,020252	0,016297	0,003955
2323	TO-20210416-2	90,21	Saintes	Mons-en-Pevele	Mons-en-Pevele	Eoceen	0,079483	0,075572	0,003911
2322	TO-20210416-2	90,95	Saintes	Mons-en-Pevele	Mons-en-Pevele	Eoceen	0,039665	0,036343	0,003322
2315	TO-20210416-2	93,52	Saintes	Kruishoutem	Kruishoutem	Quartair	0,092115	0,087192	0,004923
2339	TO-20210416-3	89,49	Saintes	Mons-en-Pevele	Mons-en-Pevele	Eoceen	0,081218	0,075882	0,005336
2338	TO-20210416-3	90,33	Saintes	Mons-en-Pevele	Mons-en-Pevele	Eoceen	0,035485	0,03209	0,003395
2333	TO-20210416-3	92,61	Saintes	Kruishoutem	Kruishoutem	Quartair	0,08698	0,080718	0,006262
2332	TO-20210416-3	93,64	Saintes	Kruishoutem	Kruishoutem	Quartair	0,063322	0,054095	0,009226
2681	TO-20220310-1	49,00	Diegem	Quartair	Quartair	Quartair			0,002969
2683	TO-20220310-1	48,42	Diegem	Lede	Lede	Eoceen			0,006031



Staalnaam	Boring	Hoogte (mTAW)	Locatie	Formatie	Lid	Tijdvak	TC	TOC	TIC
2684	TO-20220310-1	47,70	Diegem	Brussel	Machelen	Eoceen			0,007903
2685	TO-20220310-1	47,82	Diegem	Lede	Lede	Eoceen			0,002015
2686	TO-20220310-1	46,92	Diegem	Brussel	Machelen	Eoceen			1,595379
2687	TO-20220310-1	46,20	Diegem	Brussel	Machelen	Eoceen			1,8412
2688	TO-20220310-1	45,54	Diegem	Brussel	Machelen	Eoceen			1,60953
2689	TO-20220310-1	45,25	Diegem	Brussel	Machelen	Eoceen			2,317807
2690	TO-20220310-1	44,68	Diegem	Brussel	Machelen	Eoceen			1,803287
2691	TO-20220310-1	43,89	Diegem	Brussel	Machelen	Eoceen			1,54505
2692	TO-20220310-1b	46,03	Diegem	Lede	Lede	Eoceen			0,008904
2693	TO-20220310-2	47,47	Diegem	Lede	Lede	Eoceen	0,023533	0,016734	0,006799
2694	TO-20220310-2	47,87	Diegem	Lede	Lede	Eoceen	0,029938	0,026929	0,003009
2695	TO-20220310-2	46,44	Diegem	Brussel	Machelen	Eoceen	0,02516	0,016944	0,008216
2696	TO-20220310-2	45,66	Diegem	Brussel	Machelen	Eoceen	0,021718	0,017093	0,004626
2697	TO-20220310-2	45,34	Diegem	Brussel	Machelen	Eoceen	0,024996	0,017367	0,007629
2698	TO-20220310-2	44,60	Diegem	Brussel	Machelen	Eoceen	3,380255	0,044551	3,335704
2699	TO-20220310-3	47,80	Diegem	Lede	Lede	Eoceen			1,023192
2700	TO-20220310-3	46,96	Diegem	Lede	Lede	Eoceen			1,540149
2702	TO-20220310-3	47,00	Diegem	Brussel	Machelen	Eoceen			1,666287
2660	TO-20220405-1.1	58,72	Kerkom	Borgloon	Kerkom	Oligoceen	0,017935	0,009458	0,008477
2661	TO-20220405-1.1	58,33	Kerkom	Borgloon	Kerkom	Oligoceen	0,028351	0,022224	0,006127
2662	TO-20220405-1.1	57,87	Kerkom	Borgloon	Kerkom	Oligoceen	0,01326	0,00681	0,006451
2663	TO-20220405-1.1	57,59	Kerkom	Borgloon	Kerkom	Oligoceen	0,067917	0,059154	0,008763
2664	TO-20220405-1.1	57,33	Kerkom	Sint-Huibrechts-Hern	Grimmertingen	Oligoceen	0,02132	0,015378	0,005943
2665	TO-20220405-1.1	57,24	Kerkom	Sint-Huibrechts-Hern	Grimmertingen	Oligoceen	0,002103	0,015174	-0,01307
2673	TO-20220405-3	58,74	Kerkom	Quartair	Quartair	Quartair	0,024117	0,020714	0,003403
2674	TO-20220405-3	58,69	Kerkom	Quartair	Quartair	Quartair	0,052795	0,064282	-0,01149
2675	TO-20220405-3	58,75	Kerkom	Quartair	Quartair	Quartair	0,027383	0,026879	0,000504
2676	TO-20220405-3	58,19	Kerkom	Quartair	Quartair (basisgrind)	Quartair	0,018596	0,013834	0,004762
2677	TO-20220405-3	58,01	Kerkom	Quartair	Quartair (basisgrind)	Quartair	0,079947	0,02336	0,056587



Staalnaam	Boring	Hoogte (mTAW)	Locatie	Formatie	Lid	Tijdvak	TC	TOC	TIC
TT_1	1508-B2022-00843-B2	5,45	Brussel	Zemst	Zemst	Quartair	0,023466	0,016313	0,007153
TT_4	1508-B2022-00843-B2	2,95	Brussel	Kortrijk	Orchies	Eoceen	0,267406	0,136427	0,130979
TT_6	1508-B2022-00843-B2	0,95	Brussel	Kortrijk	Orchies	Eoceen	0,318174	0,112358	0,205816
TT_7	1508-B2022-00843-B2	0,45	Brussel	Kortrijk	Orchies	Eoceen	0,21994	0,087231	0,132709
TT_10	1508-B2022-00843-B2	-1,30	Brussel	Kortrijk	Orchies	Eoceen	1,627428	0,538529	1,088899
TT_13	1508-B2022-00843-B2	-3,05	Brussel	Kortrijk	Orchies	Eoceen	0,16809	0,064939	0,103151
TT_15	1508-B2022-00843-B2	-4,05	Brussel	Kortrijk	Orchies	Eoceen	0,109869	0,04756	0,06231
TT_17	1508-B2022-00843-B2	-5,80	Brussel	Kortrijk	Orchies	Eoceen	0,250134	0,136746	0,113388
TT_20	1508-B2022-00843-B2	-8,30	Brussel	Kortrijk	Orchies	Eoceen	0,296024	0,107992	0,188032
TT_23	1508-B2022-00843-B2	-10,55	Brussel	Kortrijk	Orchies	Eoceen	0,589986	0,183643	0,406343
TT_25	1508-B2022-00843-B2	-12,55	Brussel	Kortrijk	Orchies	Eoceen	0,850949	0,29613	0,55482
TT_29	1508-B2022-00843-B2	-15,80	Brussel	Kortrijk	Orchies	Eoceen	0,253875	0,216544	0,037332
TT_31	1508-B2022-00843-B2	-17,55	Brussel	Kortrijk	Orchies	Eoceen	0,168039	0,153524	0,014515
TT_33	1508-B2022-00843-B2	-18,80	Brussel	Kortrijk	Orchies	Eoceen	0,213248	0,202332	0,010916
TT_36	1508-B2022-00843-B2	-20,80	Brussel	Kortrijk	Orchies	Eoceen	0,533063	0,513272	0,019792
TT_39	1508-B2022-00843-B2	-23,80	Brussel	Kortrijk	Orchies	Eoceen	0,203582	0,196449	0,007133
TT_42	1508-B2022-00843-B2	-26,80	Brussel	Kortrijk	Orchies	Eoceen	0,203333	0,187084	0,01625
TT_44	1508-B2022-00843-B2	-28,80	Brussel	Kortrijk	Orchies	Eoceen	0,184814	0,182448	0,002366
TT_48	1508-B2022-00843-B2	-32,55	Brussel	Kortrijk	Orchies	Eoceen	0,124661	0,112482	0,01218
TT_51	1508-B2022-00843-B2	-34,80	Brussel	Kortrijk	Orchies	Eoceen	0,250516	0,226914	0,023602
TT_54	1508-B2022-00843-B2	-36,80	Brussel	Kortrijk	Orchies	Eoceen	0,208599	0,198571	0,010028
TT_55	1508-B2022-00843-B2	-37,05	Brussel	Hannut	Grandglise	Paleoceen	0,094372	0,097666	-0,00329
TT_57	1508-B2022-00843-B2	-39,05	Brussel	Hannut	Grandglise	Paleoceen	0,077587	0,072097	0,00549
TT_59	1508-B2022-00843-B2	-40,55	Brussel	Hannut	Grandglise	Paleoceen	0,208729	0,206863	0,001866
TT_61	1508-B2022-00843-B2	-42,55	Brussel	Hannut	Grandglise	Paleoceen	0,131335	0,088988	0,042347
TT_63	1508-B2022-00843-B2	-44,55	Brussel	Hannut	Halen	Paleoceen	0,24284	0,238189	0,004651
AR10	TO-20190417	1,39	Antwerpen	Berchem	Antwerpen	Mioceen	0,31	0,21	0,10
AR12	TO-20190417	1,74	Antwerpen	Berchem	Antwerpen	Mioceen	0,44	0,27	0,17
AR4	TO-20190417	-1,26	Antwerpen	Berchem	Kiel	Mioceen	0,50	0,09	0,41



Staalnaam	Boring	Hoogte (mTAW)	Locatie	Formatie	Lid	Tijdvak	TC	TOC	TIC
AR8	TO-20190417	0,79	Antwerpen	Berchem	Kiel	Mioceen	0,15	0,12	0,03
PB7	TO-20150105A	10,71	Antwerpen	Berchem	Antwerpen	Mioceen	0,27	0,26	0,01
PX2	TO-20150701	1,20	Antwerpen	Berchem	Kiel	Mioceen	0,10	0,10	0,00
PX3	TO-20150701	1,55	Antwerpen	Berchem	Kiel	Mioceen	0,08	0,08	0,00
PX4	TO-20150701	1,80	Antwerpen	Berchem	Antwerpen	Mioceen	0,32	0,26	0,06
PX5	TO-20150701	2,10	Antwerpen	Berchem	Antwerpen	Mioceen	0,53	0,25	0,28
PX7	TO-20150701	3,75	Antwerpen	Berchem	Antwerpen	Mioceen	0,48	0,15	0,33
PX8	TO-20150701	5,25	Antwerpen	Berchem	Antwerpen	Mioceen	0,24	0,09	0,15
2210BK01	1411-GEO-22/019-B1	-8,09	Schoten	Diest	Borsbeek	Mioceen	0,15	0,09	0,06
2210BK02	1411-GEO-22/019-B1	-8,59	Schoten	Diest	Borsbeek	Mioceen	0,20	0,09	0,11
2210BK03	1411-GEO-22/019-B1	-9,59	Schoten	Diest	Borsbeek	Mioceen	0,17	0,14	0,03
2210BK04	1411-GEO-22/019-B1	-10,84	Schoten	Berchem	Antwerpen	Mioceen	0,19	0,19	0,00
2210BK05	1411-GEO-22/019-B1	-11,59	Schoten	Berchem	Antwerpen	Mioceen	0,60	0,29	0,31
2210BK06	1411-GEO-22/019-B1	-12,49	Schoten	Berchem	Antwerpen	Mioceen	0,26	0,10	0,16
2210BK07	1411-GEO-22/019-B1	-13,19	Schoten	Berchem	Antwerpen	Mioceen	0,24	0,11	0,13
2210BK08	1411-GEO-22/019-B1	-13,79	Schoten	Berchem	Antwerpen	Mioceen	0,48	0,11	0,37
2210BK09	1411-GEO-22/019-B1	-14,59	Schoten	Berchem	Antwerpen	Mioceen	4,10	0,10	4,00
2210BK10	1411-GEO-22/019-B1	-15,59	Schoten	Berchem	Antwerpen	Mioceen	0,29	0,14	0,15
2210BK11	1411-GEO-22/019-B1	-16,19	Schoten	Berchem	Antwerpen	Mioceen	0,30	0,16	0,14
2210BK12	1411-GEO-22/019-B1	-17,02	Schoten	Berchem	Antwerpen	Mioceen	3,54	0,18	3,36
2210BK13	1411-GEO-22/019-B1	-17,69	Schoten	Berchem	Kiel	Mioceen	0,17	0,17	0,00
2210BK14	1411-GEO-22/019-B1	-17,39	Schoten	Berchem	Kiel	Mioceen	0,14	0,13	0,01
2210BK15	1411-GEO-22/019-B1	-18,89	Schoten	Berchem	Kiel	Mioceen	0,54	0,13	0,41
2210BK16	1411-GEO-22/019-B1	-20,85	Schoten	Berchem	Kiel	Mioceen	0,26	0,09	0,17
2210BK17	1411-GEO-22/019-B1	-25,79	Schoten	Berchem	Kiel	Mioceen	0,12	0,05	0,07
2210BK18	1411-GEO-22/019-B1	-29,99	Schoten	Berchem	Kiel	Mioceen	0,25	0,23	0,02
2210BK19	1411-GEO-22/019-B1	-34,84	Schoten	Berchem	Edegem	Mioceen	1,45	0,17	1,28
2210BK20	1411-GEO-22/019-B1	-37,79	Schoten	Berchem	Edegem	Mioceen	0,65	0,20	0,45
2210BK21	1411-GEO-22/019-B1	-41,89	Schoten	Berchem	Edegem	Mioceen	0,59	0,39	0,20



Staalnaam	Boring	Hoogte (mTAW)	Locatie	Formatie	Lid	Tijdvak	TC	TOC	TIC
2210BK22	1411-GEO-22/019-B2	1,17	Stabroek	Malle	Malle	Quartair	0,28	0,28	0,00
2210BK23	1411-GEO-22/019-B2	0,07	Stabroek	Malle	Malle	Quartair	0,05	0,05	0,00
2210BK24	1411-GEO-22/019-B2	-1,90	Stabroek	Malle	Malle	Quartair	0,04	0,04	0,00
2210BK25	1411-GEO-22/019-B2	-3,83	Stabroek	Malle	Malle	Quartair	0,05	0,05	0,00
2210BK26	1411-GEO-22/019-B2	-5,00	Stabroek	Lillo	Zandvliet	Plioceen	0,70	0,11	0,59
2210BK27	1411-GEO-22/019-B2	-6,53	Stabroek	Lillo	Zandvliet	Plioceen	0,32	0,07	0,25
2210BK28	1411-GEO-22/019-B2	-7,89	Stabroek	Lillo	Zandvliet	Plioceen	0,22	0,07	0,15
2210BK29	1411-GEO-22/019-B2	-10,07	Stabroek	Lillo	Zandvliet	Plioceen	1,50	0,17	1,33
2210BK30	1411-GEO-22/019-B2	-11,83	Stabroek	Lillo	Merksem	Plioceen	1,20	0,06	1,14
2210BK31	1411-GEO-22/019-B2	-15,83	Stabroek	Lillo	Merksem	Plioceen	1,32	0,06	1,26
2307BA01	kb26d78w-B285	41,50	Genk	Bolderberg	Houthalen	Mioceen	0,31	0,31	0,00
2307BA02	kb26d78w-B285	43,40	Genk	Bolderberg	Houthalen	Mioceen	0,15	0,15	0,00
2307BA03	kb26d78w-B285	44,90	Genk	Bolderberg	Houthalen	Mioceen	0,22	0,22	0,00
2307BA04	kb26d78w-B285	45,70	Genk	Bolderberg	Houthalen	Mioceen	0,19	0,19	0,00
2307BA05	kb26d78w-B285	49,50	Genk	Bolderberg	Genk	Mioceen	0,13	0,13	0,00
2307BA06	kb26d78w-B299	50,75	Genk	Bolderberg	Houthalen	Mioceen	0,26	0,26	0,00
2307BA07	kb26d78w-B299	52,00	Genk	Bolderberg	Houthalen	Mioceen	0,15	0,15	0,00
2307BA08	kb26d78w-B299	53,00	Genk	Bolderberg	Houthalen	Mioceen	0,08	0,08	0,00
2307BA09	kb26d78w-B299	55,00	Genk	Bolderberg	Houthalen	Mioceen	0,05	0,05	0,00
2307BA10	kb26d78w-B299	57,00	Genk	Bolderberg	Houthalen	Mioceen	0,10	0,10	0,00
O2024_2	TO-20230629_W1	21,01	Merchtem	Arenberg	Bos van Aa	Quartair	0,039171	0,042005	-0,00283
O2024_3	TO-20230629_W1	20,61	Merchtem	Arenberg	Bos van Aa	Quartair	0,013313	0,023428	-0,01012
O2024_4	TO-20230629_W1	20,61	Merchtem	Maldegem	Wemmel	Eoceen	0,021053	0,028946	-0,00789
O2024_5	TO-20230629_W1	19,91	Merchtem	Maldegem	Wemmel	Eoceen	0,061211	0,038691	0,02252
O2024_6	TO-20230629_W1	19,31	Merchtem	Lede	Lede	Eoceen	0,925718	0,034197	0,891521
O2024_7	TO-20230629_W1	18,81	Merchtem	Lede	Lede	Eoceen	1,199401	0,040065	1,159337
O2024_8	TO-20230629_W1	18,06	Merchtem	Lede	Lede	Eoceen	1,418578	0,126526	1,292052
O2024_9	TO-20230629_W2	22,72	Merchtem	Arenberg	Bos van Aa	Quartair	0,327476	0,339073	-0,0116
O2024_11	TO-20230629_W2	21,39	Merchtem	Arenberg	Bos van Aa	Quartair	0,034539	0,041951	-0,00741



Staalnaam	Boring	Hoogte (mTAW)	Locatie	Formatie	Lid	Tijdvak	TC	TOC	TIC
O2024_12	TO-20230629_W2	21,34	Merchtem	Arenberg	Bos van Aa	Quartair	0,017117	0,02209	-0,00497
O2024_14	TO-20230629_W2	20,94	Merchtem	Maldegem	Wommel	Eoceen	0,013823	0,016649	-0,00283
O2024_15	TO-20230629_W2	20,49	Merchtem	Maldegem	Wommel	Eoceen	0,034183	0,028482	0,005701
O2024_16	TO-20230629_W2	20,24	Merchtem	Lede	Lede	Eoceen	6,51998	0,050117	6,469864
O2024_17	TO-20230629_W2	19,94	Merchtem	Lede	Lede	Eoceen	1,050855	0,03358	1,017276
O2024_18	TO-20230629_W2	19,24	Merchtem	Lede	Lede	Eoceen	1,456304	0,06611	1,390194
O2024_21	TO-20230913-1	-3,04	Antwerpen linkeroever	Eeklo	Eeklo	Quartair	0,117823	0,118035	-0,00021
O2024_22	TO-20230913-1	-2,68	Antwerpen linkeroever	Arenberg	Rotselaar (Bosveen)	Quartair	29,89699	29,88752	0,009477
O2024_23	TO-20230913-2	-2,07	Antwerpen linkeroever	Arenberg	Rotselaar (Bosveen)	Quartair	7,933977	6,22891	1,705067
O2024_24	TO-20230913-1	-0,94	Antwerpen linkeroever	Arenberg	Rotselaar (Bosveen)	Quartair	28,37607	27,4309	0,945172
O2024_25	TO-20230913-1	-1,09	Antwerpen linkeroever	Arenberg	Rotselaar (Bosveen)	Quartair	14,26219	14,16494	0,097256
O2024_26	TO-20230913-1	-0,15	Antwerpen linkeroever	Vlaanderen	Vlaanderen	Quartair	0,79462	0,789742	0,004878
O2024_27	TO-20230913-1	0,11	Antwerpen linkeroever	Vlaanderen	Vlaanderen	Quartair	1,111267	0,483095	0,628172
O2024_28	TO-20230913-2	-0,85	Antwerpen linkeroever	Antropogeen	Antropogeen	Quartair	1,035464	0,05	0,698408
O2024_29	TO-20230913-2	-0,61	Antwerpen linkeroever	Antropogeen	Antropogeen	Quartair	0,85084	0,152432	0,698408
O2024_31	TO-20230913-2	-0,03	Antwerpen linkeroever	Antropogeen	Antropogeen	Quartair	1,631238	0,435921	1,195317
O2024_32	TO-20230913-2	0,11	Antwerpen linkeroever	Antropogeen	Antropogeen	Quartair	13,41899	8,750404	4,668582
O2024_33	TO-20240517_W1	68,66	Neerijse	Brussel	Machelen	Eoceen	2,018293	0,455335	1,562958
O2024_34	TO-20240517_W1	64,62	Neerijse	Brussel	Machelen	Eoceen	1,489341	0,154409	1,334932
O2024_36	TO-20240517_W1	62,58	Neerijse	Brussel	Machelen	Eoceen	0,040698	0,03457	0,006128
O2024_37	TO-20240517_W1	61,71	Neerijse	Brussel	Machelen	Eoceen	0,015038	0,025248	-0,01021
O2024_39	TO-20240517_W1	59,94	Neerijse	Brussel	Neerijse	Eoceen	0,006687	0,004059	0,002628
O2024_41	TO-20240517_W1	58,41	Neerijse	Brussel	Neerijse	Eoceen	0,018223	0,022004	-0,00378
O2024_42	TO-20240517_W1	58,18	Neerijse	Brussel	Neerijse	Eoceen	0,709579	0,025029	0,68455
O2024_43	TO-20240517_W1	57,24	Neerijse	Brussel	Neerijse	Eoceen	1,745283	0,033147	1,712136
O2024_44	TO-20240517_W1	56,43	Neerijse	Brussel	Neerijse	Eoceen	0,137143	0,014353	0,12279



Staalnaam	Boring	Hoogte (mTAW)	Locatie	Formatie	Lid	Tijdvak	TC	TOC	TIC
O2024_45	TO-20240517-W2	70,50	Neerijse	Kruishoutem	Kruishoutem	Quartair	0,004999	0,012667	-0,00767
O2024_46	TO-20240517-W2	71,03	Neerijse	Kruishoutem	Kruishoutem	Quartair	0,028934	0,042952	-0,01402
O2024_47	TO-20240517-W2	70,06	Neerijse	Quartair	hellingsmateriaal	Quartair	0,034794	0,037026	-0,00223

